Centre de Biochimie Structurale UMR UM1 / 5048 CNRS / 554 INSERM 29 rue de Navacelles 34090 Montpellier Cedex

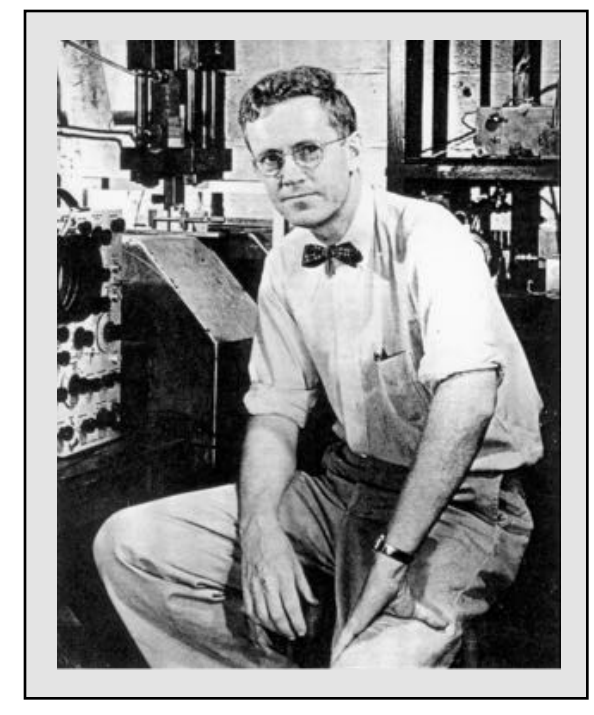
www.cbs.univ-montp1.fr

Résonance Magnétique Nucléaire : Rappels sur le Phénomène Physique

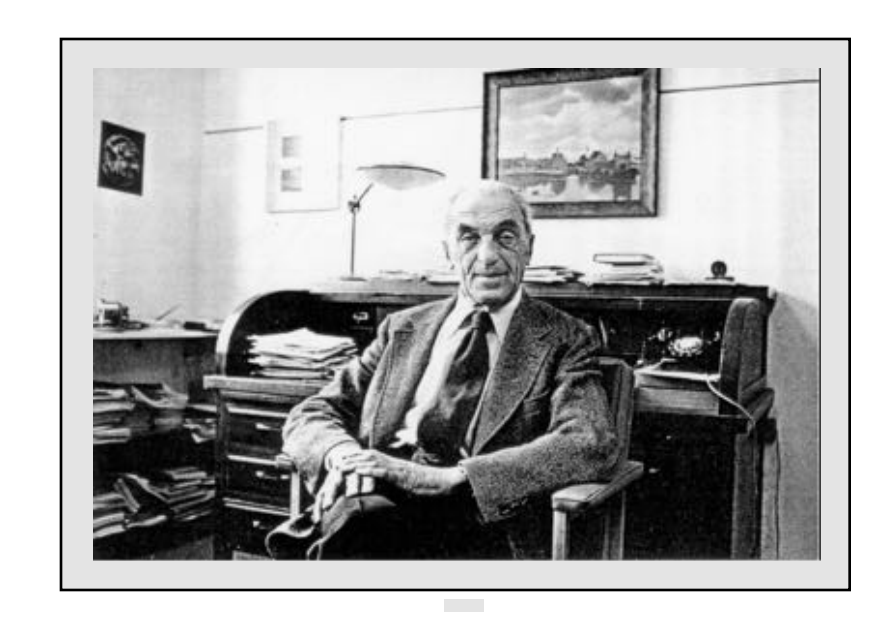
Christian ROUMESTAND

Christian.roumestand@cbs.cnrs.fr (04 67 41 77 04)

Découverte du phénomène de R.M.N.



Edward M. PURCELL Université de Harvard - USA

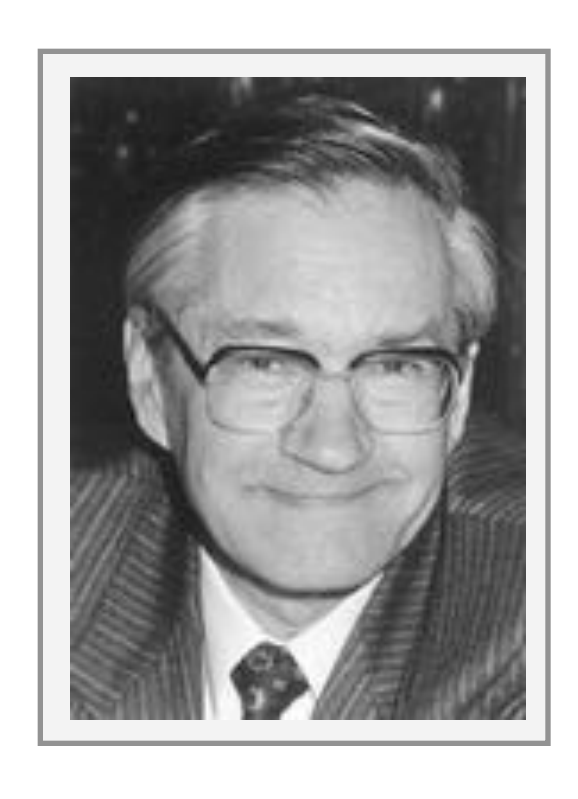


Felix BLOCH
Université de Stanford - USA

Prix NOBEL de Physique 1952

Prix NOBEL de Chimie 1991

Prix NOBEL de Chimie 2002



Richard Robert ERNST ETH Zürich - SUISSE

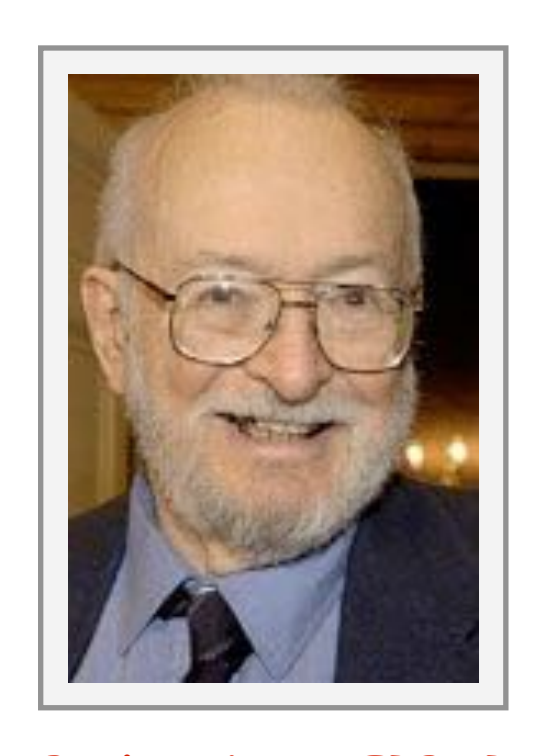
« Développement des Techniques pour la Spectroscopie de RMN à Haute Résolution »



Kurt WÜTHRICH ETH Zürich- SUISSE

« Application de la RMN à l'étude des Macromolécules Biologiques en solution »

Prix NOBEL de Médecine 2003



Paul C. LAUTERBUR Université de l'Illinois USA



Sir Peter MANSFIELD Université de Nottingham GRANDE-BRETAGNE

« Utilisation de gradients de champ magnétique pour créer une image bidimensionnelle »

« Optimisation de l'utilisation des gradients. Traitement mathématique et analyse du signal »

Prix NOBEL de Chimie 2013







Martin KARPLUS
Harvard University
USA
Uni. de Strasbourg
France

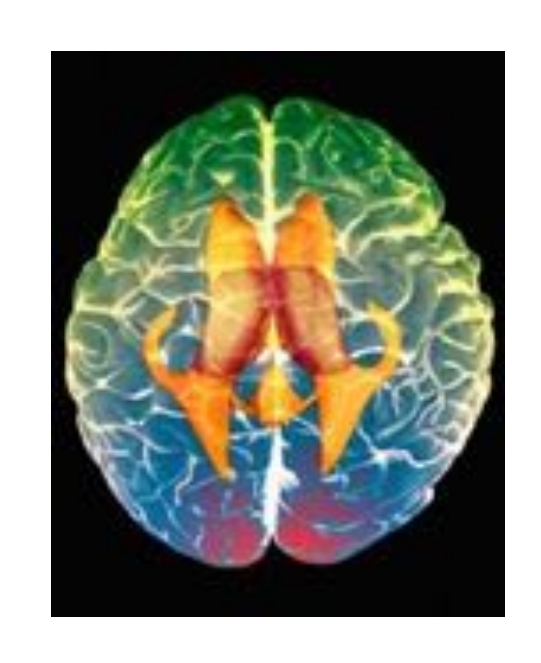
Michael LEVITT
Standford University
USA

Ariel WARSHEL
University of Southern
California, L.A., USA

« for the development of multi scale models for complex chemical systems »

Domaines d'applications de la RMN

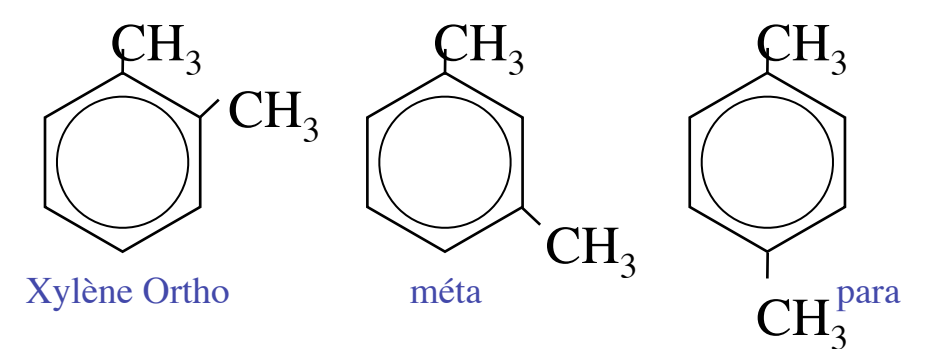
- . RMN à haute résolution dans les solutions homogènes.
- . RMN d'objets vivants (cellules, organes).
- . RMN des solides, polymères.
- . Imagerie 3D par RMN (IRM)



Méthode d'analyse non-destructrice et non invasive

Applications de la RMN en phase liquide

- Détermination de structures moléculaires (Chimie)
 - Chimie des produits naturels
 - Chimie des produits de synthèse



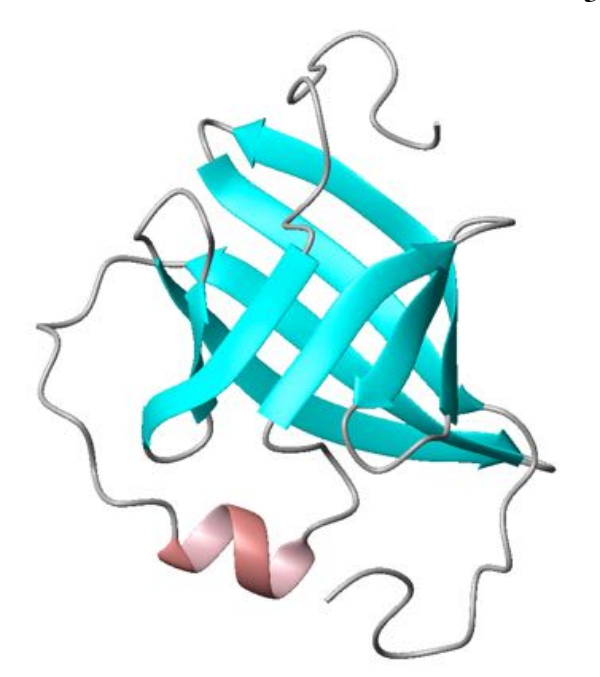
- Etude de structures tridimensionnelles
 - Protéines
 - Acides Nucléiques
 - Polysaccharides
 - Complexes

•Etudes de Processus dynamiques

- -Cinétiques de Réactions
- -Etudes d'équilibres (Chimiques ou de structures)

•Etudes d'interactions / Drug Design

-Relations Structure / Activité



Structure 3D de la protéine oncogénique MTCP1

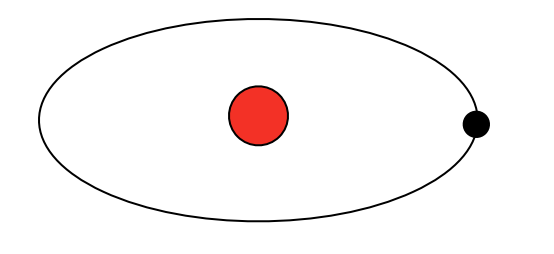
RMN: Phénomène Physique 1/4

LA STRUCURE DE LA MATIERE

AZX

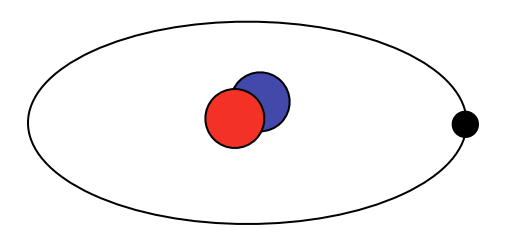
A = Nombre de Masse

Z = Numéro Atomique



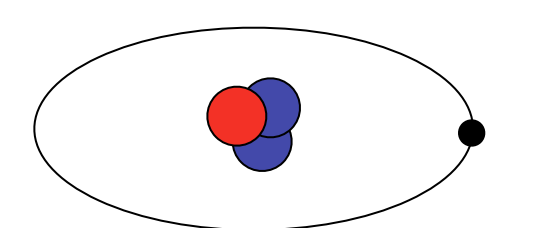
¹H

Proton



 $^{2}_{1}H$

Neutron



³H*

• Electron

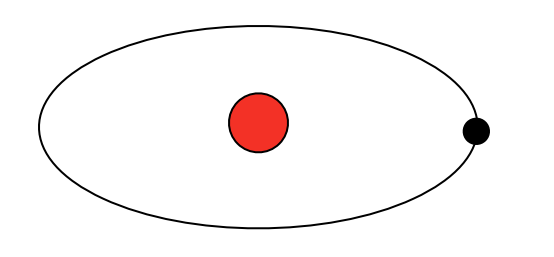
LA STRUCURE DE LA MATIERE



A = Nombre de Masse

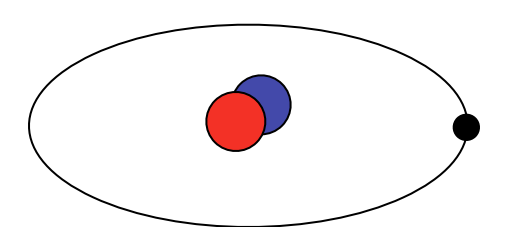
Z = Numéro Atomique

I = Nombre de Spin



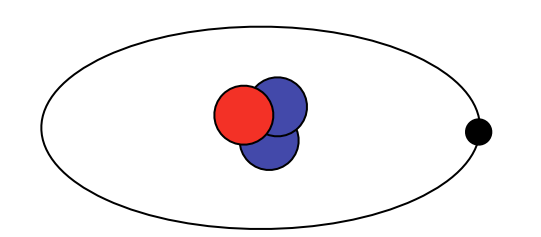
$$H I = 1/2$$

Proton



$$^{2}_{1}H$$
 I=1

Neutron



$$_{1}^{3}H^{*}I=1/2$$

Le phénomène de RMN est lié à l'existence d'un Spin Nucléaire. Le Spin est une propriété fondamentale de la matière, comme la charge électrique ou la masse : l'électron, le neutron, le proton possèdent un spin.

Au niveau du noyau, il peut y avoir annihilation entre spins des neutrons et des protons (nombre de spin I = 0) : on n'observera pas de phénomène de RMN pour ces noyaux. Si $I \neq 0$, le noyau possède un moment de spin nucléaire I.

1	Noyaux
0	¹² C, ¹⁶ O
1/2	¹ H, ¹³ C, ¹⁵ N, ¹⁹ F, ²⁹ Si, ³¹ P
1	${}^{2}\text{H}, {}^{14}\text{N}$
3/2	¹¹ B, ²³ Na, ³⁵ Cl, ³⁷ Cl
5/2	¹⁷ O, ²⁷ Al
3	$^{10}\mathrm{B}$

Il est possible de déterminer d'après le numéro atomique et le nombre de masse si le spin d'un noyau est nul, entier, ou demientier :

MOMENT de SPIN et NOMBRE DE SPIN I

Une des caractéristiques de ce spin c'est qu'il est associé à une grandeur vectorielle que l'on appelle moment de spin. Mais, ce qui est important pour la compréhension du phénomène de résonance magnétique nucléaire est moins la signification profonde du moment de spin I - il résulte du moment cinétique propre J d'une particule, associé à la « rotation » de cette particule sur elle-même - que l'existence simultanée d'un moment magnétique μ colinéaire a I.

$$\vec{j} = \hbar \vec{I}$$
 $\vec{\mu} = \gamma \hbar \vec{I}$

Y est appelé rapport gyromagnétique. Il est caractéristique de la particule.

h est la constante de Planck.

I et μ sont quantifiés et ne peuvent pas prendre n'importe qu'elles valeurs. Les lois de la mécanique quantique permettent de démontrer que μ ne peut adopter que (2I+1) valeurs discontinues égales à :

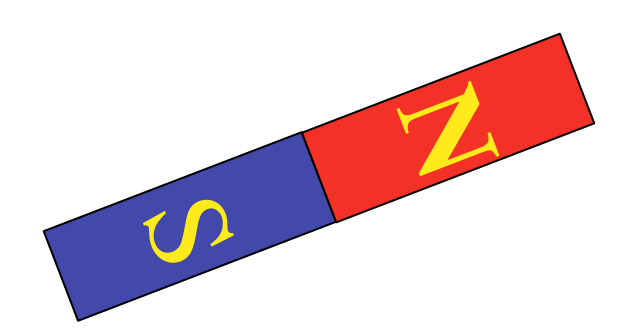
$$\mu = \gamma \hbar m$$

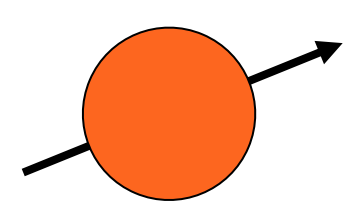
Avec m variant entre -I et I par pas d'une unité : m = -I, -(I-1), ..., (I-1), I;

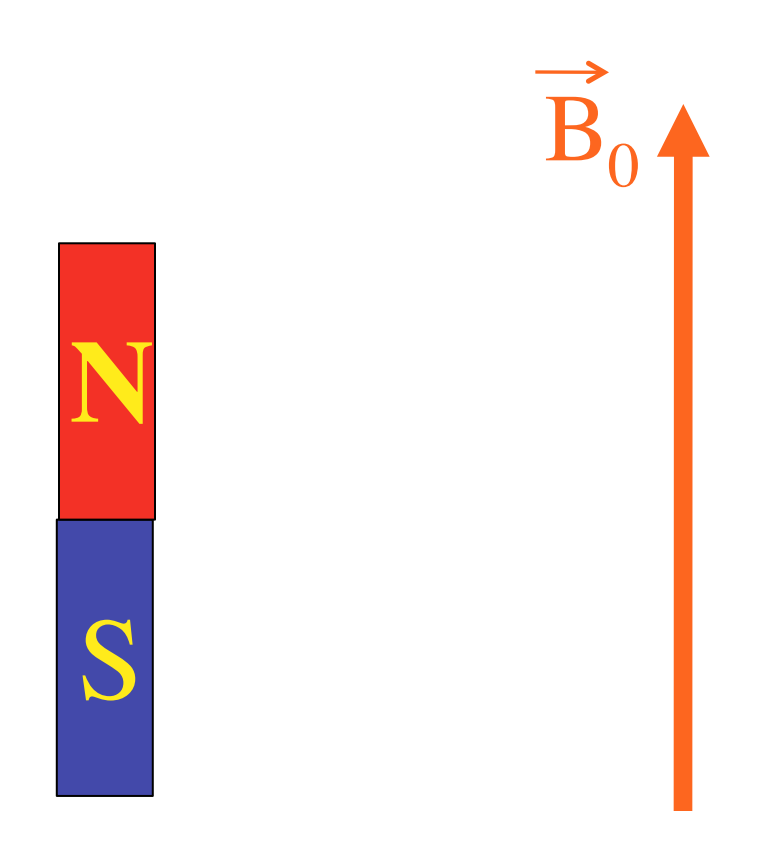
Ex:

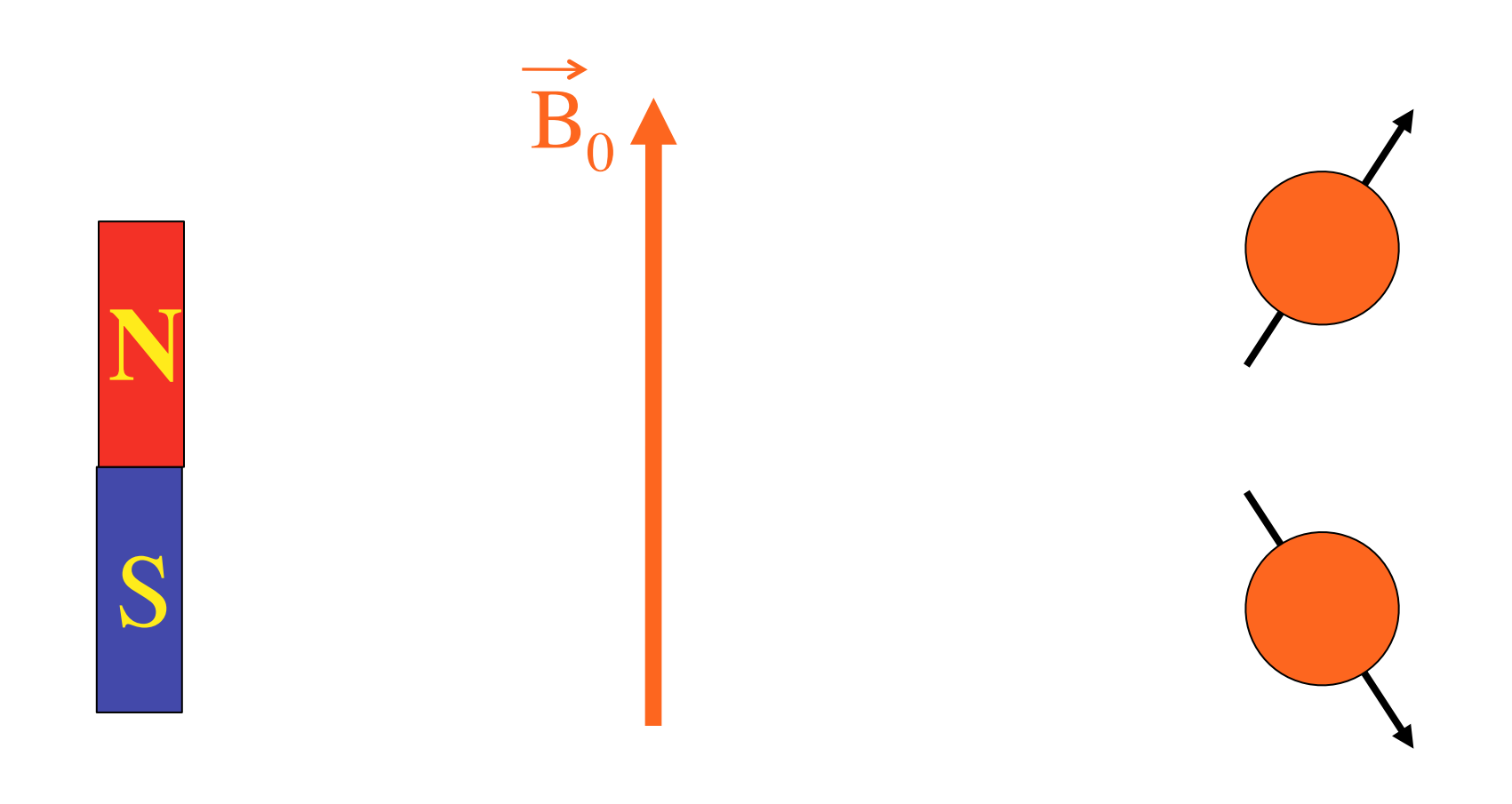
-Si I =
$$1/2$$
, m= $-1/2$, $1/2$

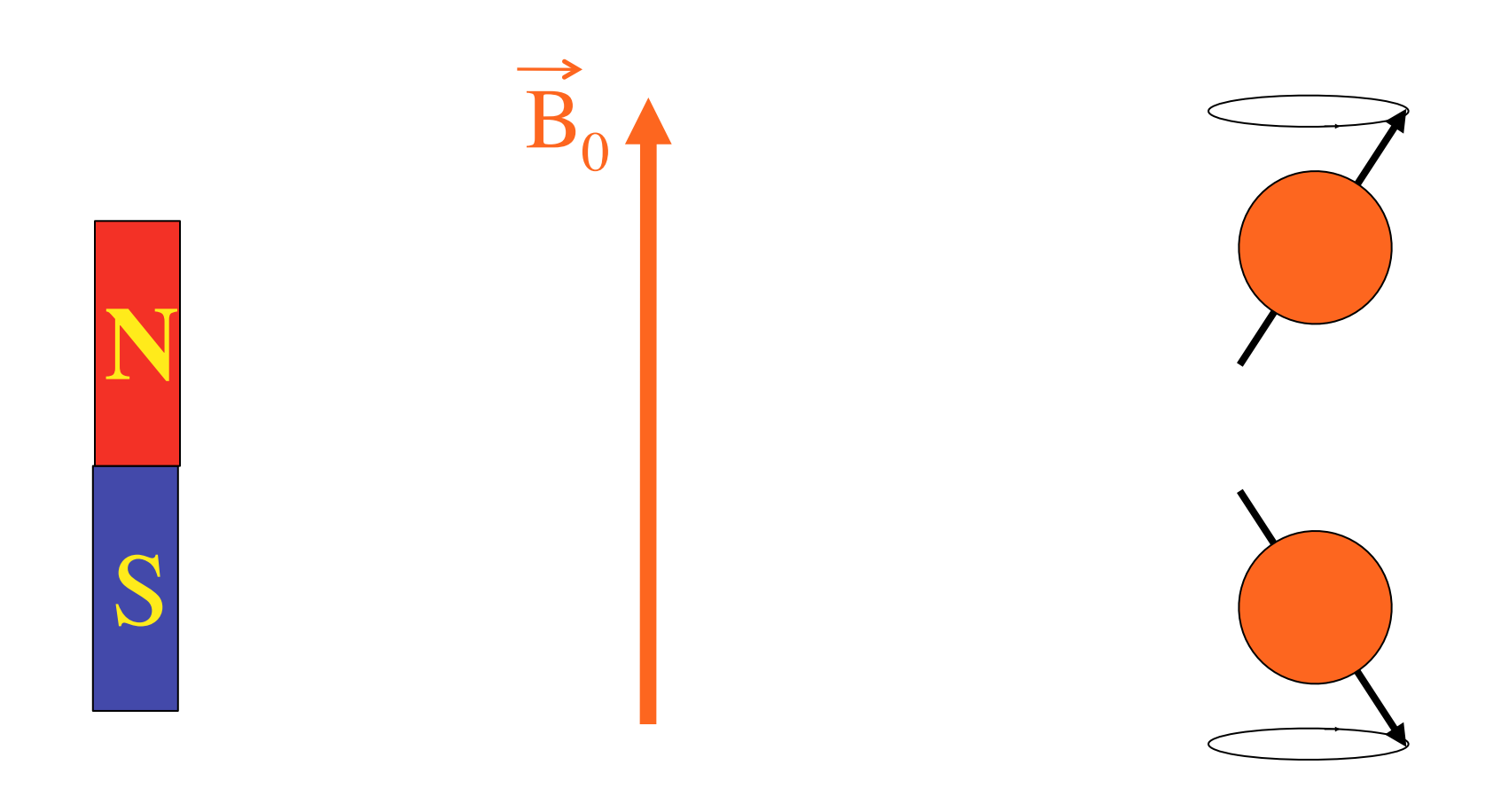
-Si
$$I = 1, m = -1, 0, 1$$



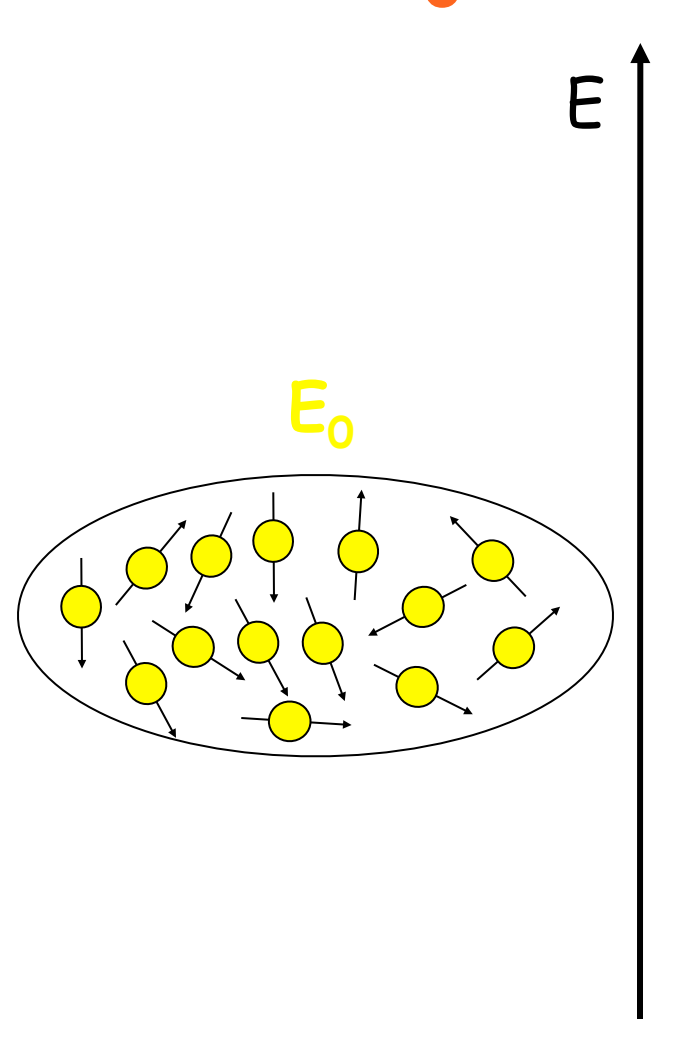






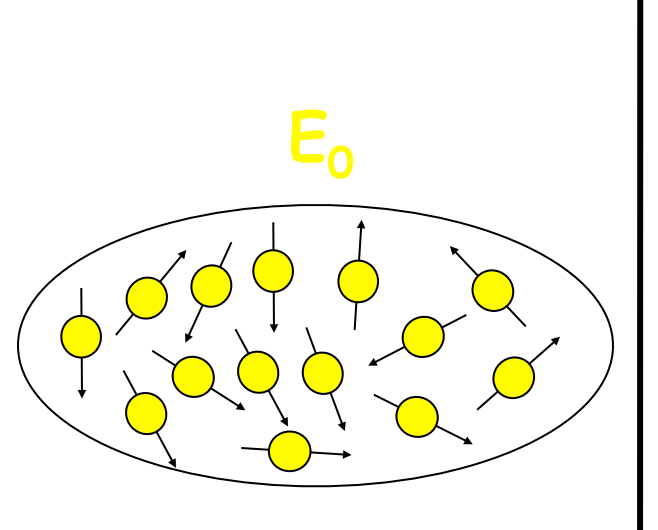


Sans B₀

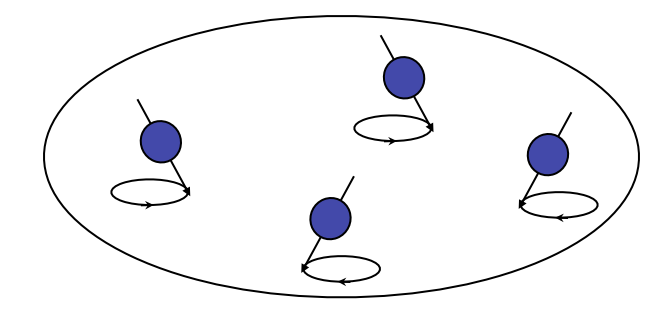


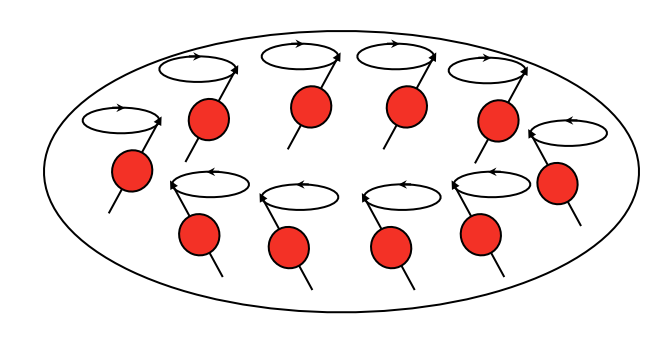
Sans Bo





$$E = + h v_0/2$$





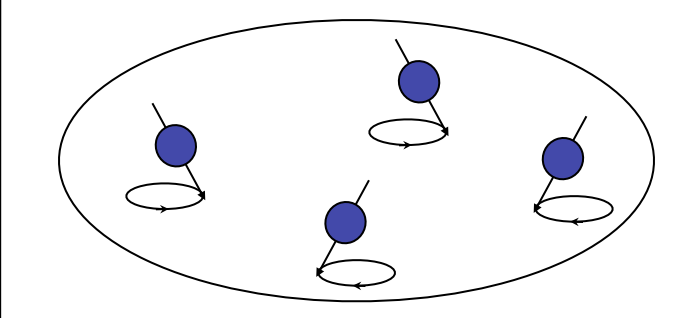
$$E = -h v_0/2$$

Sans Bo

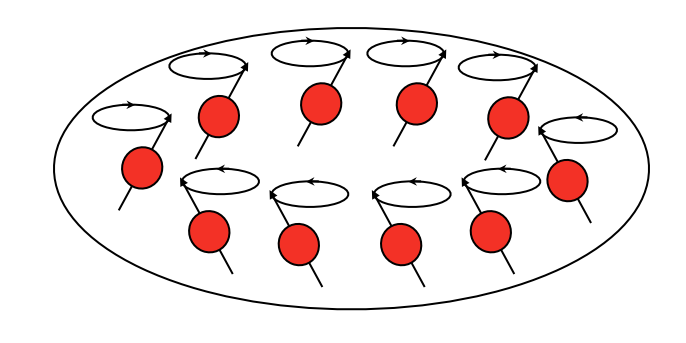


E

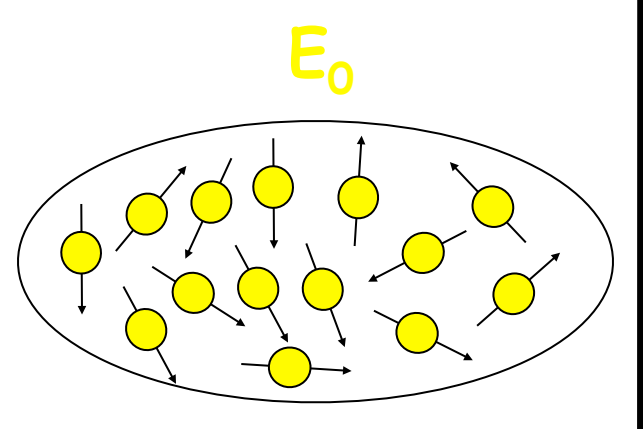
 $E = + h v_0/2$



L'effet Zeeman Nucléaire

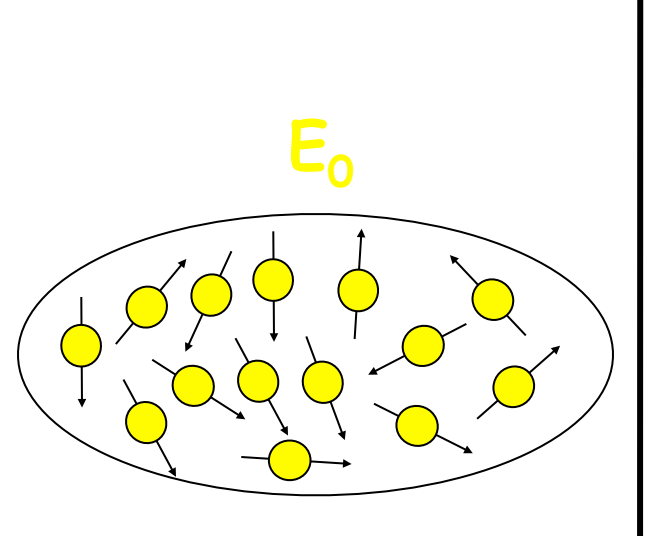


$$E = -h v_0/2$$

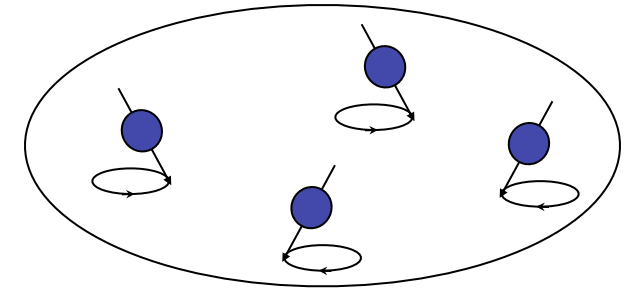


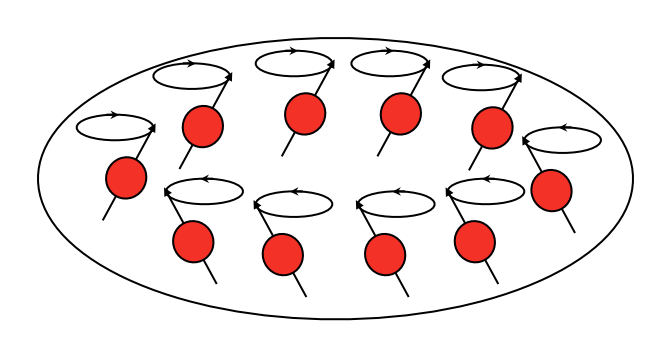
Sans Bo





$$E = + h v_0/2$$





$$E = -h v_0/2$$

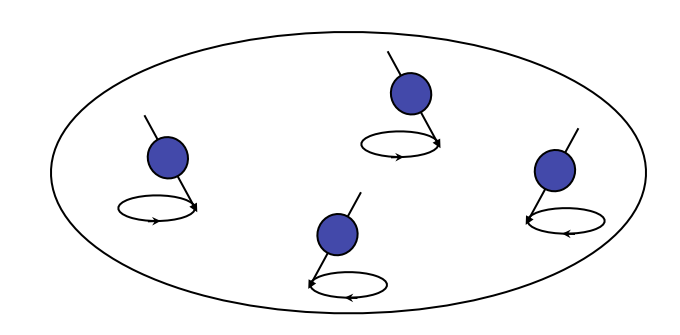
Sans Bo

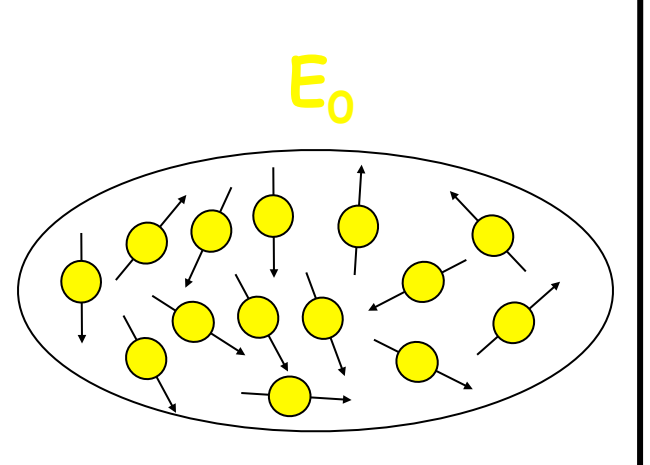


Loi de Boltzmann

$$P_{\alpha} - P_{\beta} \approx \frac{\Delta E}{2K_{B}T}$$

$$E = + h v_0/2$$





$$E = -h v_0/2$$

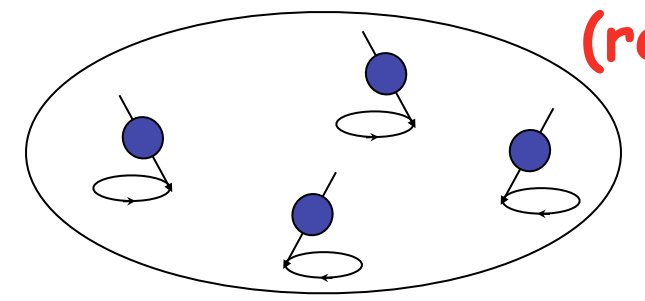
Sans Bo



Loi de Boltzmann

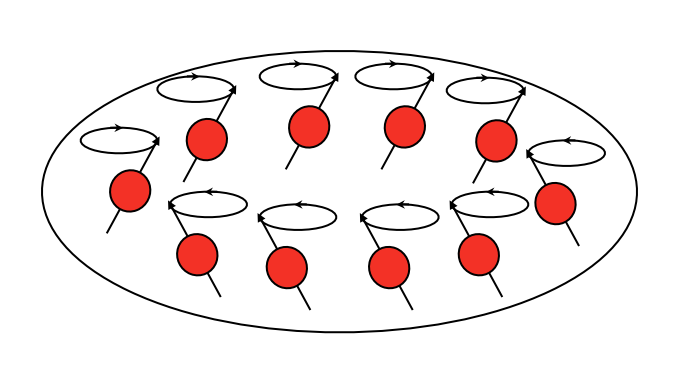
$$P_{\alpha} - P_{\beta} \approx \frac{\Delta E}{2K_{B}T}$$

$$E = + h v_0/2$$

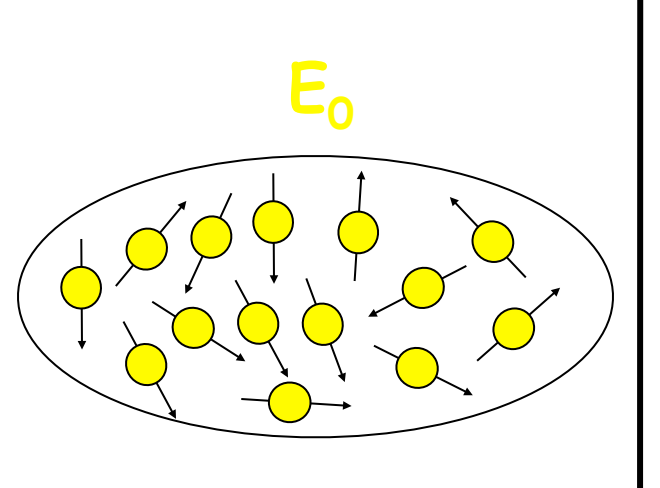


(relation de Larmor)

$$v_0 = \gamma B_0 / 2\pi$$



$$E = -h v_0/2$$



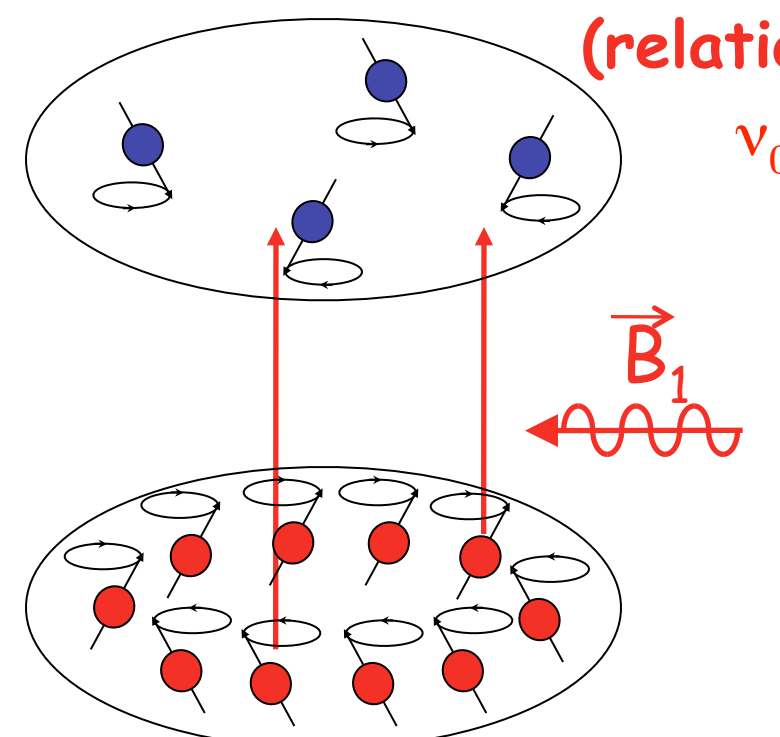
Sans Bo



Loi de Boltzmann

$$P_{\alpha} - P_{\beta} \approx \frac{\Delta E}{2K_{B}T}$$

$$E = + h v_0/2$$



(relation de Larmor)

$$v_0 = \gamma B_0 / 2\pi$$

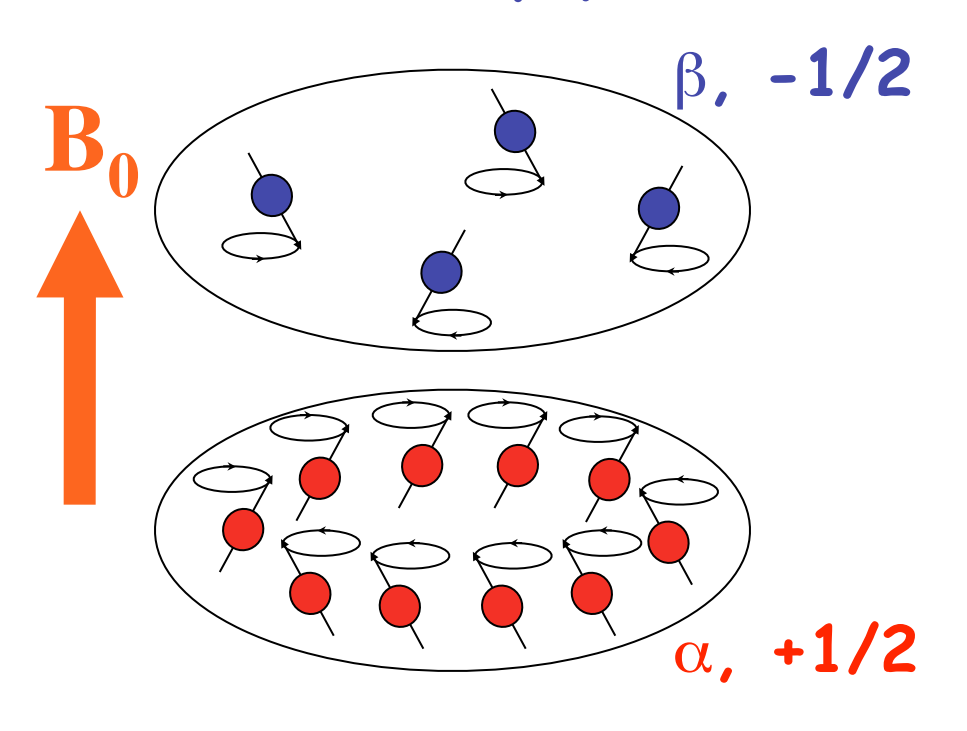
Loi de Bohr: $\Delta E = h v_0$ $= h \gamma B_0 / 2\pi$

$$E = -h v_0/2$$

Fréquences de LARMOR de quelques noyaux communs (mesurées dans un champ B0 = 2.35 T)

NOYAU	I	V(MHz)	Abondance
			naturelle (%)
¹ H	1/2	100	99,98
^{2}H	1	15,351	1,5 10-2
13 C	1/2	25,144	1,108
17 O	5/2	13,557	3,7 10-2
^{14}N	1	7,224	99,63
15 N	1/2	10,133	0,37
31 P	1/2	40,481	100
$^{19}\mathrm{F}$	1/2	94,077	100
²³ Na	3/2	26,451	100

Microscopique

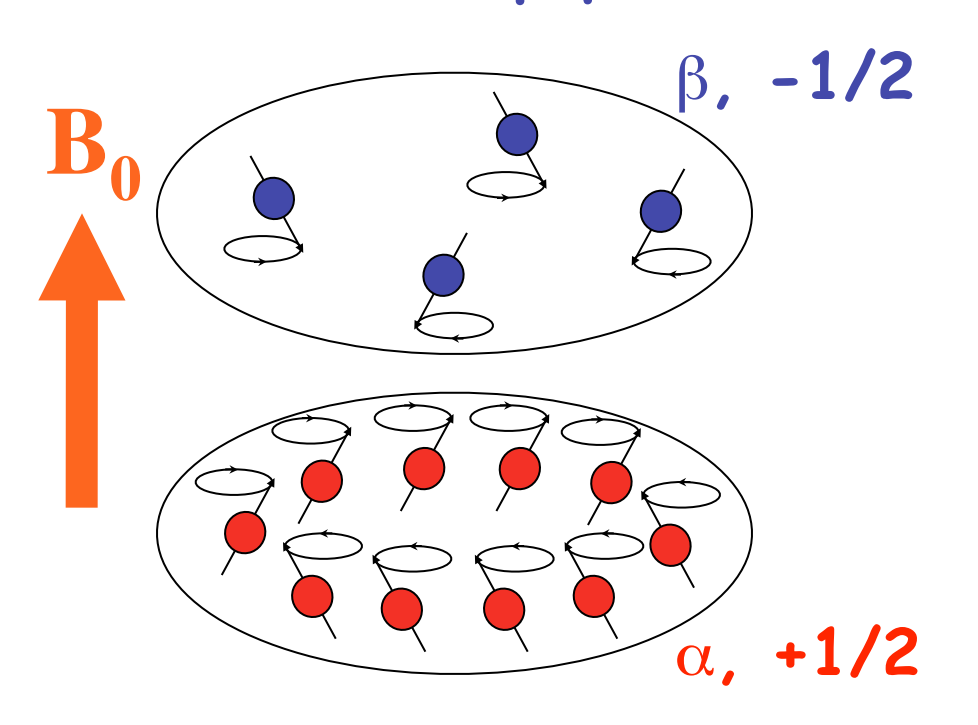


Boltzmann law:

$$P_{\alpha} - P_{\beta} \approx \frac{\Delta E}{2K_B T}$$

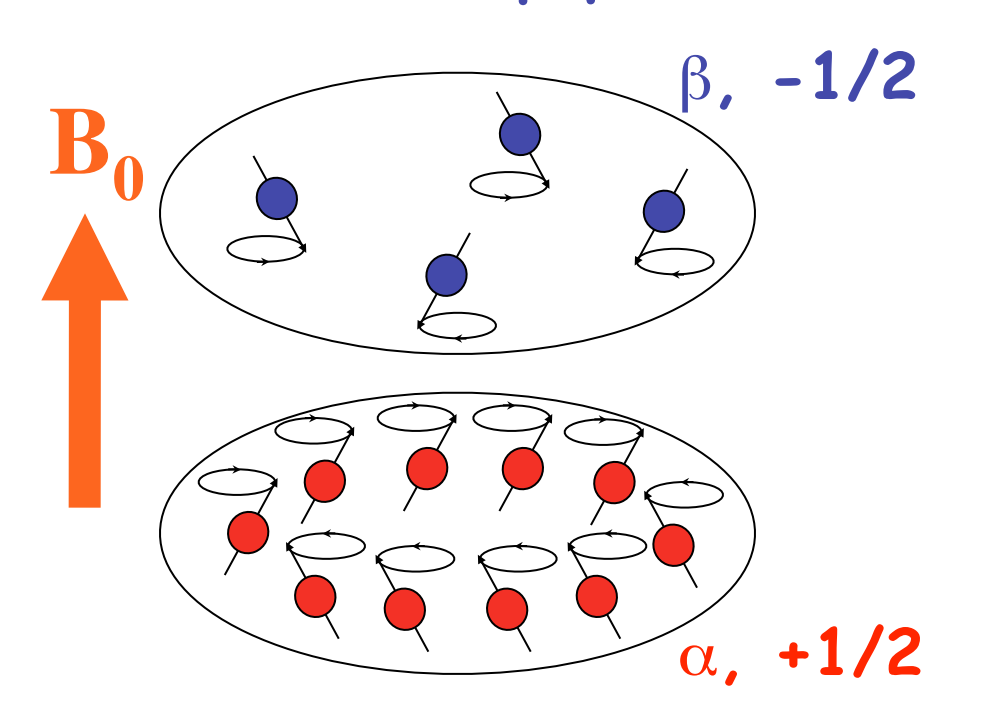
Soumises à un champ magnétique B_0 , les particules vont peupler 2 niveau d'énergie : un niveau de basse énergie $(\alpha, +1/2)$ avec le moment magnétique parallèle à l'induction magnétique, et un niveau de haute énergie $(\beta, -1/2)$ avec le moment magnétique antiparallèle à B₀. Les populations de spins sur les 2 niveaux ne sont pas égales : la distribution suit la loi de Boltzmann, avec un excès de spins paralèles à B₀ sur le niveau de basse énergie à l'équilibre thermodynamique.

Microscopique



Le moment magnétique n'est pas complètement aligné avec B_0 : à cause de la loi de Laplace, le vecteur magnétique va tourner (d'où le nom de "spin"!) à une vitesse qui dépends de sa fréquence de Larmor.

Microscopique

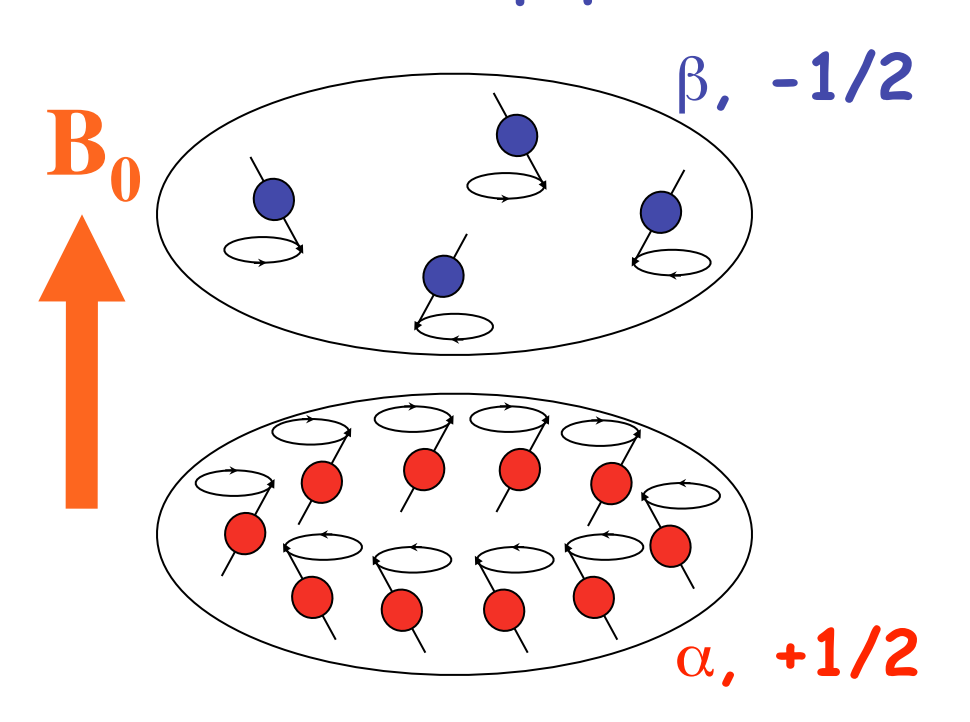


Le moment magnétique n'est pas complètement aligné avec B_0 : à cause de la loi de Laplace, le vecteur magnétique va tourner (d'où le nom de "spin"!) à une vitesse qui dépends de sa fréquence de Larmor.

Larmor law:

$$\mathbf{v} = \gamma B_0 / 2\pi$$

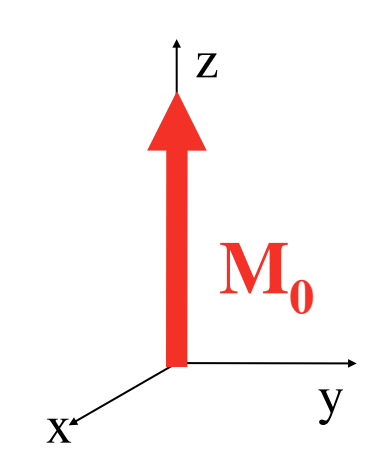
Microscopique



Larmor law:

$$\mathbf{v} = \gamma B_0 / 2\pi$$

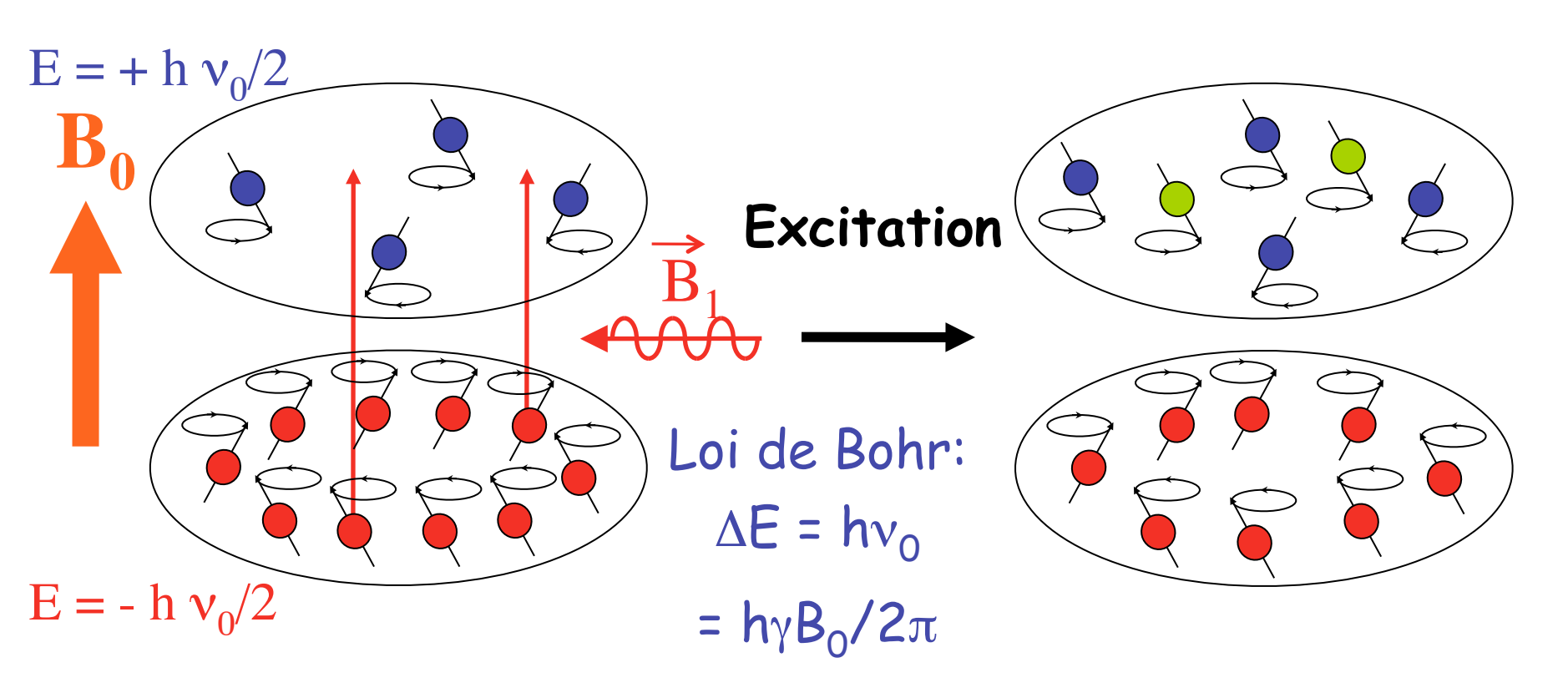
Macroscopique



Tous les vecteurs d'aimantation microscopique tournent à la même vitesse mais sans cohérence de phase.

=> l'aimantation Macroscopique n'existe que selon l'axe z.

Perturbation de l'équilibre thermodynamique

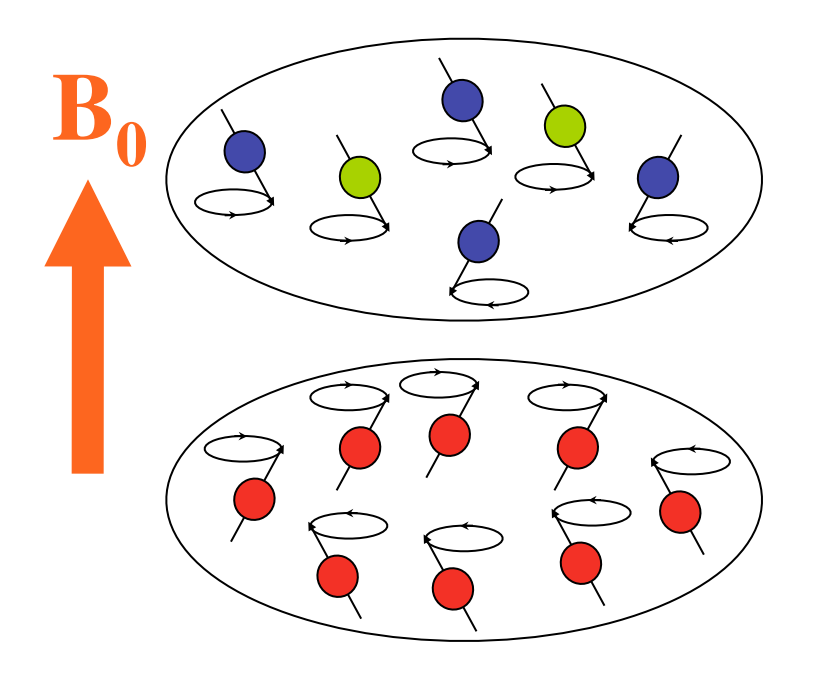


Si l'on applique un champ R.F. coherent B_1 à la fréquence de Larmor :

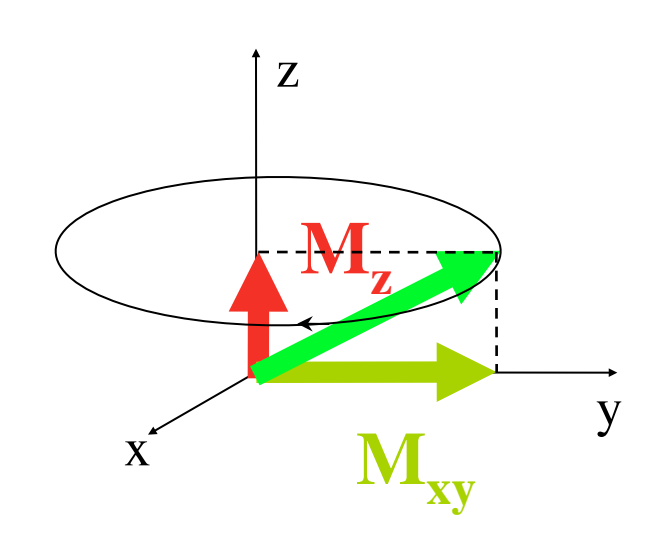
- on induit des transitions entre les niveaux d'énergie α et β , ce qui diminue la différence de population;
- les spins concernés par les transitions "s'alignent" avec B_1 : ils gagnent de la cohérence de phase.

Perturbation de l'équilibre thermodynamique

Microscopique

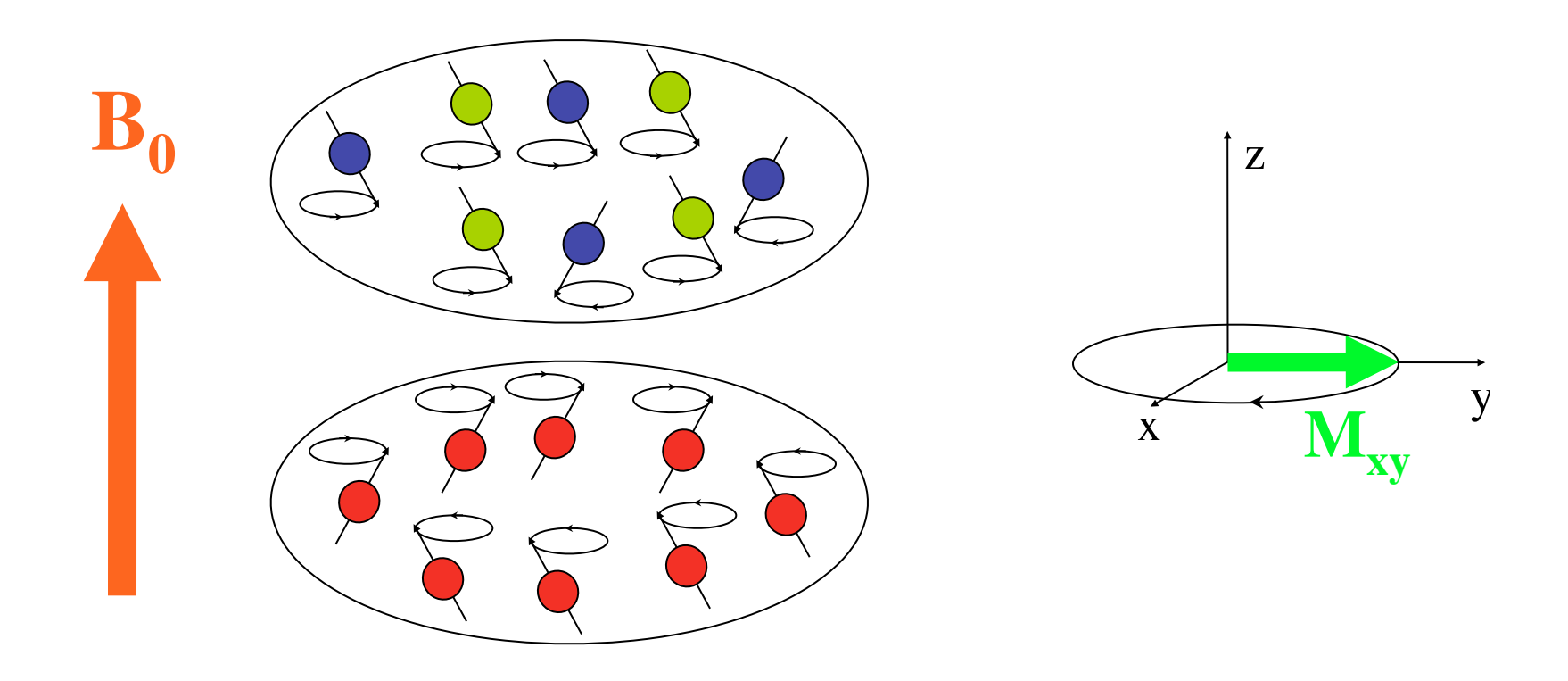


Macroscopique

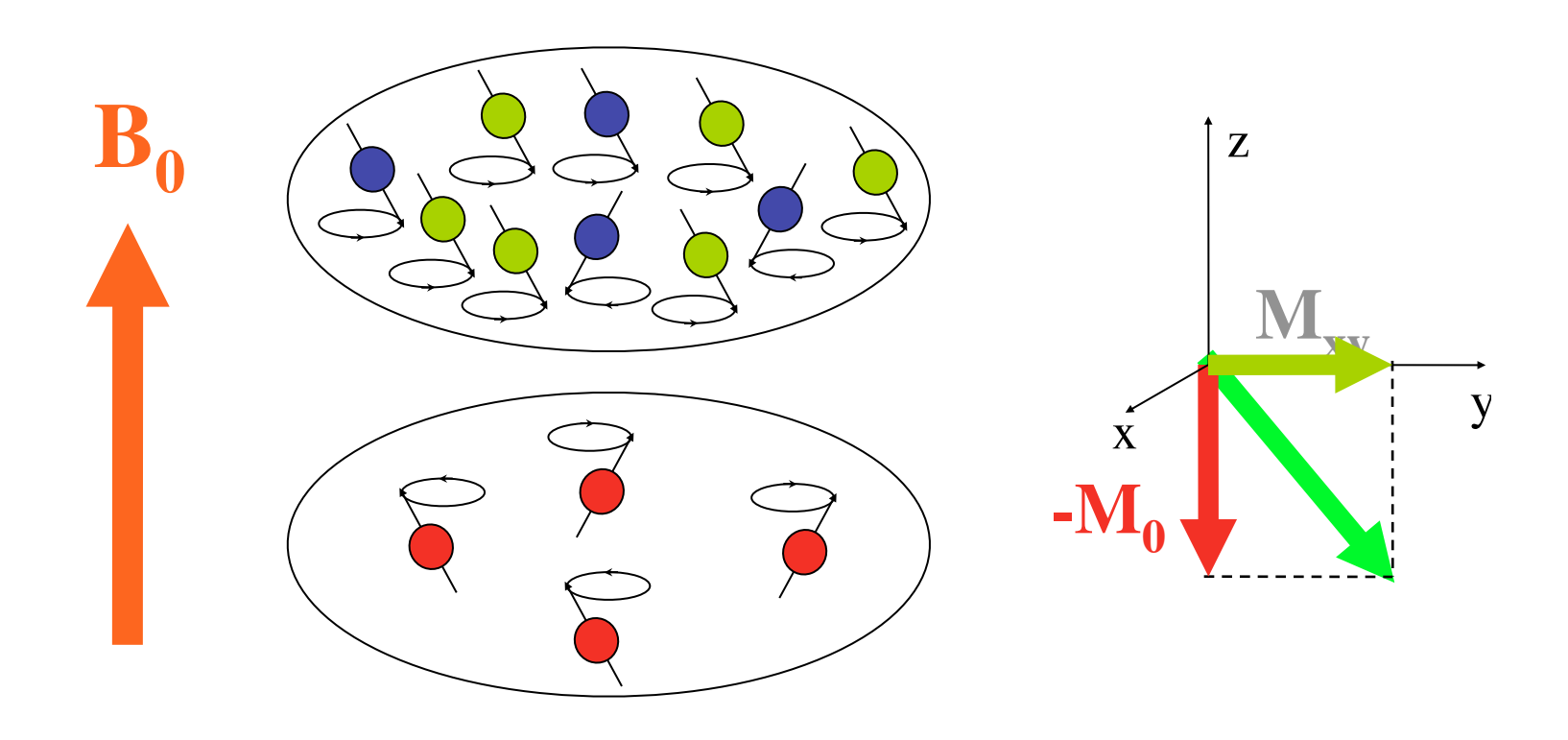


L'aimantation selon z diminue, et une composante macroscopique apparait dans le plan xy. Par conséquent, l'aimantation macroscopique bascule vers le plan xy, tout en précessant à la fréquence de Larmor.

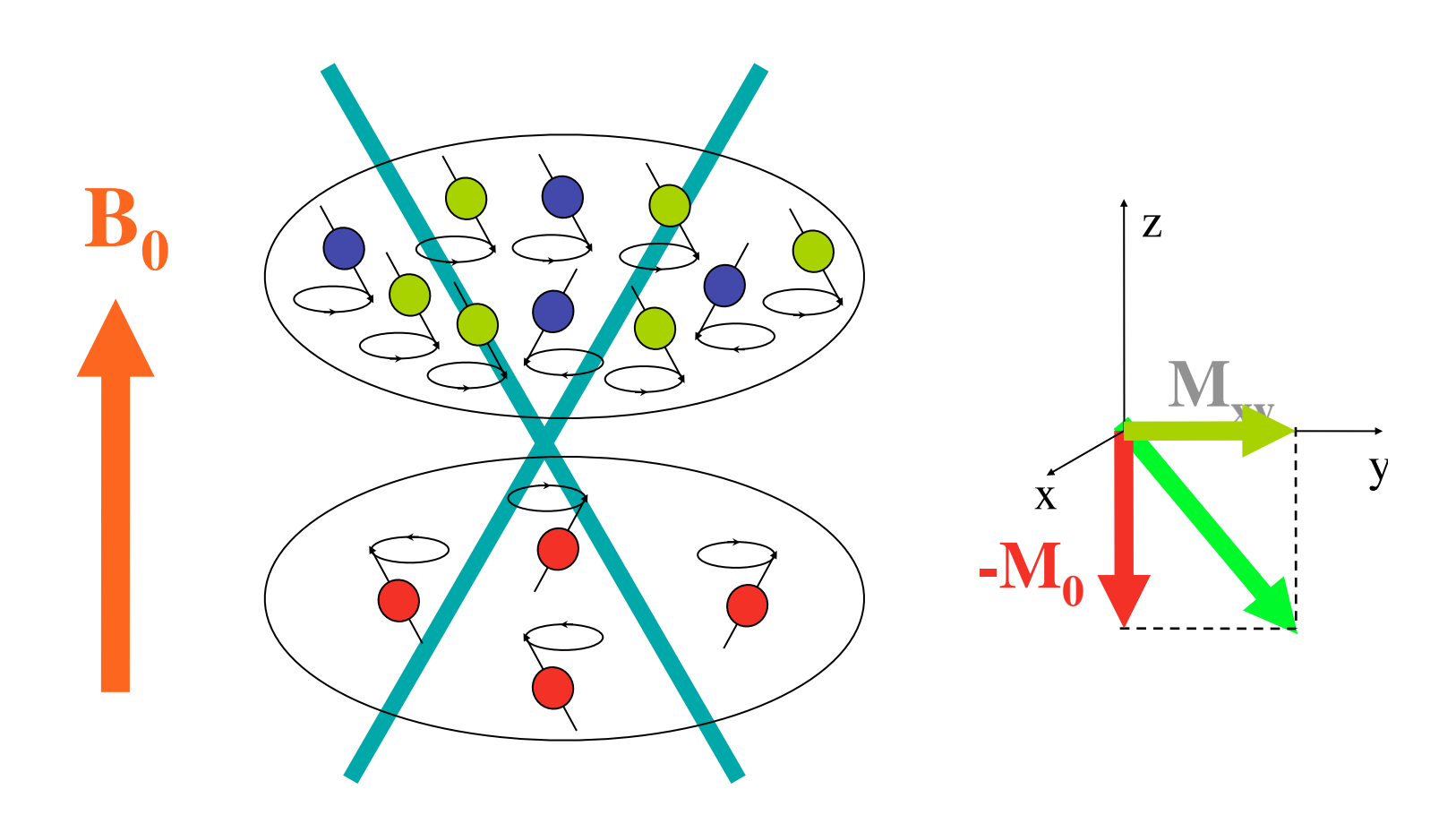
Impulsion 90° (égalisation des populations de spins)



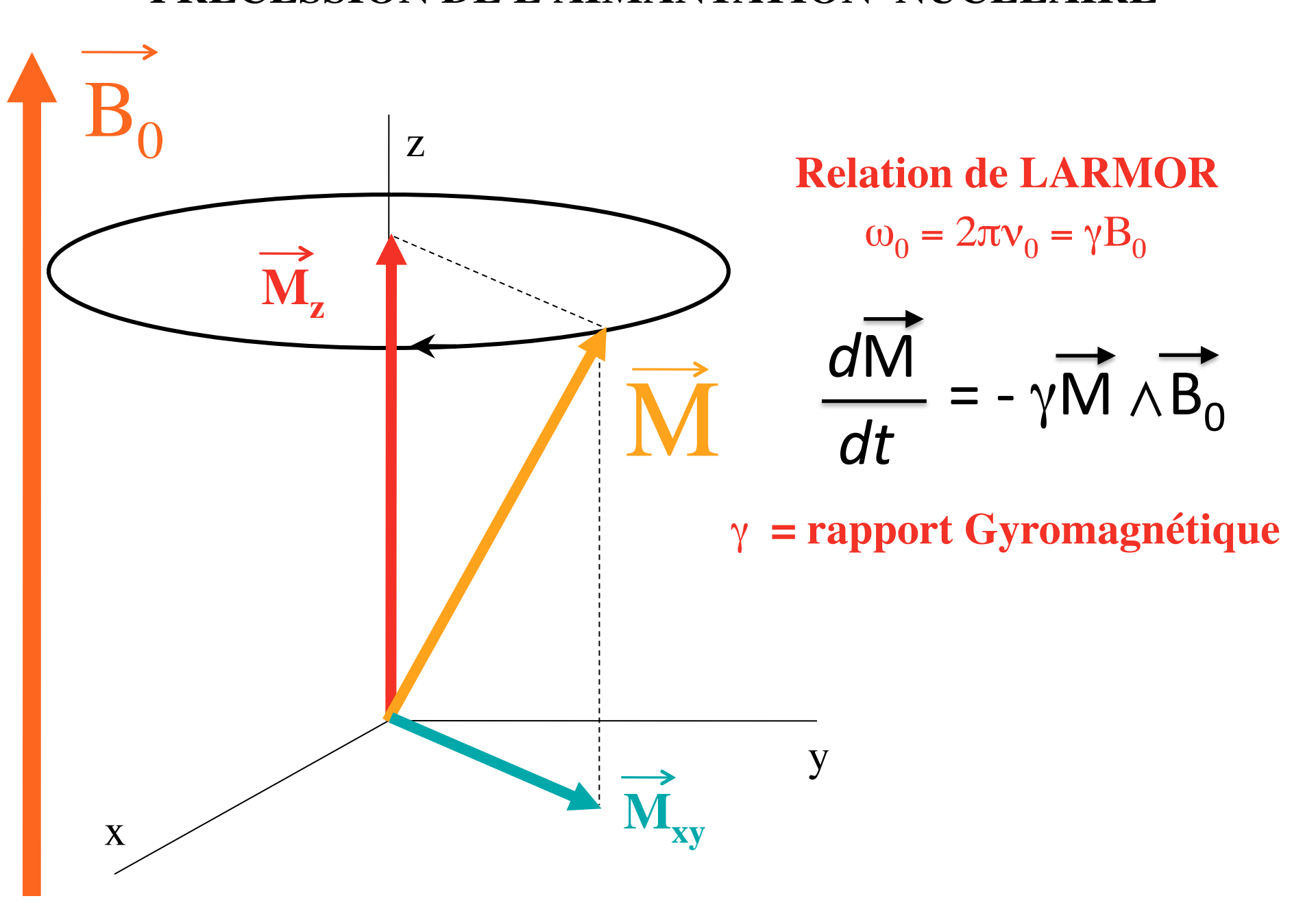
Impulsion 180° (inversion des populations de spins)

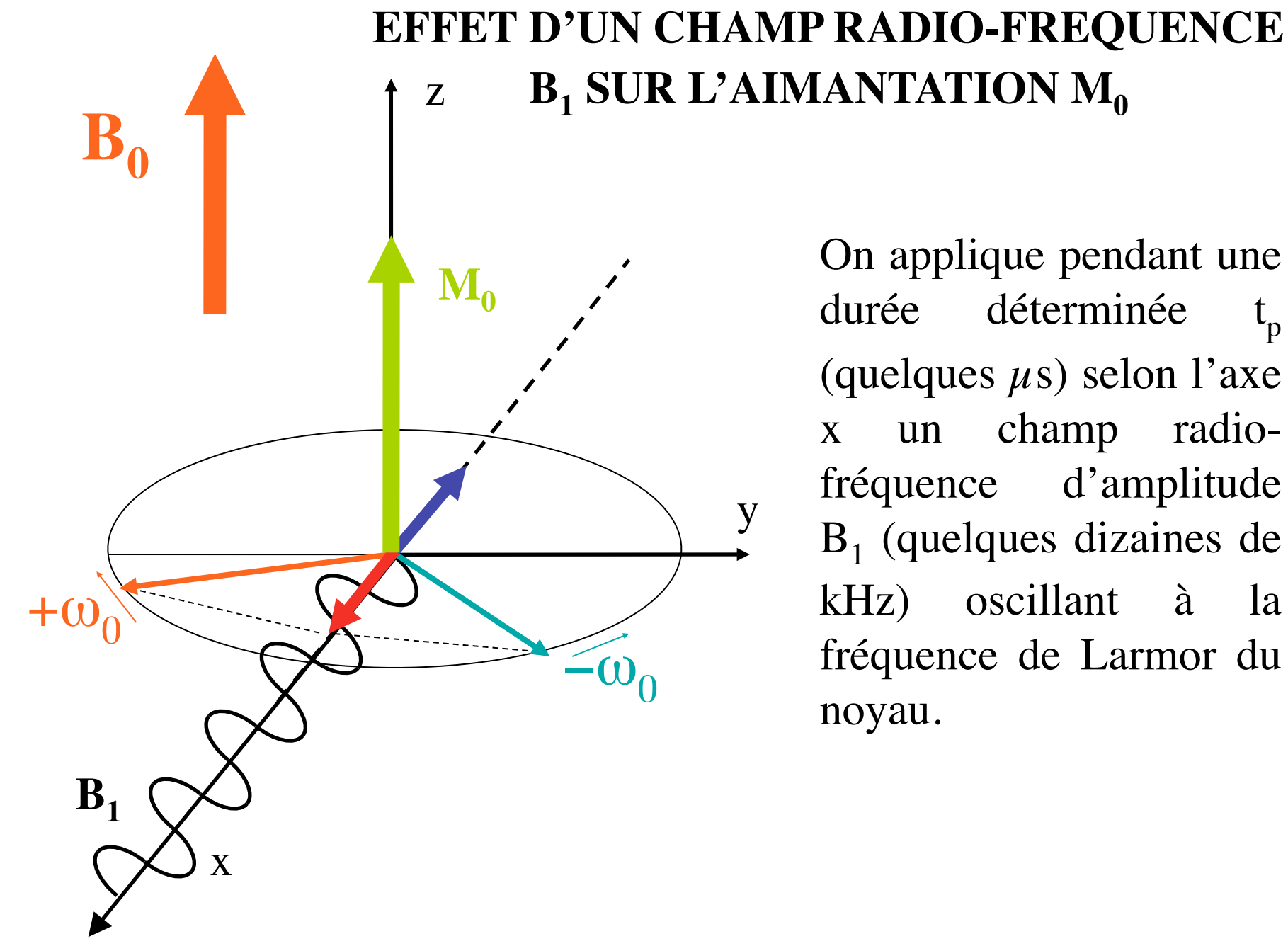


Impulsion 180° (inversion des populations de spins)



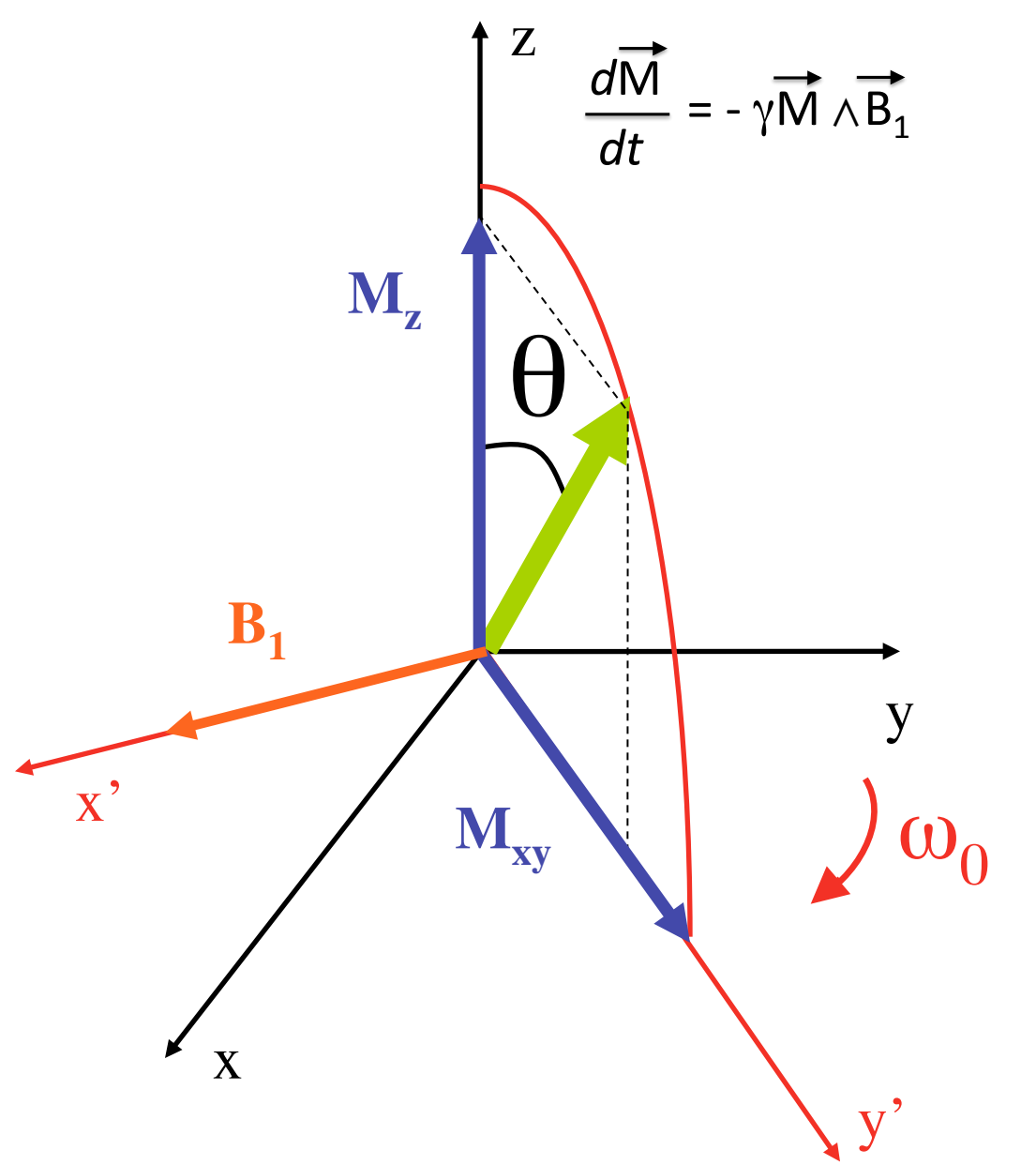
PRECESSION DE L'AIMANTATION NUCLEAIRE





On applique pendant une déterminée durée (quelques μ s) selon l'axe un champ radiofréquence d'amplitude B₁ (quelques dizaines de kHz) oscillant fréquence de Larmor du noyau.

EFFET DE B₁ DANS LE REFERENTIEL TOURNANT



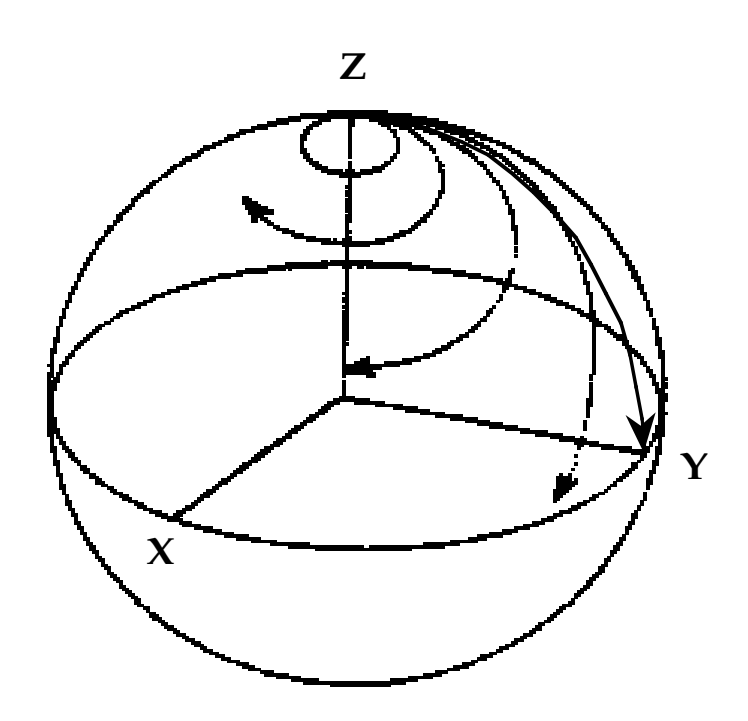
Dans le référentiel tournant à la fréquence de Larmor du noyau, l'aimantation ne subit plus que l'effet du champ « statique » B_1 .

$$\omega = \gamma B_1$$

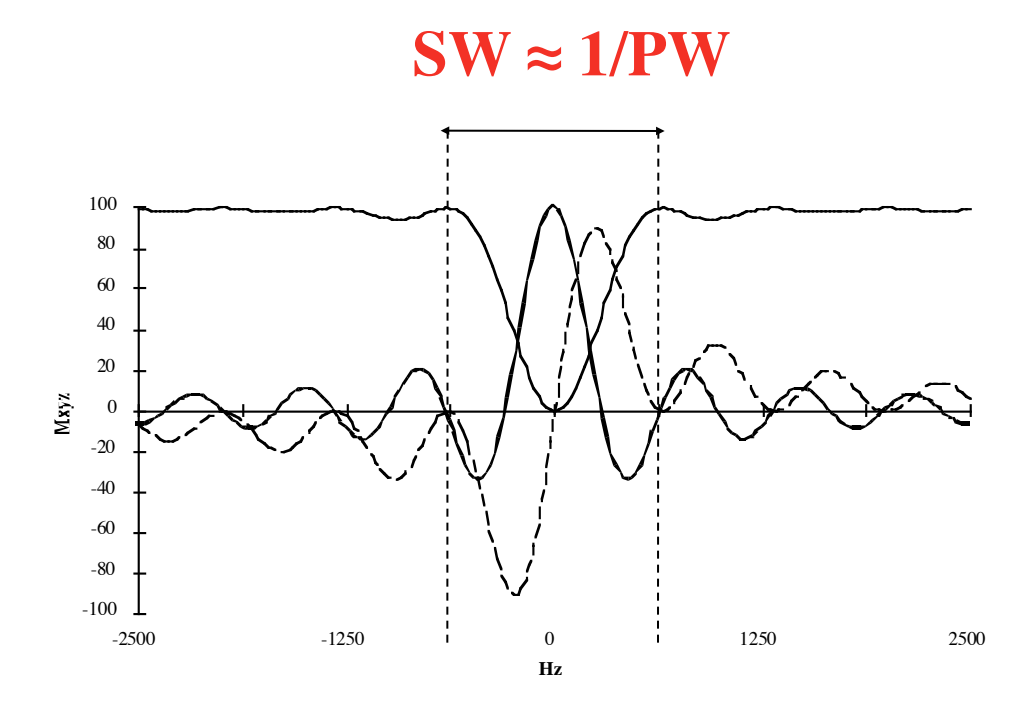
Elle va tourner autour de l'axe x' d'un angle égal à :

$$\theta = \gamma B_1 t_p$$

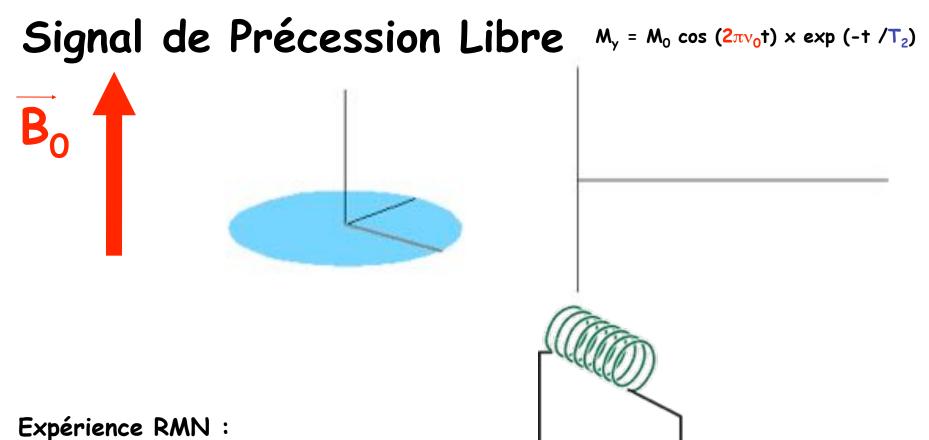
Relation entre Largeur Spectrale (SW) et Longueur de l'Impulsion (PW)



Trajectoire de l'aimantation en fonction de l'offset



Profil en fréquence : distribution de l'aimantation après application de l'impulsion.

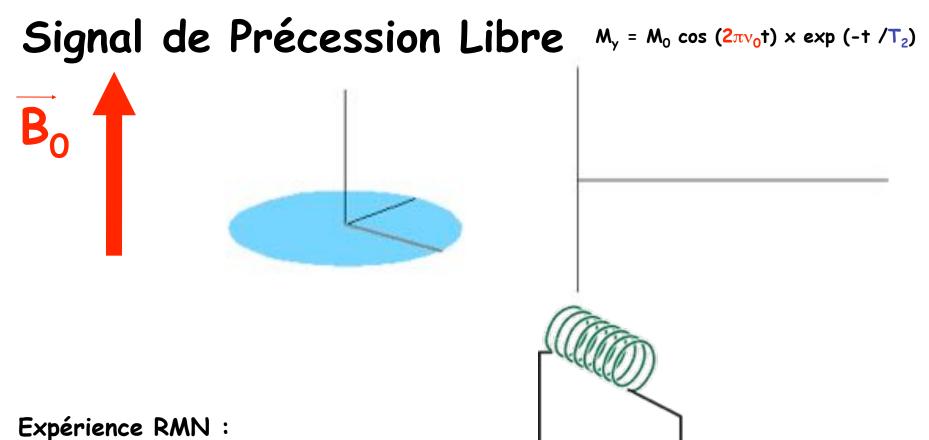


Spectro

experience RMIT

Le signal détecté est une sinusoïde amortie :

- \cdot Le dipole tourne autour de l'axe du champ avec une fréquence ν = γ B $_{0}/2$ π
- · La relaxation ramène l'aimantation à l'état d'équilibre



Spectro

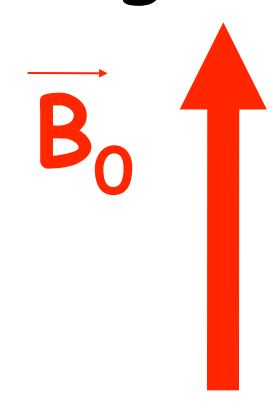
experience RMIT

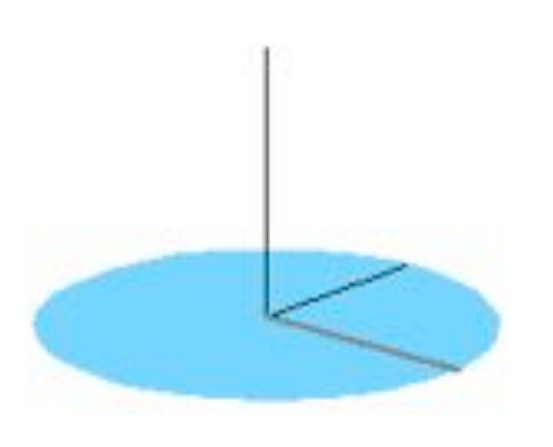
Le signal détecté est une sinusoïde amortie :

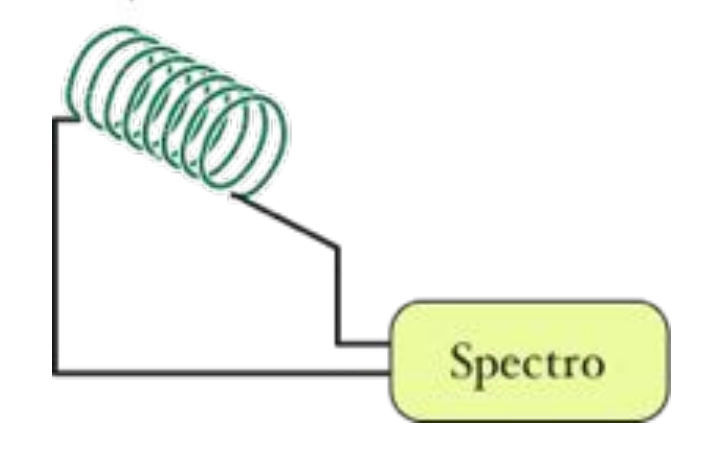
- \cdot Le dipole tourne autour de l'axe du champ avec une fréquence ν = γ B $_{0}/2$ π
- · La relaxation ramène l'aimantation à l'état d'équilibre

Signal de Précession Libre

 $M_y = M_0 \cos(2\pi v_0 t) \times \exp(-t/T_2)$







Expérience RMN:

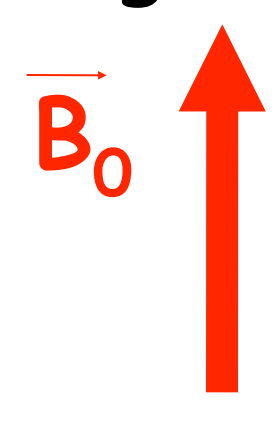
Le signal détecté est une sinusoïde amortie :

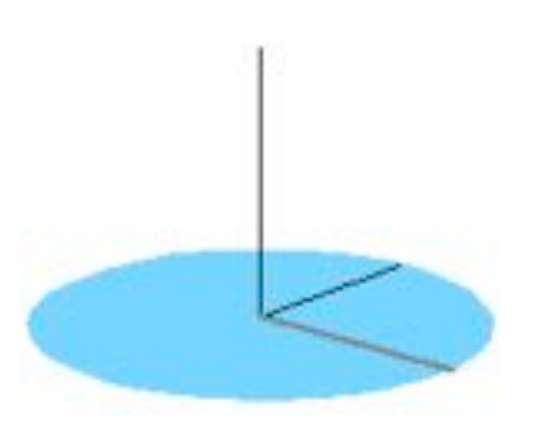
- Le dipole tourne autour de l'axe du champ avec une fréquence v = $\frac{\gamma}{B_0}/2$ π
- · La relaxation ramène l'aimantation à l'état d'équilibre

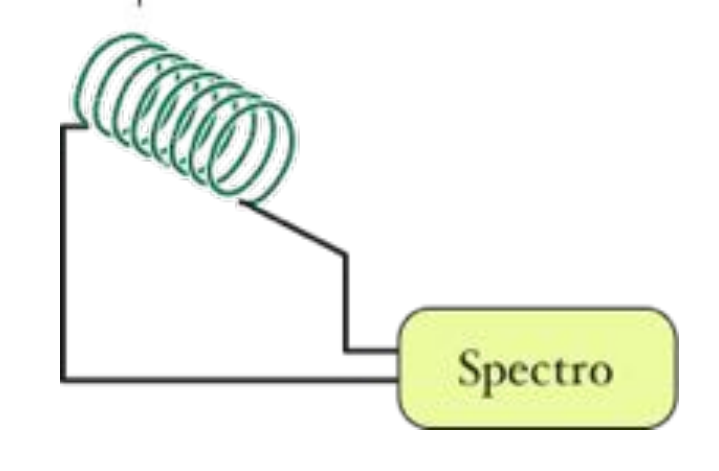
rapport gyromagnétique

Signal de Précession Libre

 $M_v = M_0 \cos (2\pi v_0 t) \times \exp (-t /T_2)$







Expérience RMN:

Le signal détecté est une sinusoïde amortie :

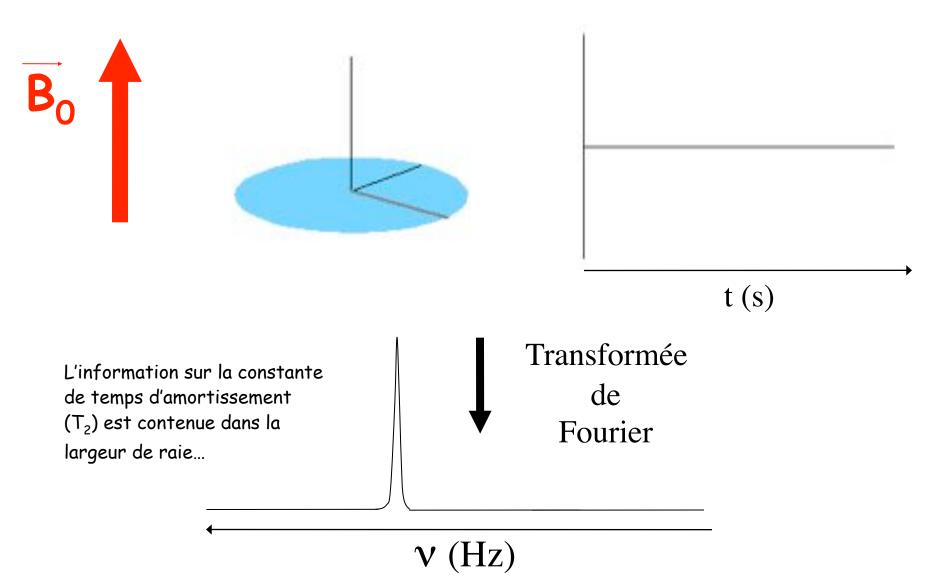
- \cdot Le dipole tourne autour de l'axe du champ avec une fréquence ν = $\frac{\gamma}{\rho}$ B $_{0}$ /2 π
- · La relaxation ramène l'aimantation à l'état d'équilibre

2 informations:

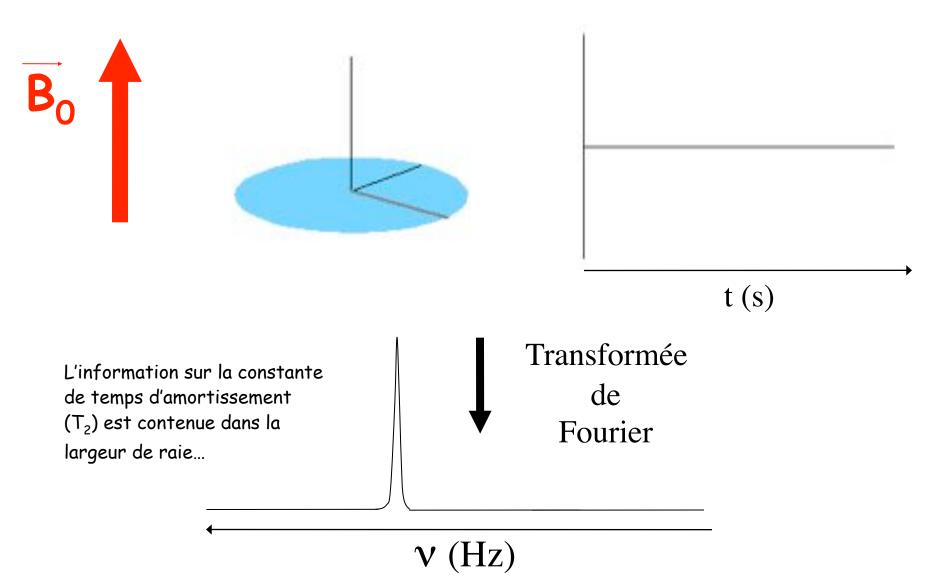
rapport gyromagnétique

fréquence & constante de temps d'amortissement (T2)

Signal de Précession Libre et Transformée de Fourier

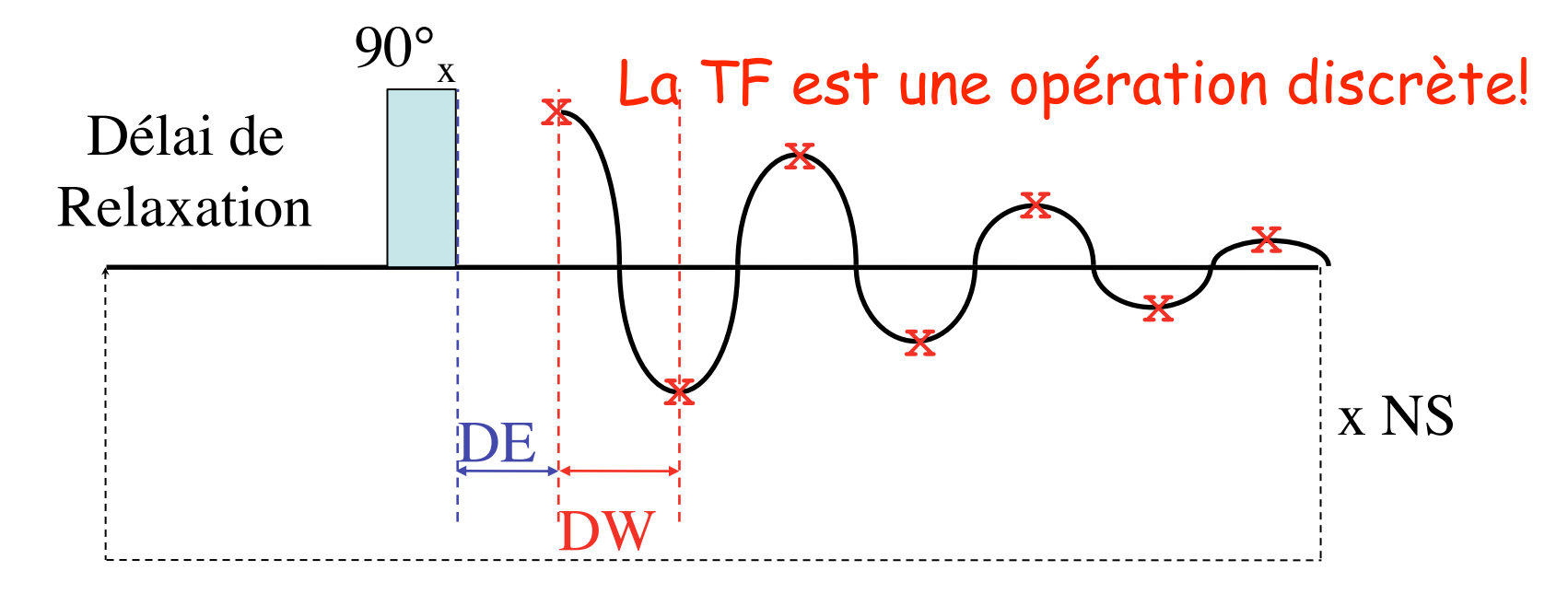


Signal de Précession Libre et Transformée de Fourier

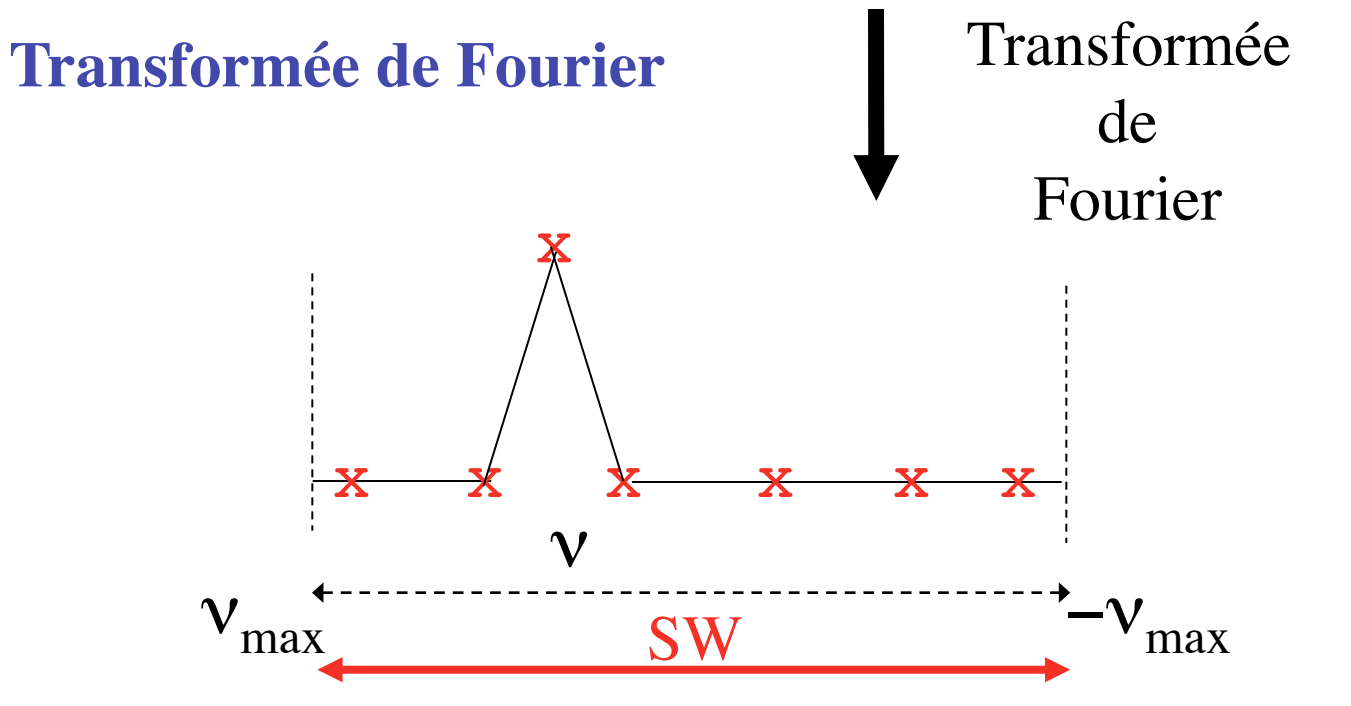


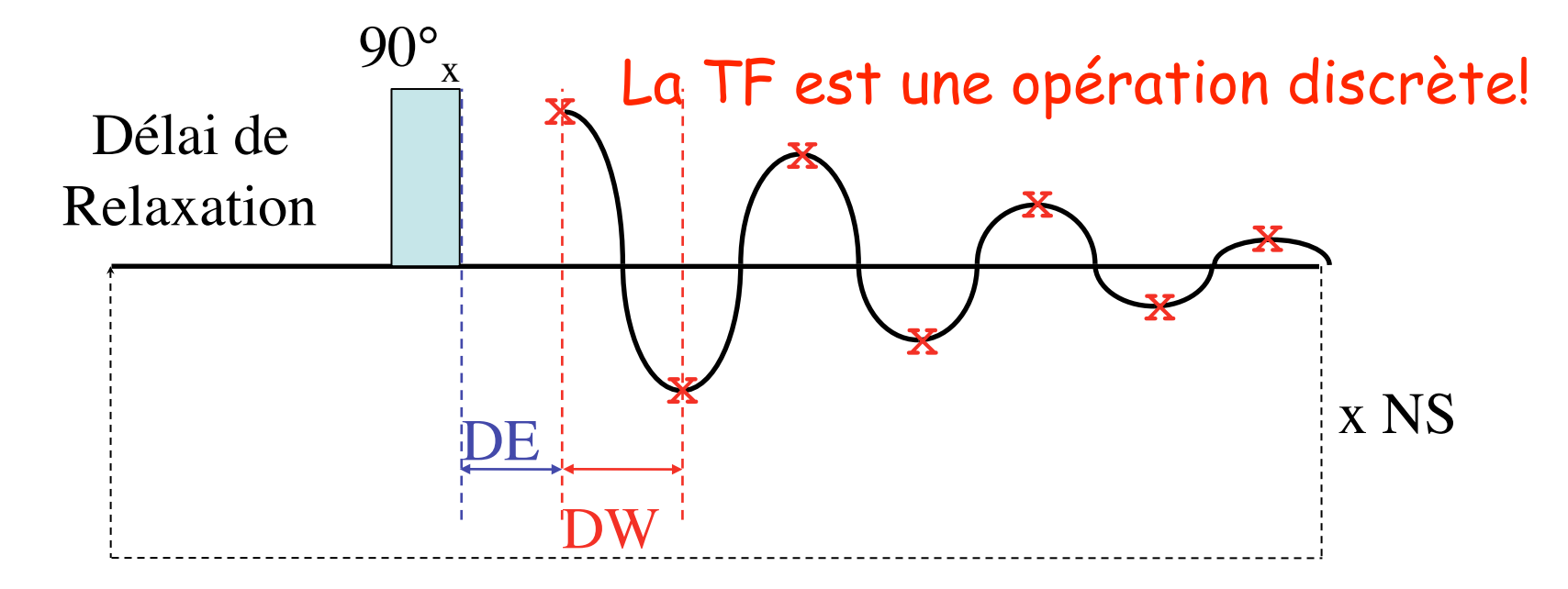
Pause...



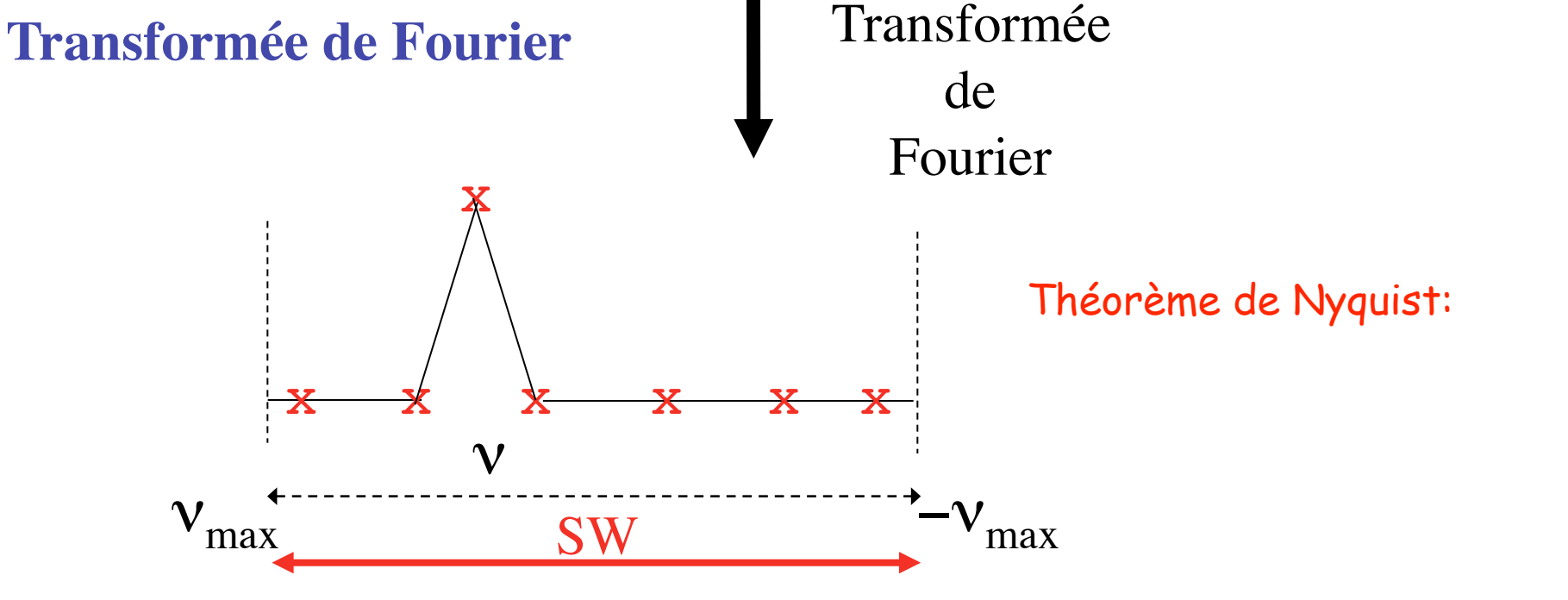


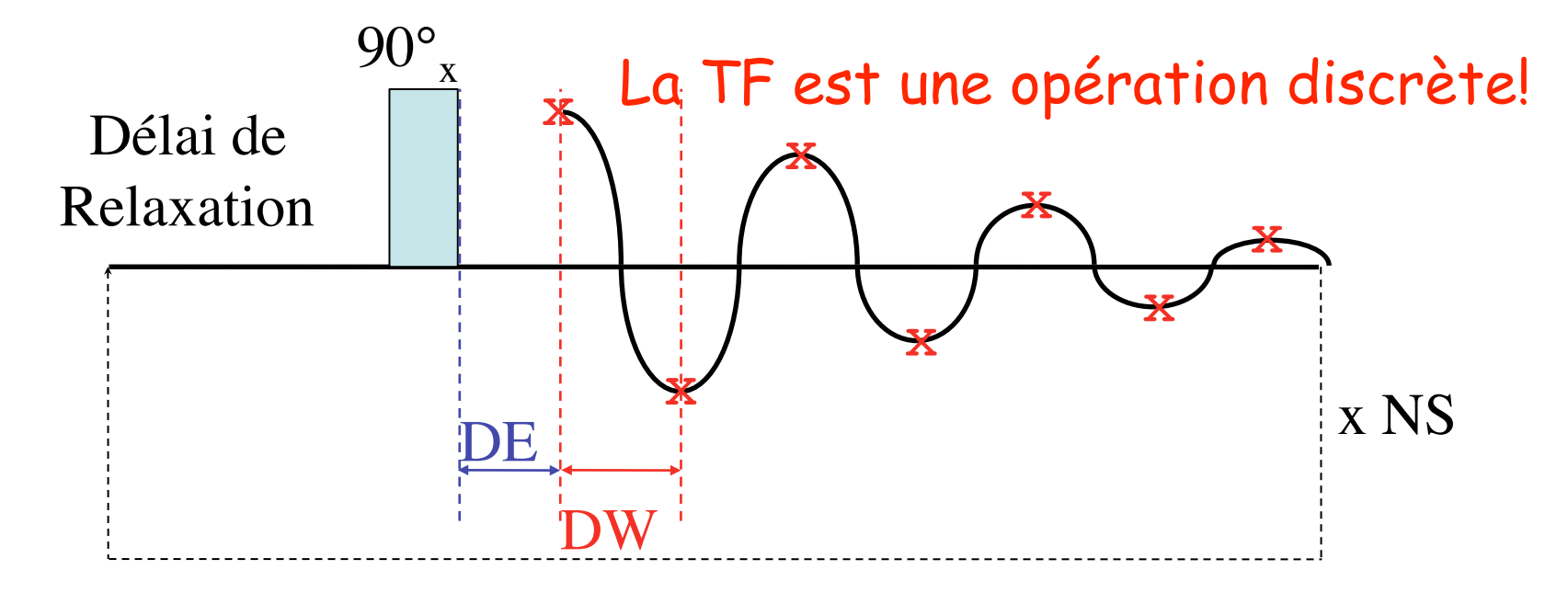
Expérience de RMN 1D par



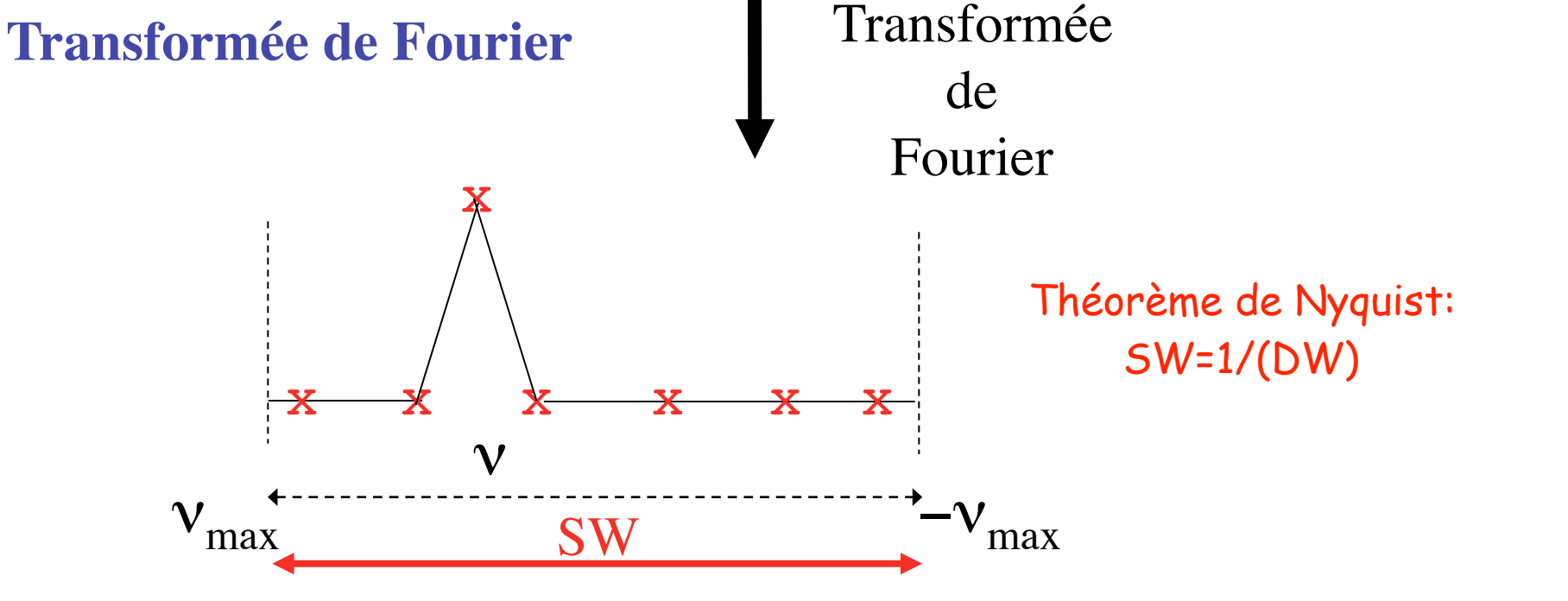


Expérience de RMN 1D par

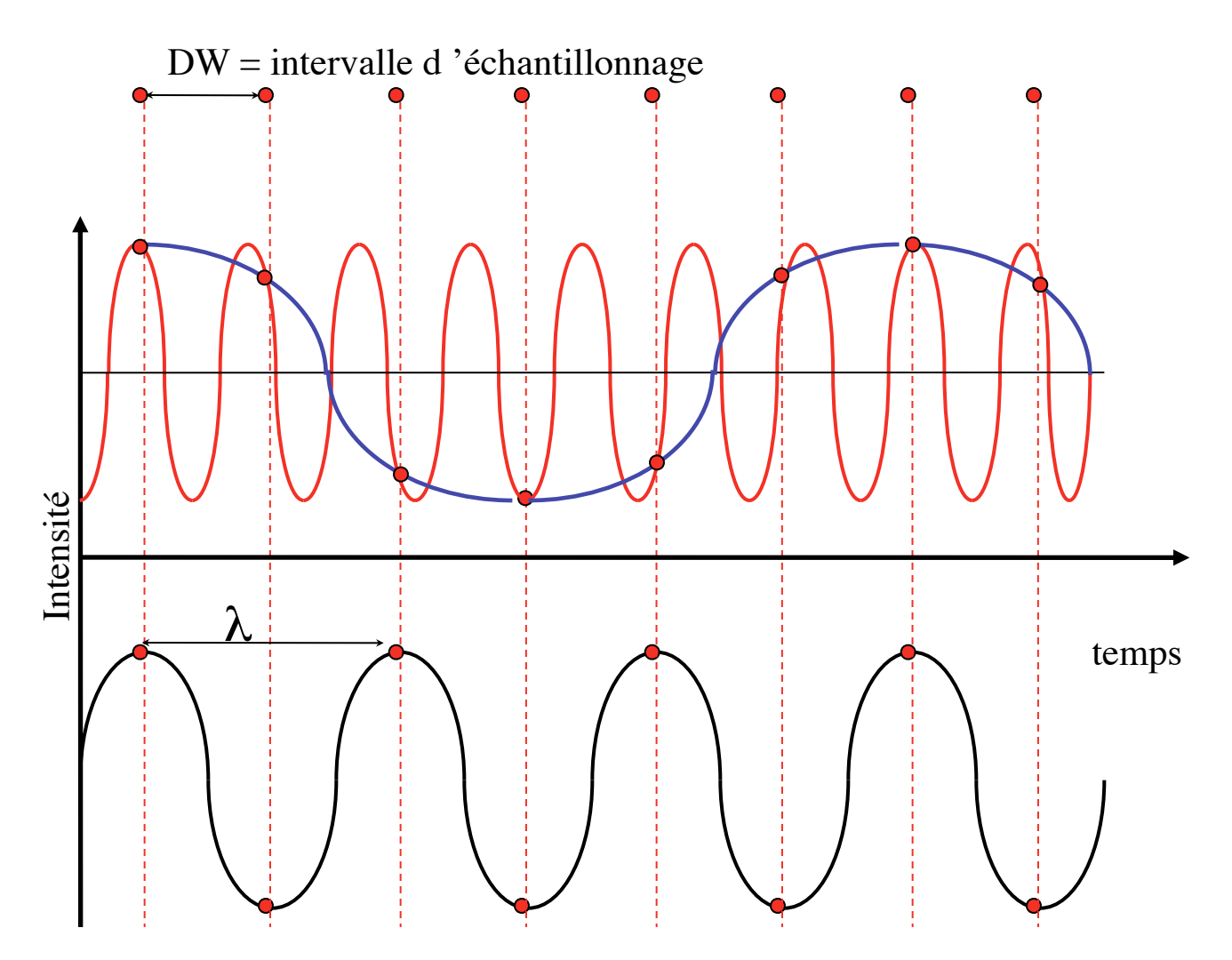




Expérience de RMN 1D par

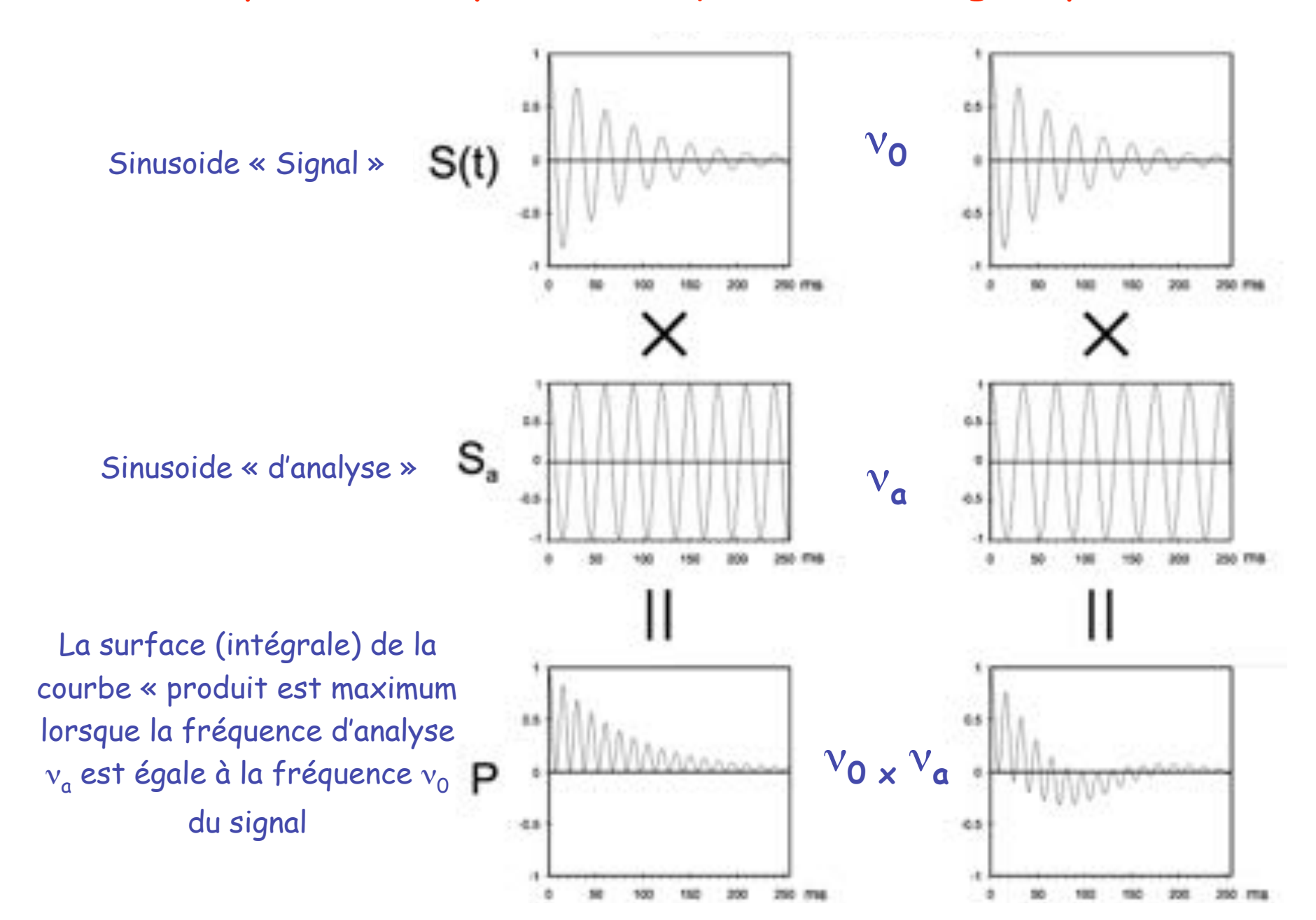


Echantillonnage du signal de précession libre: Le théorème de Nyquist



Le signal doit être échantillonné avec une fréquence d'au moins deux points par période.

Principe de l'analyse en fréquence d'un signal par TF



Transformée de Fourier et Rapport Signal sur Bruit

Le nombre de « scans » NS va déterminer le rapport signal/bruit de l'expérience :

-Le signal RMN est identique d'une expérience sur l'autre. Si on additionne les différentes FID, son intensité va croître proportionnellement à NS.

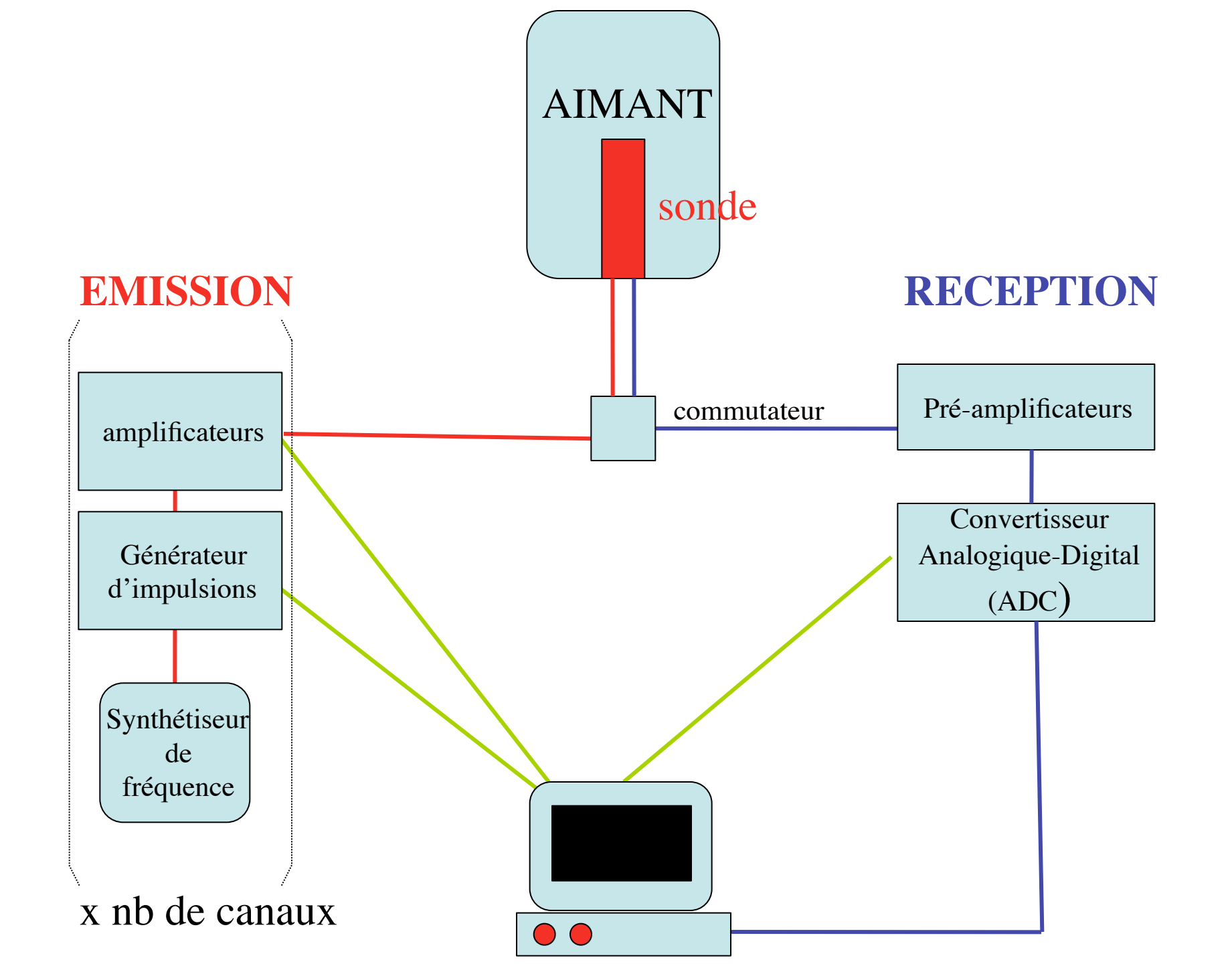
-Le bruit est par nature aléatoire: il est différent d'une expérience à l'autre. Si l'on additionne les différentes FID, on peut montrer qu'il croit proportionnellement à \sqrt{NS} .

Donc:

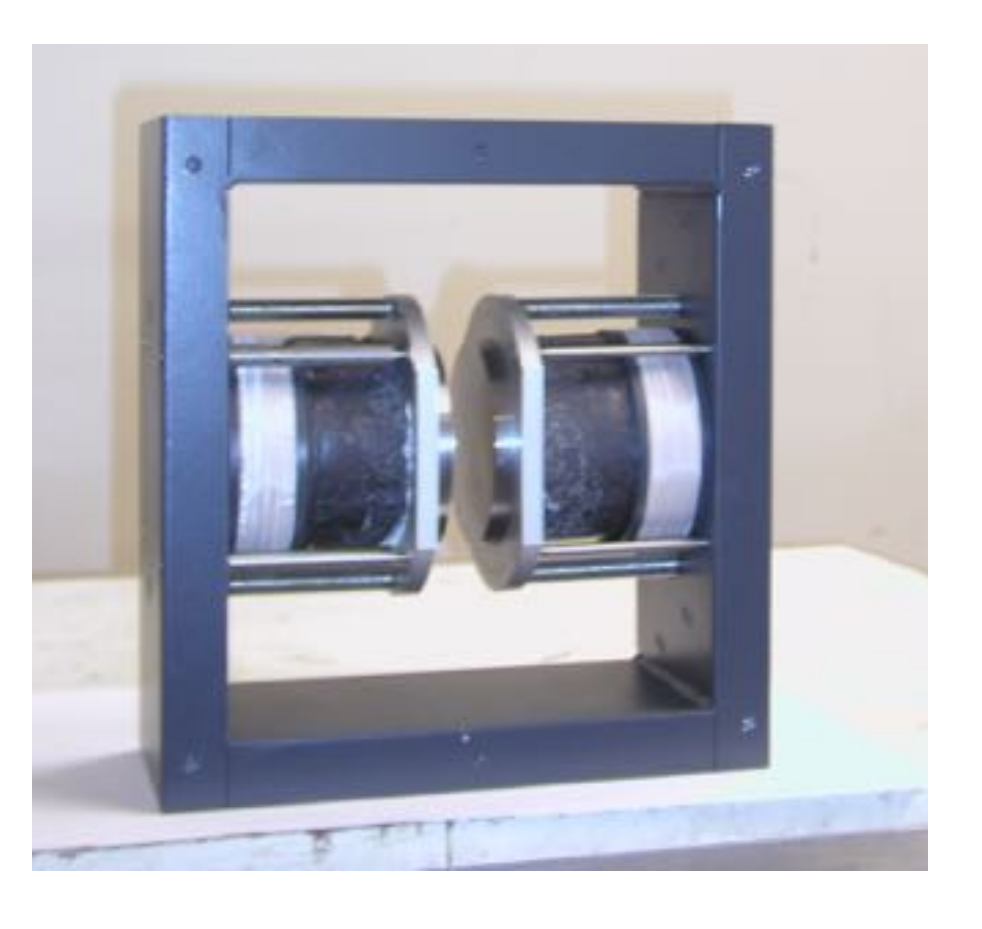
 $\frac{S}{R} \propto \sqrt{NS}$

Ce paramètre est à ajuster en fonction:

- de la sensibilité du spectromètre (champ B_0); $f(B_0^2)$
- de la sensibilité du noyau (rapport gyro-magnétique); $f(\gamma^3)$
- de la concentration de l'échantillon.



Aimant Permanent (60 MHz)



Electro-Aimant (90 MHz)



Aimant Permanent (60 MHz)



Electro-Aimant (90 MHz)

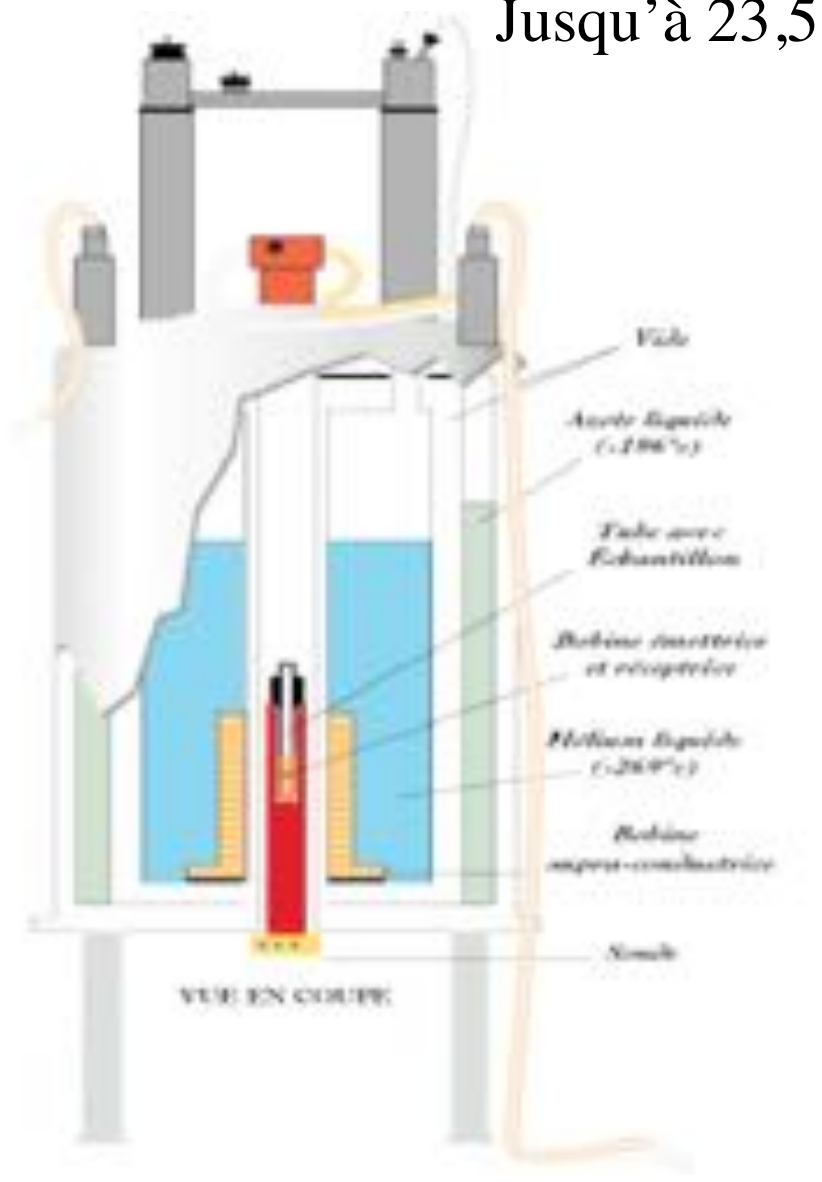


Aimant Supra-Conducteur (600 MHz)



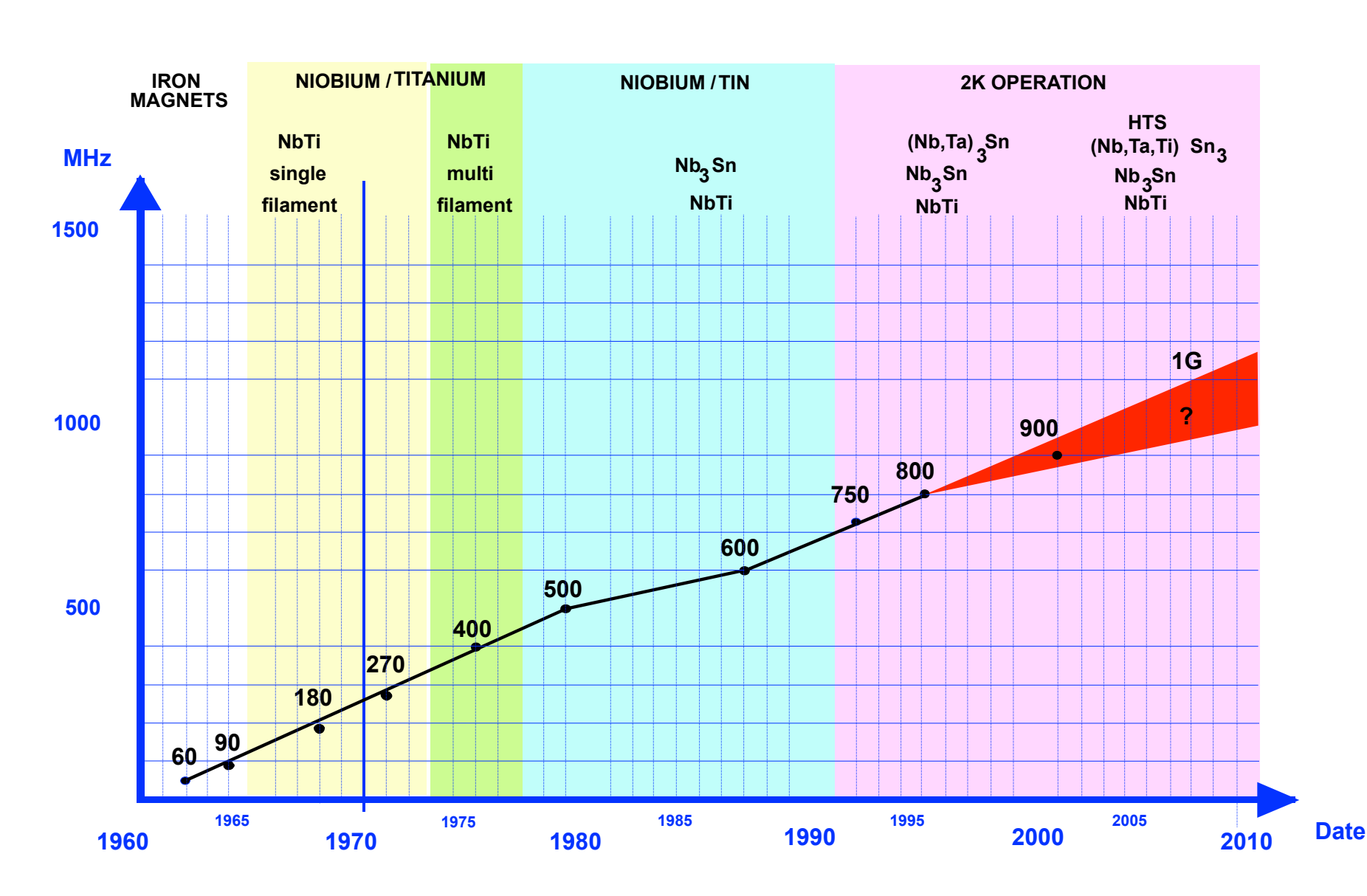
L'aimant Supra-Conducteur

Jusqu'à 23,5 T, soit 1 GHz

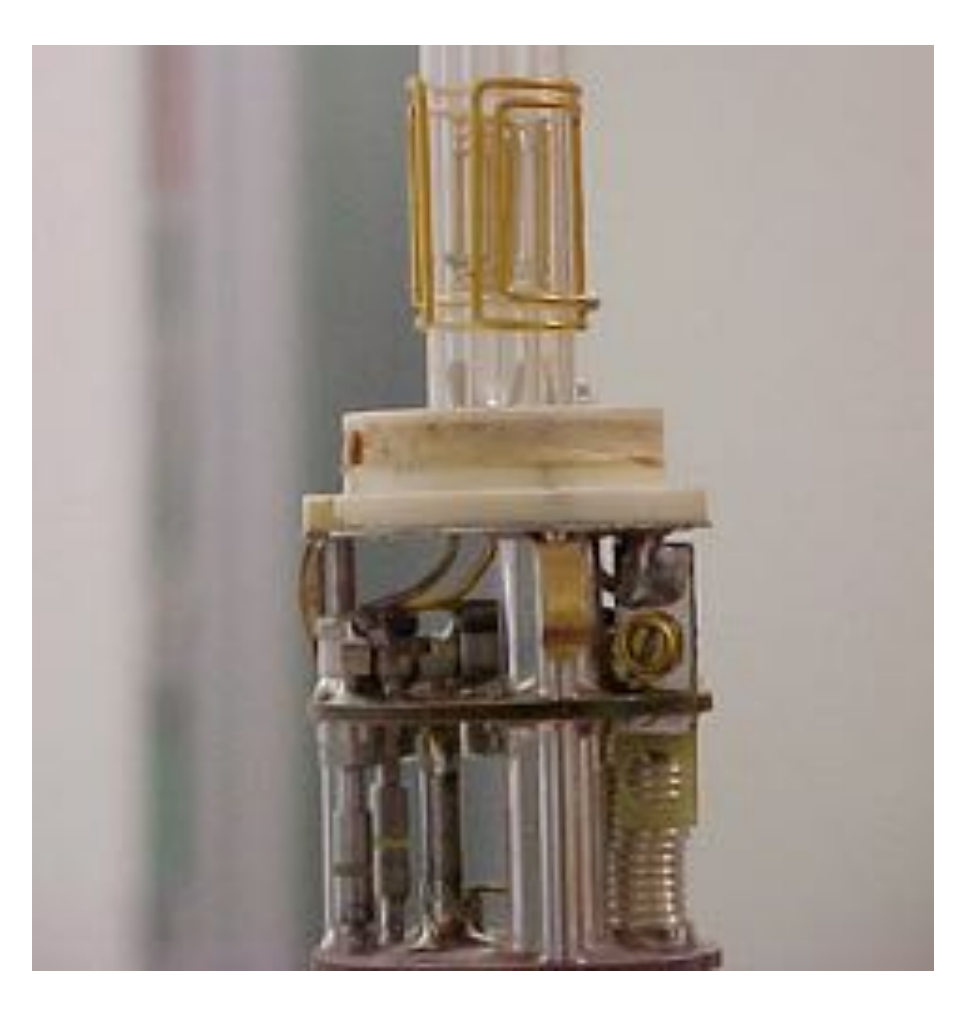


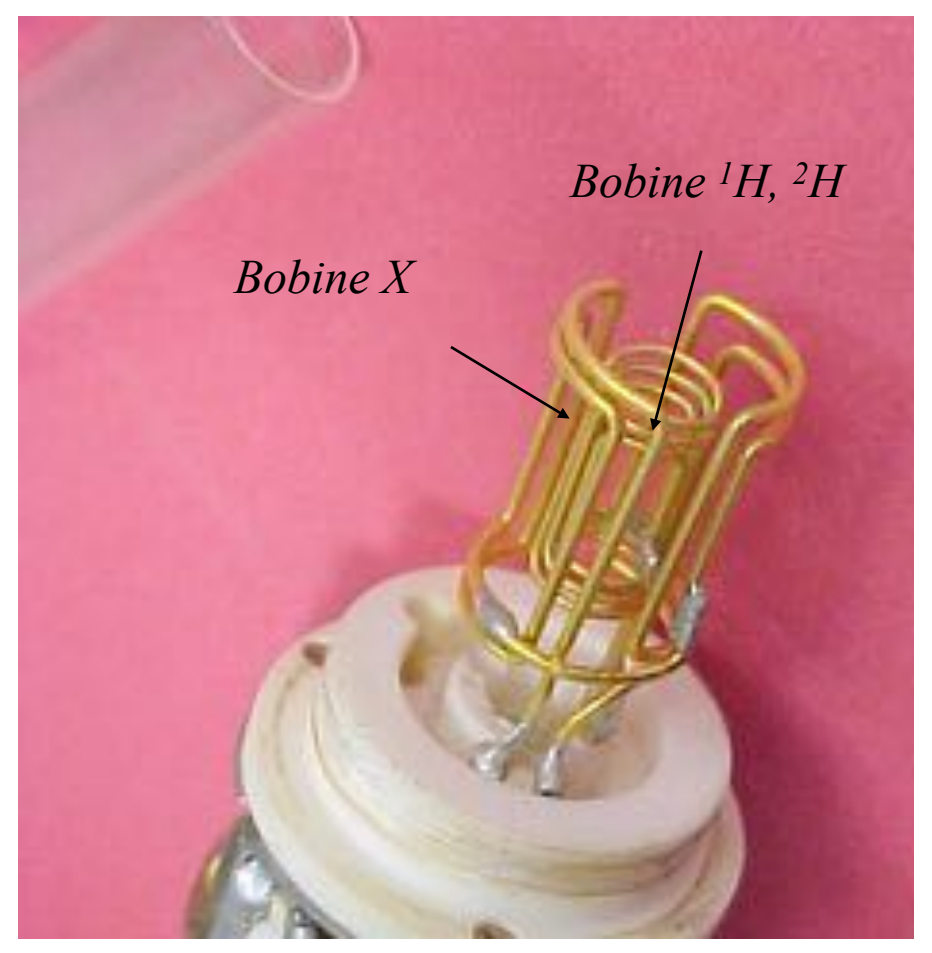


La Course aux MHz : un problème d'alliage... ... et de température!



La sonde (probe)





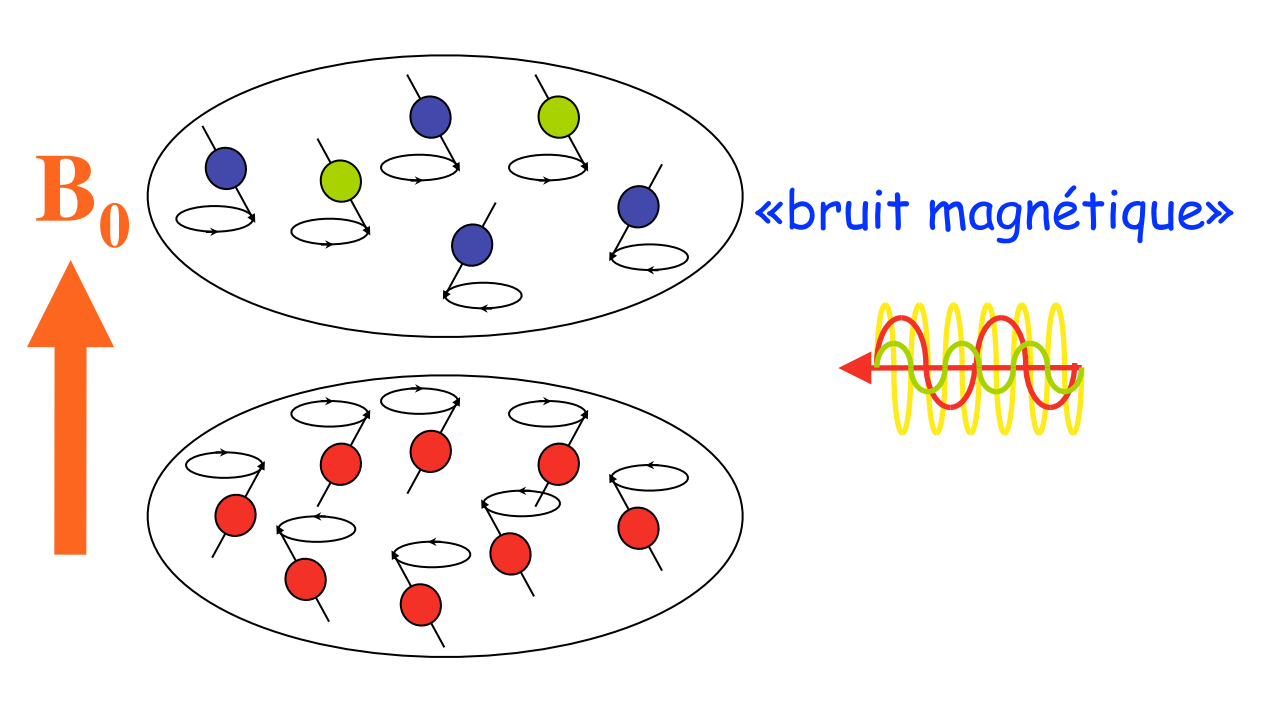
Sonde ¹H Sonde inverse

La sonde est construit comme un circuit résonnant (capacité en parallèle avec un solénoïde):

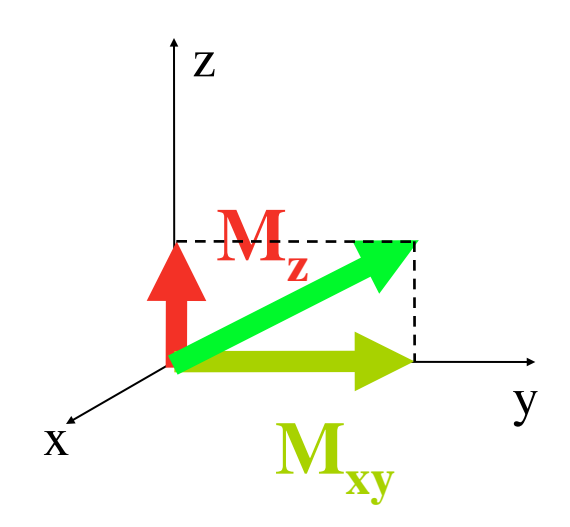
Les Origines de la Relaxation RMN

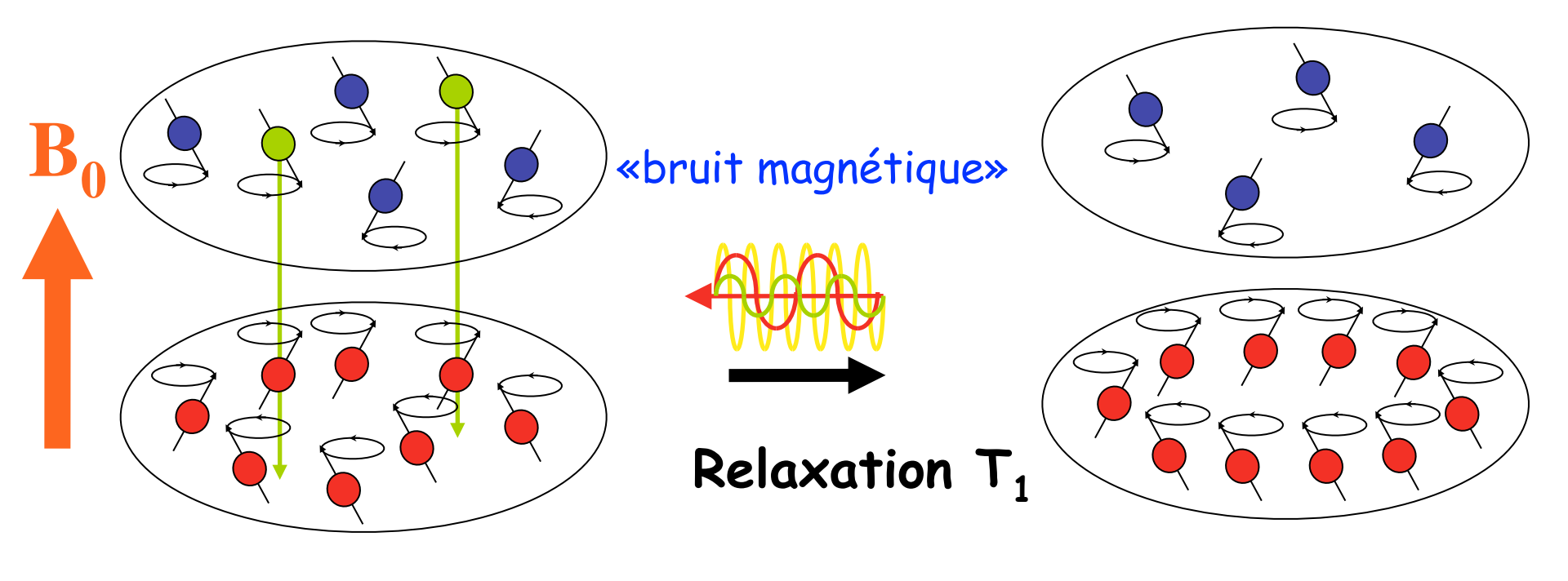
La Relaxation est due aux transitions induites par le « bruit magnétique » de l'échantillon.

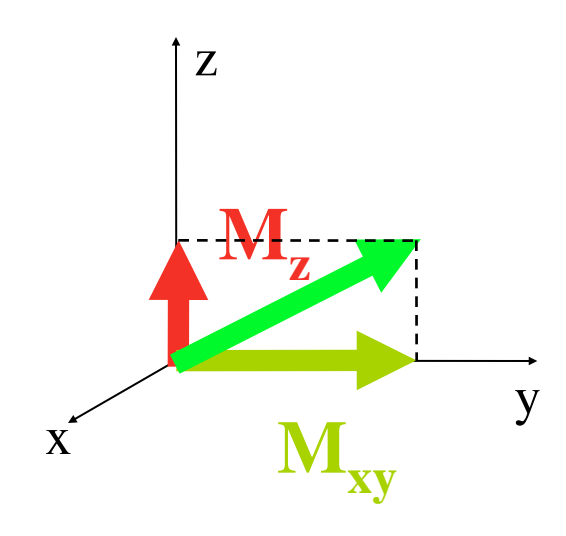
Les noyaux ne sont pas isolés dans la molécule : ils sont entourés par d'autres noyaux qui se comportent comme des dipoles magnétiques microscopiques. Le mouvement Brownien de ces dipoles microscopiques va être à l'origine du « bruit magnétique ».

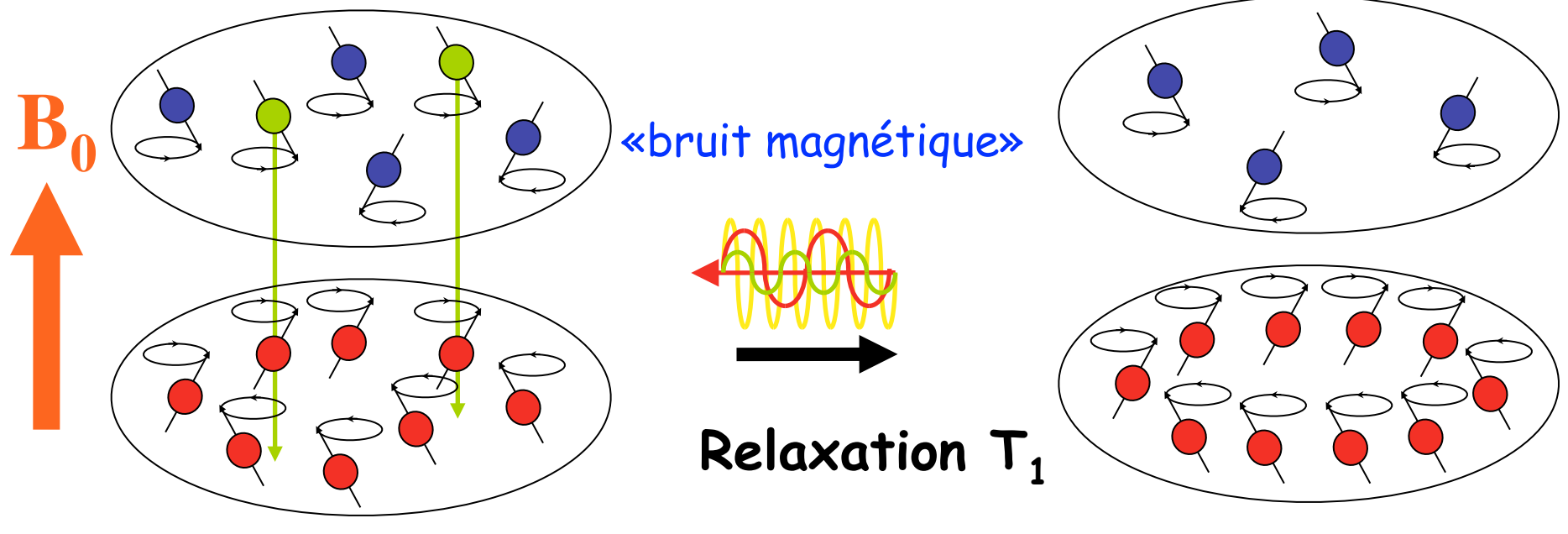


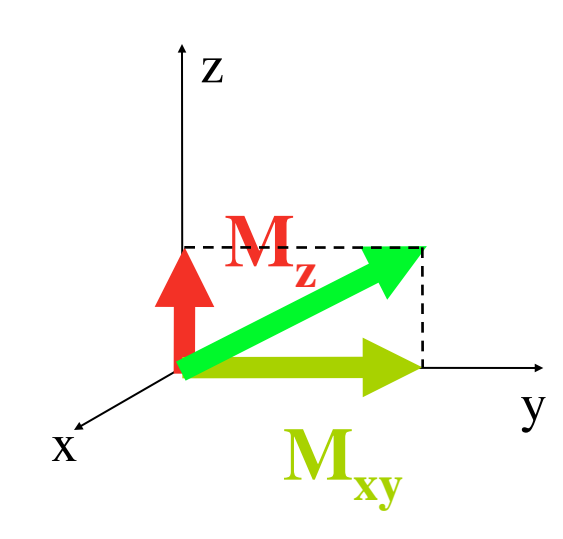
Des contributions au bruit magnétique oscillent à la fréquence de Larmor du spin nucléaire (densité $J(\omega_0)$): elles vont induire des transitions qui vont restaurer l'équilibre thermodynamique.



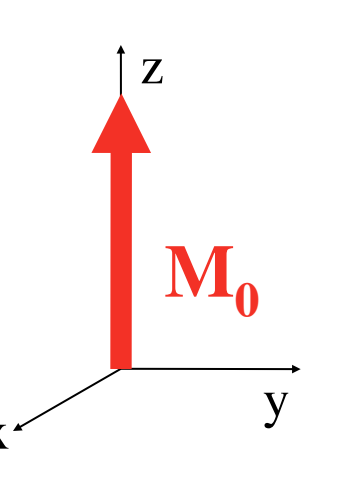


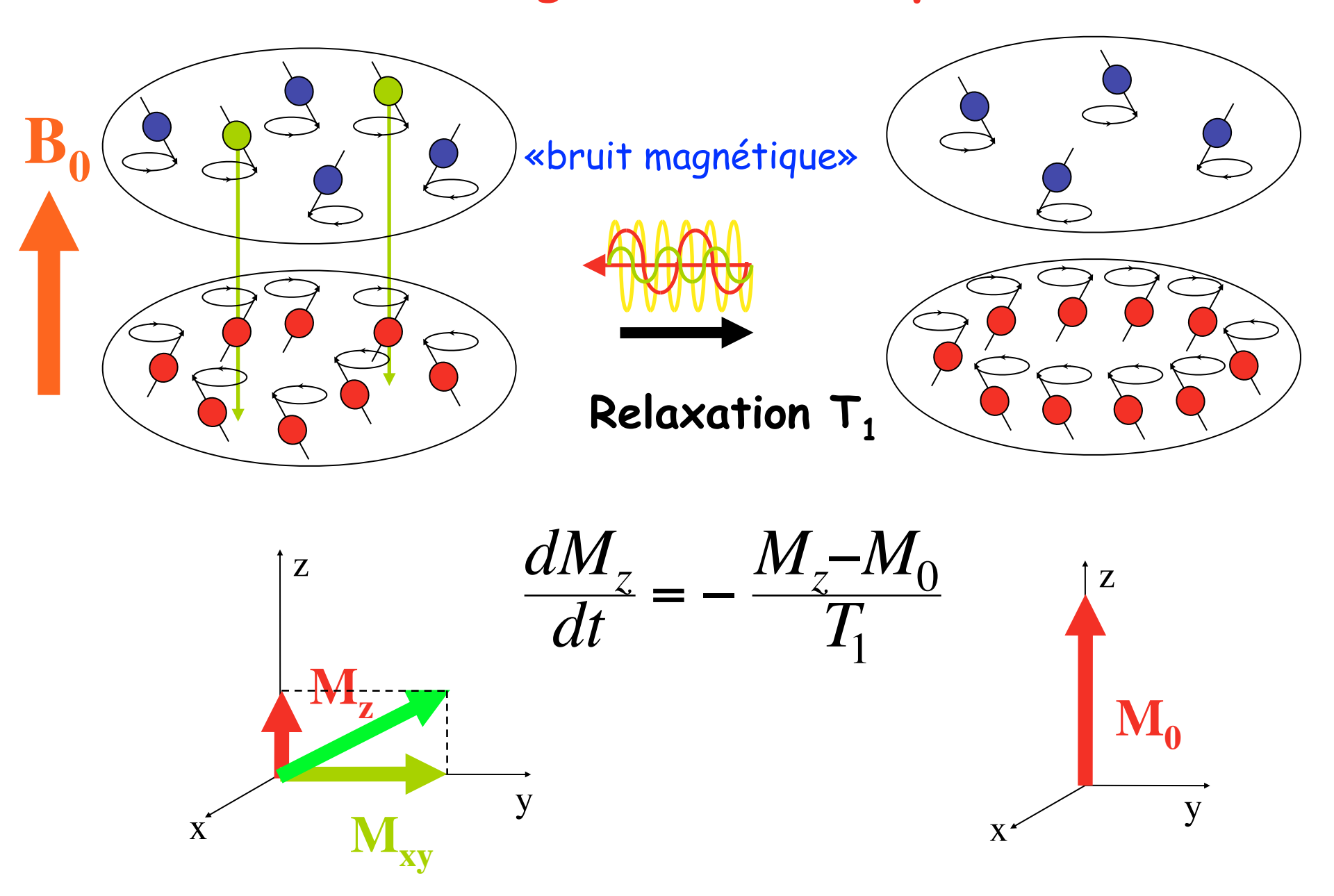


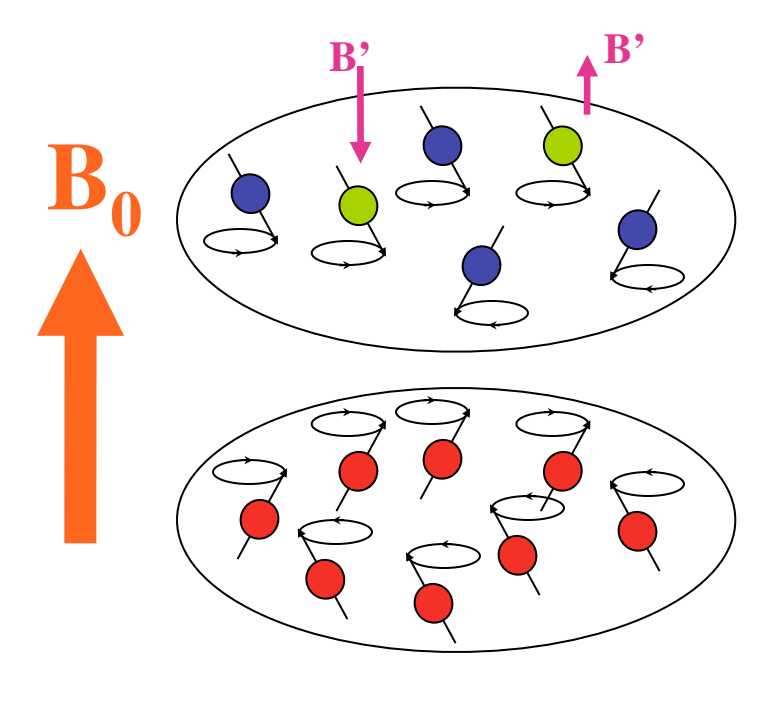




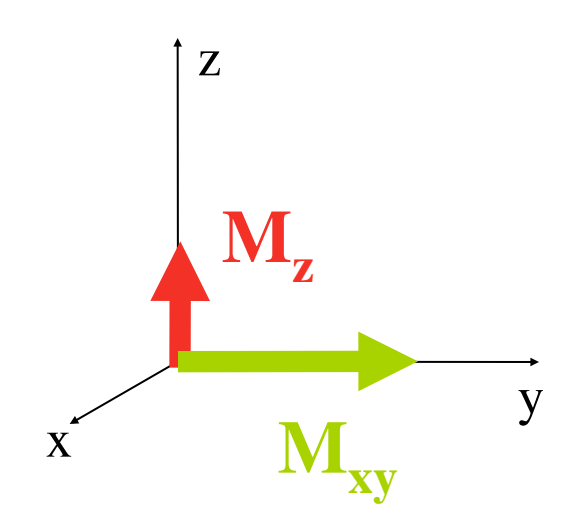
Au sein de la même population de spin, des contributions différentes seront responsables pour les différentes transitions (champ aléatoire): lors du retour sur l'état de basse énergie : les spins perdent X^{*} leur cohérence de phase.

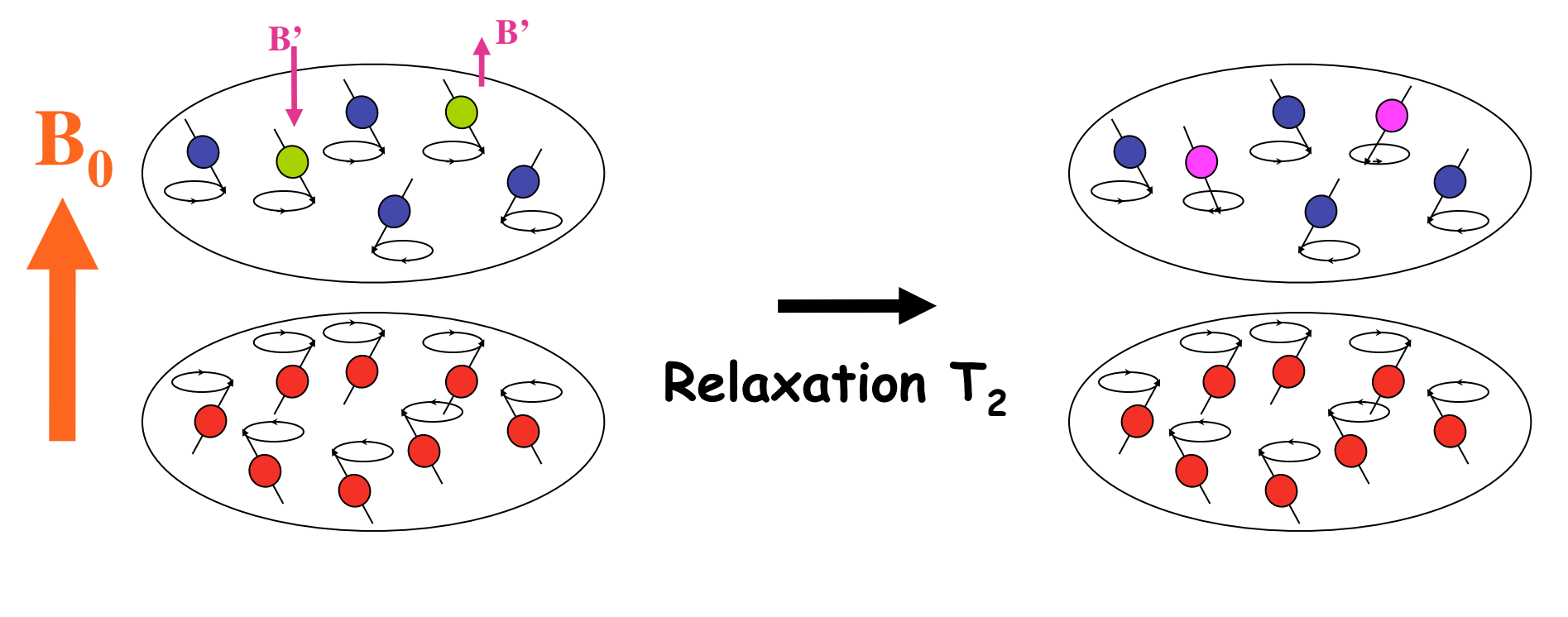


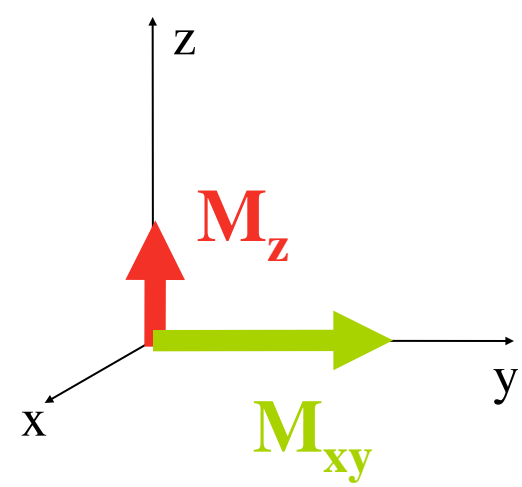


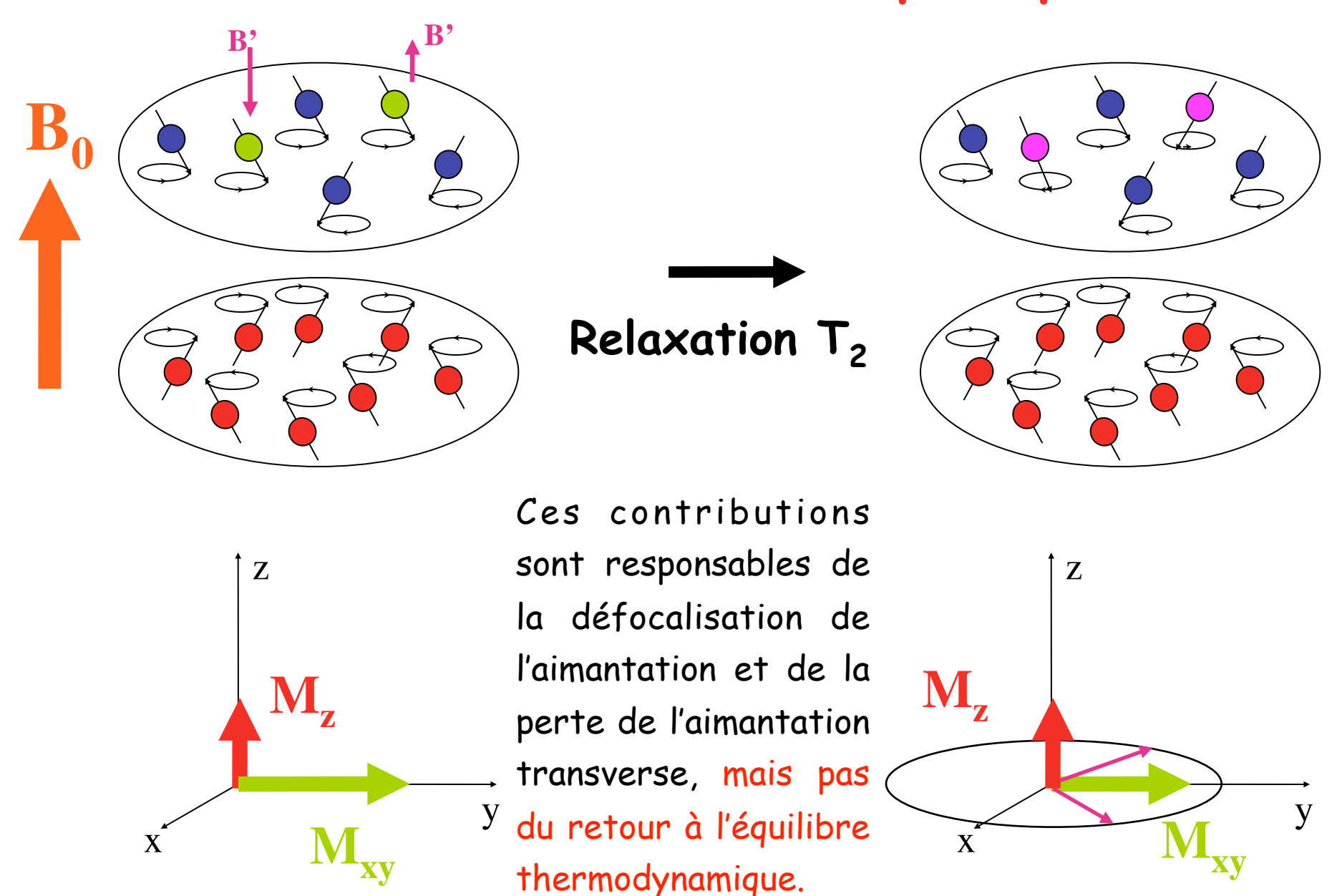


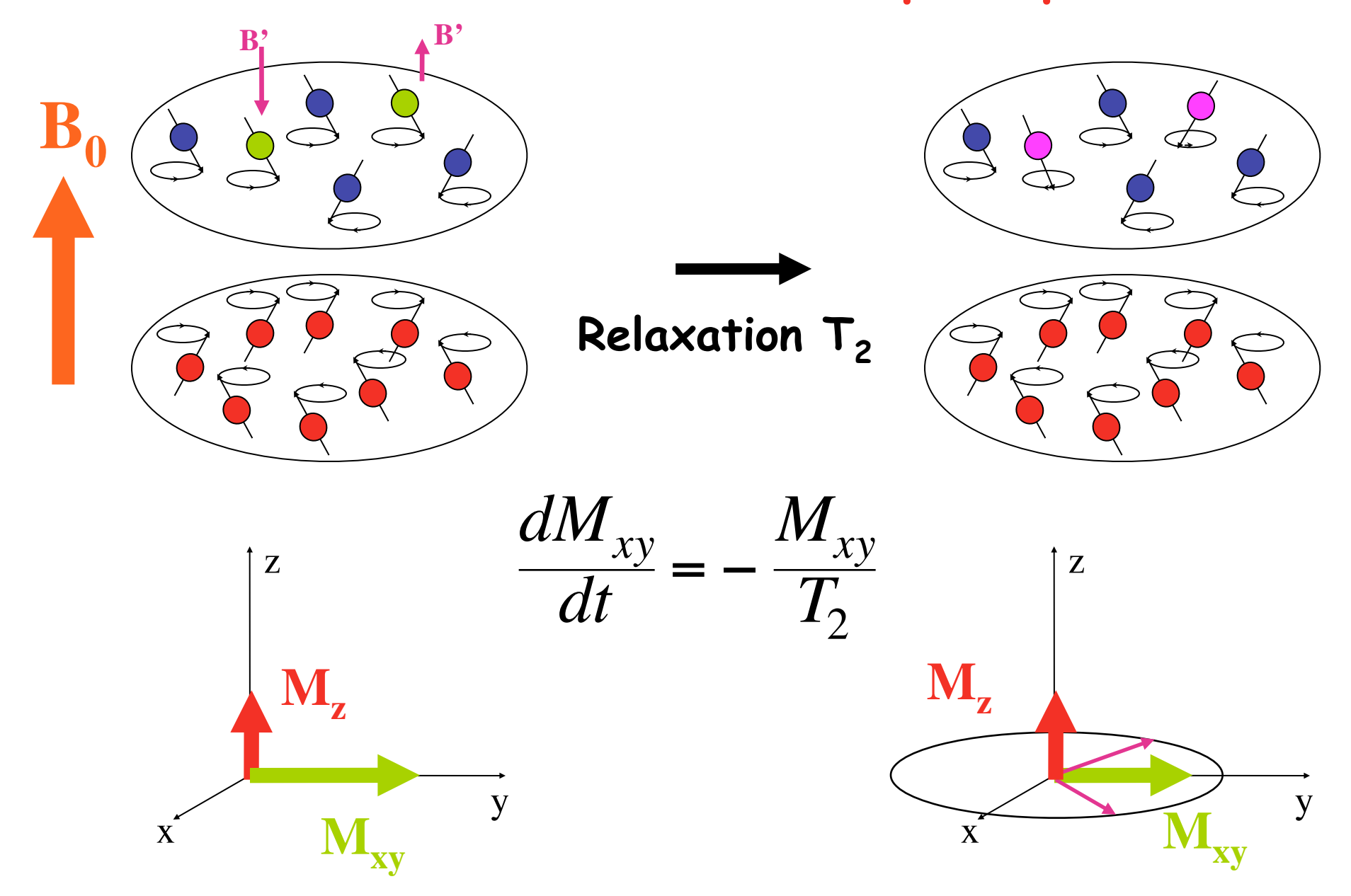
Le bruit magnétique contient également des « contributions statiques aléatoires » (densité J(0)) qui peuvent s'ajouter ou se soustraire au champ B_0 et provoquer des variations de C.S..



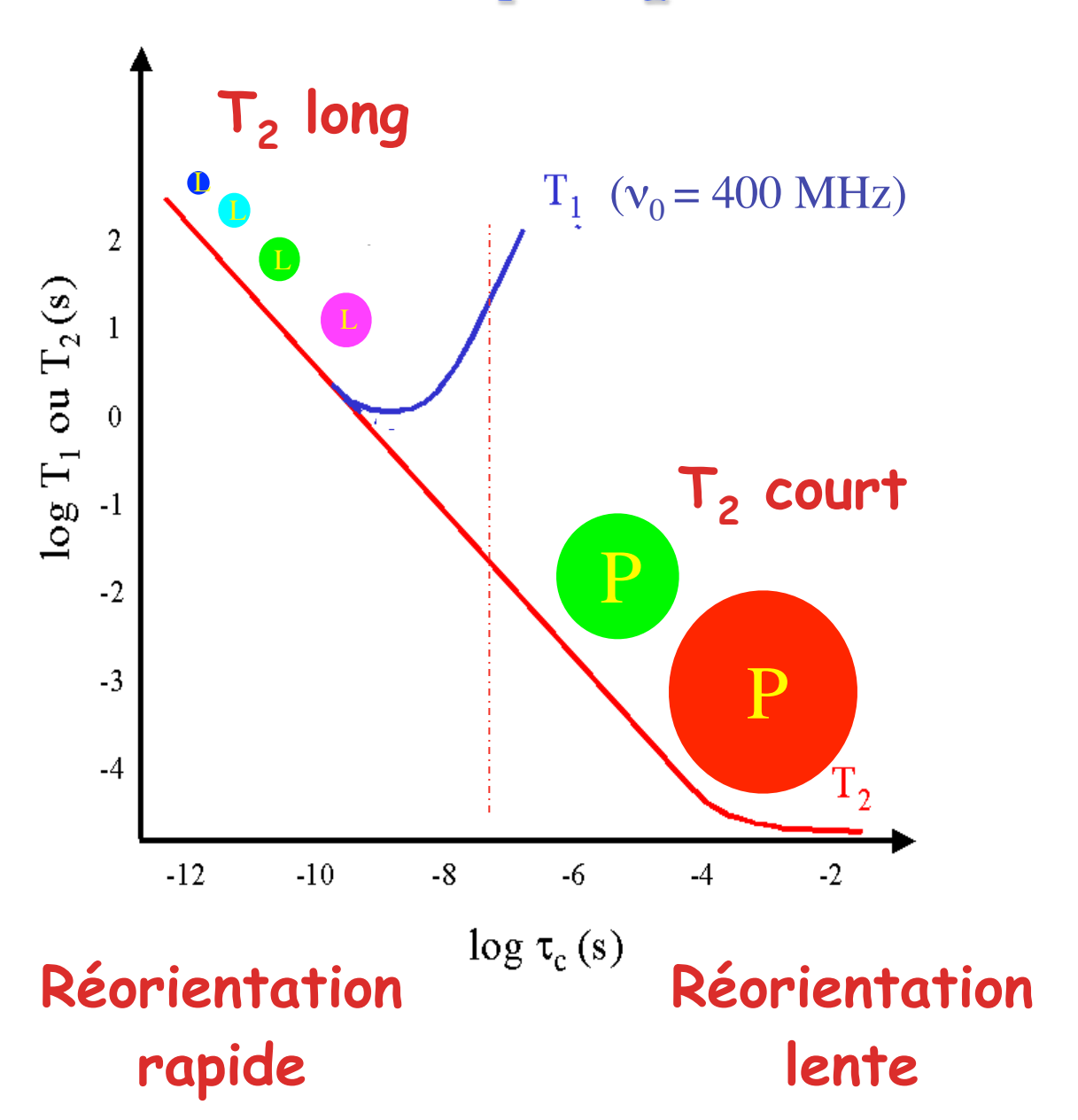




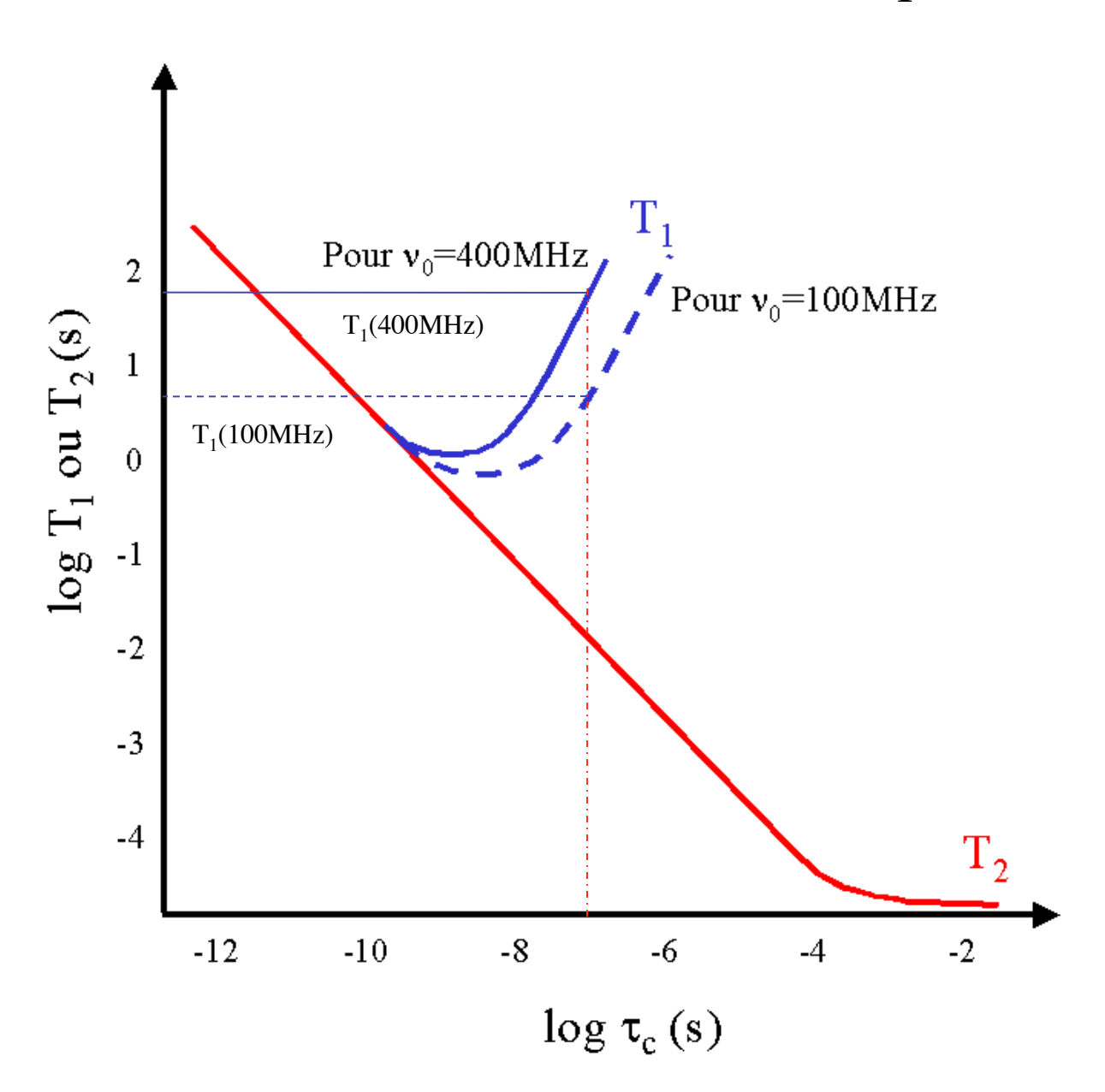




Relation entre T_1 , T_2 et mouvement

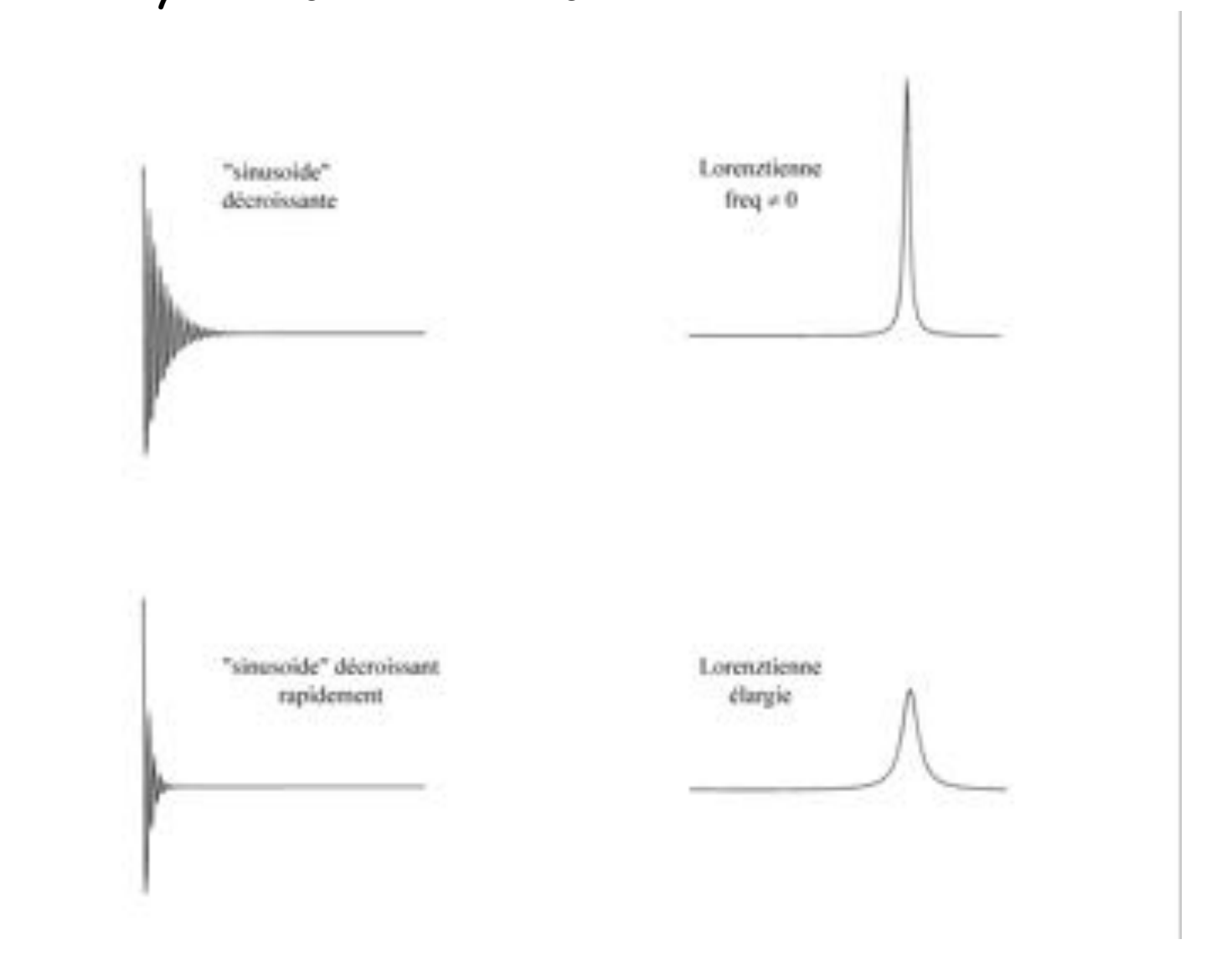


Dépendance en fréquence de T₁

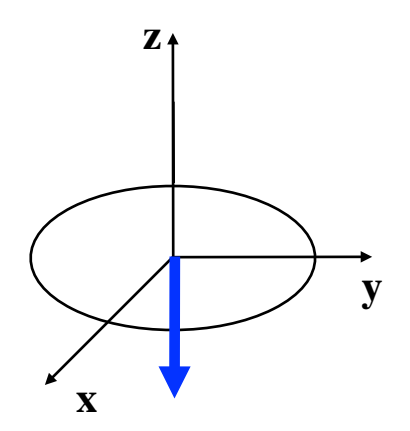


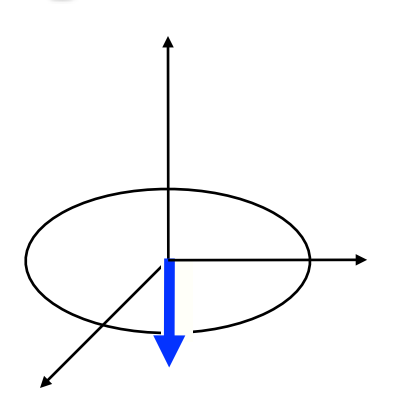
T₂ et Largeur de Raie

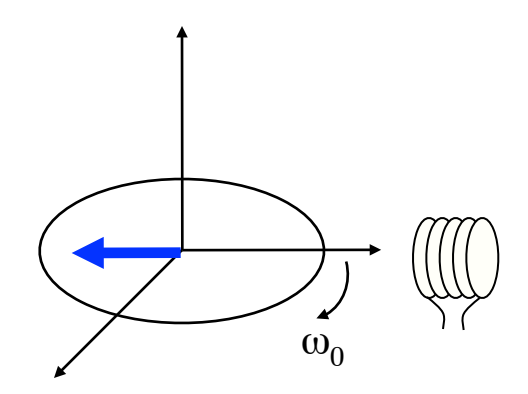
 $M_y = M_0 \cos (2\pi v_0 t)$. exp (-t /T₂)



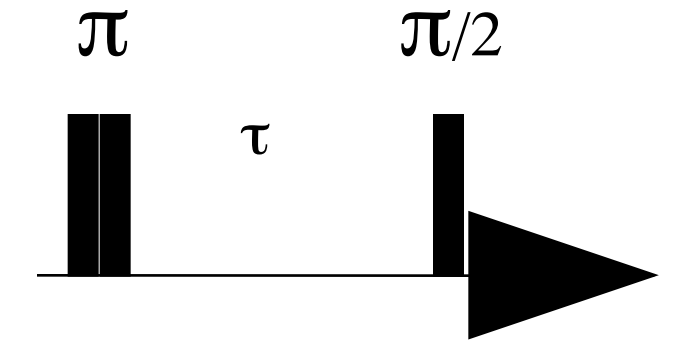
Mesure du temps de relaxation longitudinal (T_1)



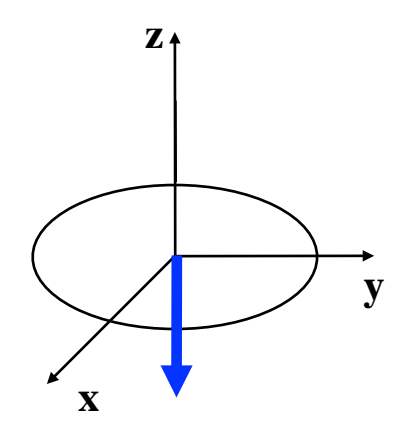


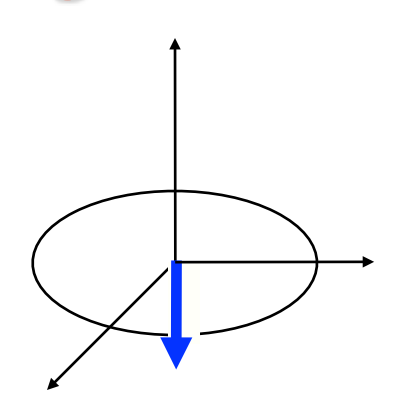


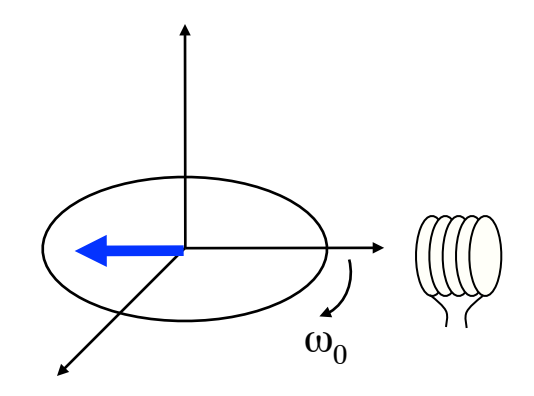
La Séquence d'Inversion-Récupération

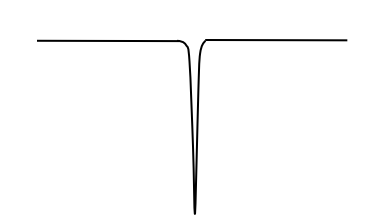


Mesure du temps de relaxation longitudinal (T₁)

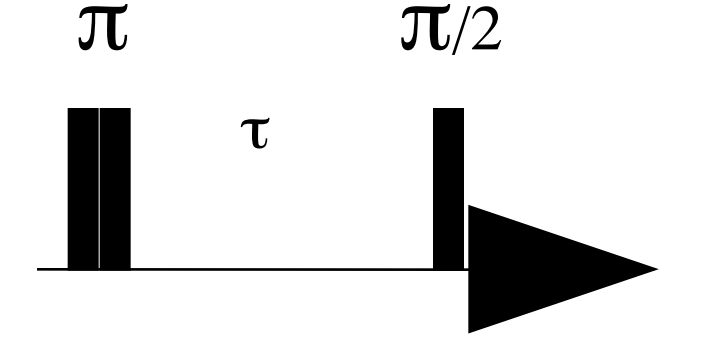




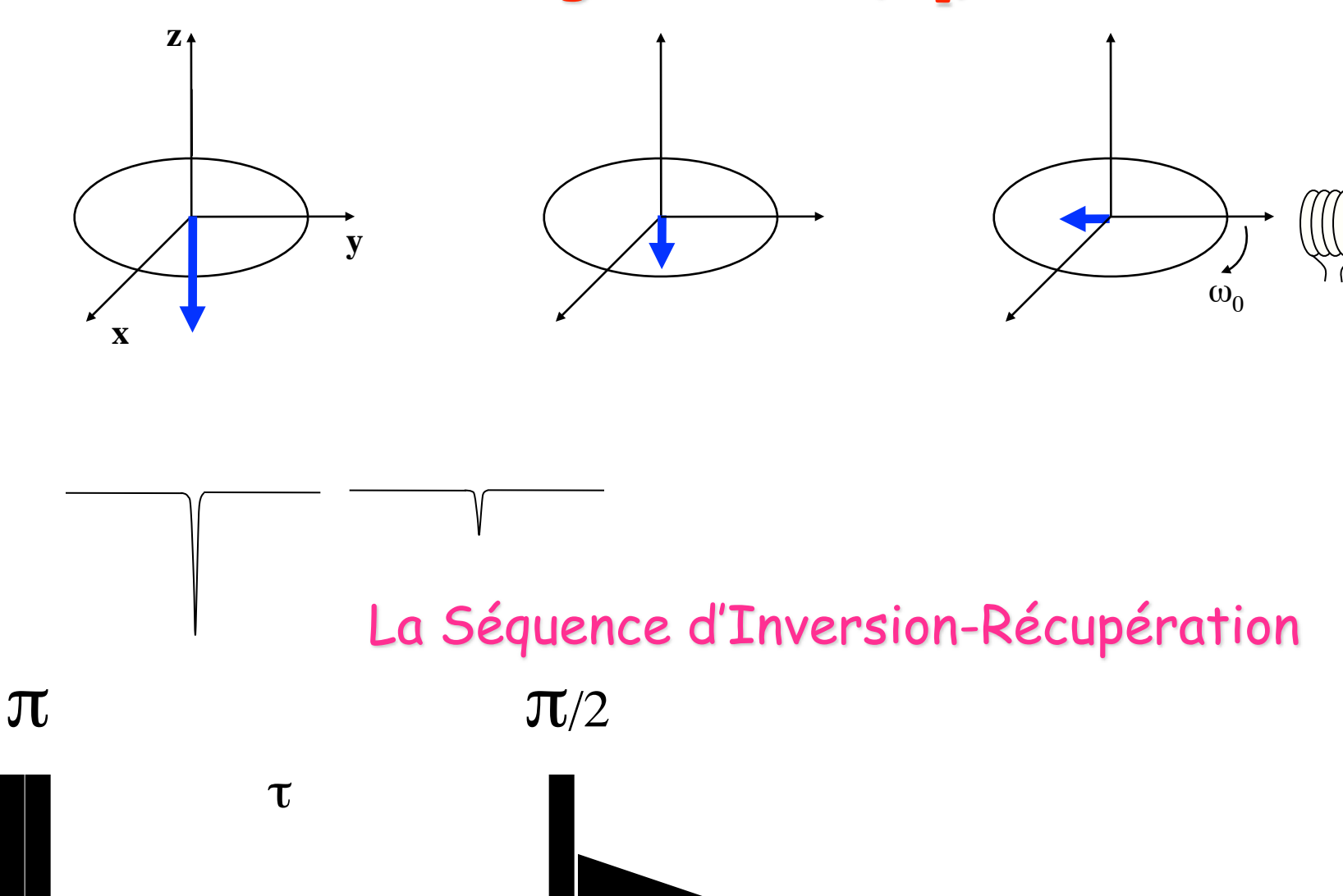


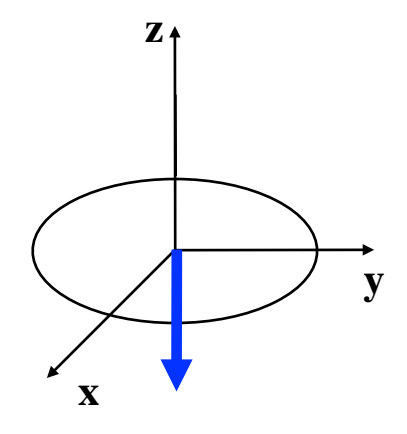


La Séquence d'Inversion-Récupération



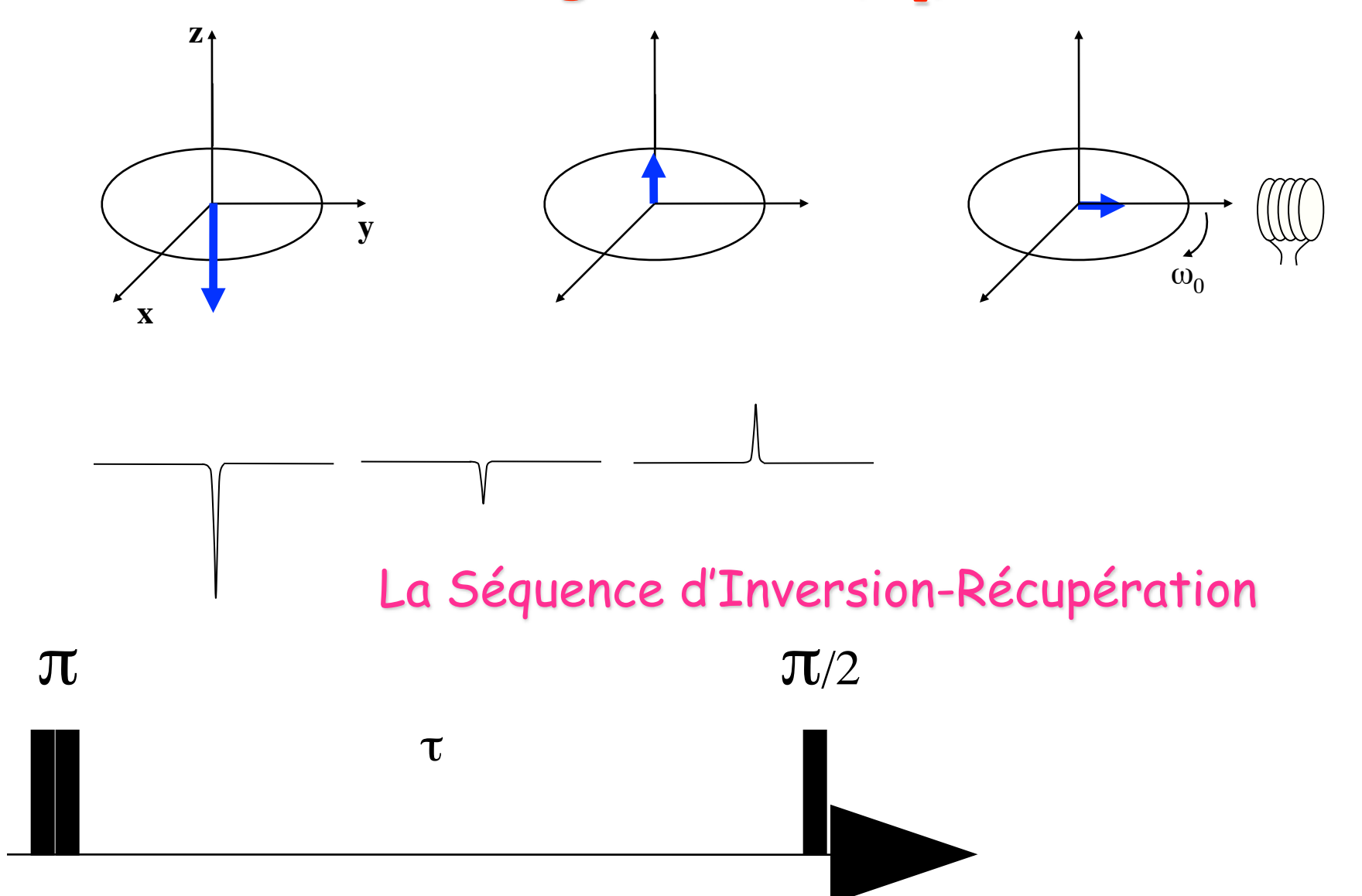
Mesure du temps de relaxation longitudinal (T₁)

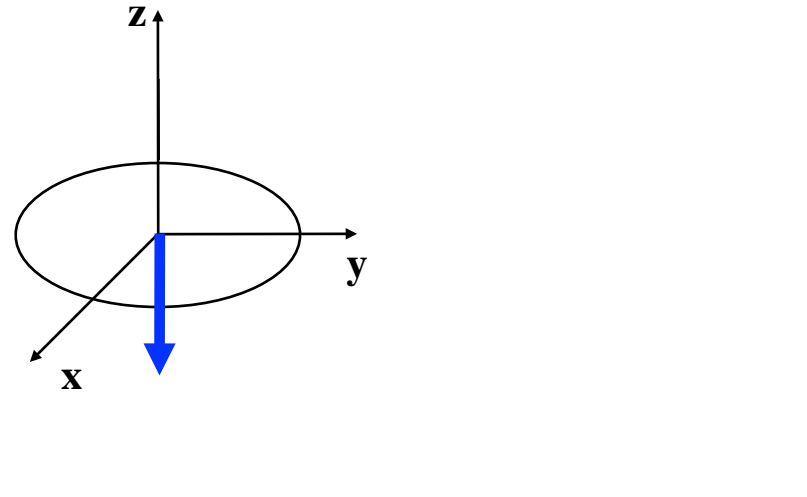




La Séquence d'Inversion-Récupération

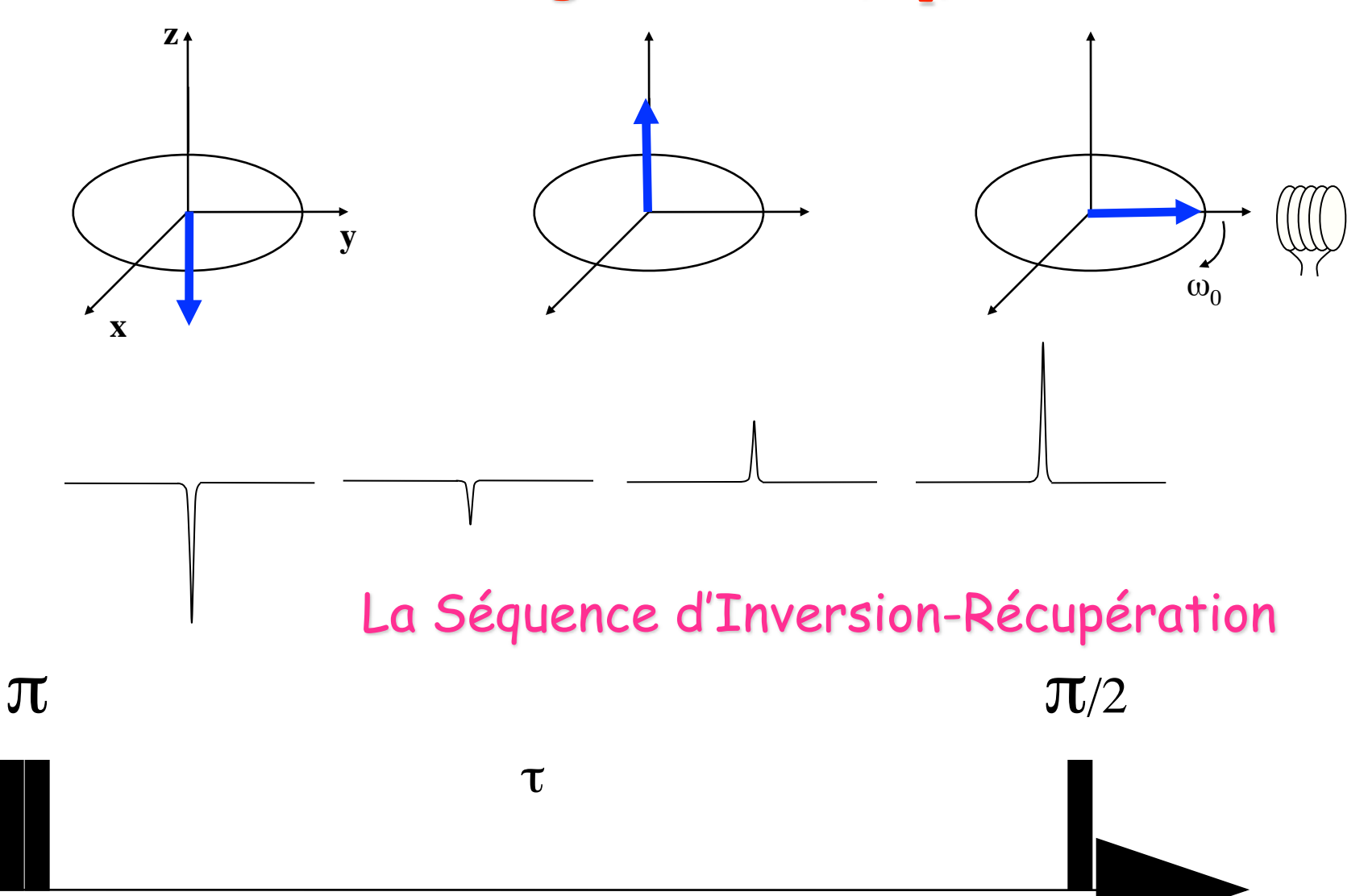
Mesure du temps de relaxation longitudinal (T₁)

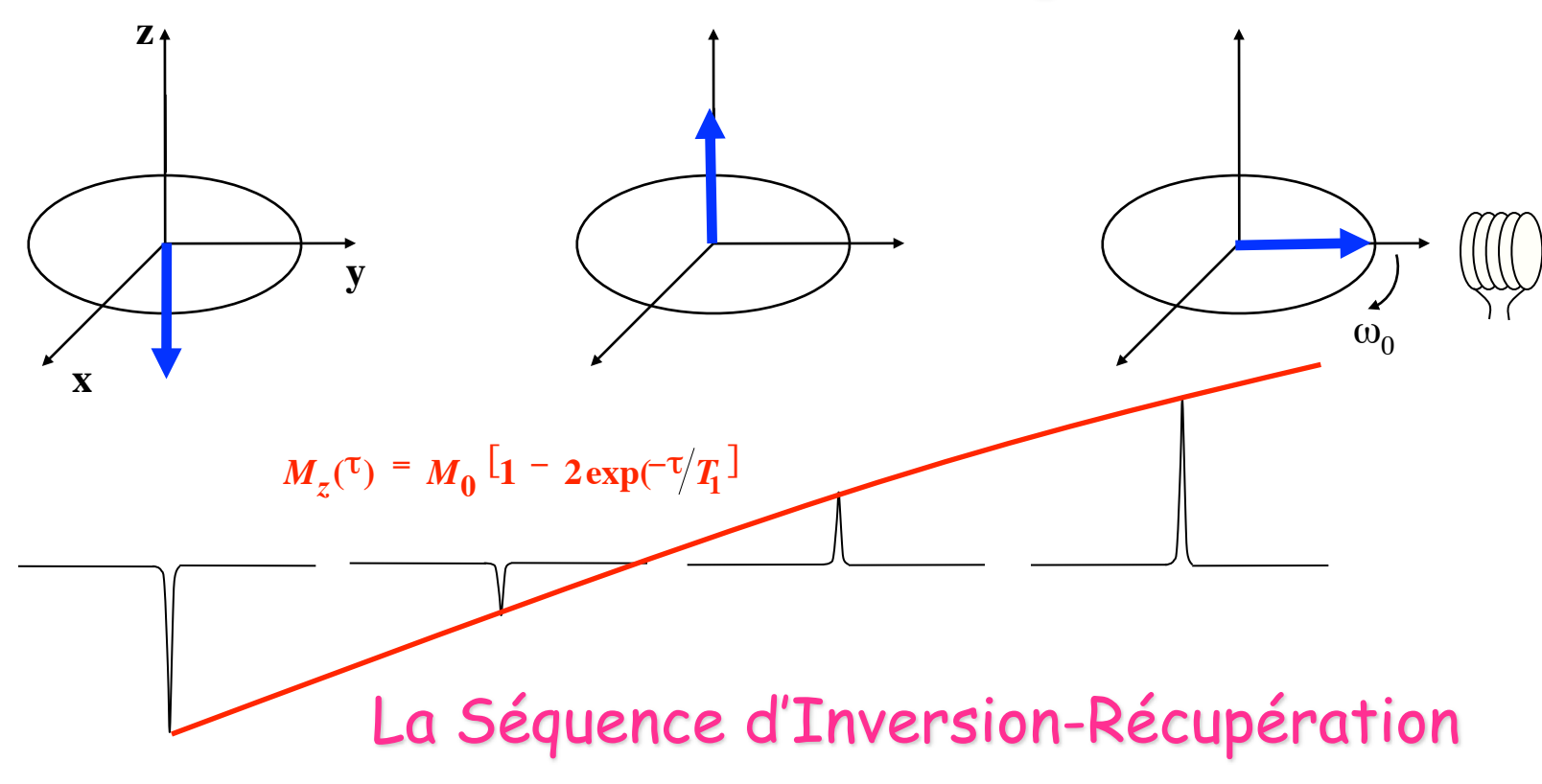






La Séquence d'Inversion-Récupération





Evolution de la composante longitudinale de l'aimantation (équation de BLOCH) :

$$\frac{dM_z}{dt} = -\frac{M_z - M_0}{T_1}$$

Cette équation différentielle a pour solution :

$$M_z$$
 M_0
 0
 $-M_0$

$$M_z(\tau) = M_0 + [M_z(0) - M_0] \exp(-\tau/T_1)$$

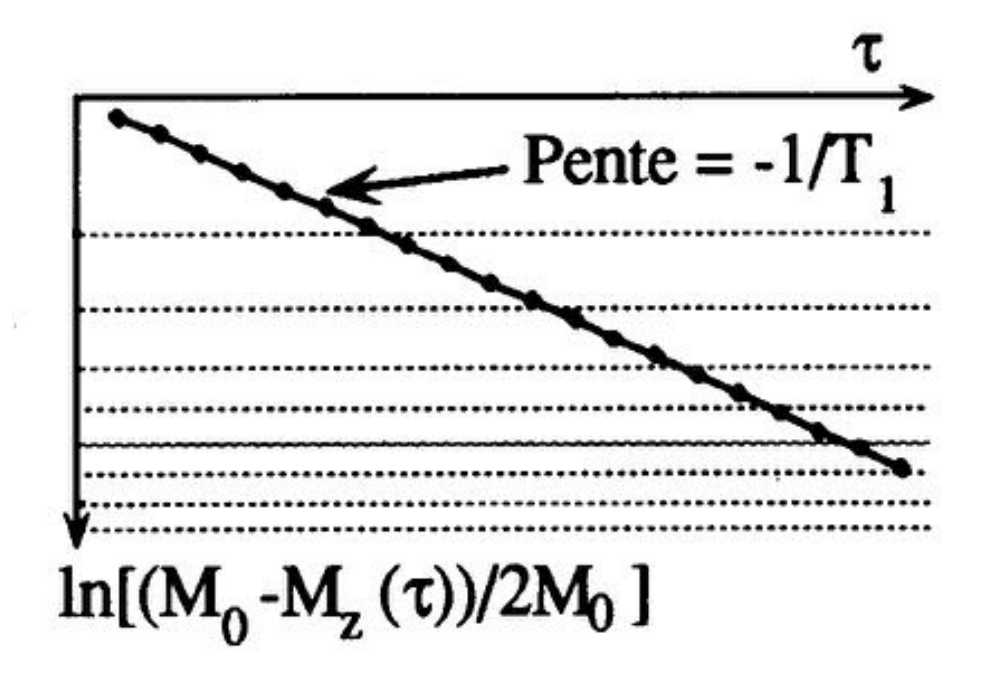
Avec:
$$M_z(0) = -M_0$$
 et $M_z(\infty) = M_0$

Soit:
$$M_z(\tau) = M_0 [1 - 2\exp(-\tau/T_1)]$$

$$\frac{M_0 - M_z(\tau)}{2M_0} = \exp(-\frac{\tau}{T_1})$$

ou, sous forme logarithmique:

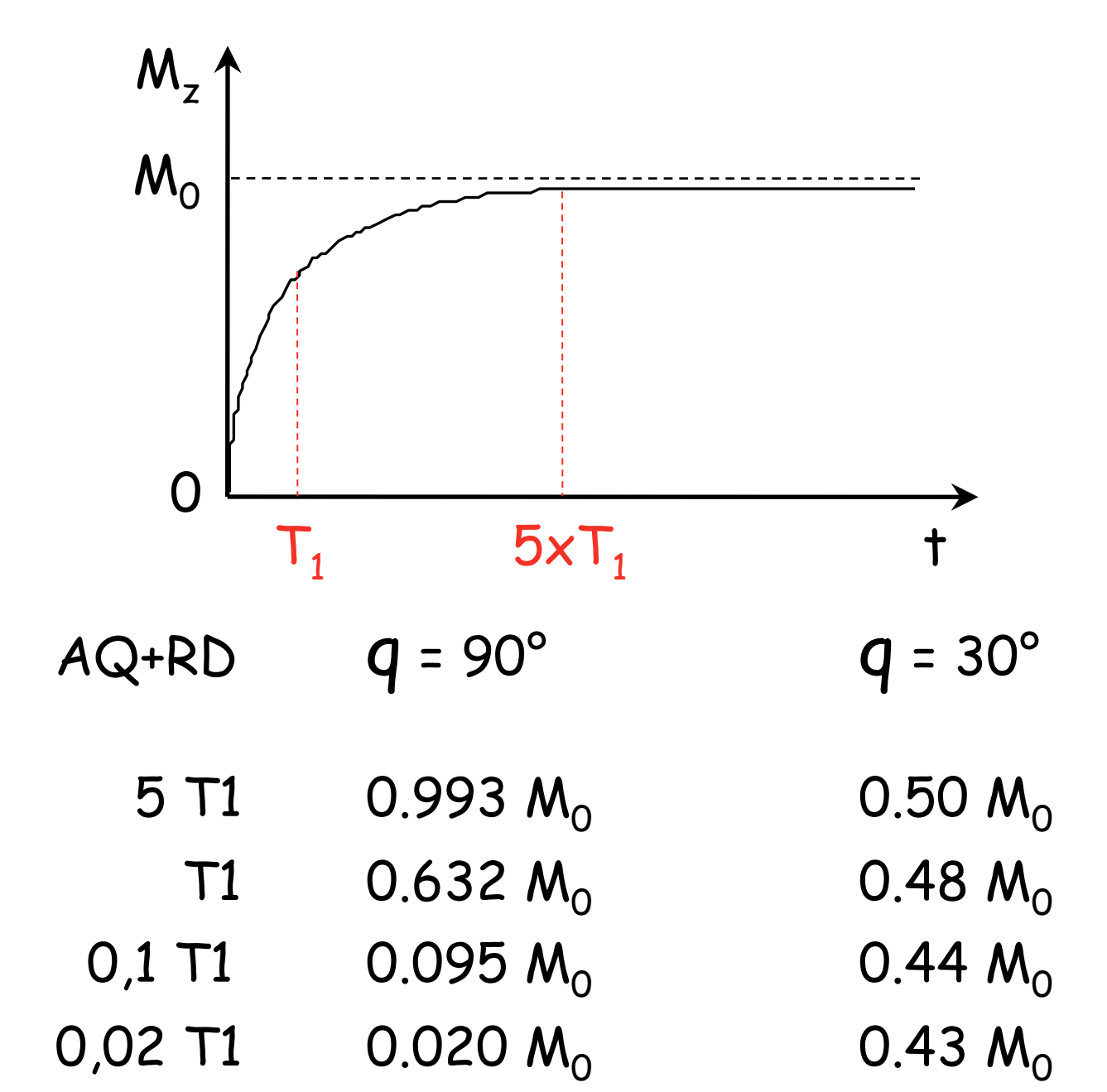
$$\ln\left[\frac{M_0 - M_z(\tau)}{2M_0}\right] = -\frac{\tau}{T_1}$$

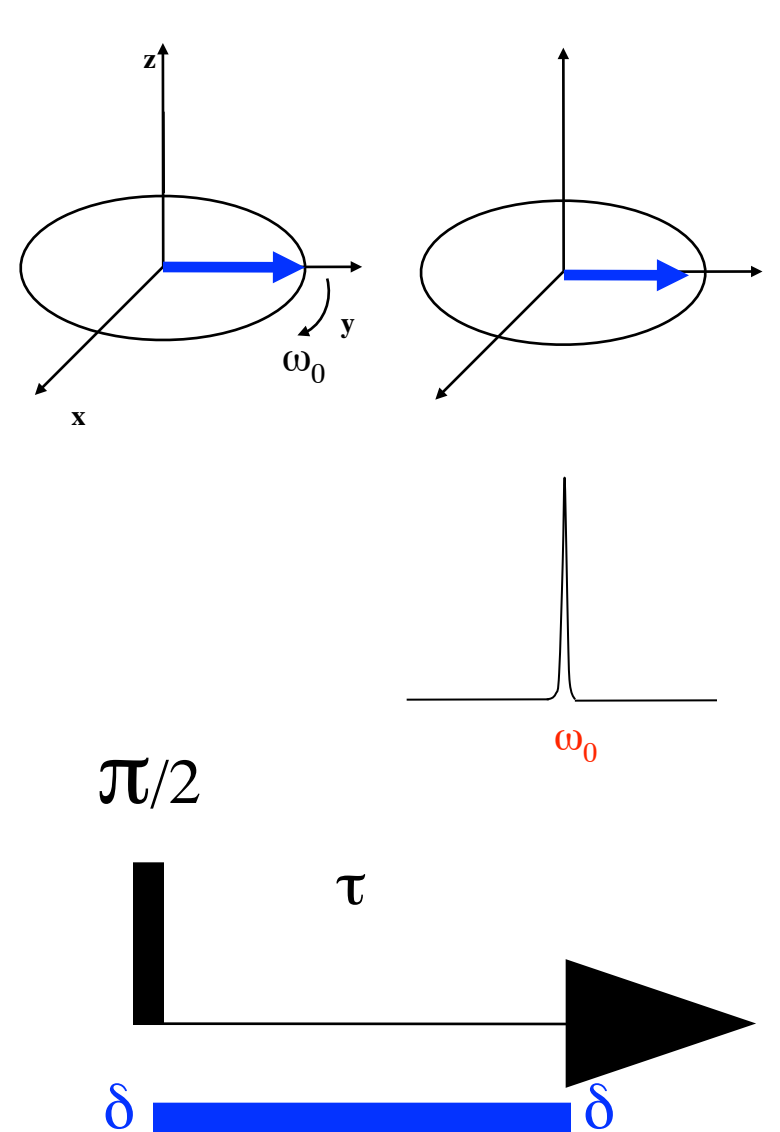


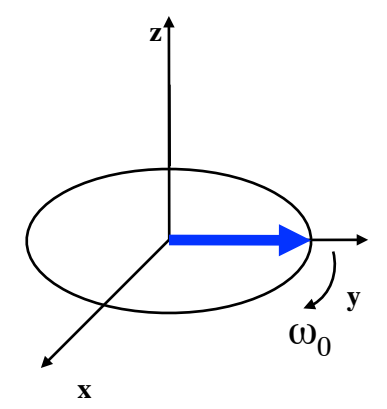
Remarque: le passage à 0 de l'aimantation $(M_z(t) = 0)$ permet une détermination rapide du T_1 :

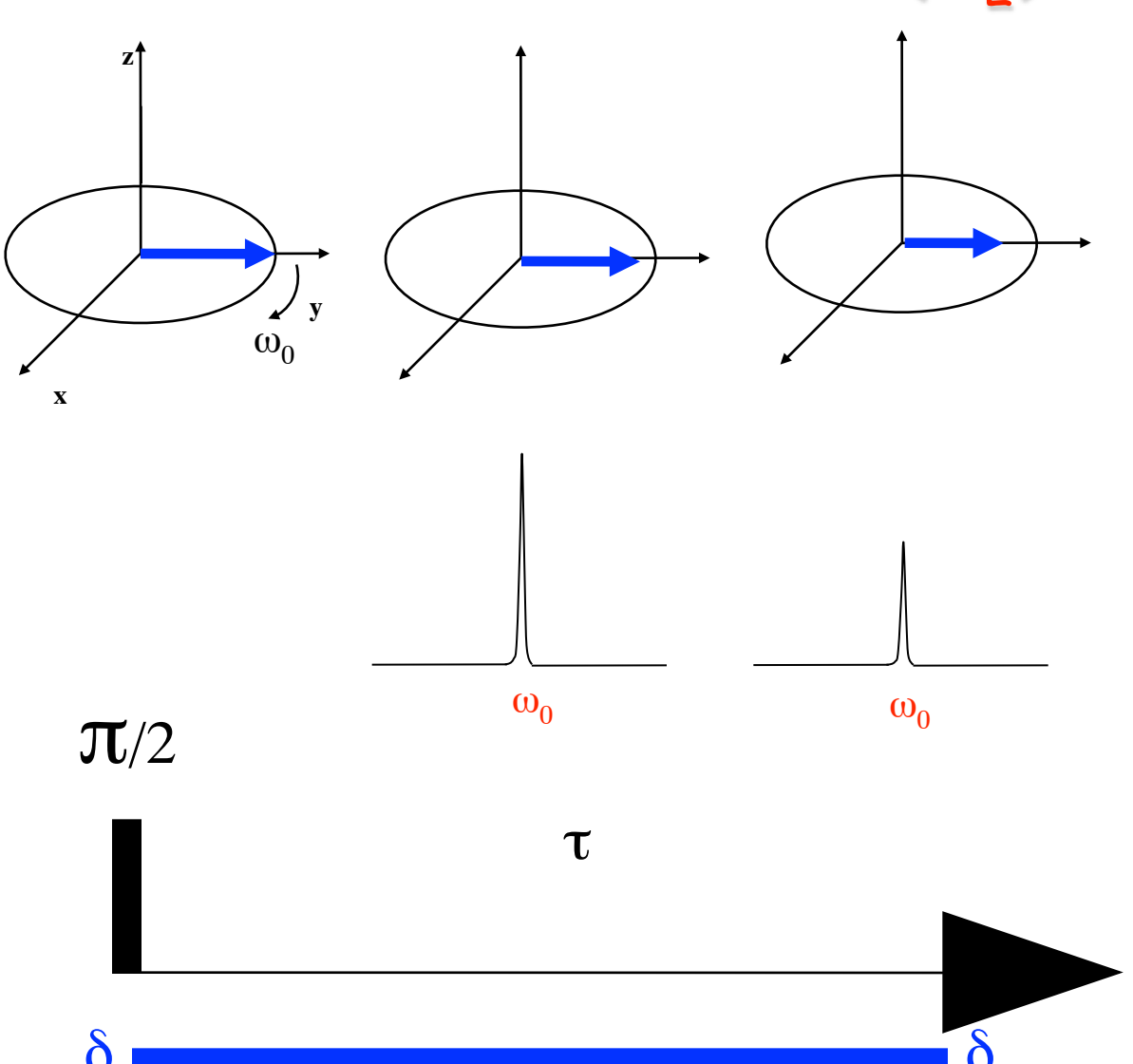
$$T_1 = \frac{\tau_{(0)}}{\ln(2)}$$

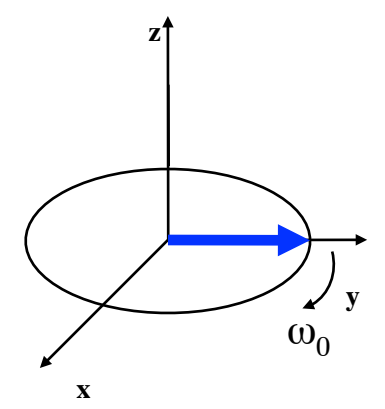
T₁ et Temps de recyclage (RD+AQ)

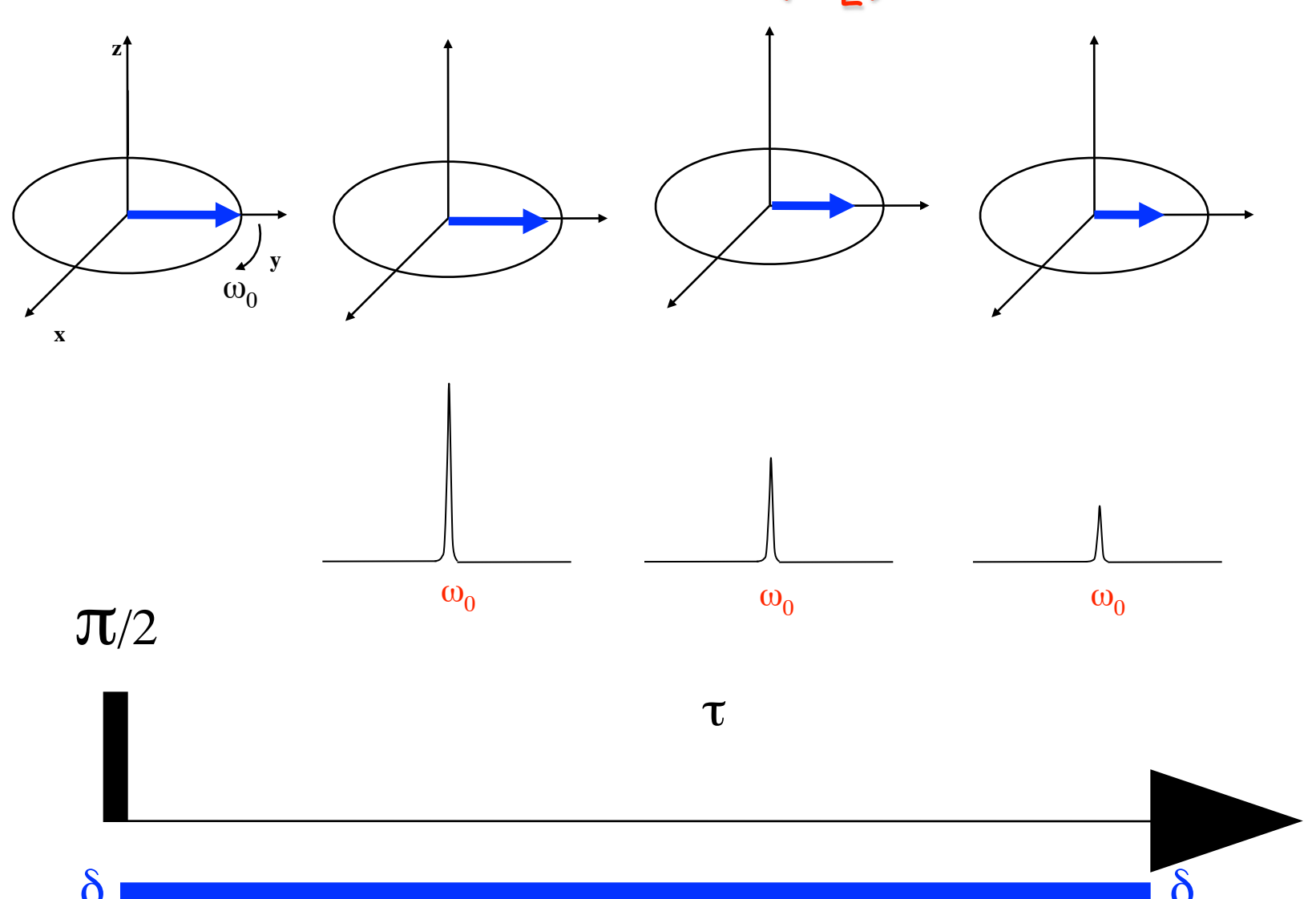


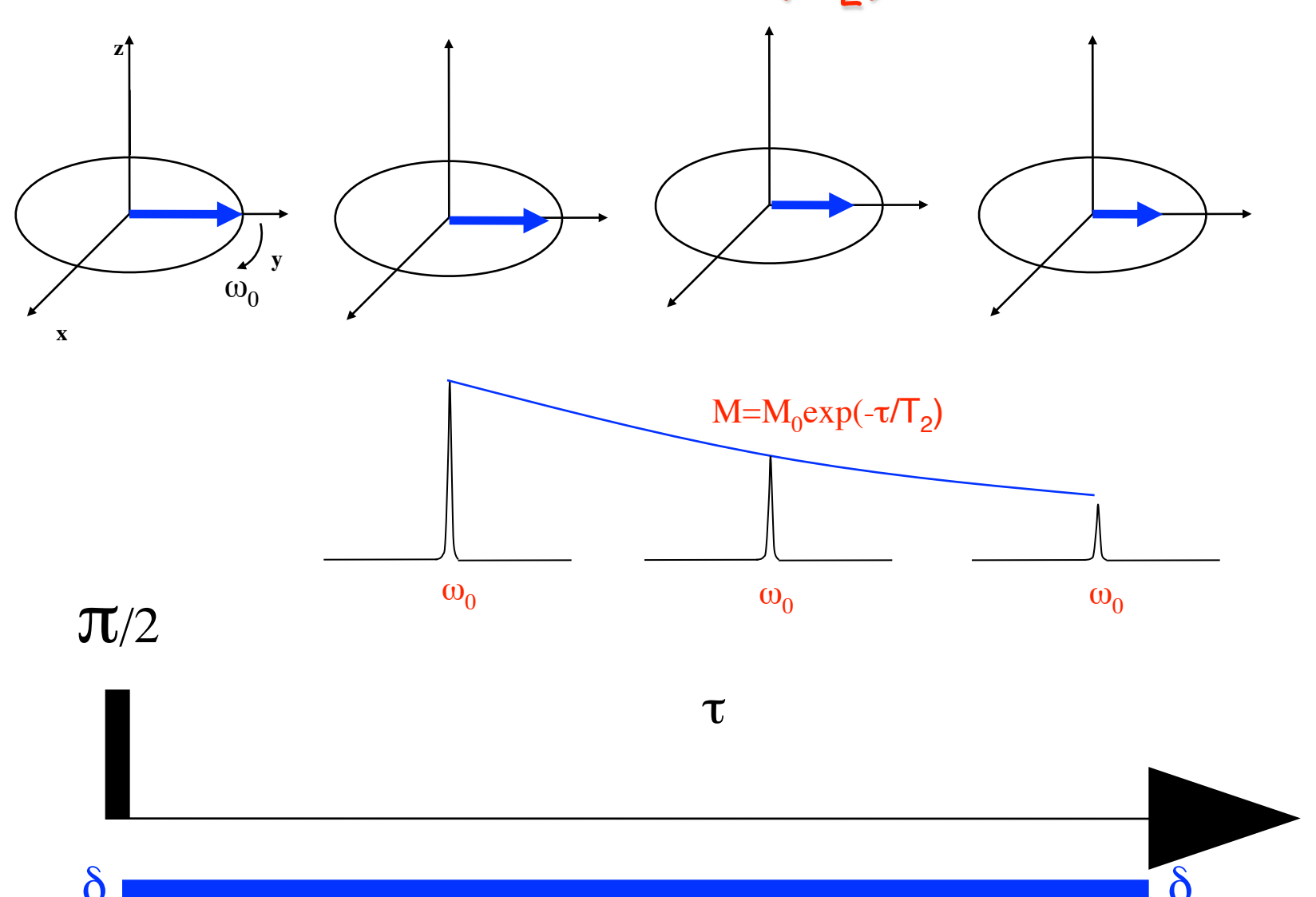


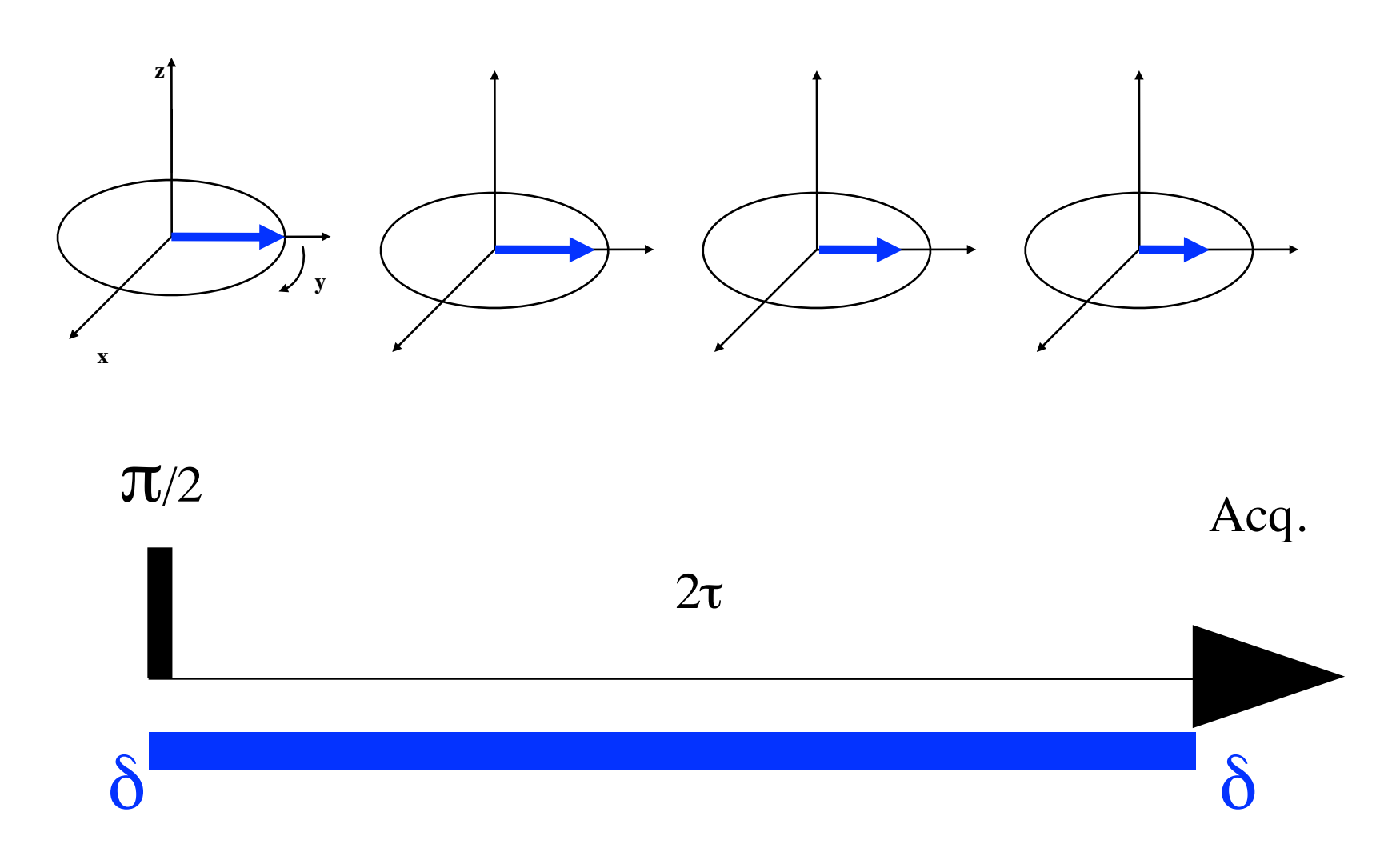


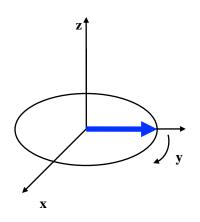


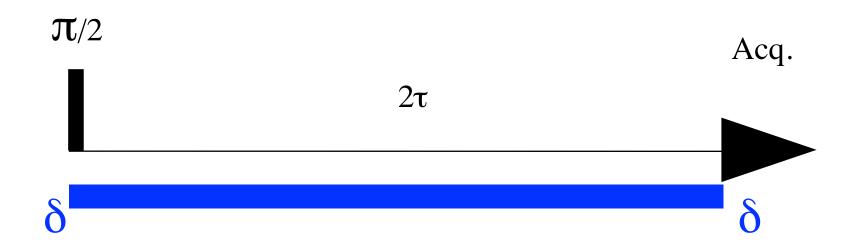


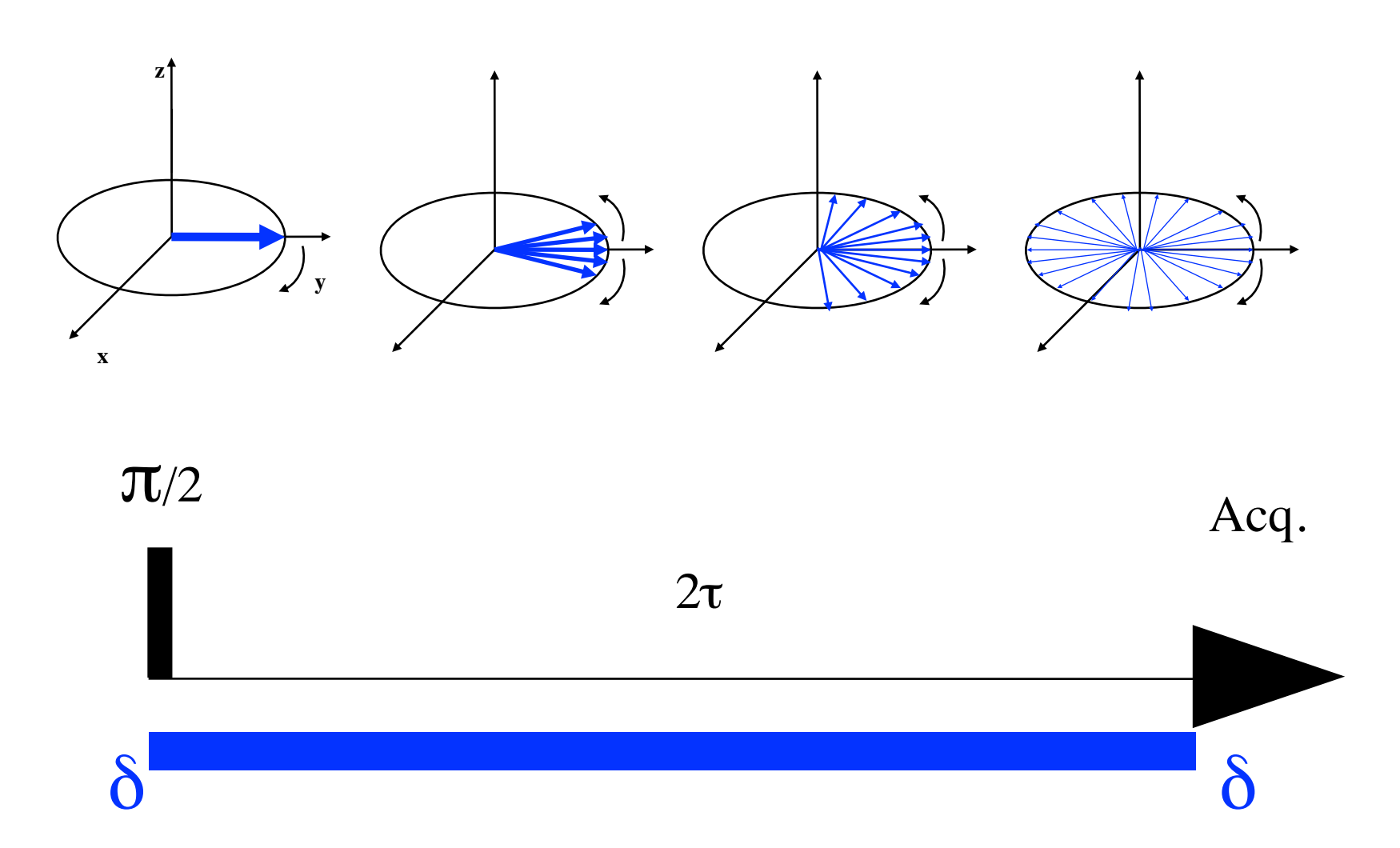


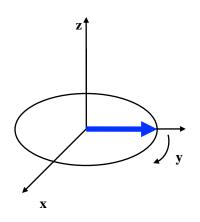


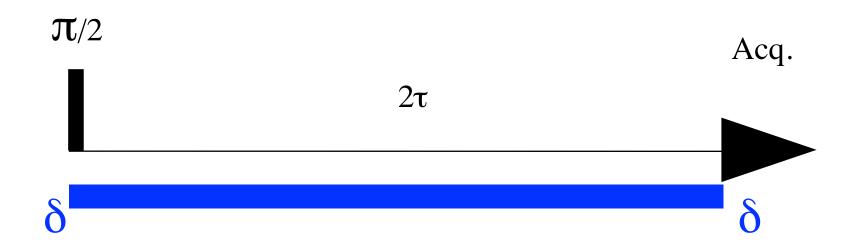


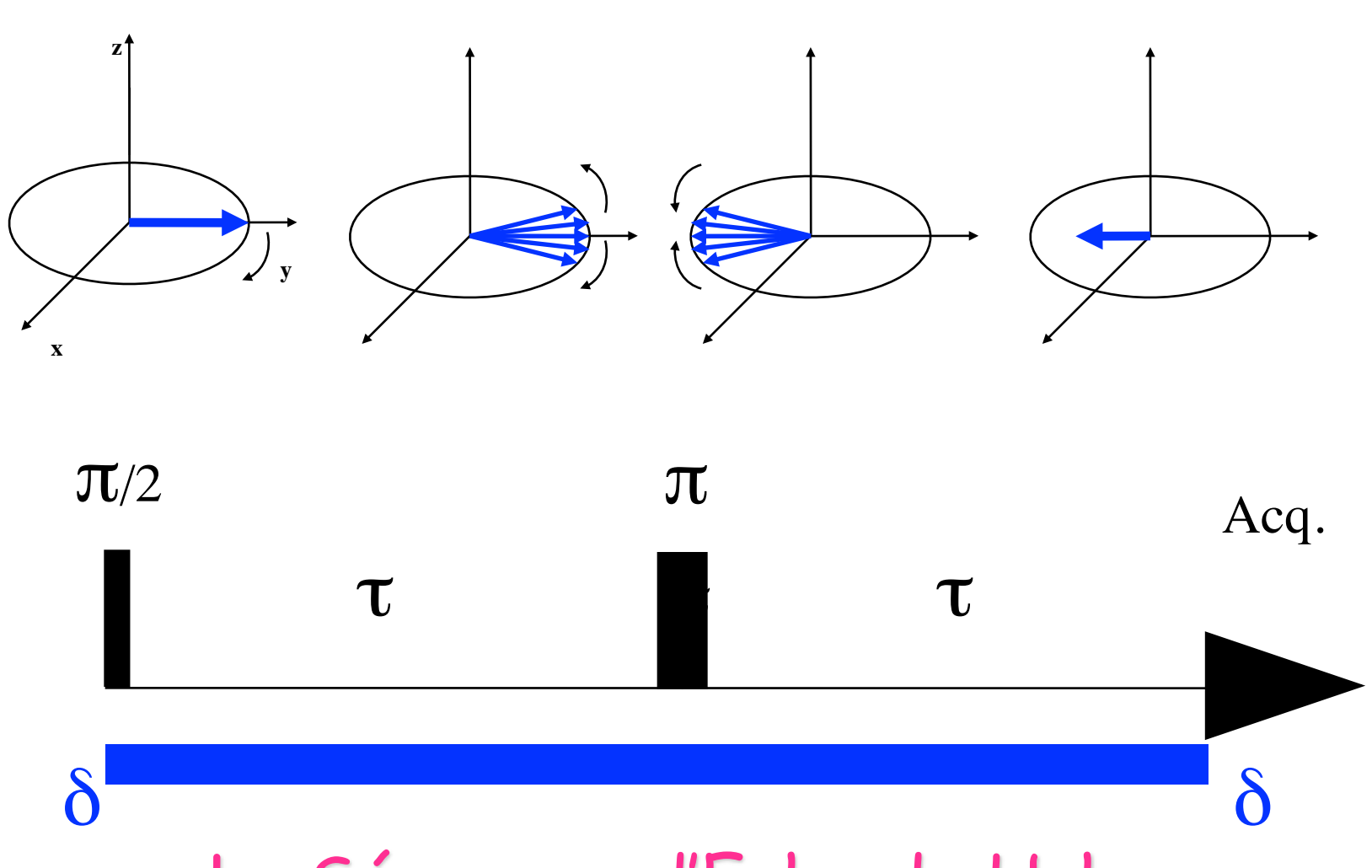












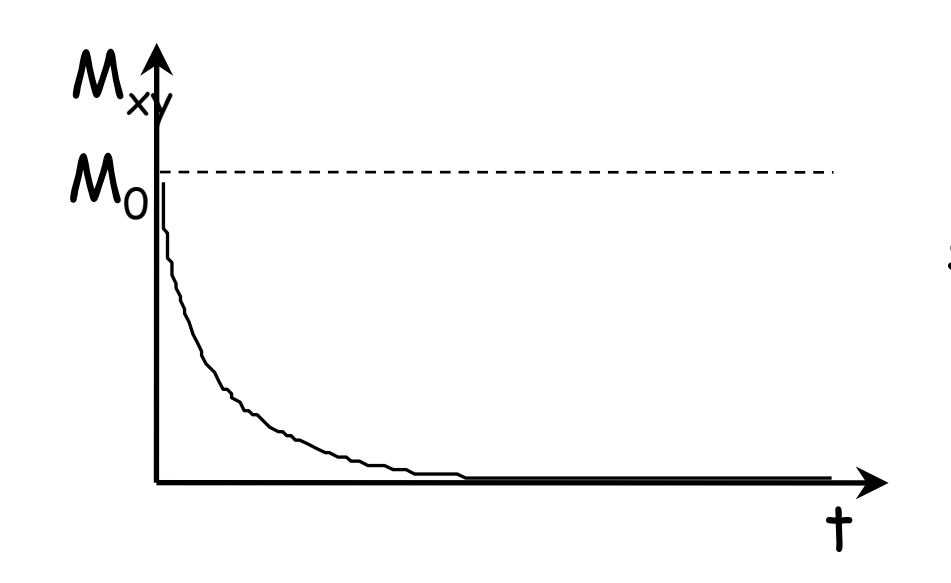
La Séquence d'Echo de Hahn

Evolution de la composante transversale del'aimantation (équation de BLOCH) :

$$\frac{dM_{xy}}{dt} = -\frac{M_{xy}}{T_2}$$

Après un écho (2τ) , cette équation différentielle a pour solution :

$$M_{xy}(2\tau) = M_0 \exp(-2\tau/T_2)$$

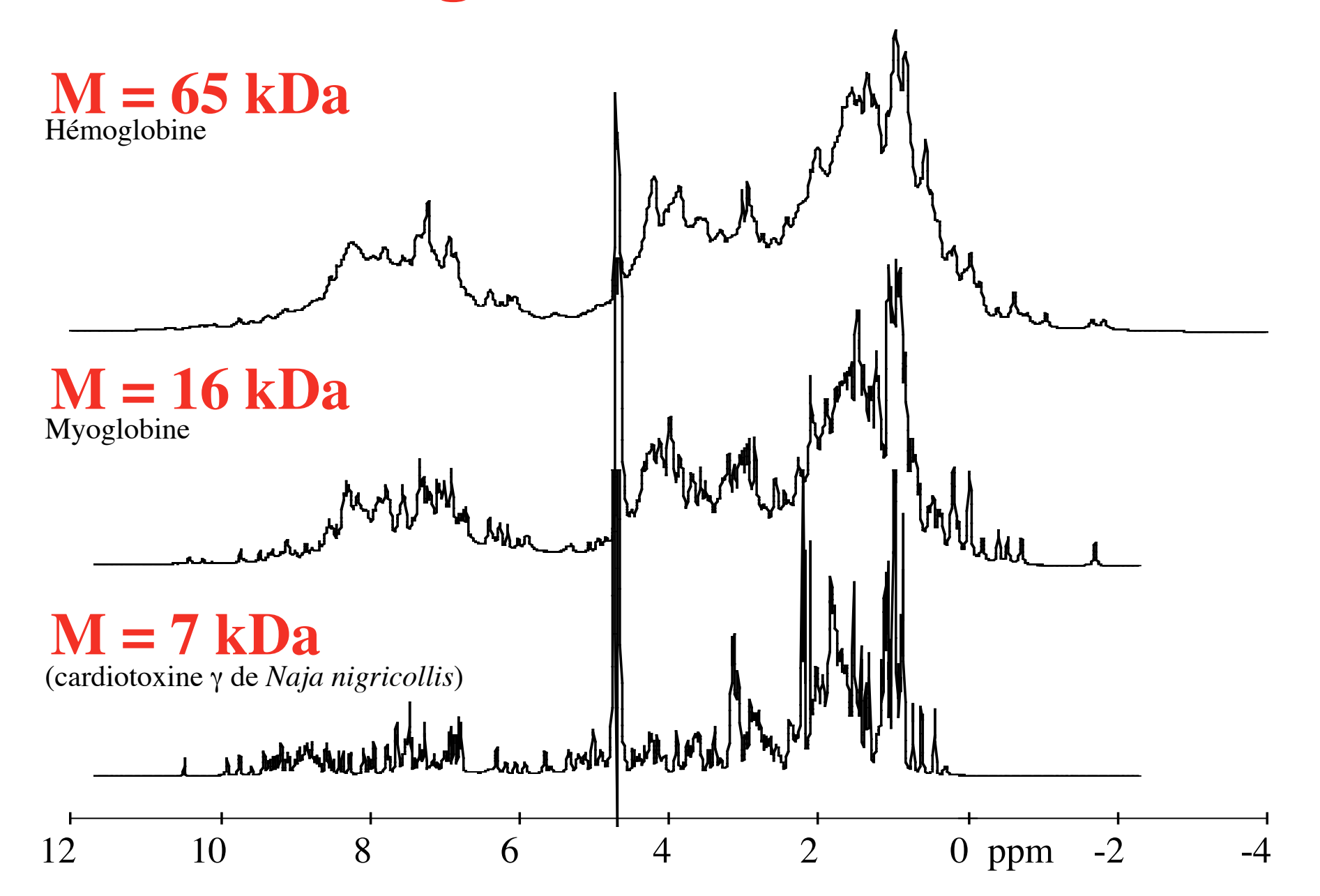


Avec:
$$M_{xy}(0) = M_0$$

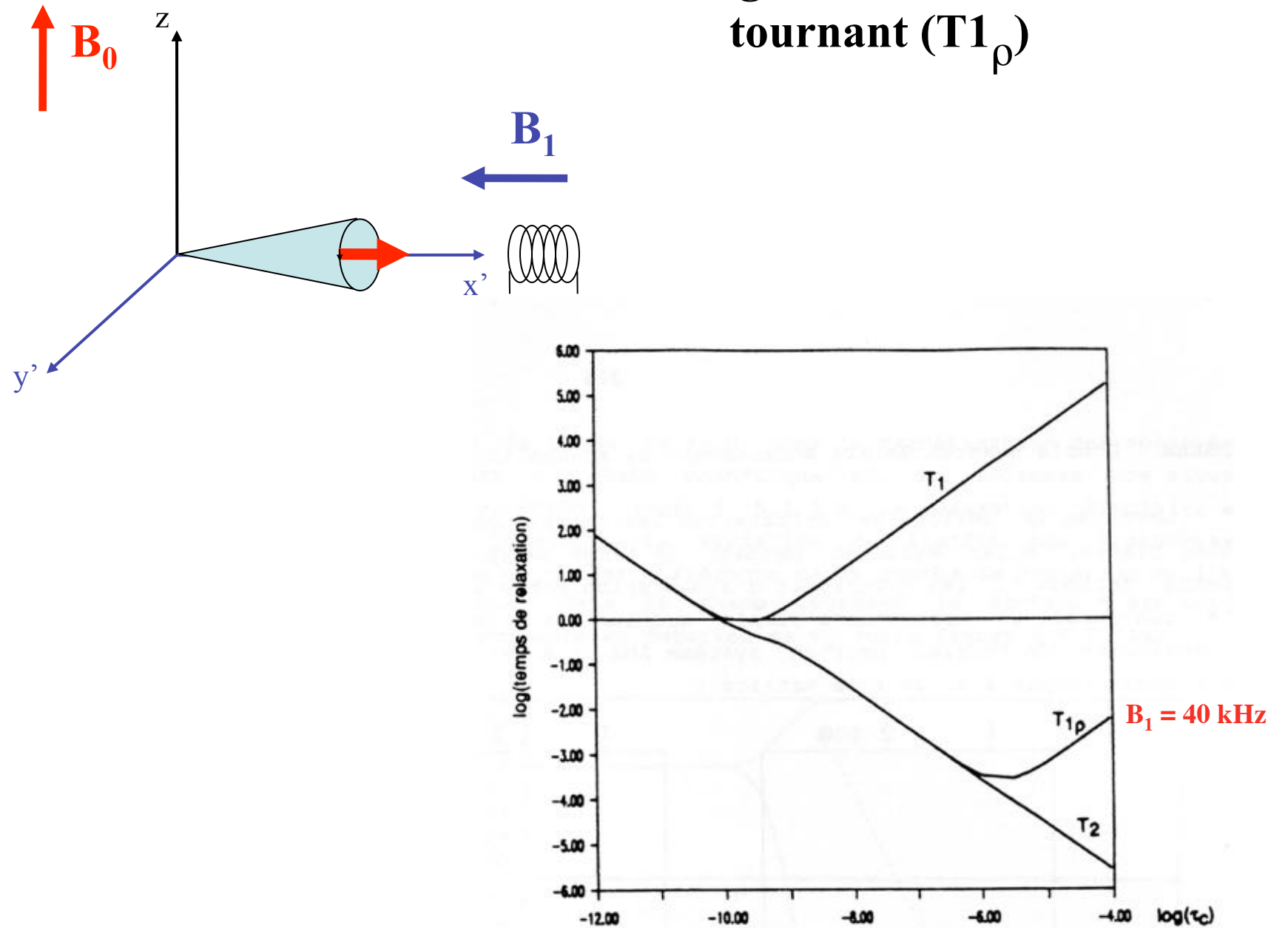
soit sous forme logarithmique:

$$\overrightarrow{t} \quad \ln \left[\frac{M_{xy}(2\tau)}{M_0} \right] = -\frac{2\tau}{T_2}$$

Largeur de raie



Relaxation « longitudinale » dans le référentiel tournant (T1_a)



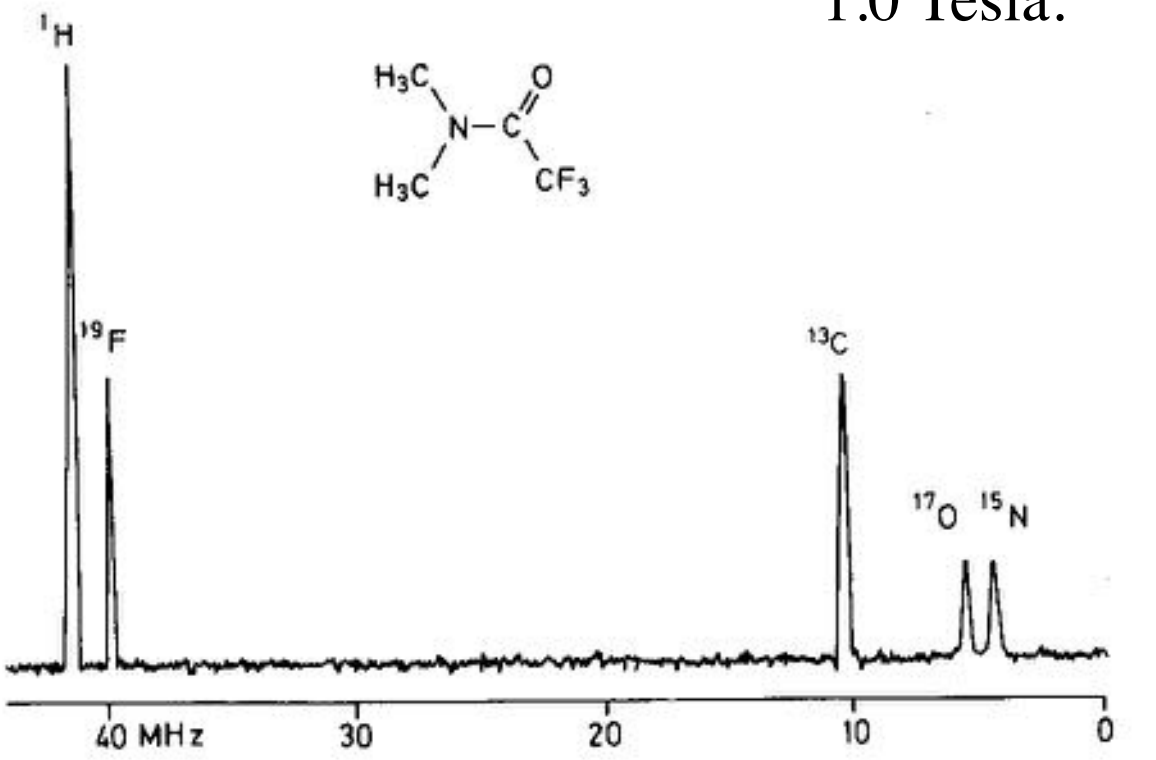
Pause...



Déplacement Chimique

3/4

Spectre RMN hypothétique du [15N,13C,17O] diméthyltrifluoroacétamide dans un champ de 1.0 Tesla.



Relation de LARMOR $\omega_0 = \gamma B_0$

Fréquences de résonances dans un champ de 1.0 T:

¹H: 42.58 MHz

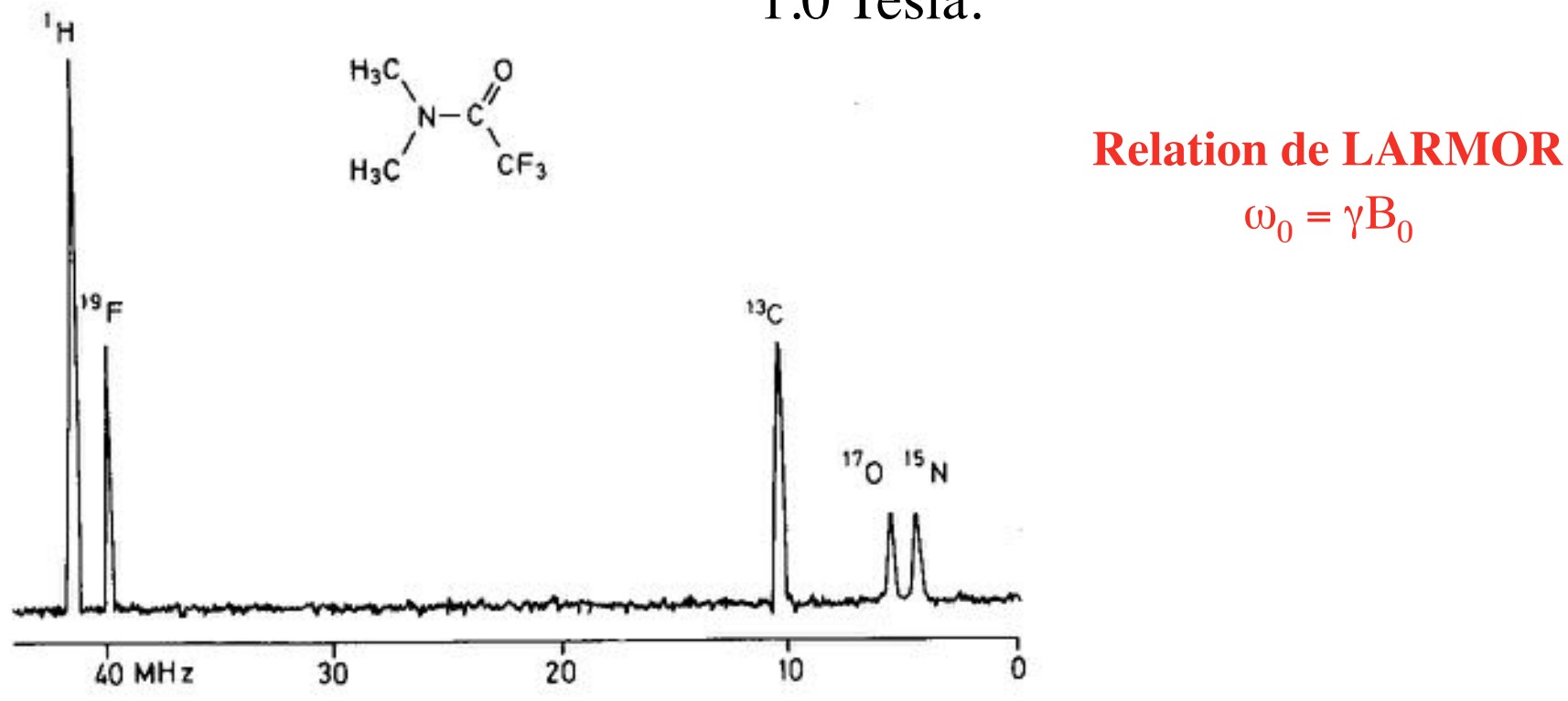
¹⁹F: 40.03 MHz

¹³C: 10.70 MHz

¹⁷O: 5.77 MHz

¹⁵N: 4.31 MHz

Spectre RMN hypothétique du [15N,13C,17O] diméthyltrifluoroacétamide dans un champ de 1.0 Tesla.



Fréquences de résonances dans un champ de 1.0 T:

¹H: 42.58 MHz

¹⁹F: 40.03 MHz

¹³C: 10.70 MHz

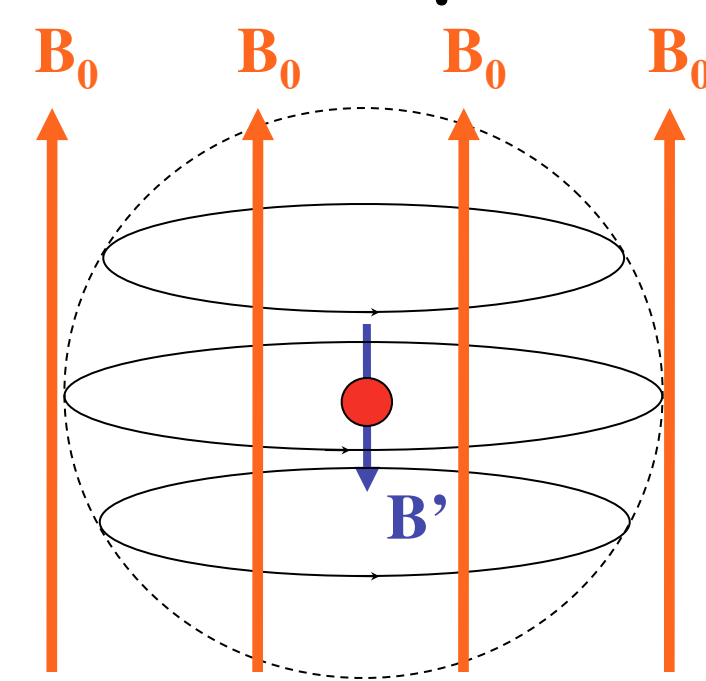
¹⁷O: 5.77 MHz

¹⁵N: 4.31 MHz

La fréquences de LARMOR ne dépend que du champ statique ${\sf B}_{\sf O}$ et du γ du

noyau observé...

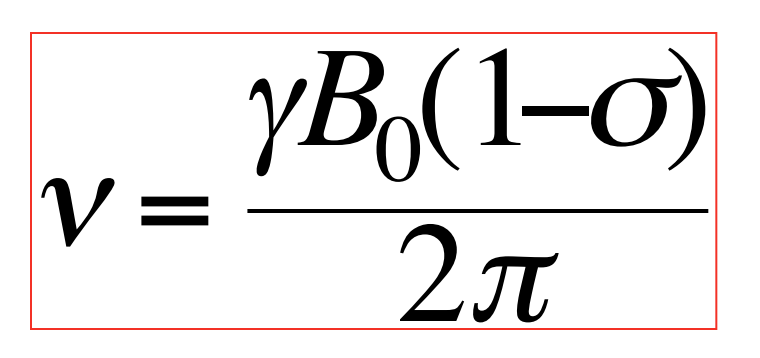
Champ local et « Blindage Nucléaire »

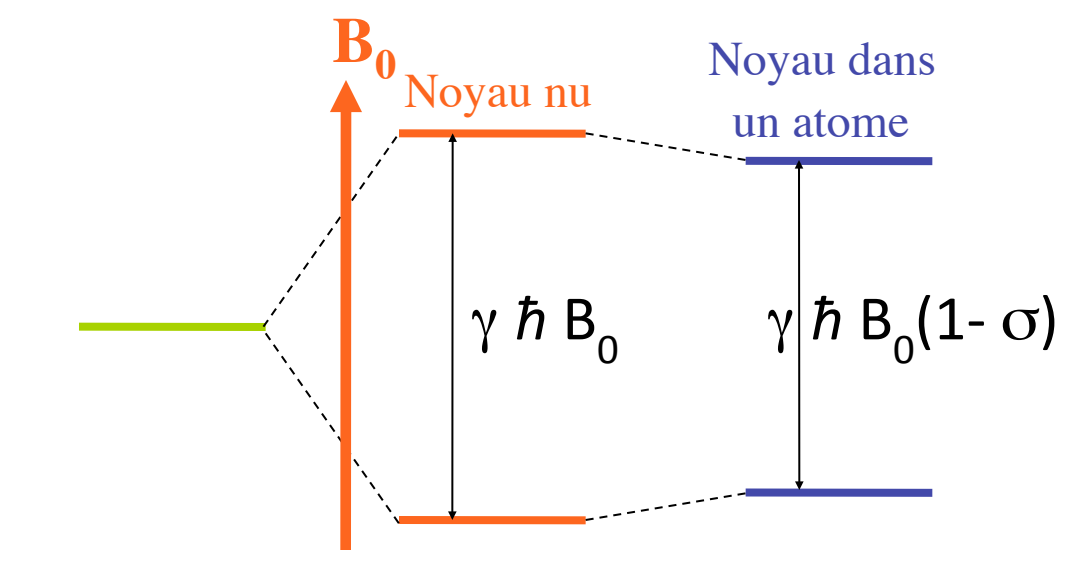


$$B = B_0 - B' = B_0(1-\sigma)$$

B = Champ «Local »

 σ = constante d'écran





Le déplacement chimique

C'est une quantification de l'effet de champ local, rendue indépendante du champ B_0 : on ne mesure plus la fréquence absolue du noyau, mais la différence de fréquence avec un noyau référence.

$$\delta_{obs} = \frac{v_{obs} - v_{ref}}{v_{ref}} \times 10^6 \approx \frac{v_{obs} - v_{ref}}{v_0} \times 10^6 \text{ ppm}$$

Contrairement à la fréquence de résonance, le déplacement chimique ne dépend plus du champ $B_0!$

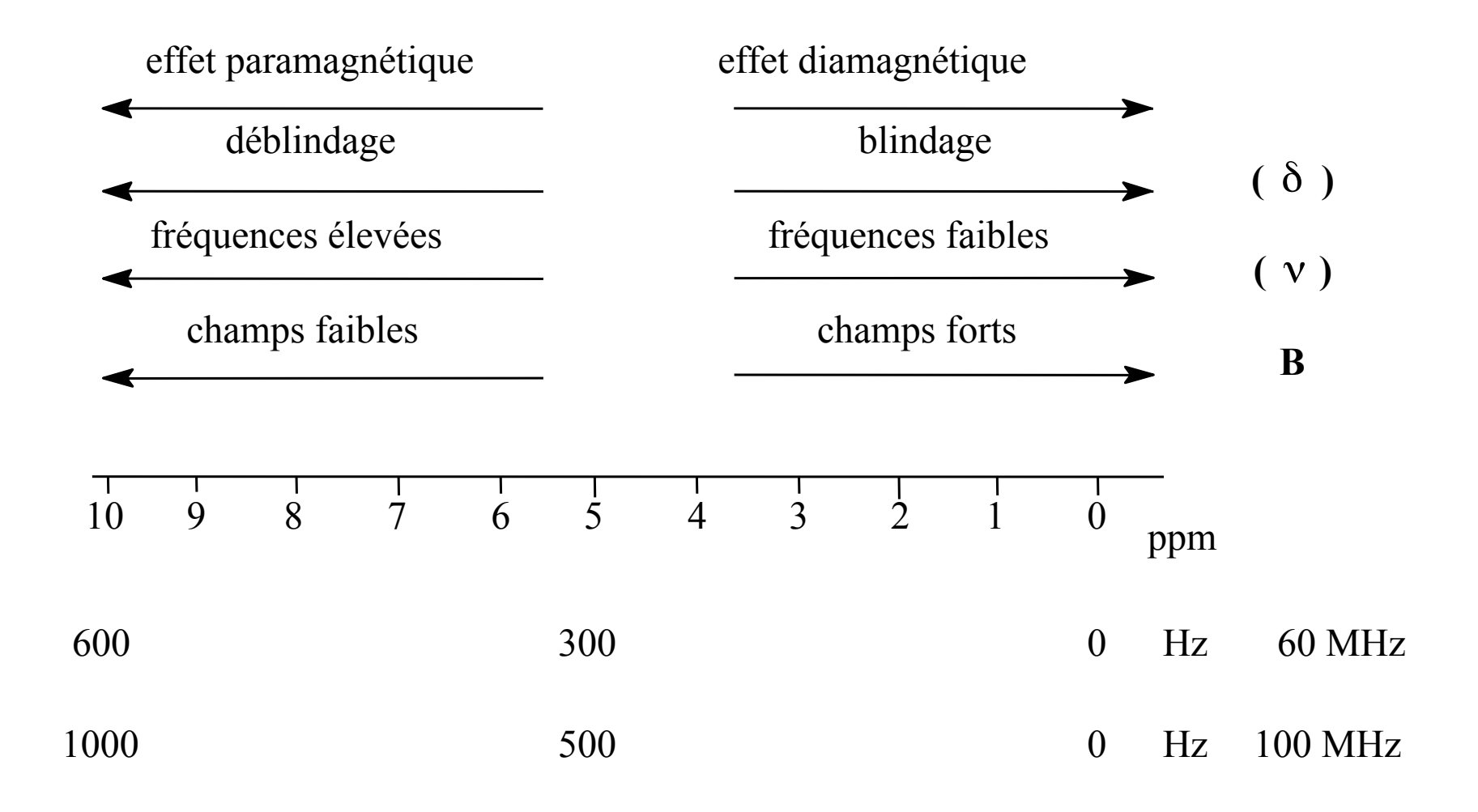
Ex: un proton qui résonne à 3000 Hz (v_{obs}) de la substance de référence ($v_{ref} = 0$) dans un champ magnétique de 11.75 T ($v_0 = 500$ MHz) aura un déplacement chimique δ_{obs} de:

$$\delta_{obs} = \frac{3000 - 0}{500 \times 10^6} \times 10^6 = 6 \text{ ppm}$$

TMS: tretra methyle silane (insoluble dans l'eau)

TSP: 3-(Trimethylsilyl)- Propionic acid-D4, sodium salt

CONVENTIONS



Les Origines du Déplacement Chimique

- Les Courants Diamagnétiques Locaux:

Ils sont liés à la densité électronique autour du noyau : plus la densité électronique sera importante, plus le blindage sera important, et plus le déplacement chimique δ sera faible.

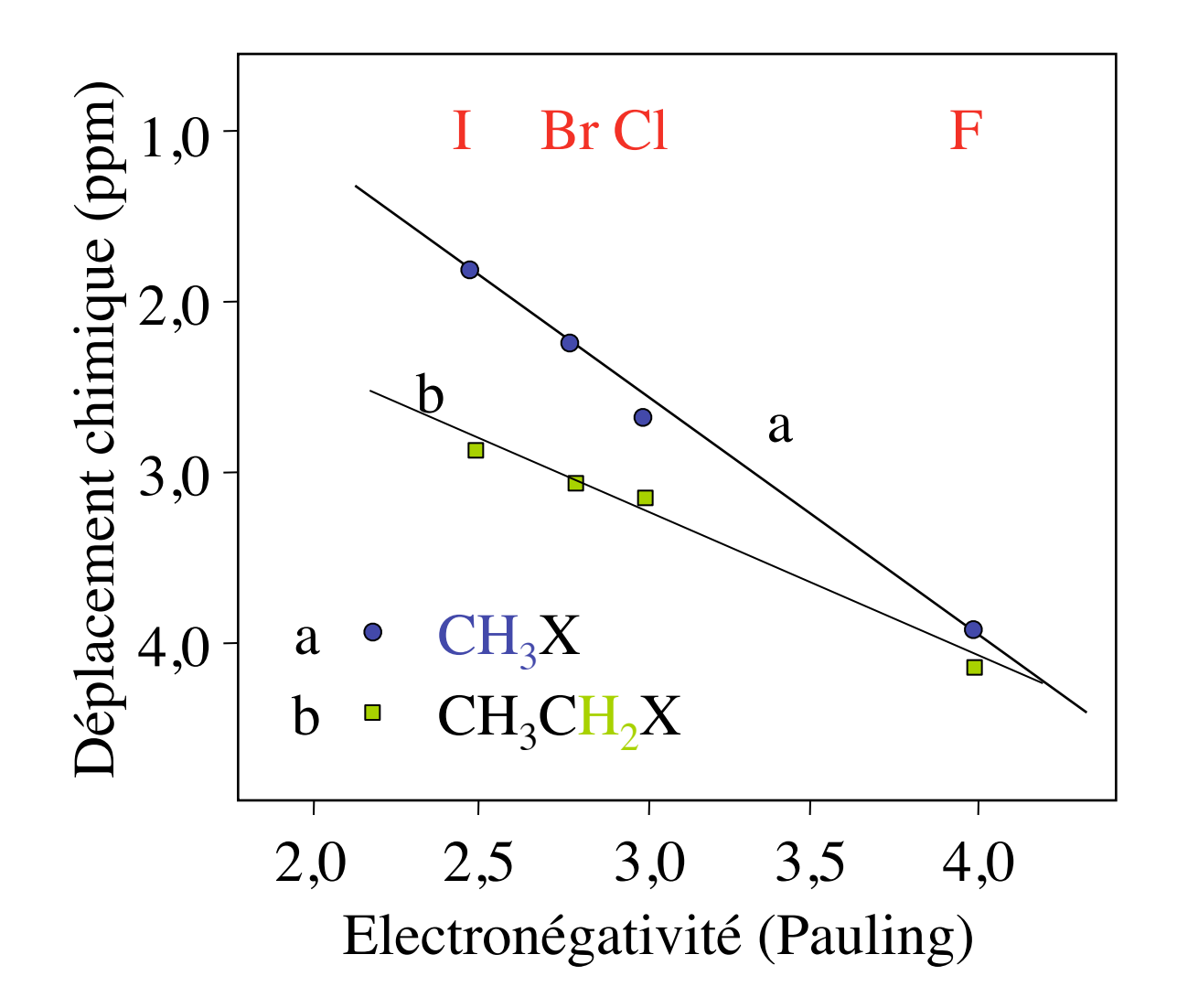
A l'intérieur d'une molécule, les effets inductif et mésomère sont à l'origine de variations de δ car ils contribuent à modifier la répartition électronique autour des différents noyaux.

Influence de la liaison à un halogène :

	CH ₃ F	CH ₃ Cl	CH ₃ Br	CH ₃ I	CH ₃ H
δ (CH3)	4,13	2,84	2,45	1,98	0,13
E (Pauling)	4,0	3,0	2,8	2,5	2,1

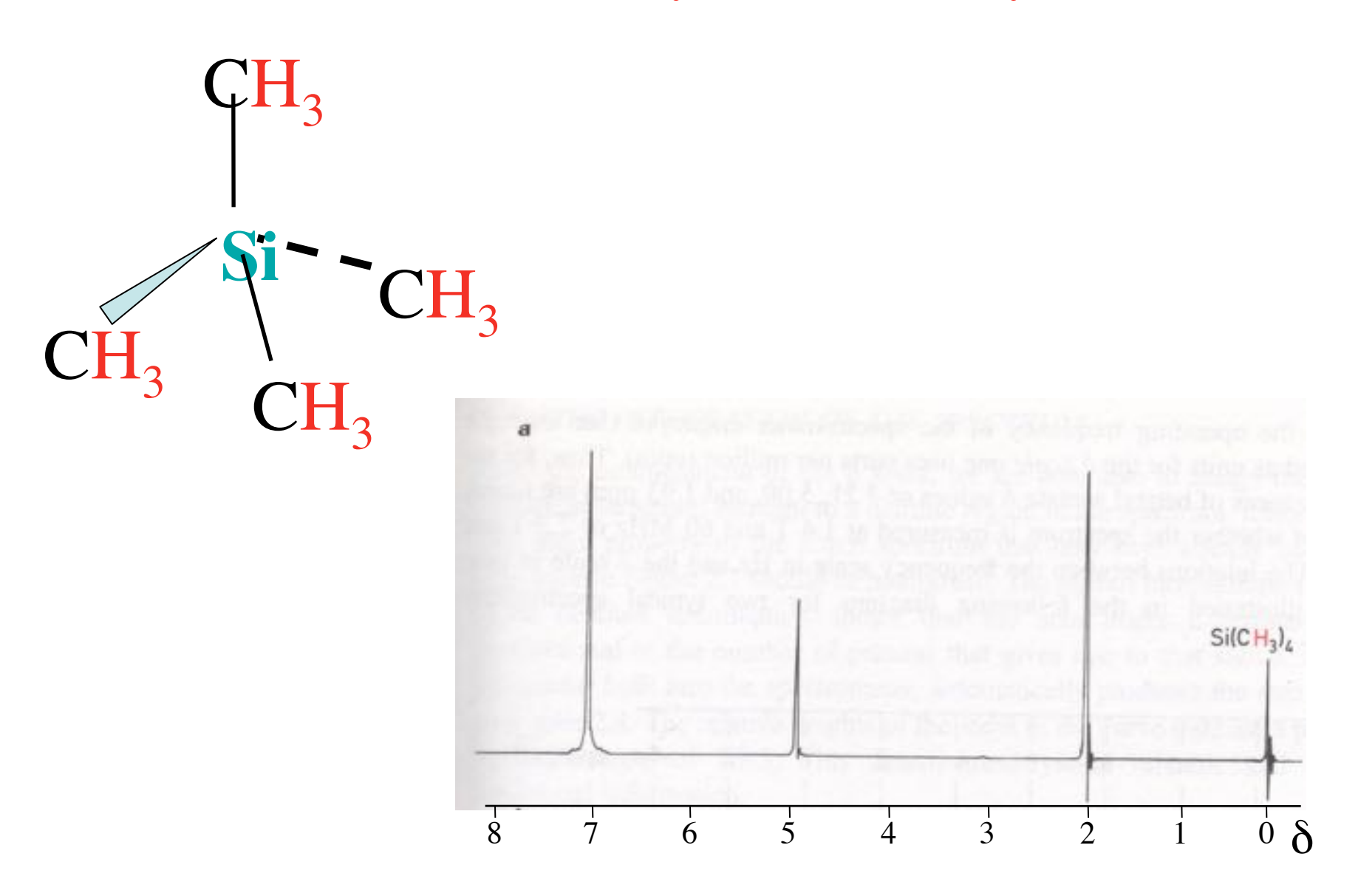
Plus, l'halogène est électronégatif, plus il va dépeupler le groupement méthyle de ses électrons, et plus les protons du méthyle seront déblindés.

Influence de la liaison à un halogène :



Plus, l'halogène est électronégatif, plus il va dépeupler le groupement voisin de ses électrons, et plus les protons de ce groupement seront déblindés.

- Les dérivés Silylés : le tétraméthylsilane (TMS):



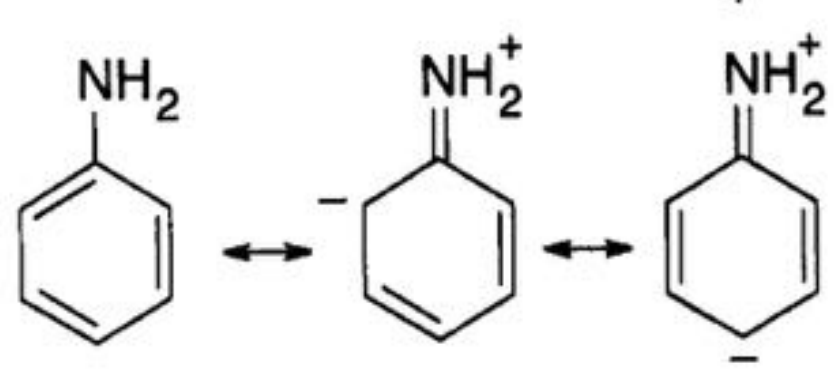
Influence de l'effet mésomère:

NO₂: électro-attracteur

positions (+) => déblindage

NH₂: électro-donneur

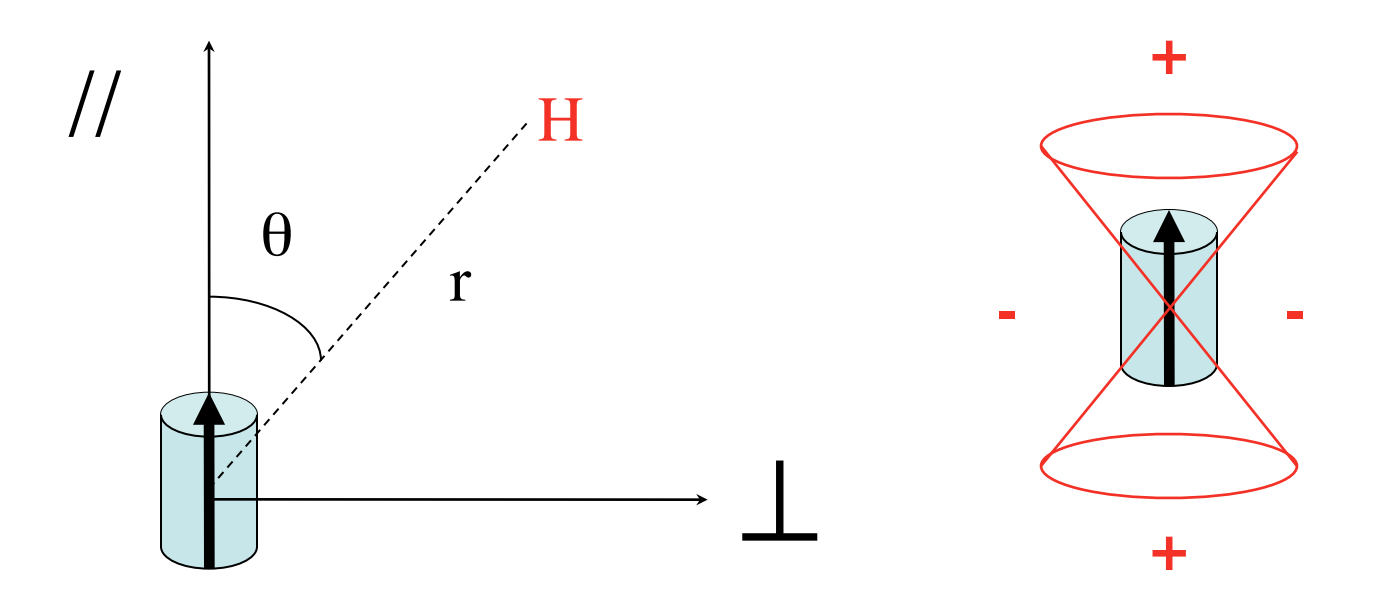
positions (-) => blindage



- Influence des groupements voisins (σ '):

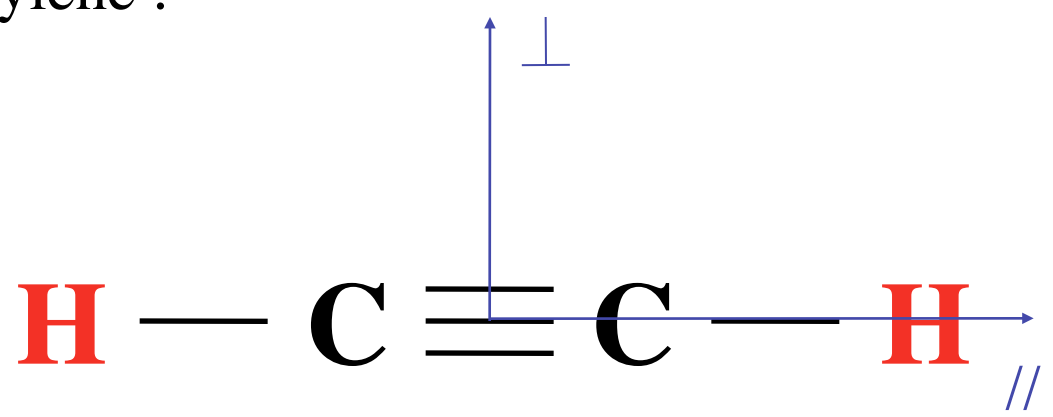
Un noyau peut être blindé ou déblindé par la circulation des électrons dans un groupe d'atomes voisins si ce groupe d'atomes présente une anisotropie de susceptibilité magnétique.

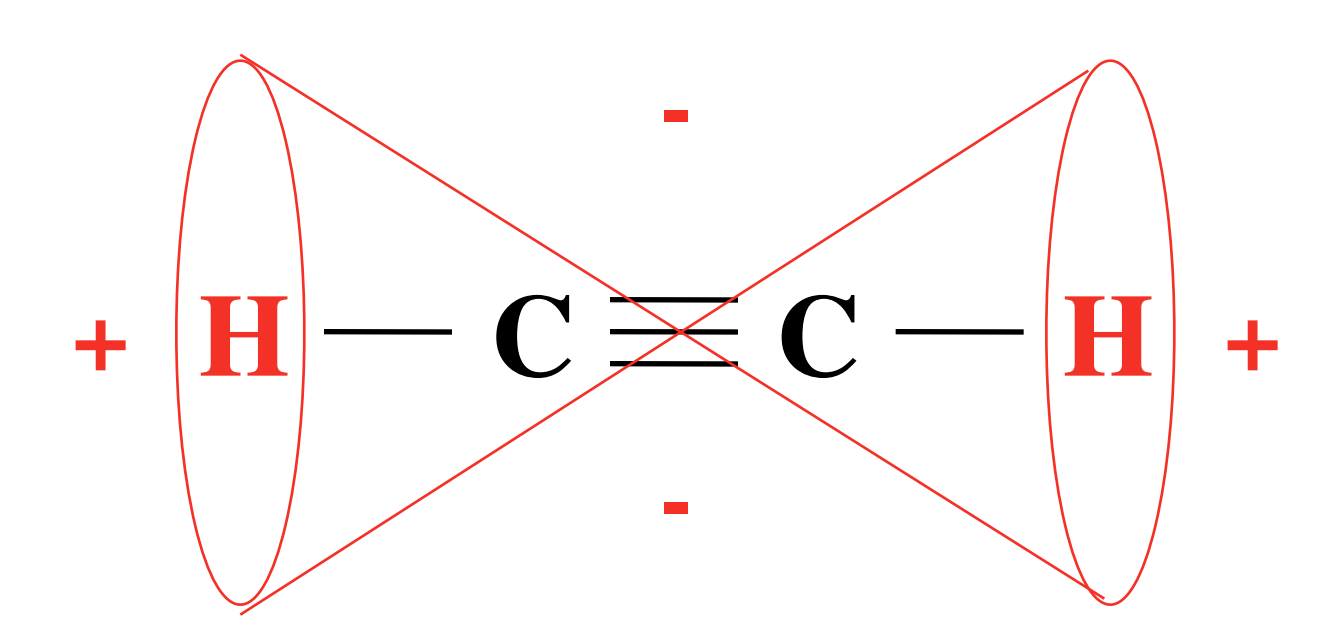
Si cette anisotropie est de symétrie cylindrique ($\chi_{par} \neq \chi_{per}$), le groupement va se comporter comme un petit aimant :

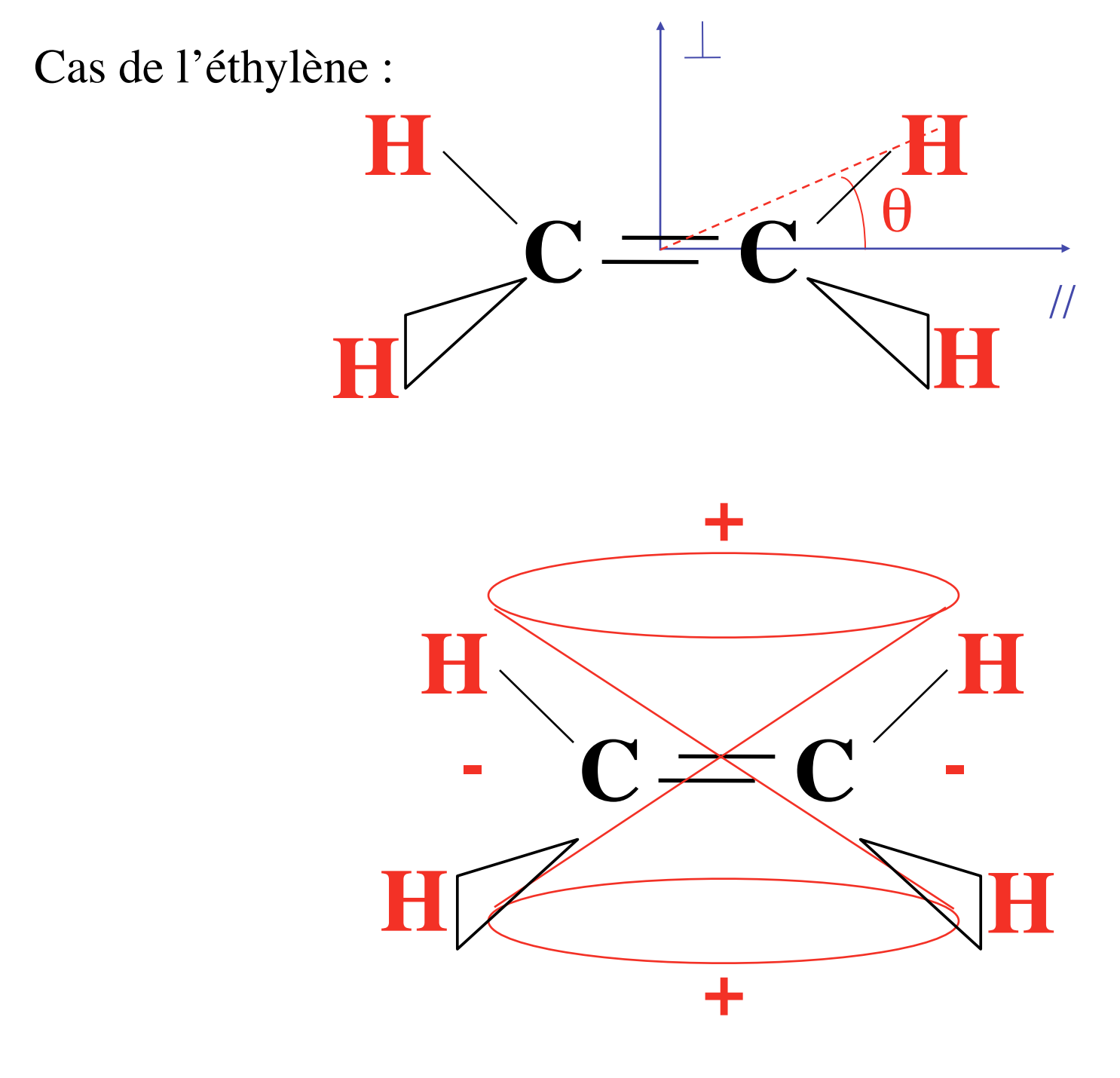


Dépend de r et de thêta

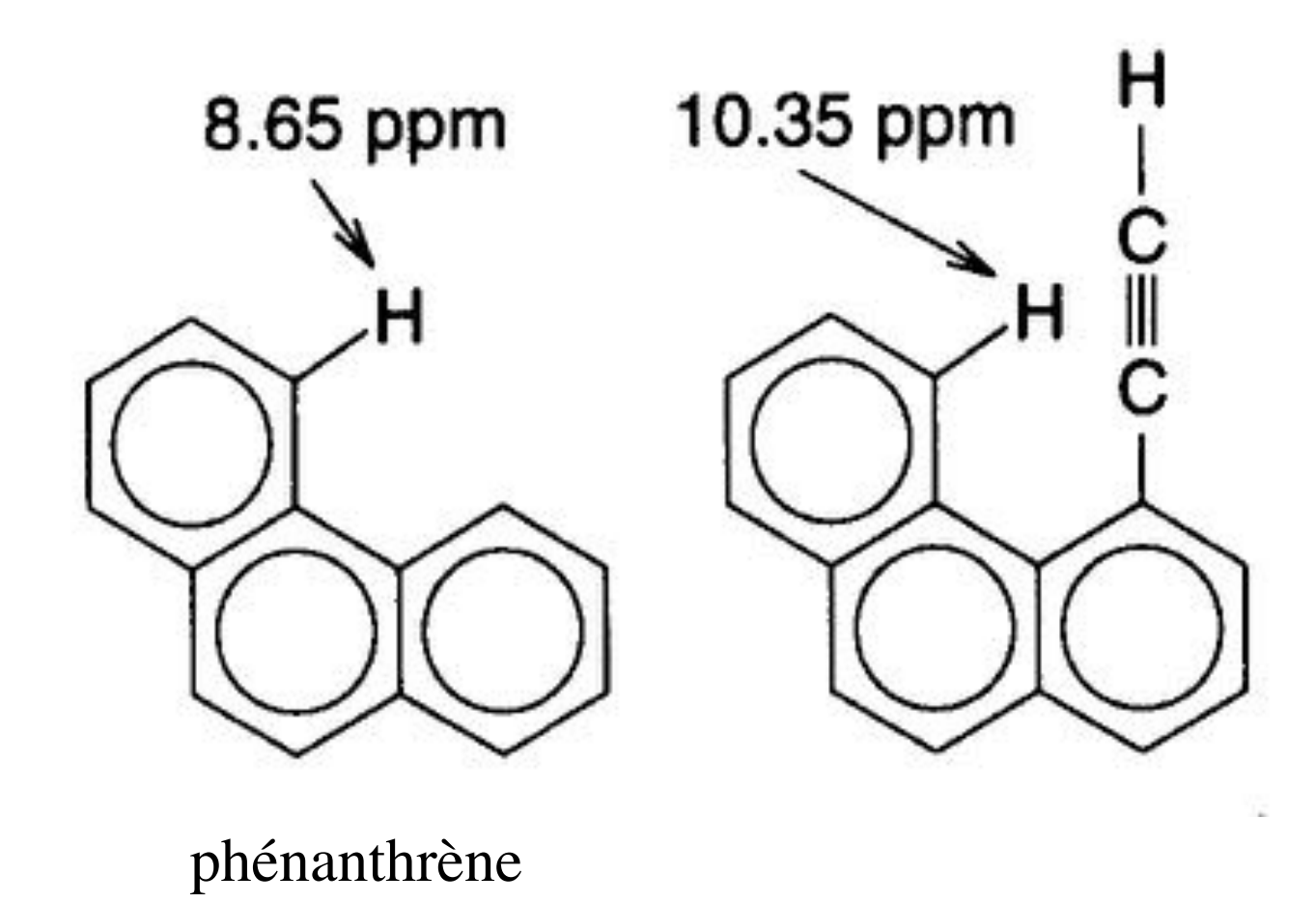
Cas de l'acétylène:



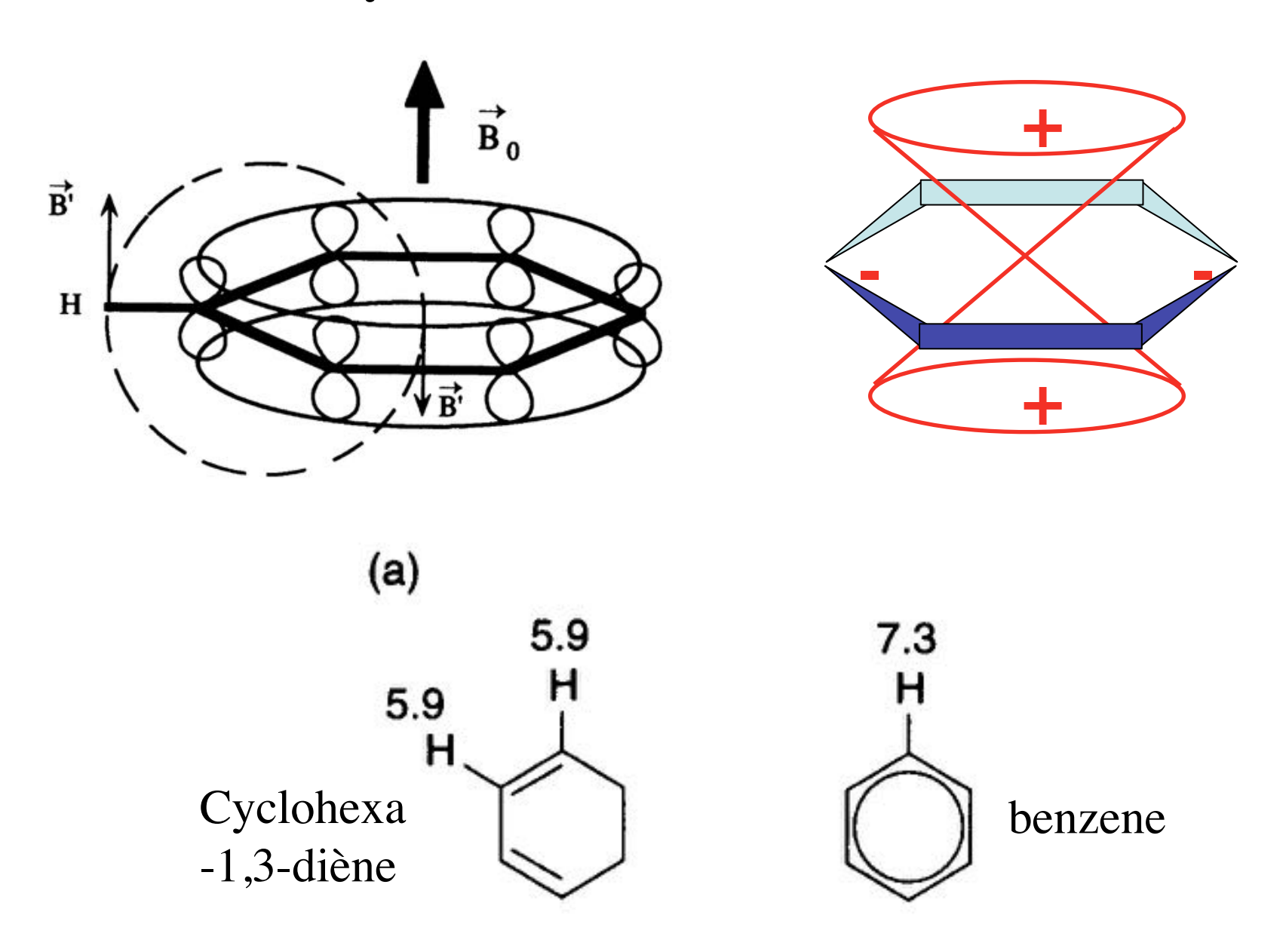




Effets à « longues-distances »:

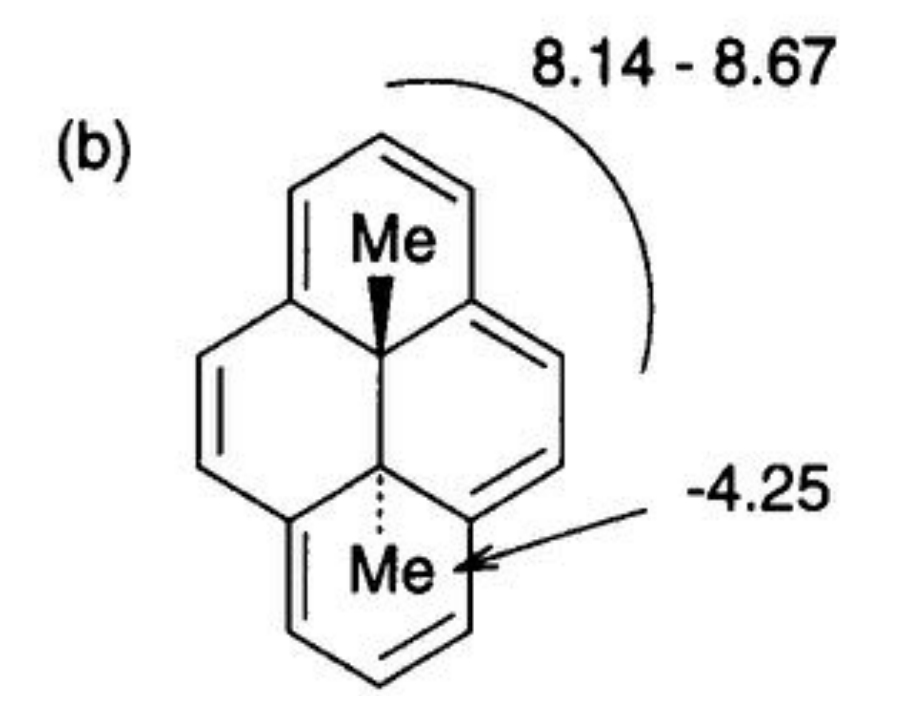


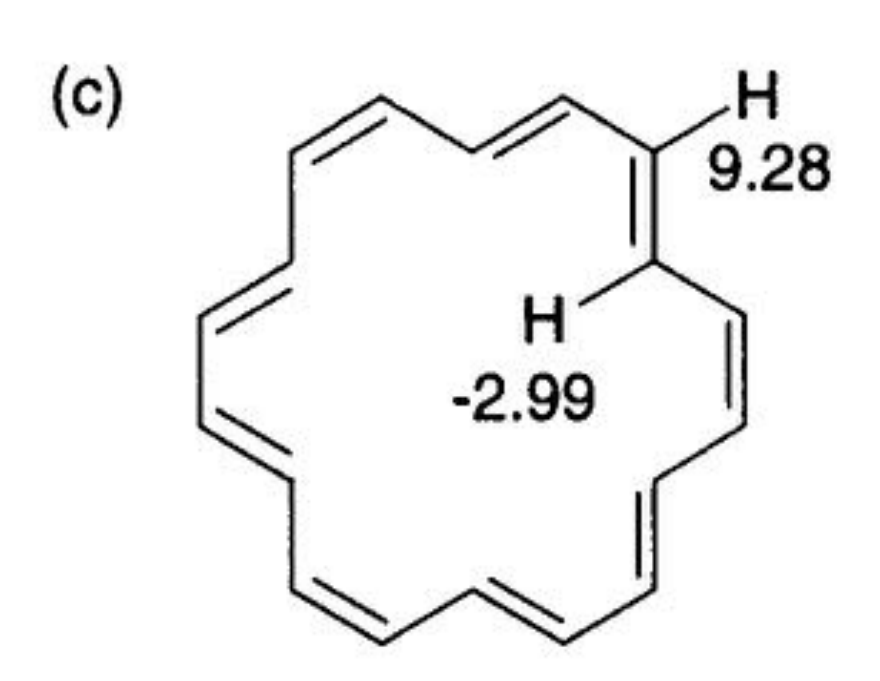
Les courants de cycle :



diméthyl pyrène

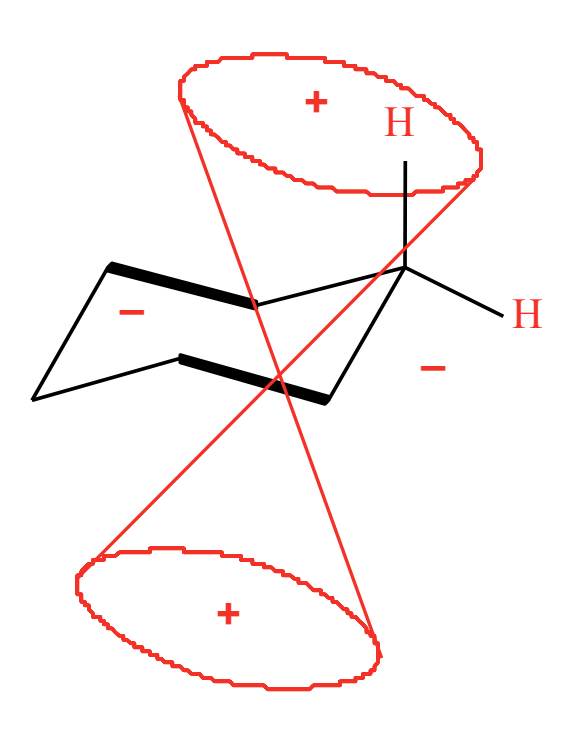
[18]-annulène

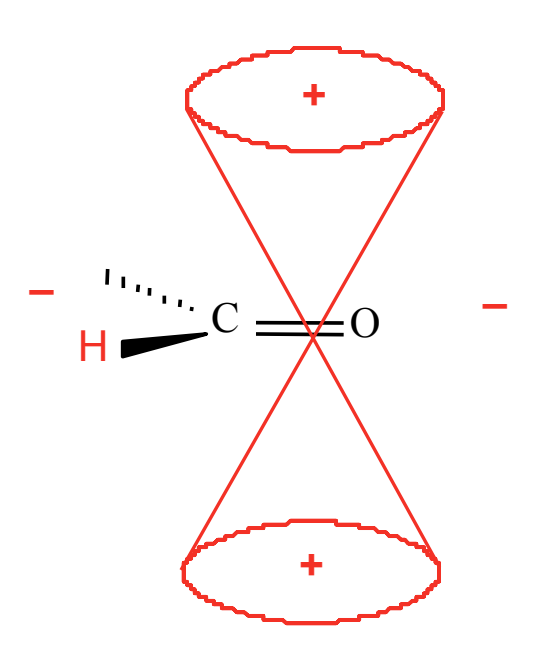


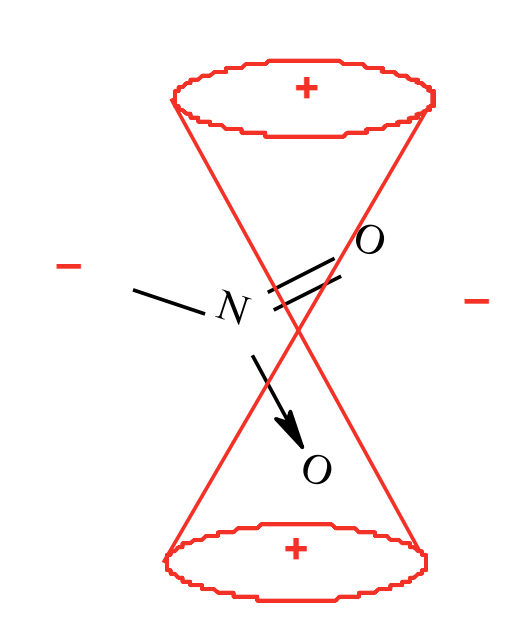


- Autres causes d'anisotropie de susceptibilité magnétique :

Groupes Carbonyles







Cycles de de type cyclohexane

Groupes nitro-

Table de déplacements chimiques

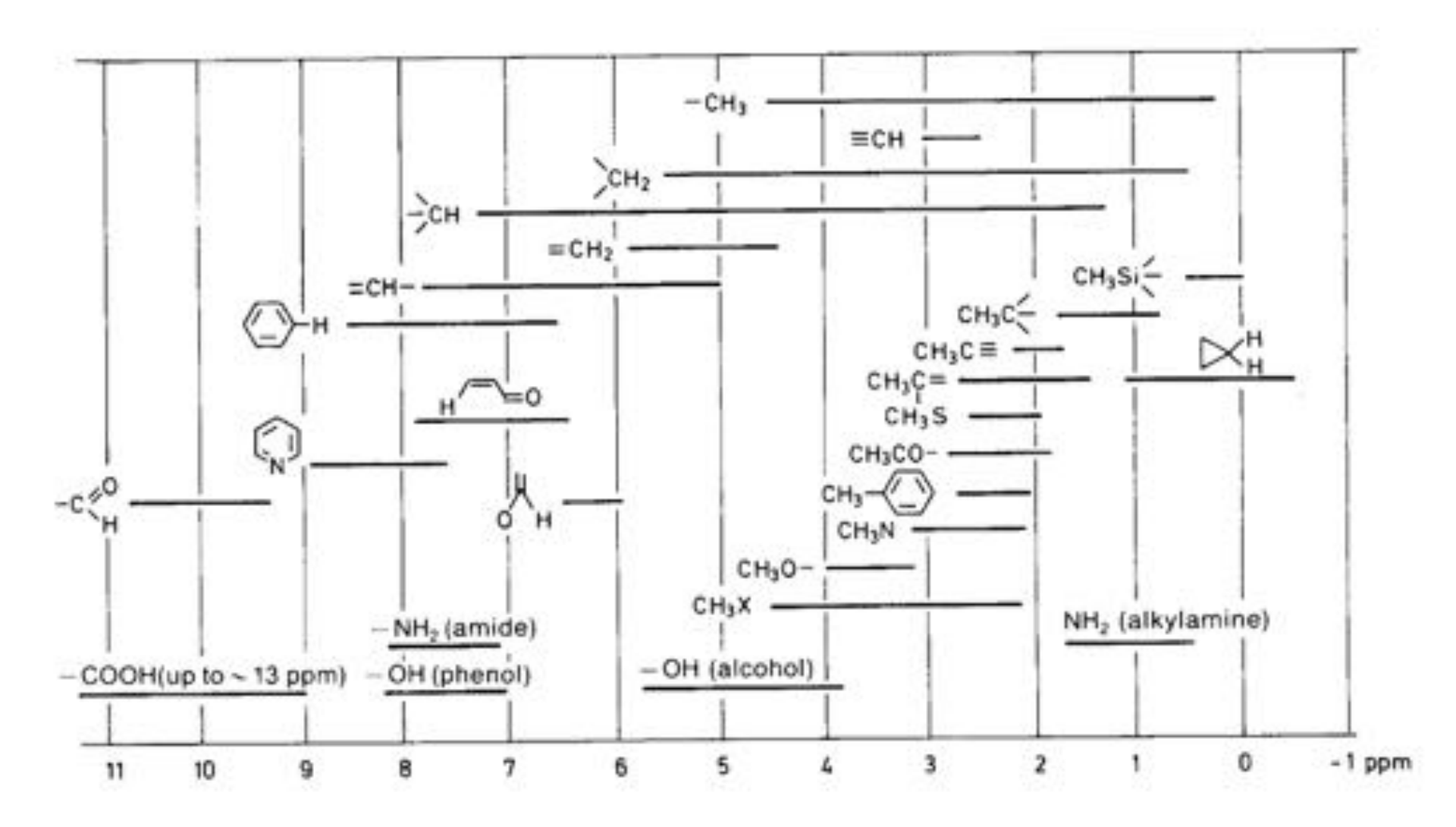
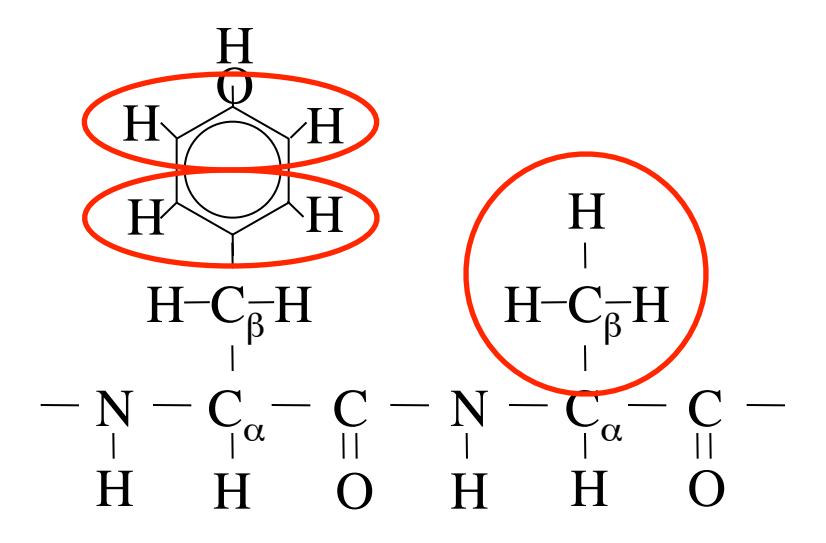
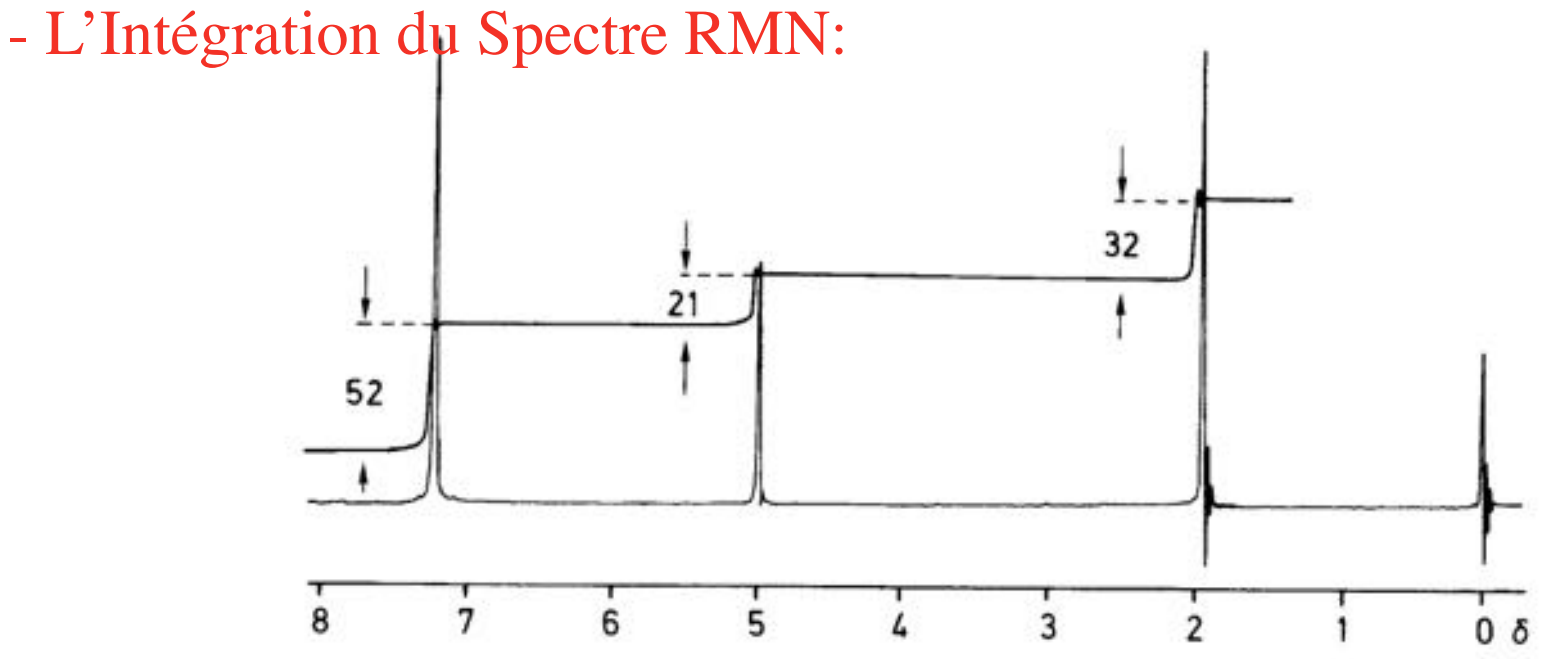


Figure 2.6 δ-Scale of chemical shifts of proton resonances in organic compounds





L'aire d'un pic est proportionnelle au nombre de protons qui donnent naissance au signal. L'intensité en est une mauvaise mesure, car la largeur de la raie peut varier.

!!! ATTENTION !!!

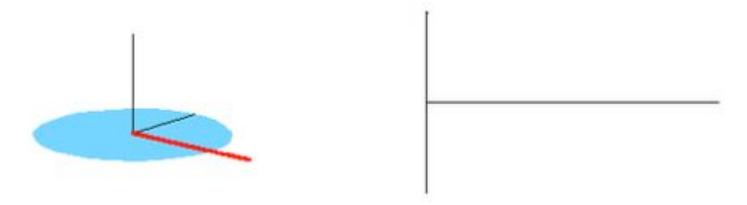
L'intégration ne détermine que le nombre relatif de protons!

HCOOCH₂CH₃

Formate d'éthyle

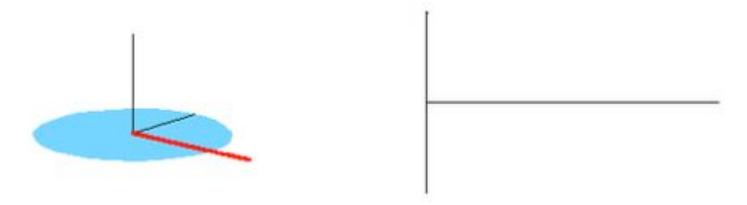
Malonate d'éthyle

Spins multiples : FID & Transformée de Fourier



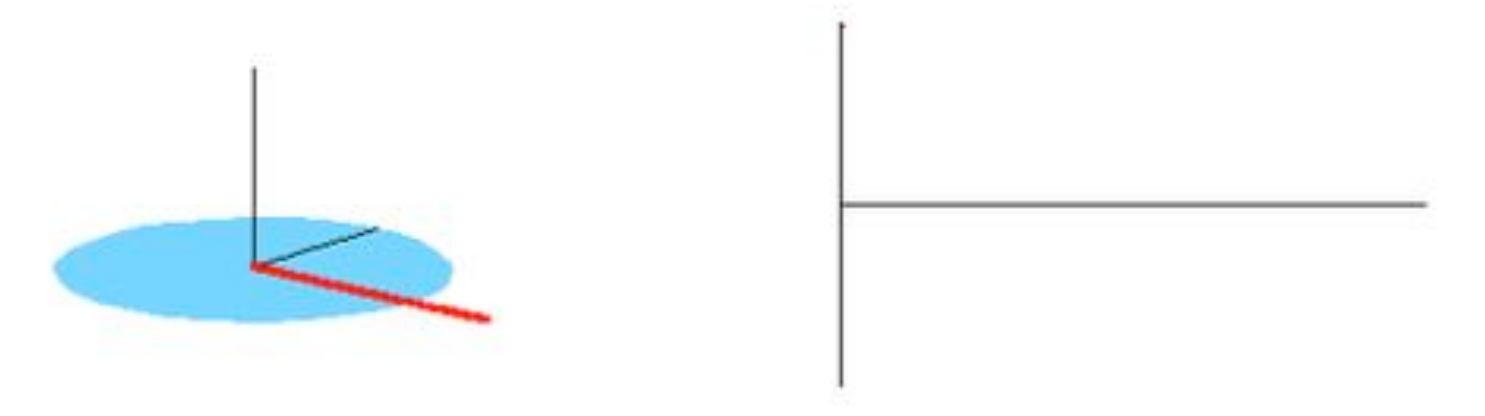
Le signal résultant est la somme des signaux individuels

Spins multiples : FID & Transformée de Fourier



Le signal résultant est la somme des signaux individuels

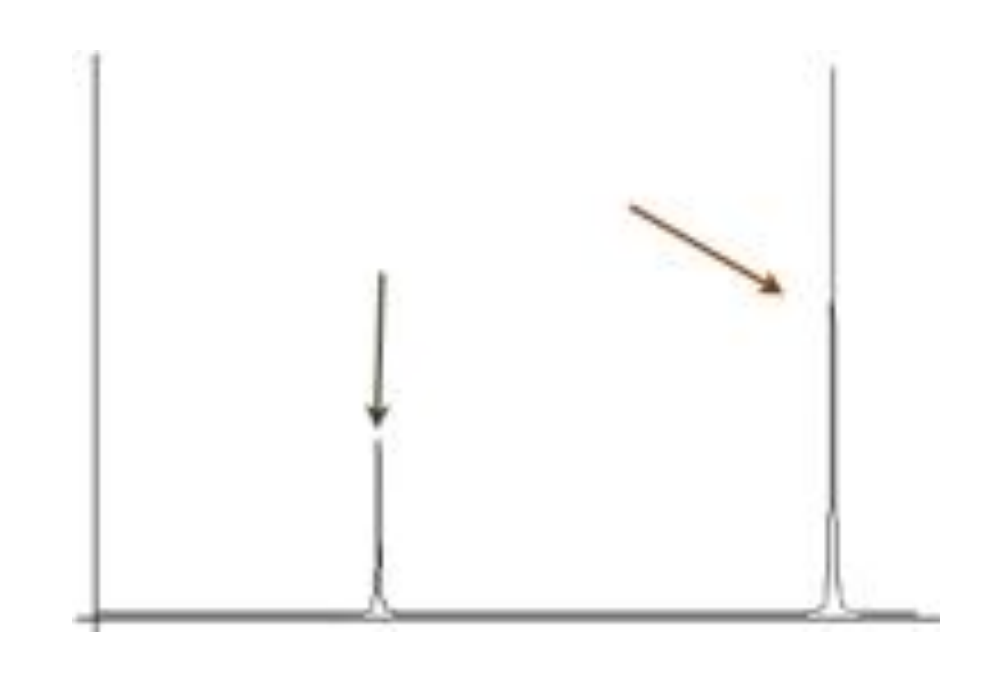
Spins multiples : FID & Transformée de Fourier



Le signal résultant est la somme des signaux individuels

Identification des contributions individuelles -> Extraction des fréquences du signal temporel

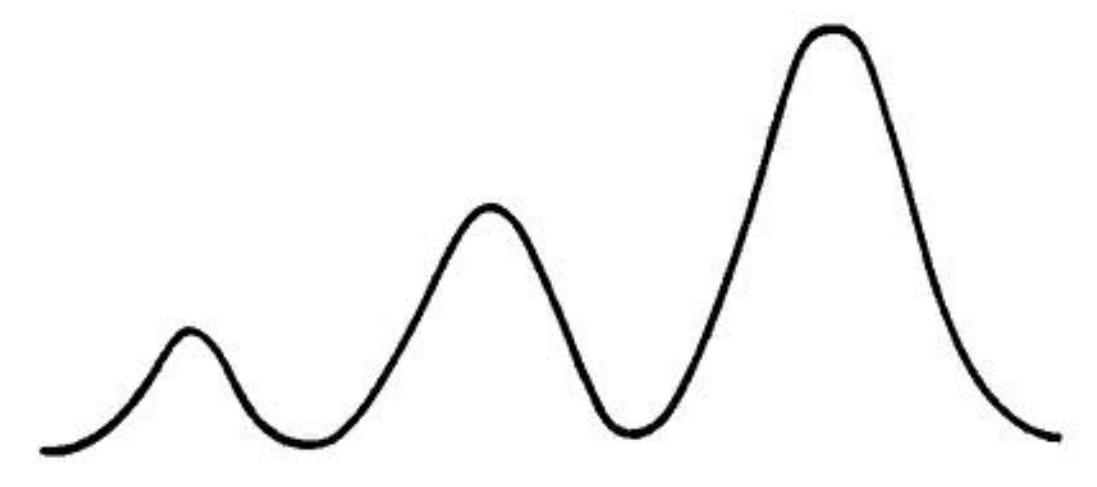
Transformée de Fourier



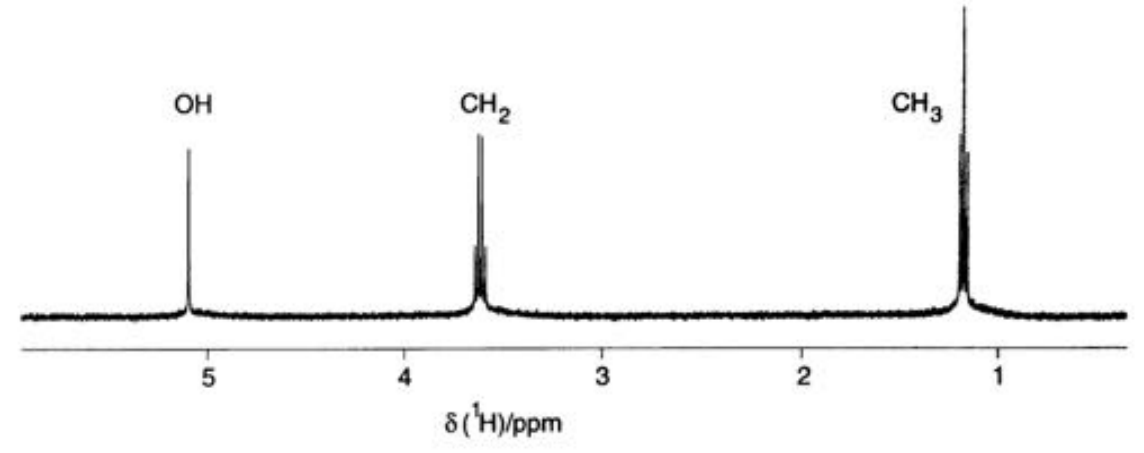
Couplage Scalaire et Dipolaire

3/4

Le Couplage Spin-Spin ou Couplage Indirect



Spectre de l'éthanol obtenu en 1945 par Bloch et Purcell sur un spectromètre opérant à une fréquence nominale de 32,4 MHz et dans un champ de 7600 G (0.76 T) variable sur une plage de 75 mG par pas de 0.05 G.

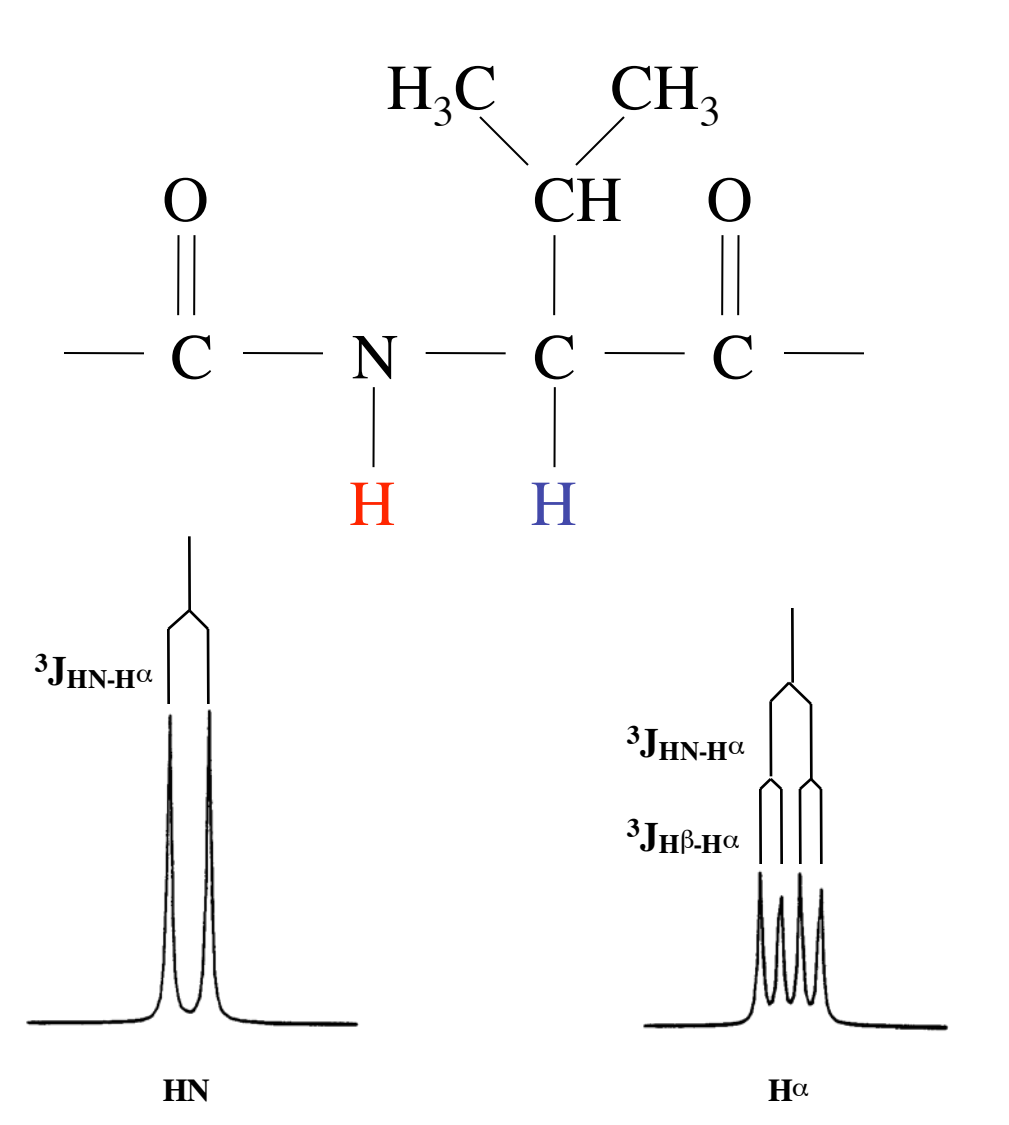


Spectre de l'éthanol obtenu sur un spectre « moderne » opérant avec un champ de 9,4 T (400 MHz).

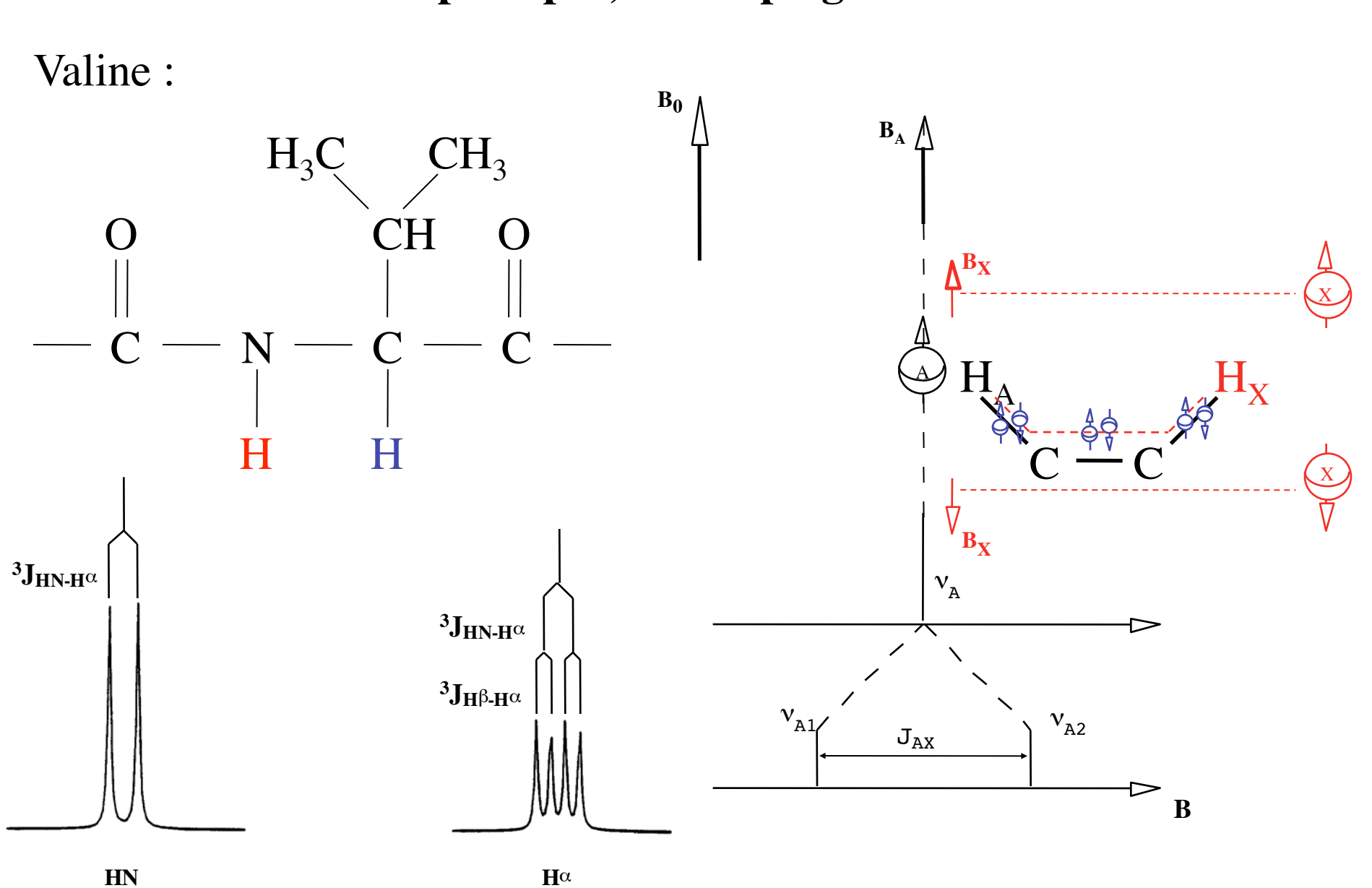
Le couplage Spin-Spin (ou Scalaire) est indépendant du champ B₀!

LE COUPLAGE SCALAIRE ou Spin-Spin, ou couplage indirect

Valine:

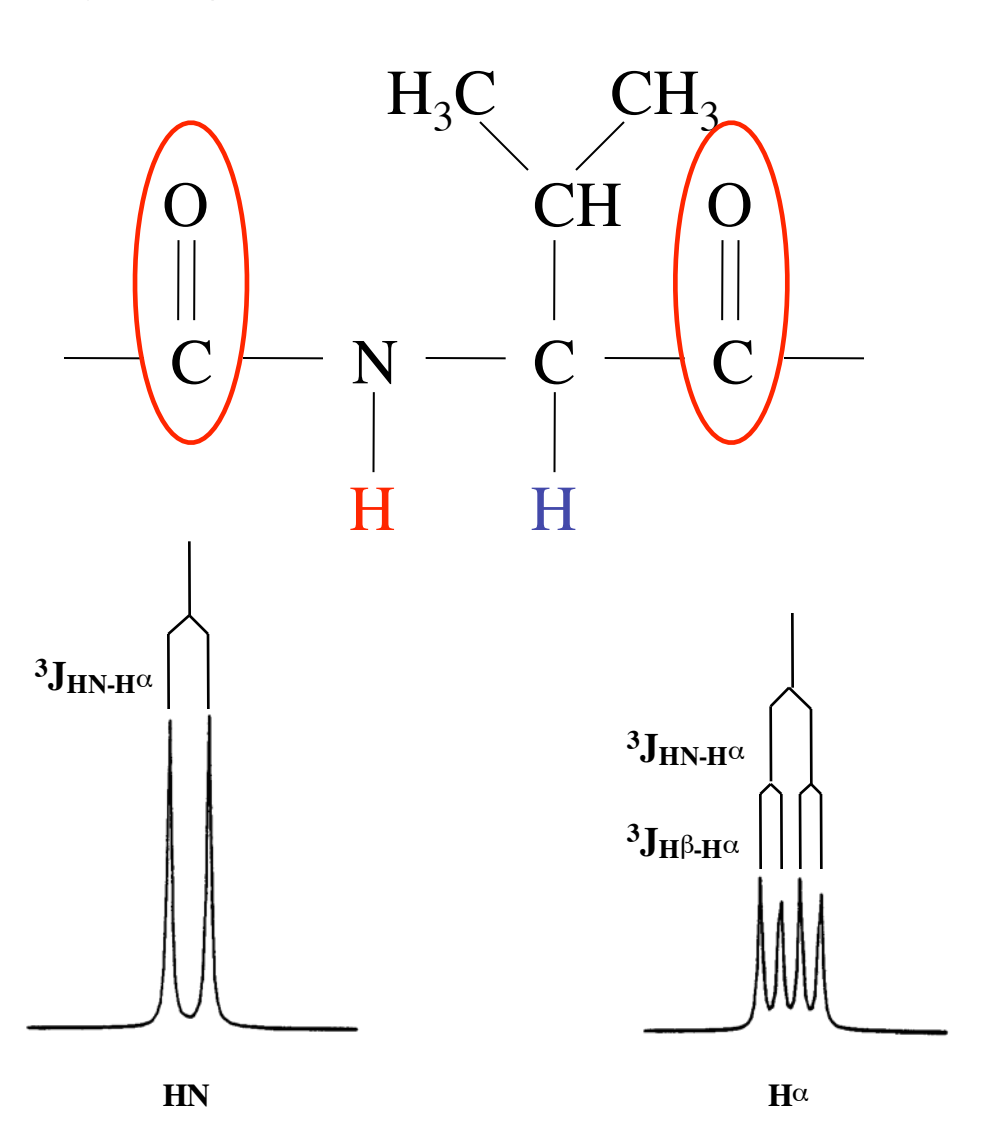


LE COUPLAGE SCALAIRE ou Spin-Spin, ou couplage indirect



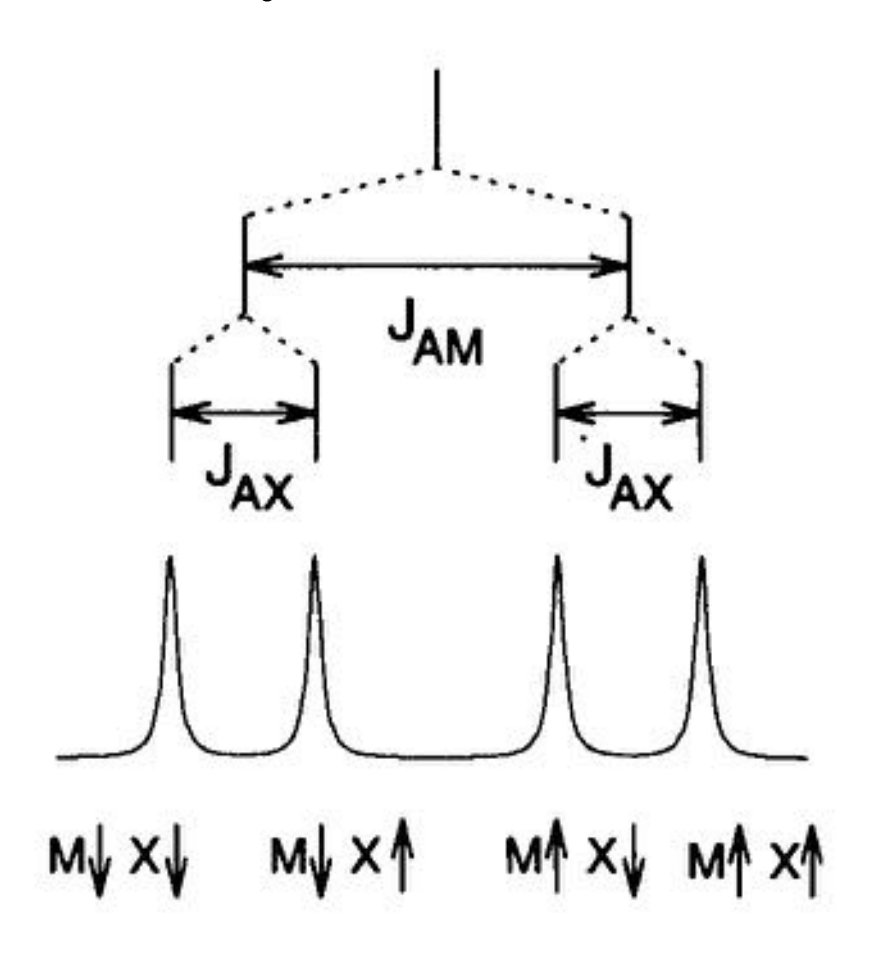
LE COUPLAGE SCALAIRE ou Spin-Spin, ou couplage indirect

Valine:



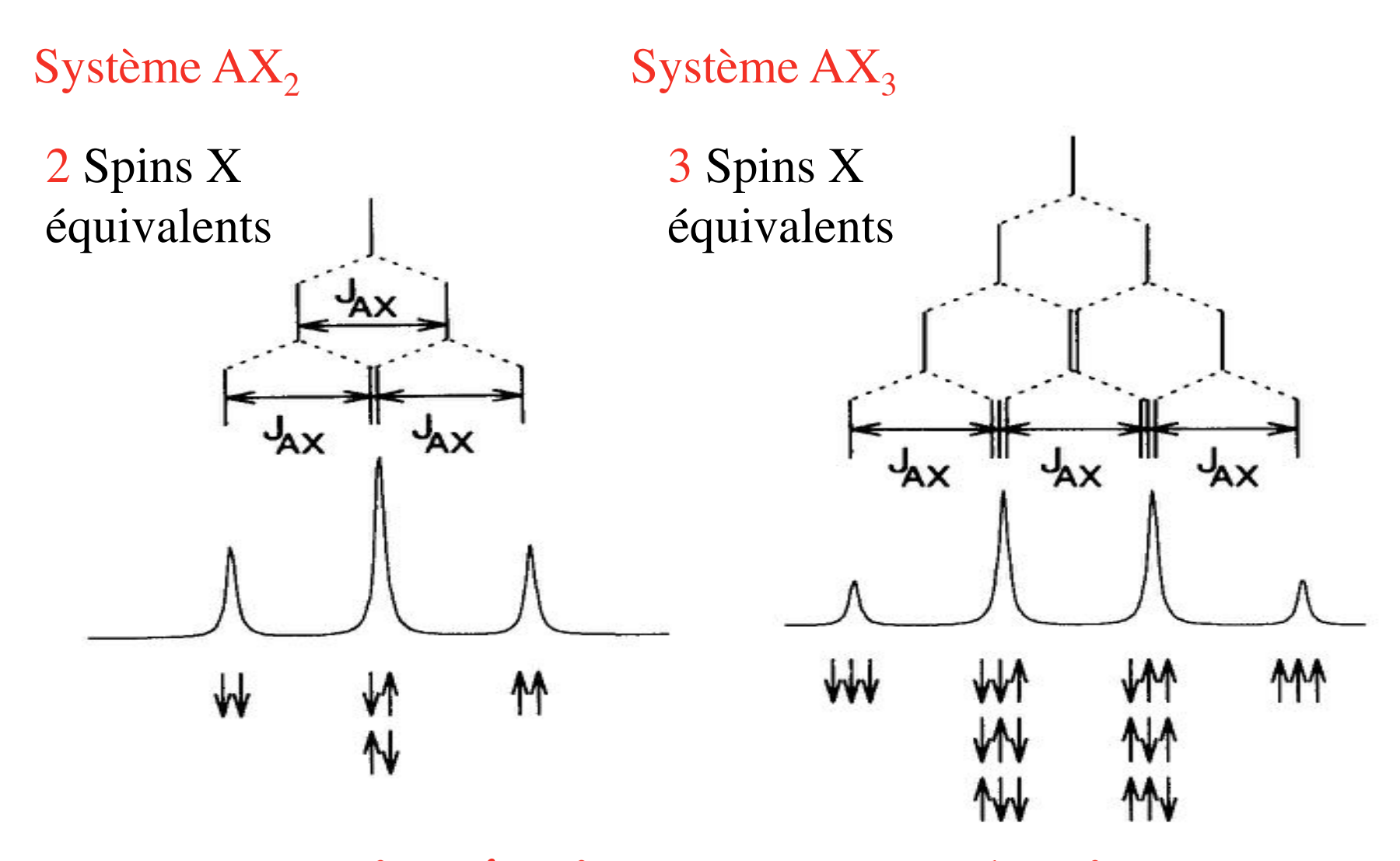
Le couplage J ne passe pas à travers un carbone quaternaire!

Couplage scalaire avec 2 spins 1/2 non-équivalent (système AMX)



Spectre RMN du noyau A dans un système AMX. Les 4 raies de résonance (doublet de doublet) proviennent des 4 combinaisons possibles des orientations des spins M et X.

Couplage scalaire avec des spins 1/2 équivalents



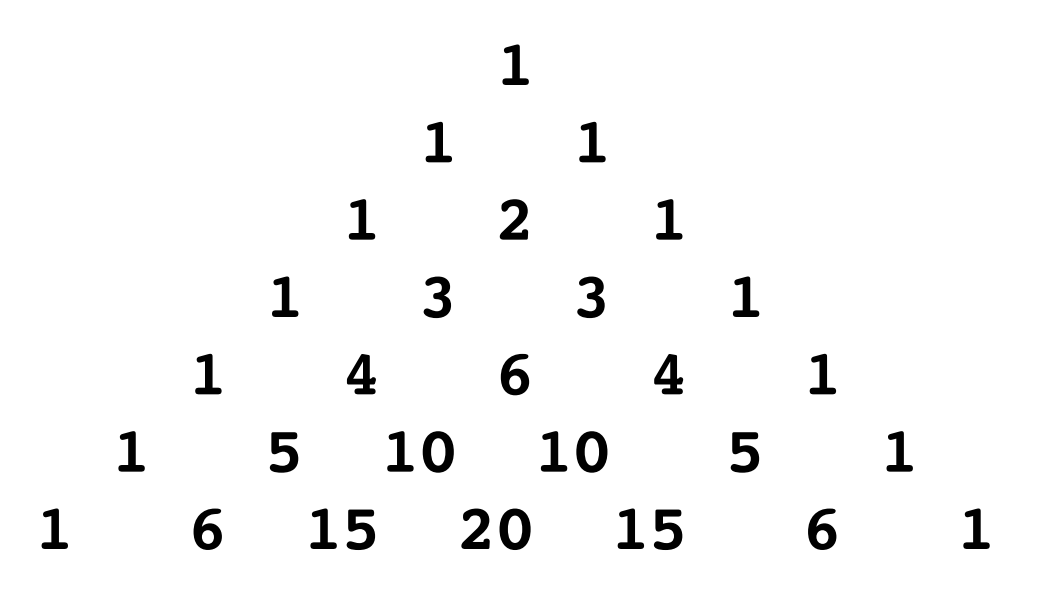
n spins équivalents => n+1 raies

Intensités relatives dans un multiplet dans le cas d'un couplage entre spins équivalents

L'intensité de la $m^{\text{ième}}$ raie dans un multiplet AX_n (m=0,1,2...n) est donnée par le nombre de combinaisons possibles où l'on aura m spin \uparrow alors que les autres (n-m) sont \downarrow , soit :

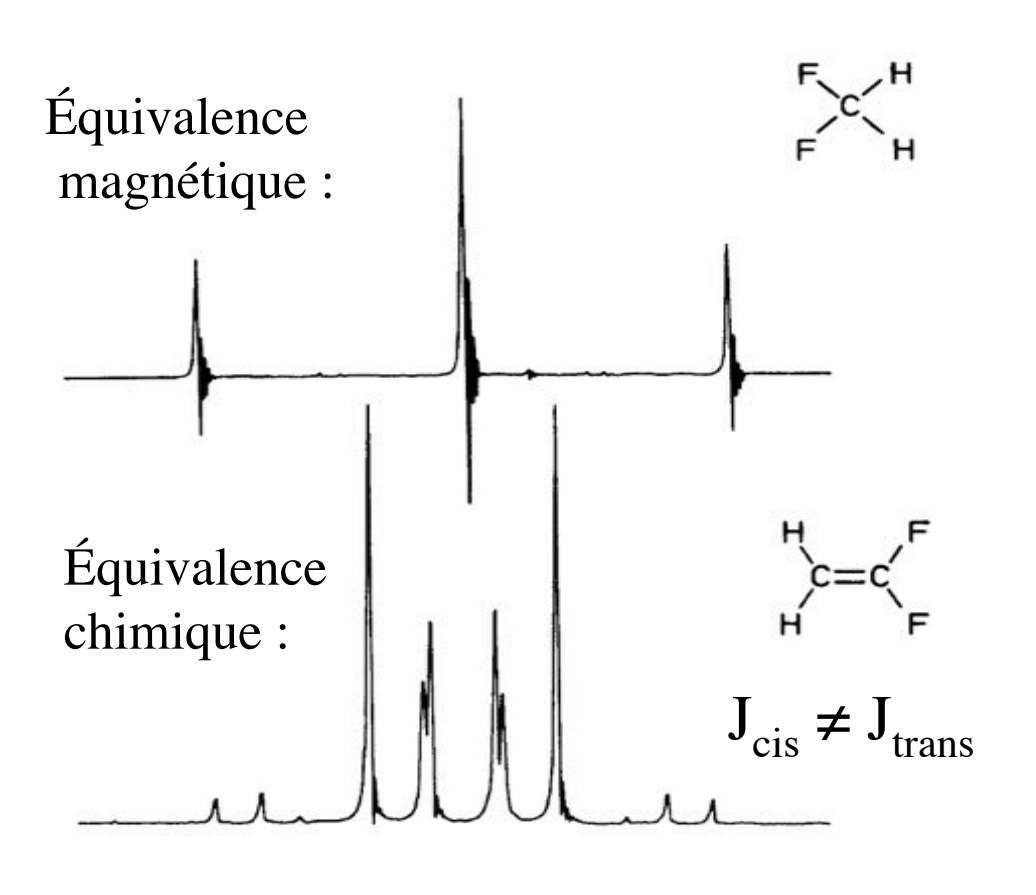
$$C_n^m = \frac{n!}{[m!(n-m)!]}$$

De façon équivalente, les intensités relatives des raies sont données par les coefficients du développement du binôme: $(1+x)^n$, soit par la $(n+1)^{\text{ème}}$ ligne du triangle de Pascal:



Equivalence magnétique / Equivalence chimique

Le couplage spin-spin entre spins magnétiquement équivalents n'apparaît pas sur le spectre RMN.

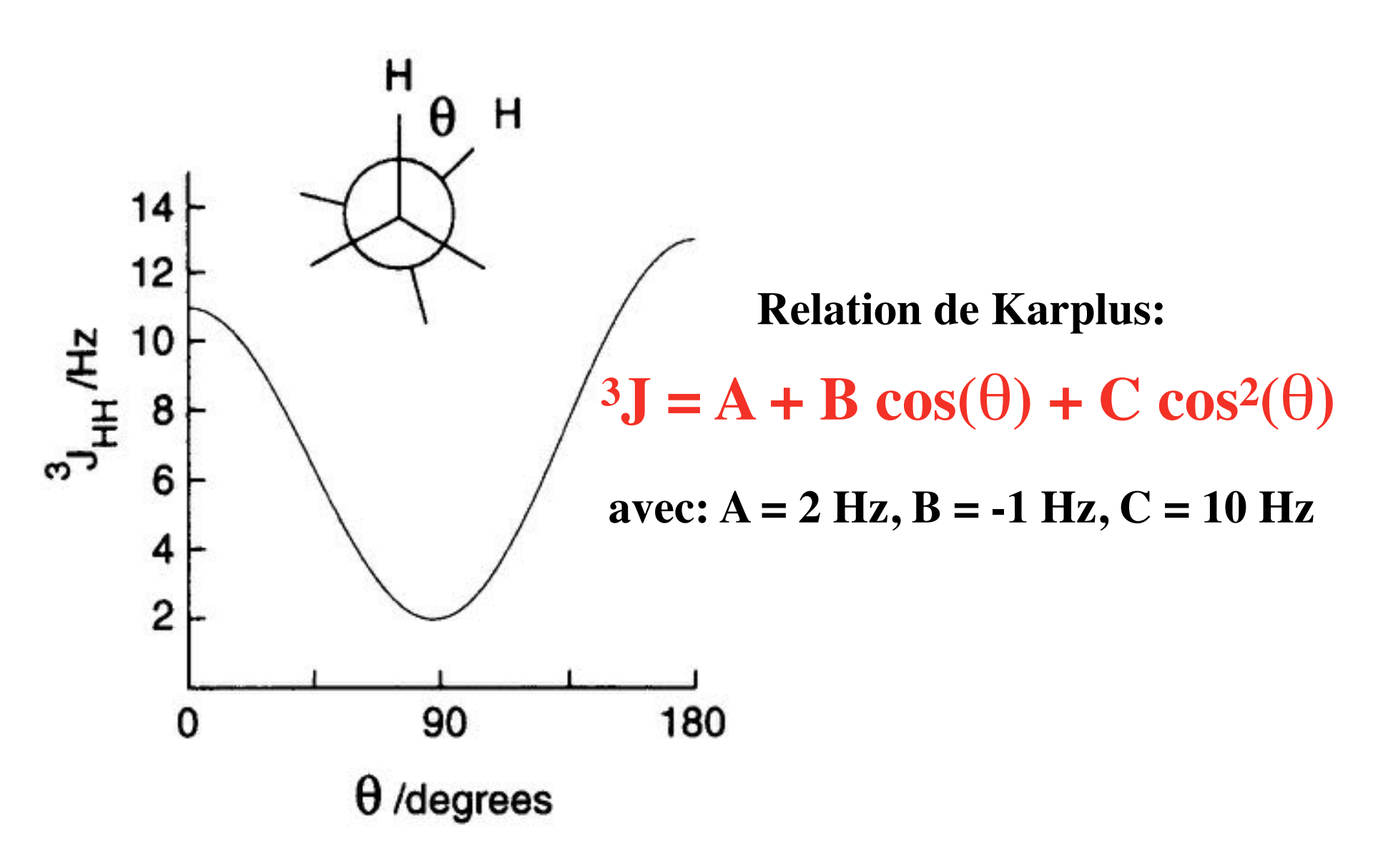


- 2 noyaux sont magnétiquement équivalents si:
- ils ont la même fréquence de résonance (noyaux isochrones);
- ils ont **une seule** constante de couplage caractéristique avec les noyaux portés par un groupement voisin.

Classification des couplages spin-spin homonucléaires :

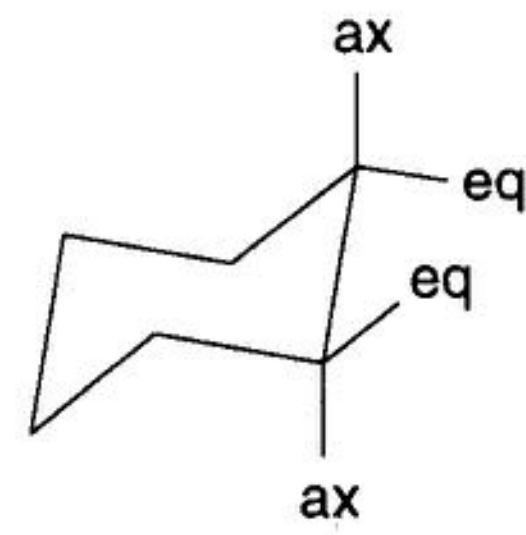
Type of coupling	Classification	n	Symbol
H, C H, C=	Geminal	2	2,
H _C -C_H,	Vicinal	3	3,
H_C=C_H.	.Vicinal	3	$^3J_{cis}$
H. C=C'	Vicinal	3	3 J _{trans}
Long-range cou	pling:		
H-C-C=C-H.	Allylic	4	4)
H-C-C=C-C-H,	Homoallylic	5	ر. ارځ

Couplages ¹H-¹H à 3 liaisons (³J, vicinaux):



Quelques cas particuliers...

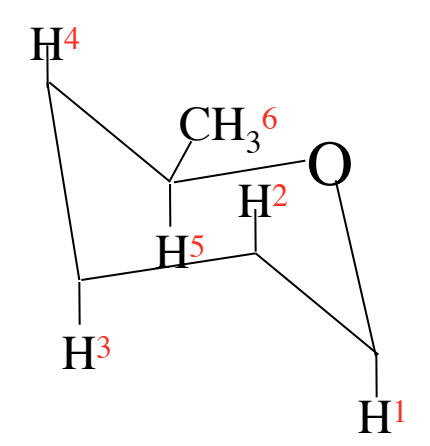
- cycles de type cyclohexane :



		θ
ax-ax	11.8	180°
ax-eq	3.9	60°
eq-eq	3.9	60°

- sucres:

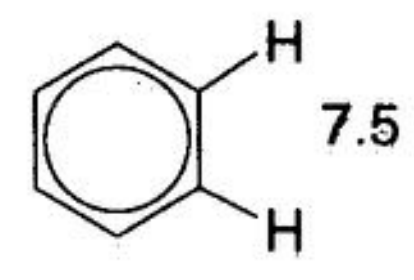
- cycles aromatiques:



$$^{3}J_{ee} = 2 Hz$$

$$^{3}J_{ae} = 4 Hz$$

$$^{3}J_{aa} = 8 Hz$$



Couplages ¹H-¹H à longue distance (⁴J, ⁵J...):

Favorisés par :

-la présence de liaisons π ;

$$egin{array}{c} H \ H-C\!\equiv\!C\!-C\!\equiv\!C\!-\!rac{C-H}{C-H} \ H \ H \end{array}$$

H

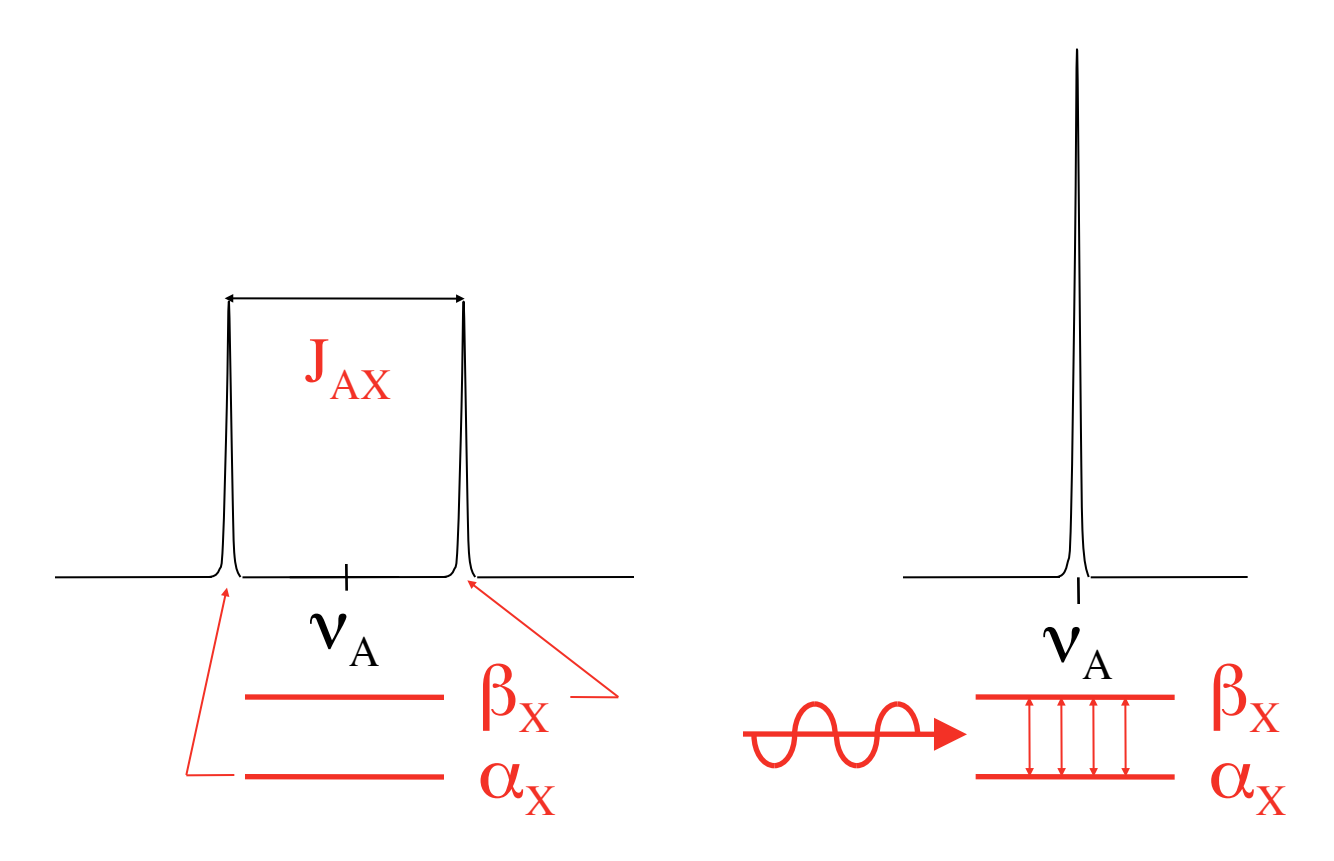
ortho: 7 - 10 Hz

méta: 2 - 3 Hz

para: 0.1 - 1 Hz

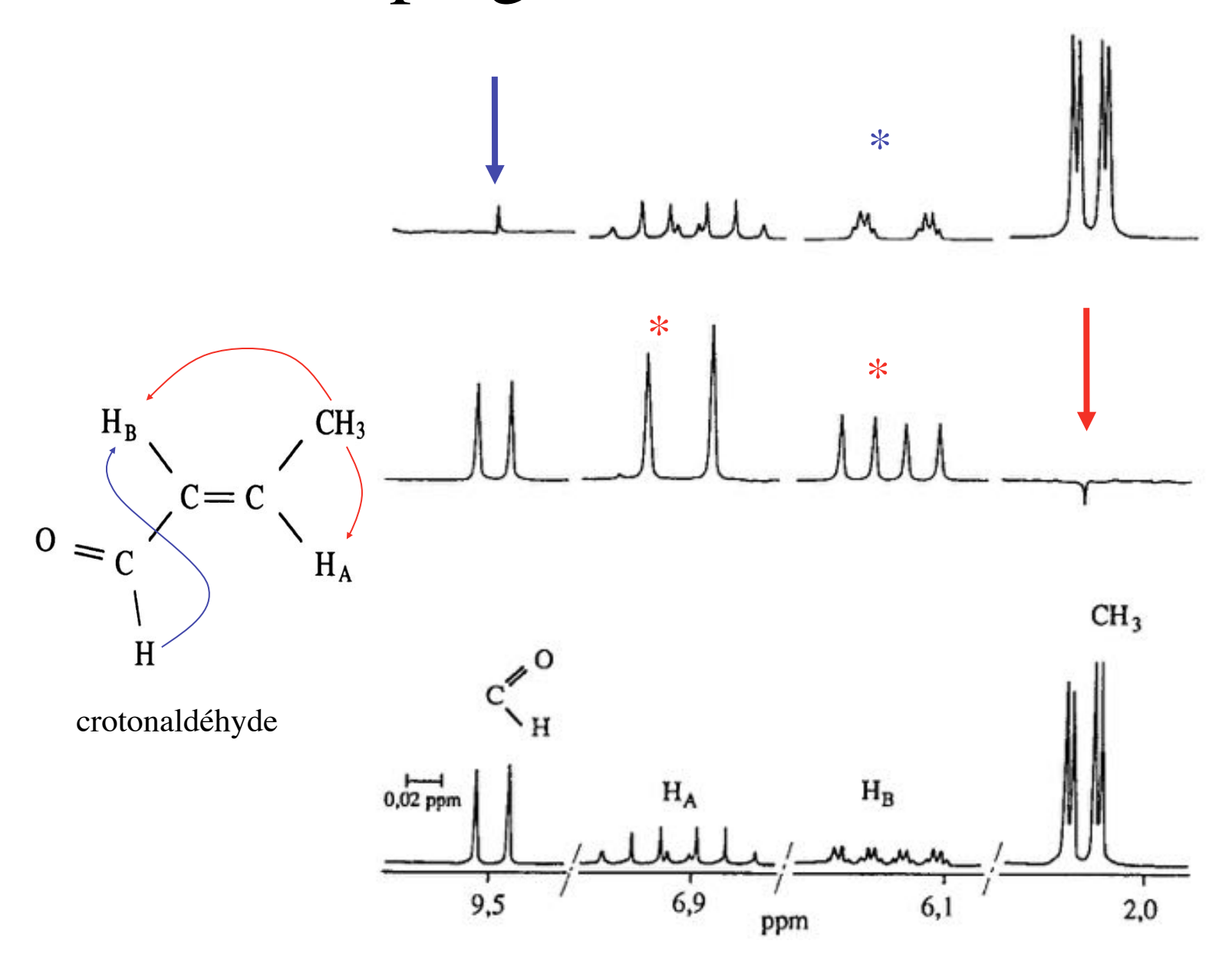
-Une conformation « W » ou « zig-zag ».;

Découplage homonucléaire

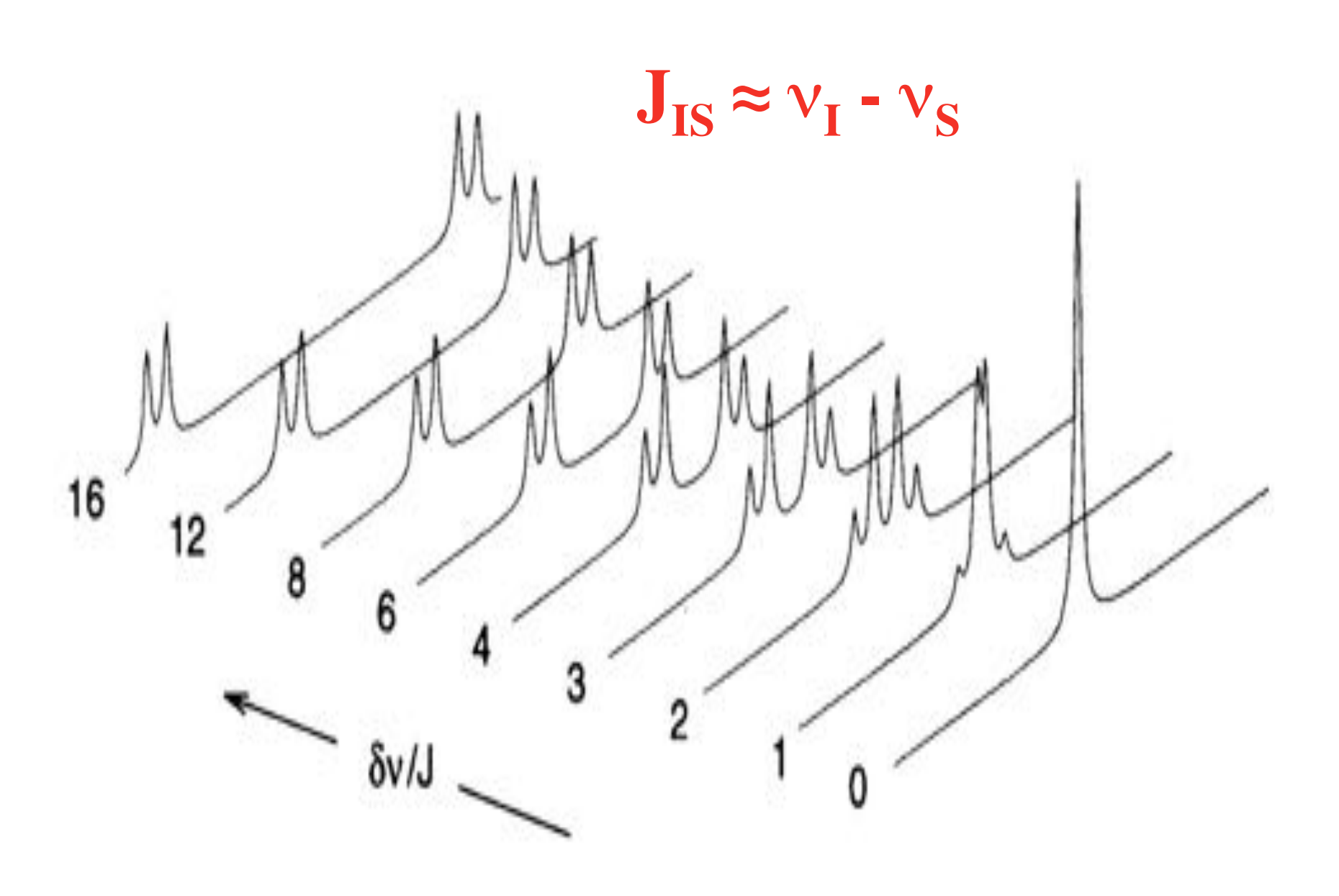


Le doublet centré sur la fréquence de A provient des 2 états distincts du spin X. Le doublet coalesce en un singulet si ces deux états perdent leur identité du fait de l'irradiation permanente des transitions de X (égalisation des populations α_X et β_X .

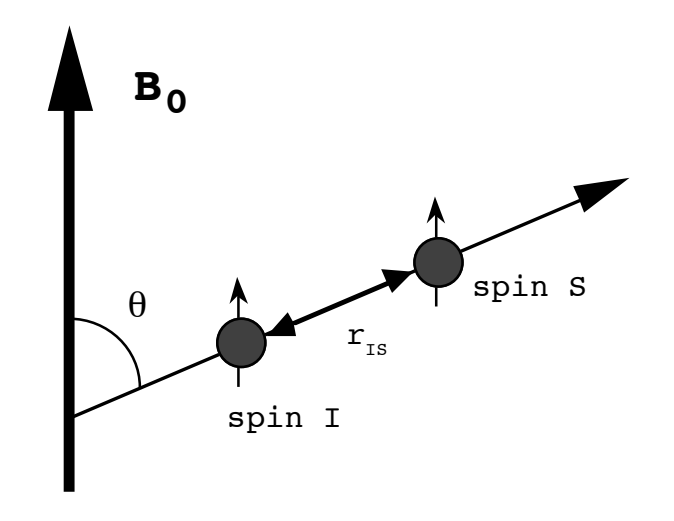
Découplage homonucléaire



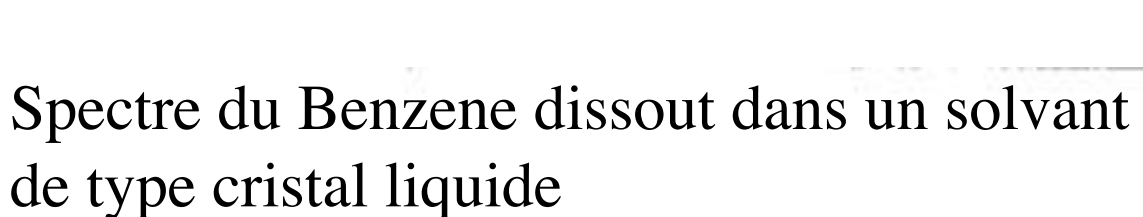
Systèmes Fortement Couplés : exemple du système AB

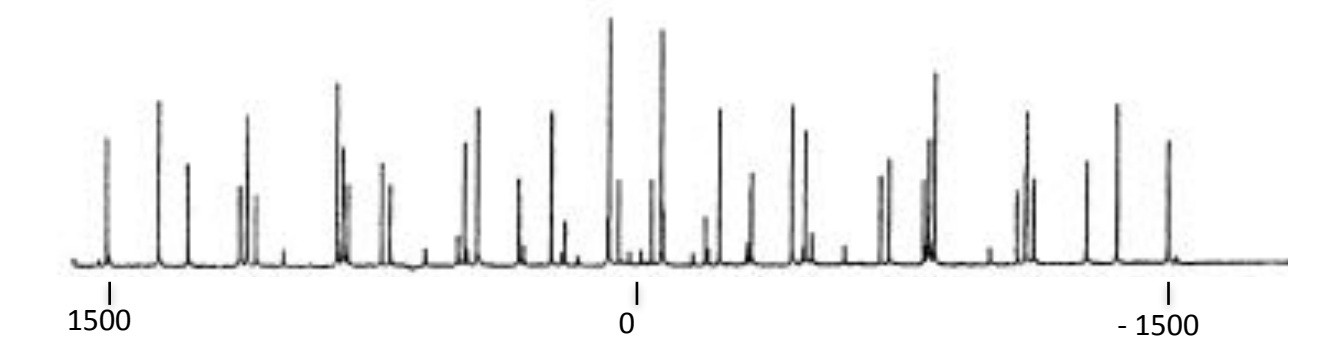


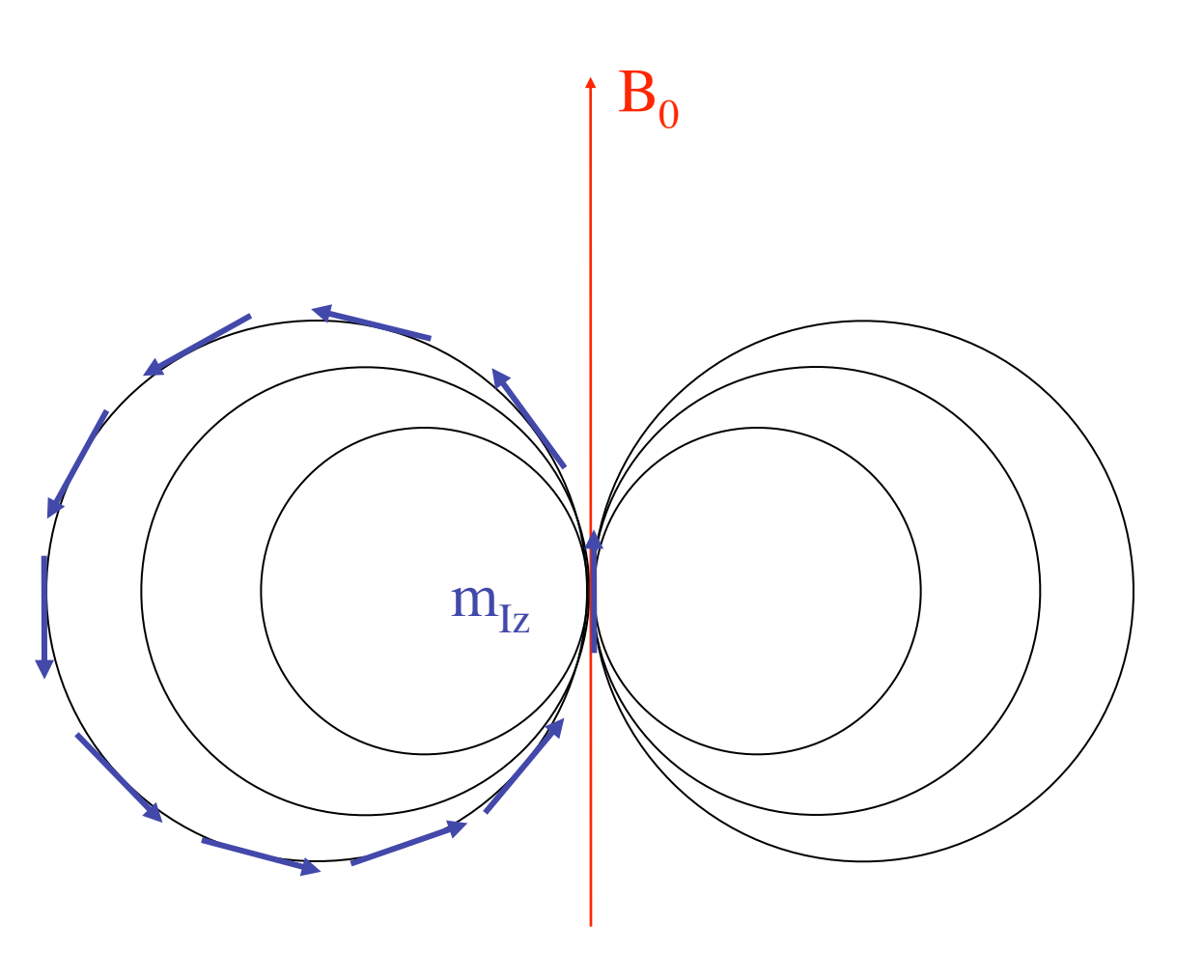
COUPLAGE DIPOLAIRE ou Couplage Direct

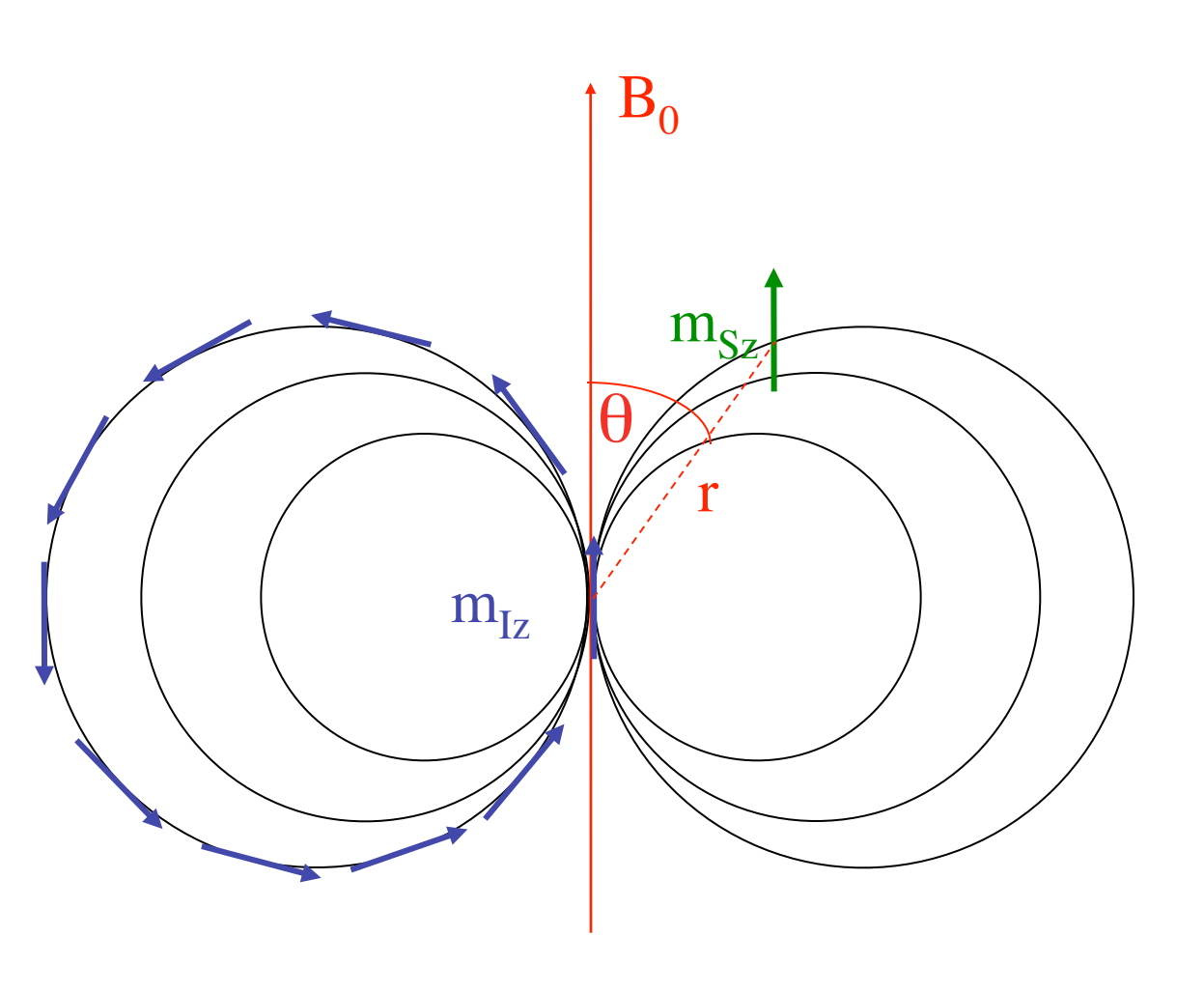


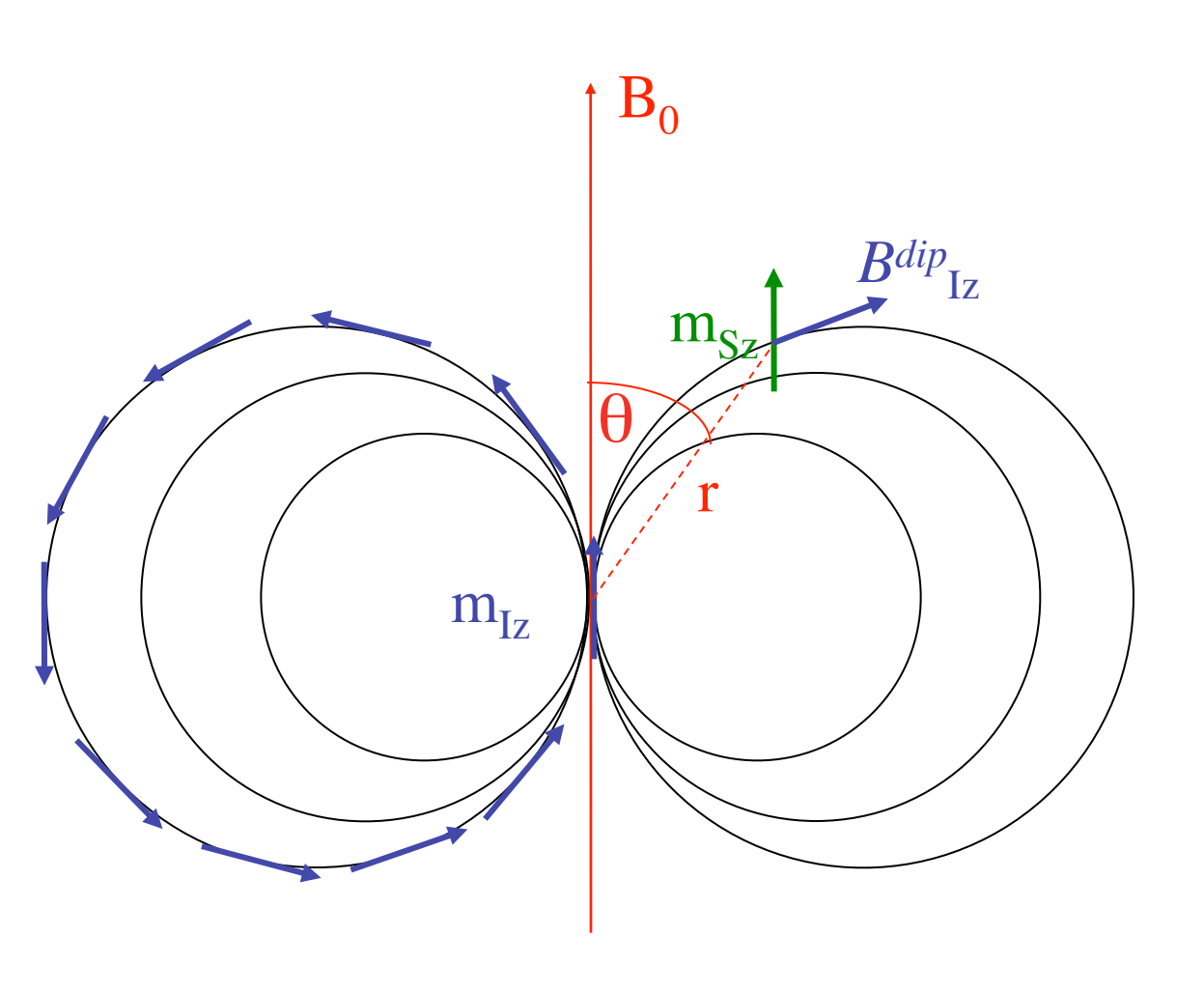
Spectre du Benzene en solvant organique

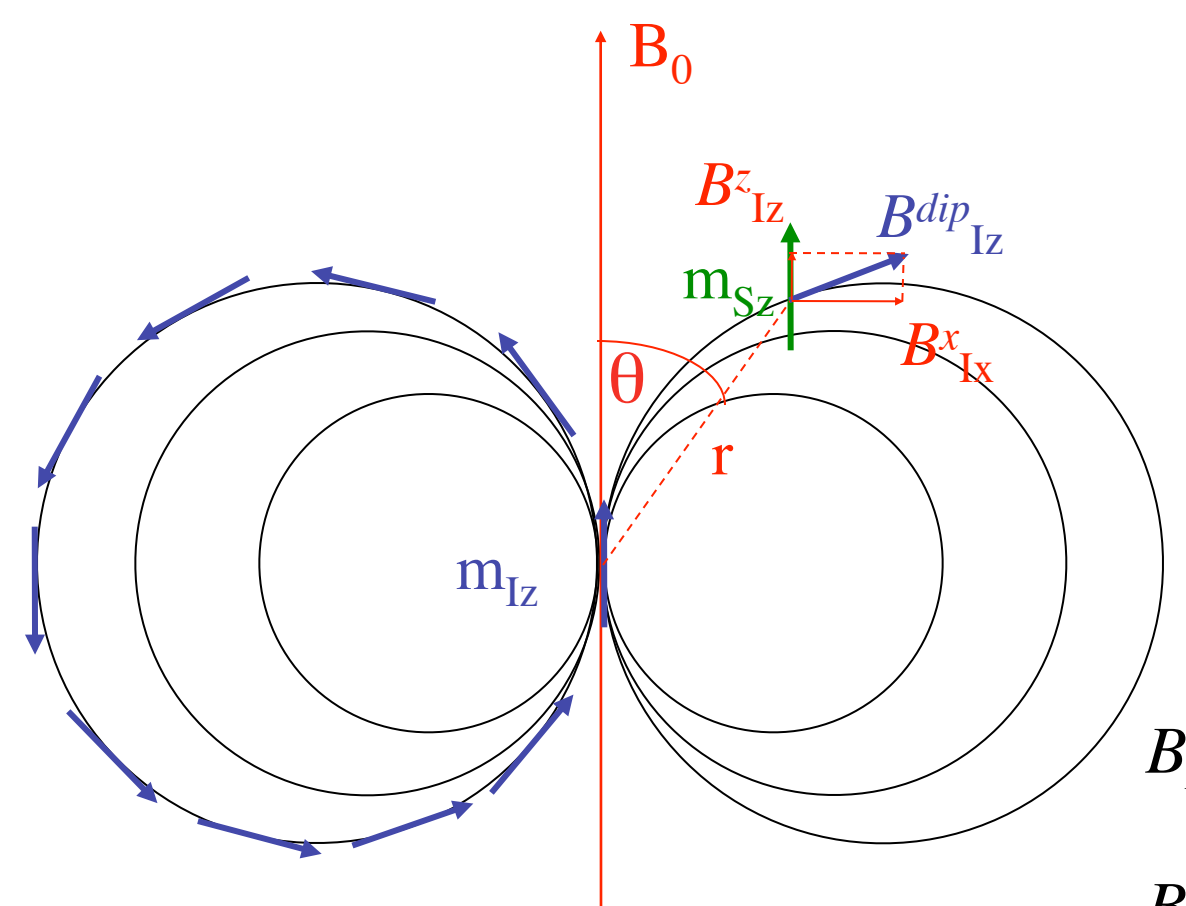












Le couplage dipolaire est indépendant du champ B₀!

$$B_{I_z}^x = \left(\frac{\mu_0}{4\pi}\right) \left(\frac{\mu}{r^3}\right) (3\sin\theta\cos\theta)$$

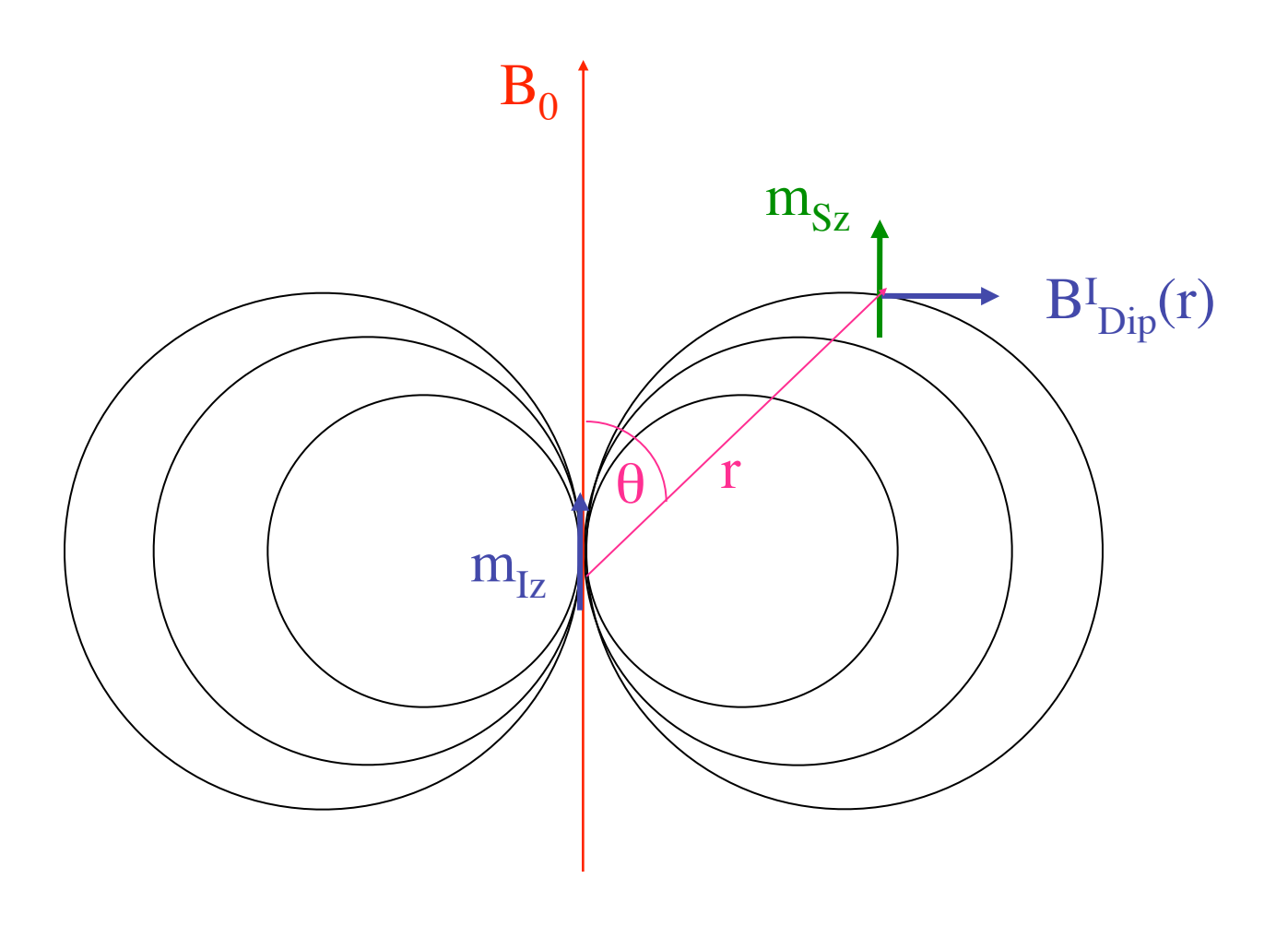
$$B_{I_z}^y = 0$$

$$B_{I_z}^z = \left(\frac{\mu_0}{4\pi}\right) \left(\frac{\mu}{r^3}\right) \left(3\cos^2\theta - 1\right)$$

 μ_0 = perméabilité du vide; μ = amplitude du moment magnétique.

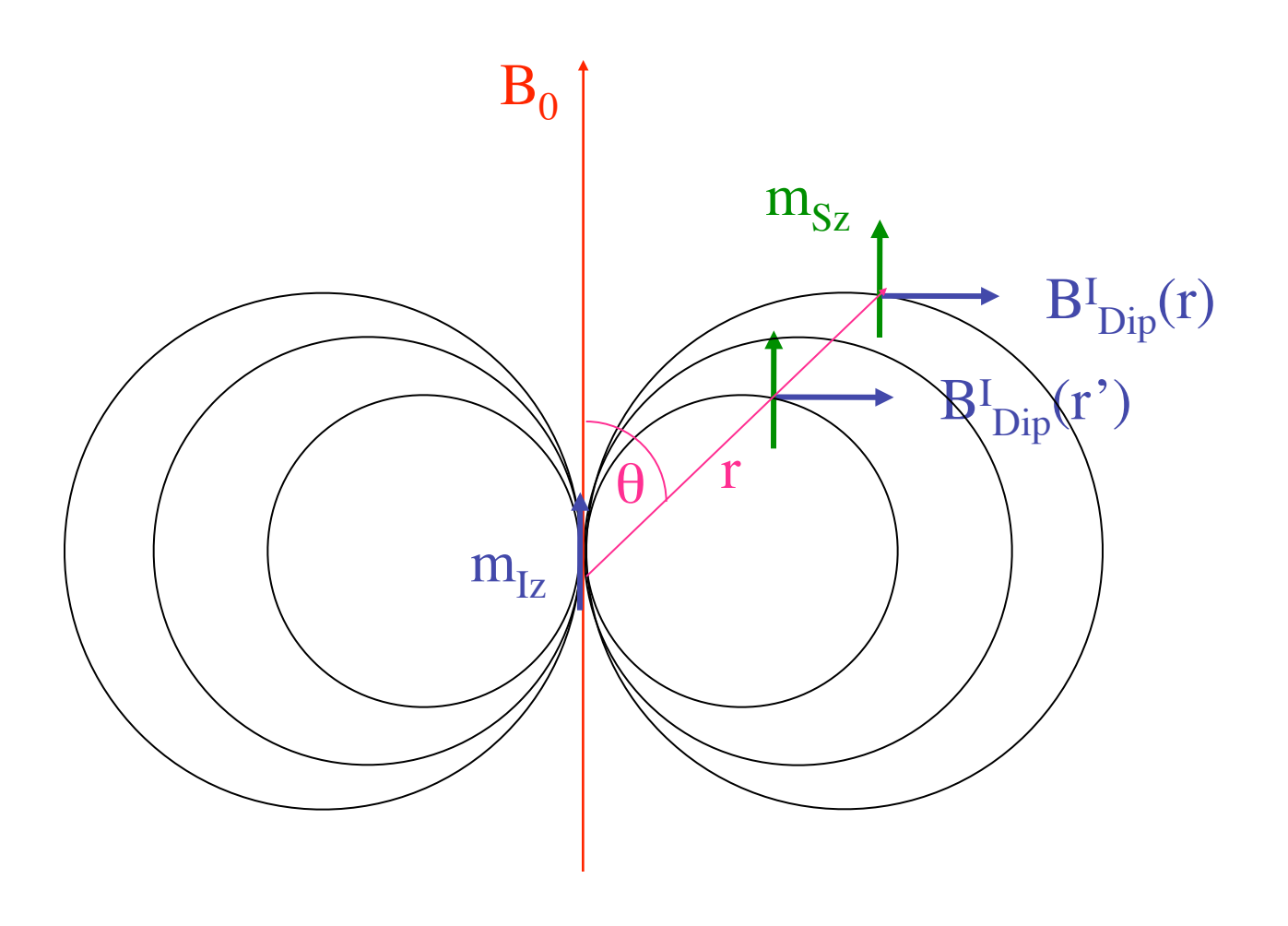
Energie de l'Interaction Dipolaire entre les spins I et S : l'angle magique.

$$E_D = -\vec{m}_{Sz}.\vec{B}_{I_{Dip}}(r)$$



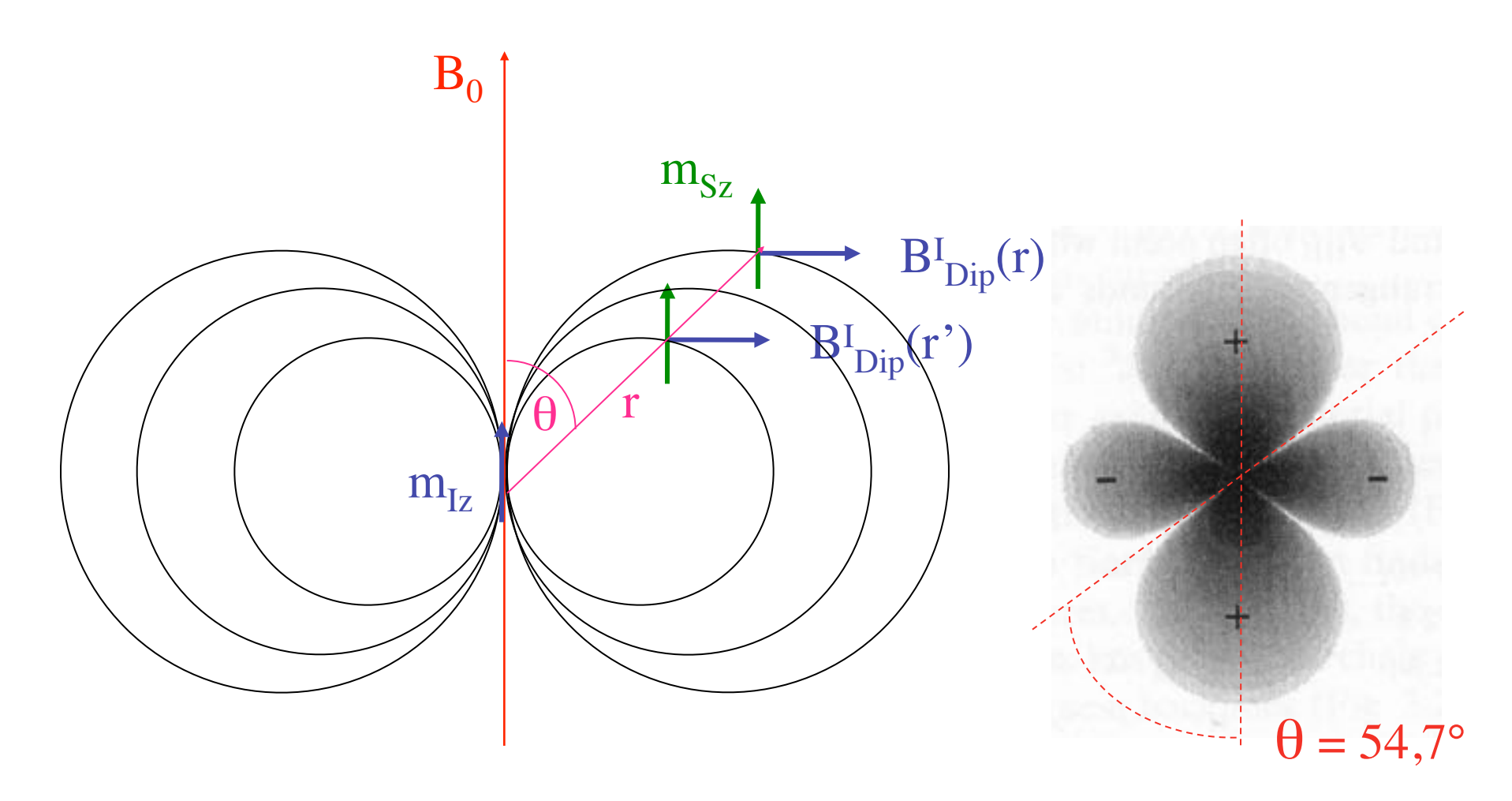
Energie de l'Interaction Dipolaire entre les spins I et S : l'angle magique.

$$E_D = -\vec{m}_{Sz}.\vec{B}_{I_{Dip}}(r)$$

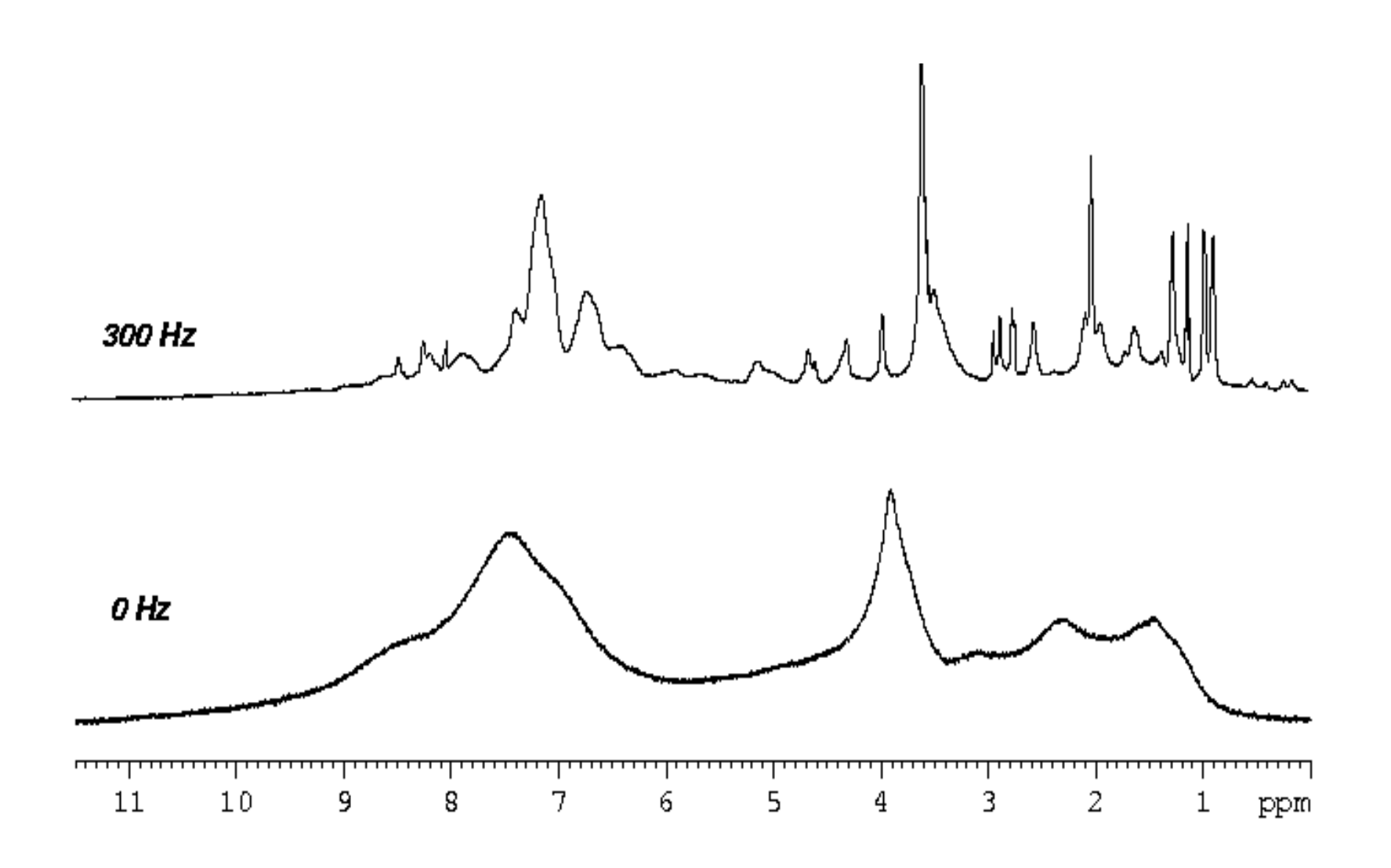


Energie de l'Interaction Dipolaire entre les spins I et S : l'angle magique.

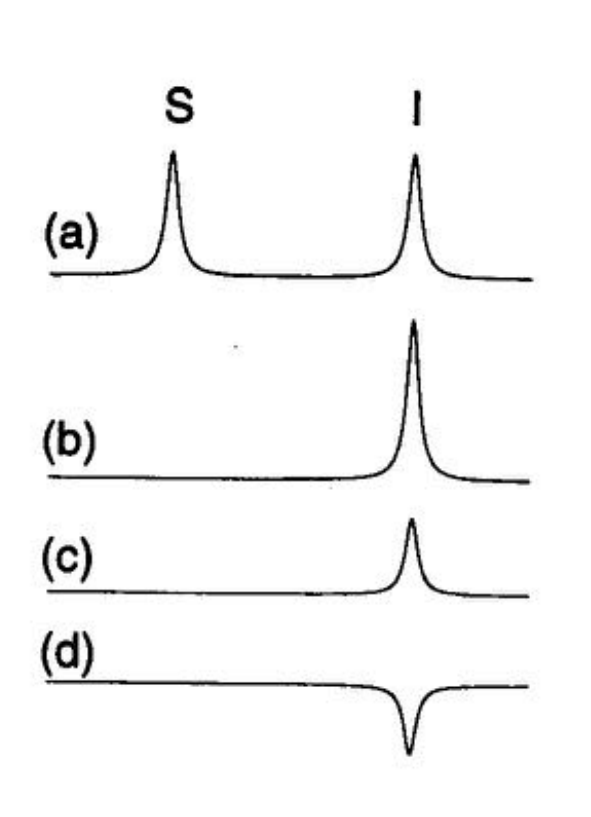
$$E_D = -\vec{m}_{Sz}.\vec{B}_{I_{Dip}}(r)$$



Ala-Ile-Gly-Met-Wang resin



I et S sont proches dans l'espace (couplage dipolaire).



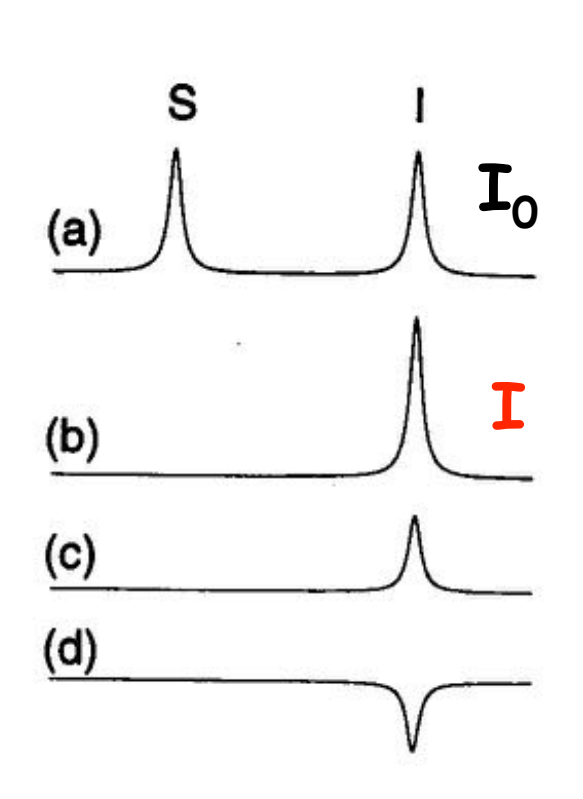
L'irradiation d'un spin 1/2 S va entraîner :

- (b) une augmentation de l'intensité,
- (c) une diminution de l'intensité,
- (d) un changement de signe du pic de résonance d'un spin proche, avec lequel il est en interaction dipolaire.

Cet effet porte le nom d'effet nucléaire Overhauser

(nOe = nuclear Overhauser enhancement)

I et S sont proches dans l'espace (couplage dipolaire).

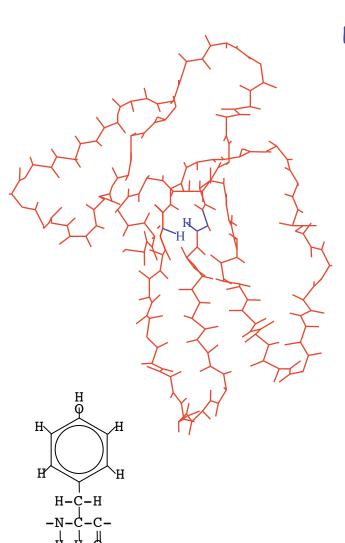


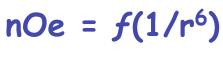
L'irradiation d'un spin 1/2 S va entraîner :

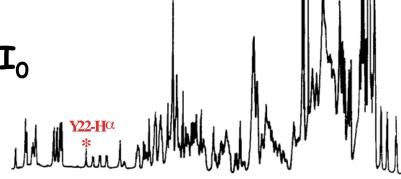
- (b) une augmentation de l'intensité,
- (c) une diminution de l'intensité,
- (d) un changement de signe du pic de résonance d'un spin proche, avec lequel il est en interaction dipolaire.

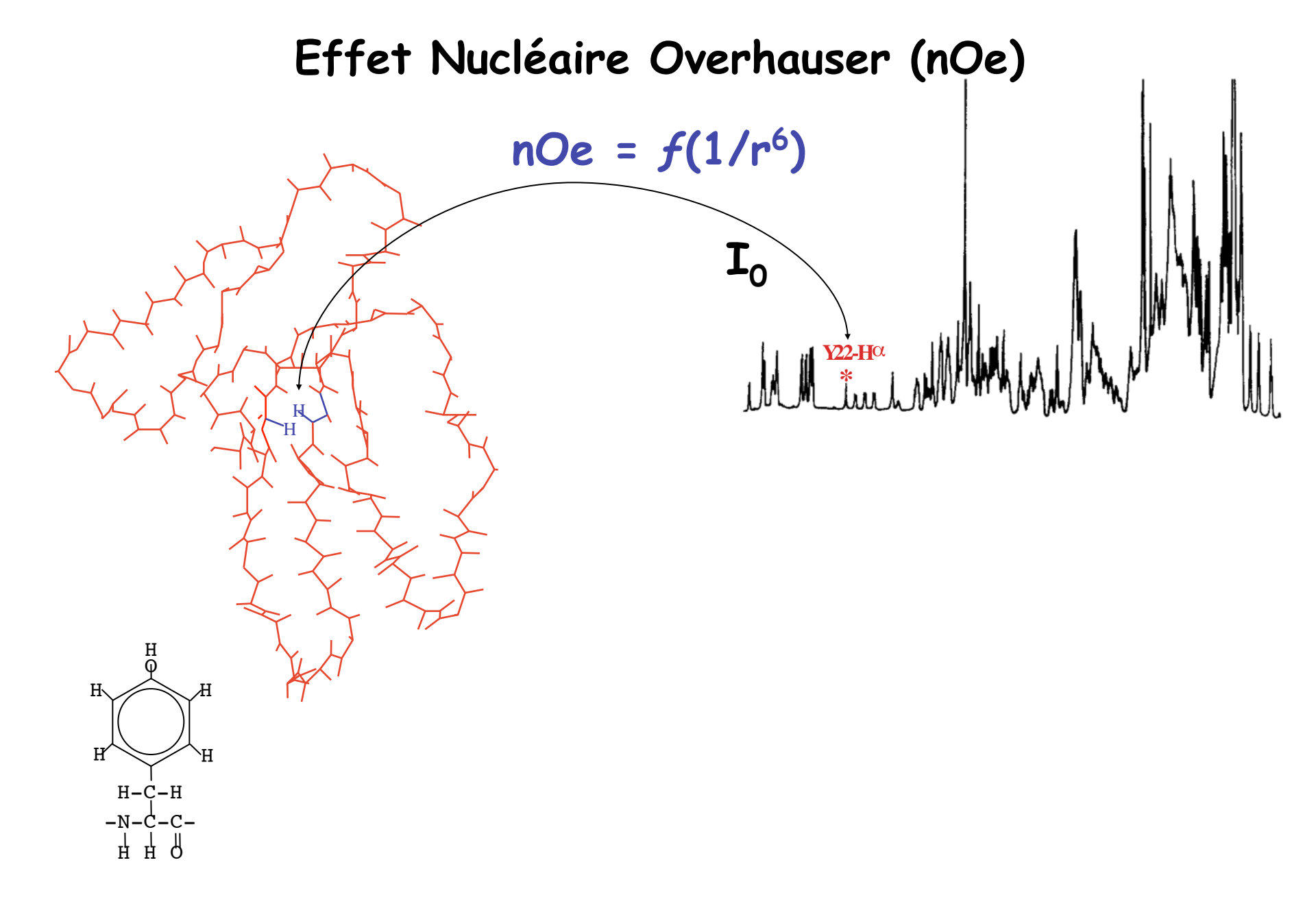
Cet effet porte le nom d'effet nucléaire Overhauser

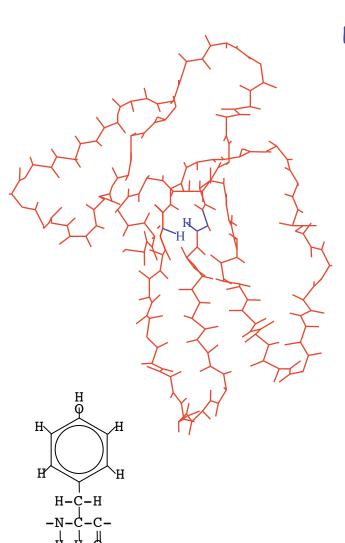
(nOe = nuclear Overhauser enhancement)

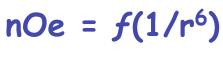


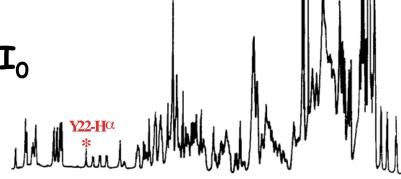


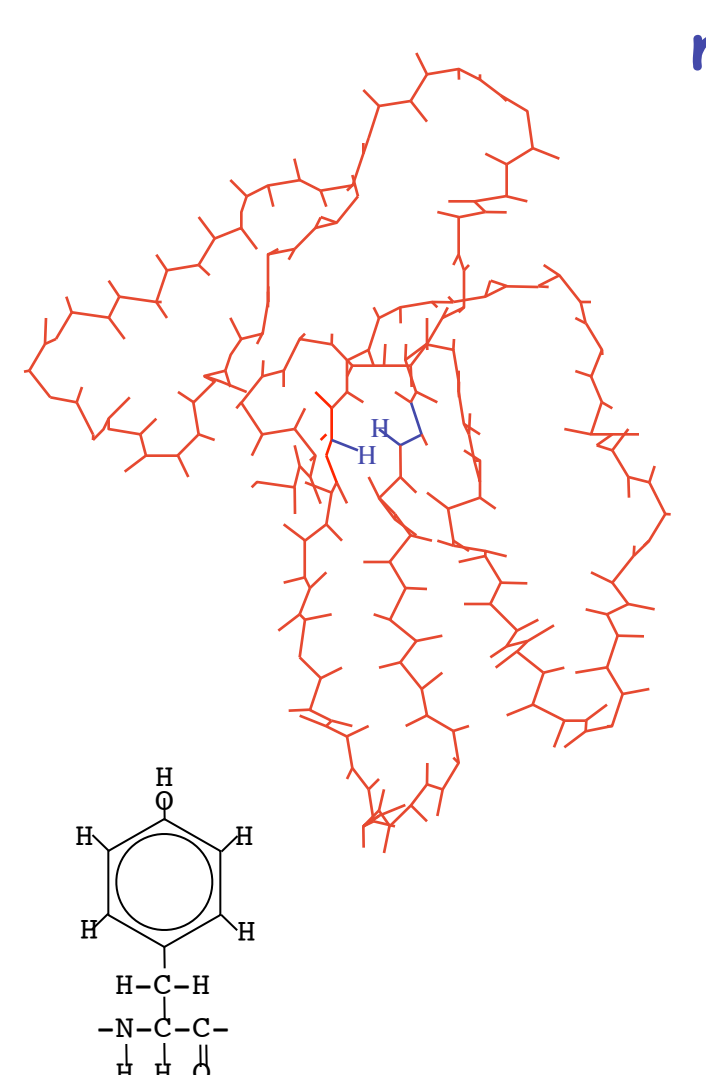




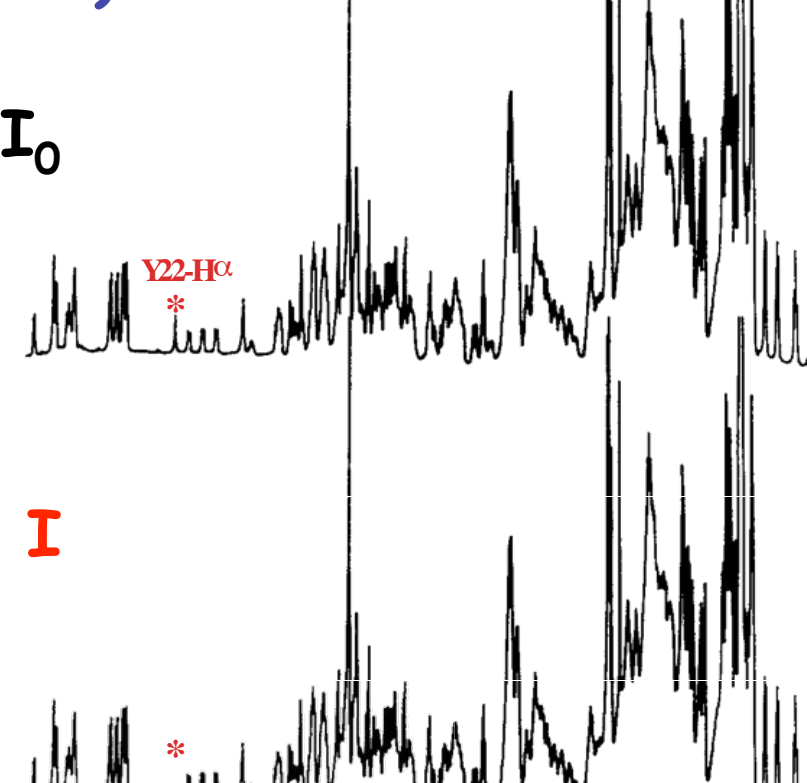


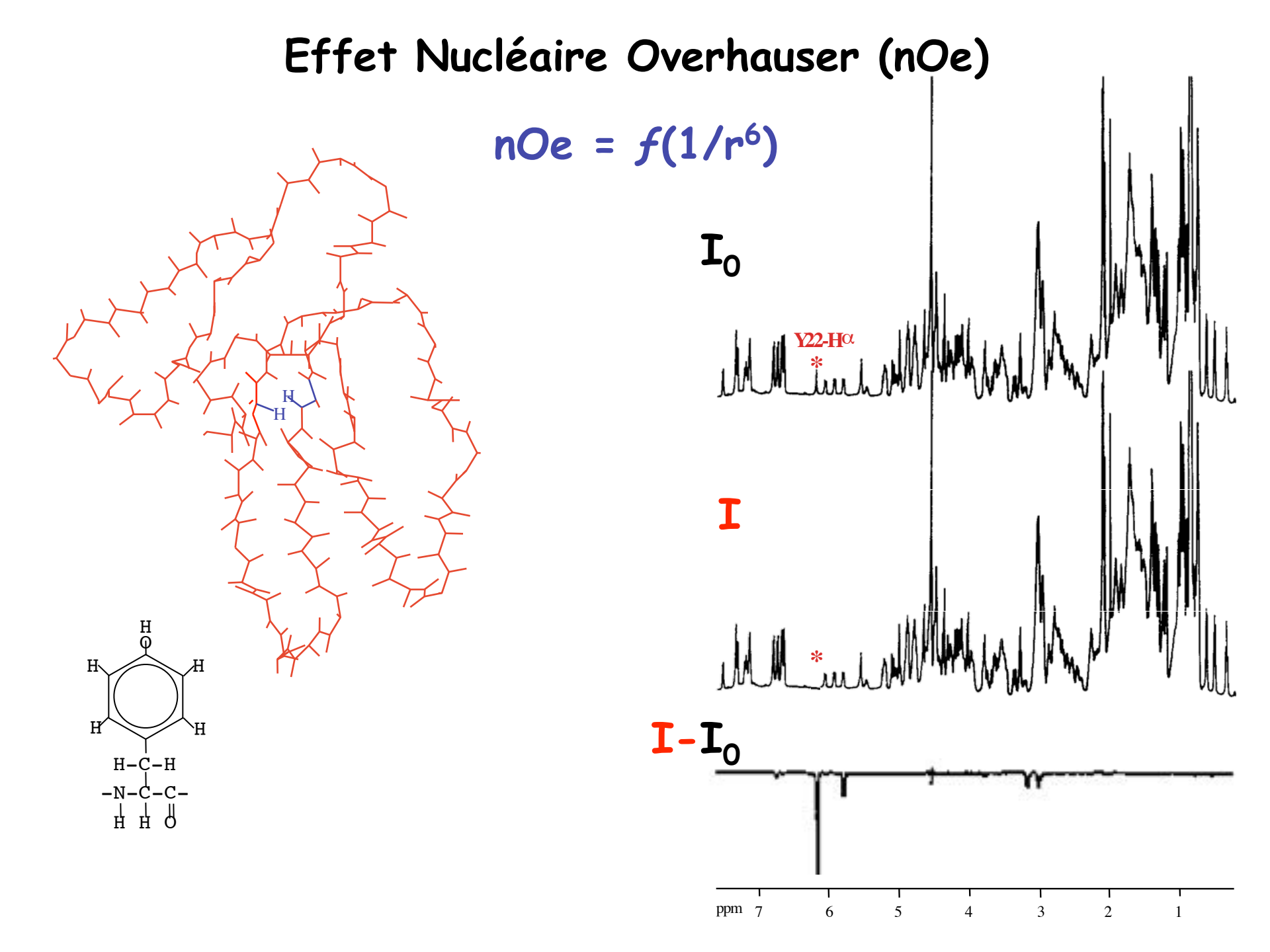


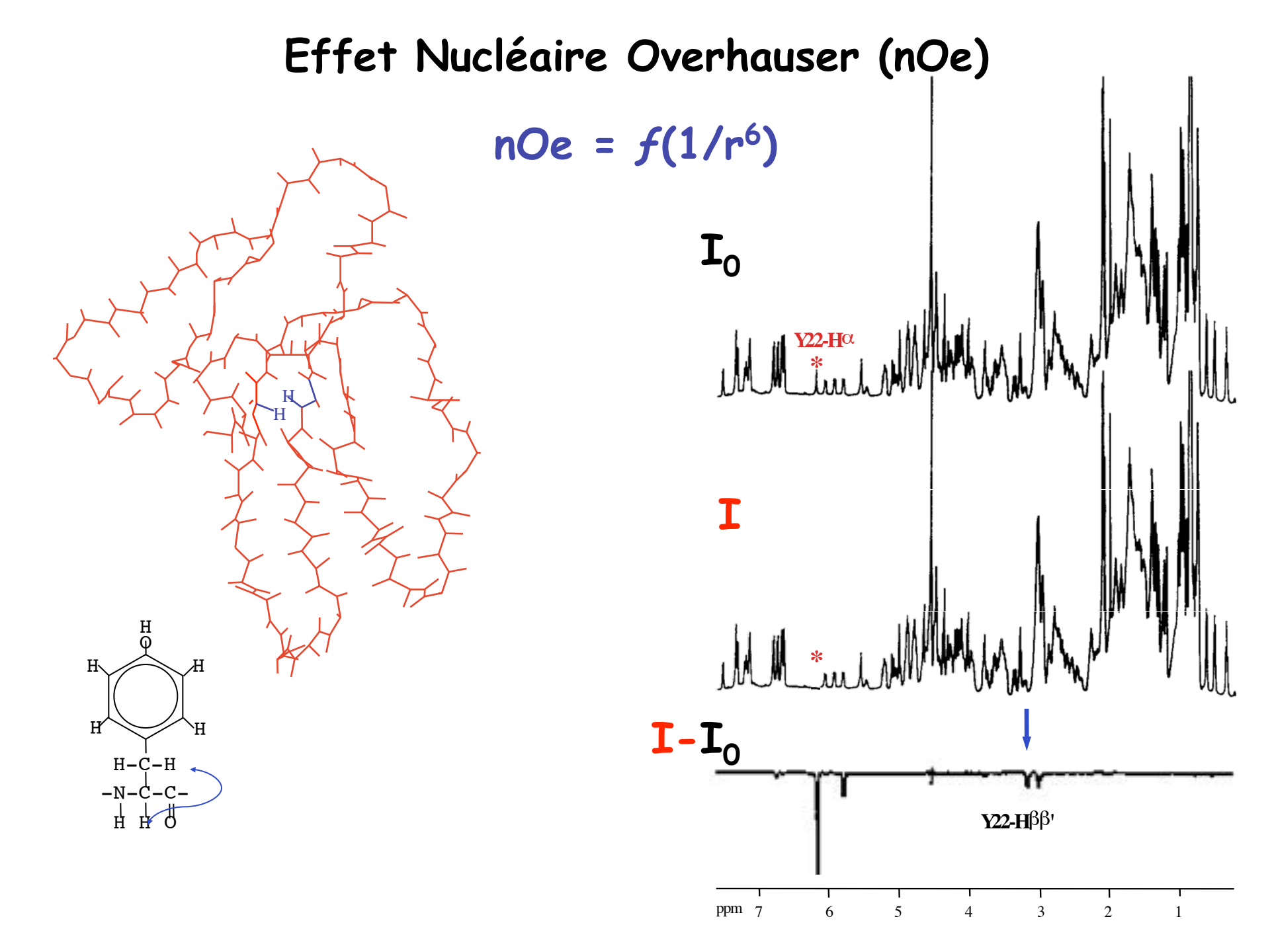


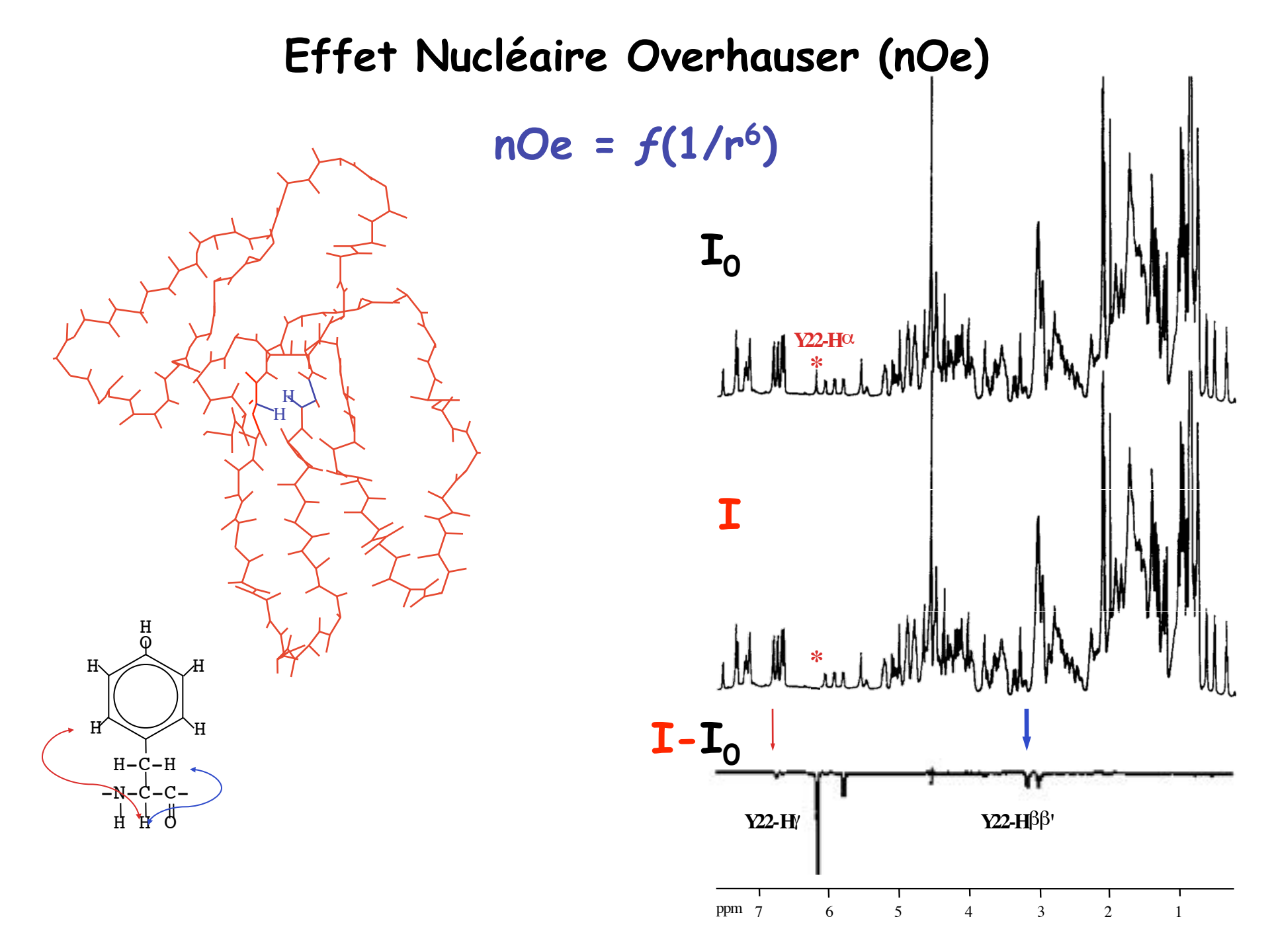


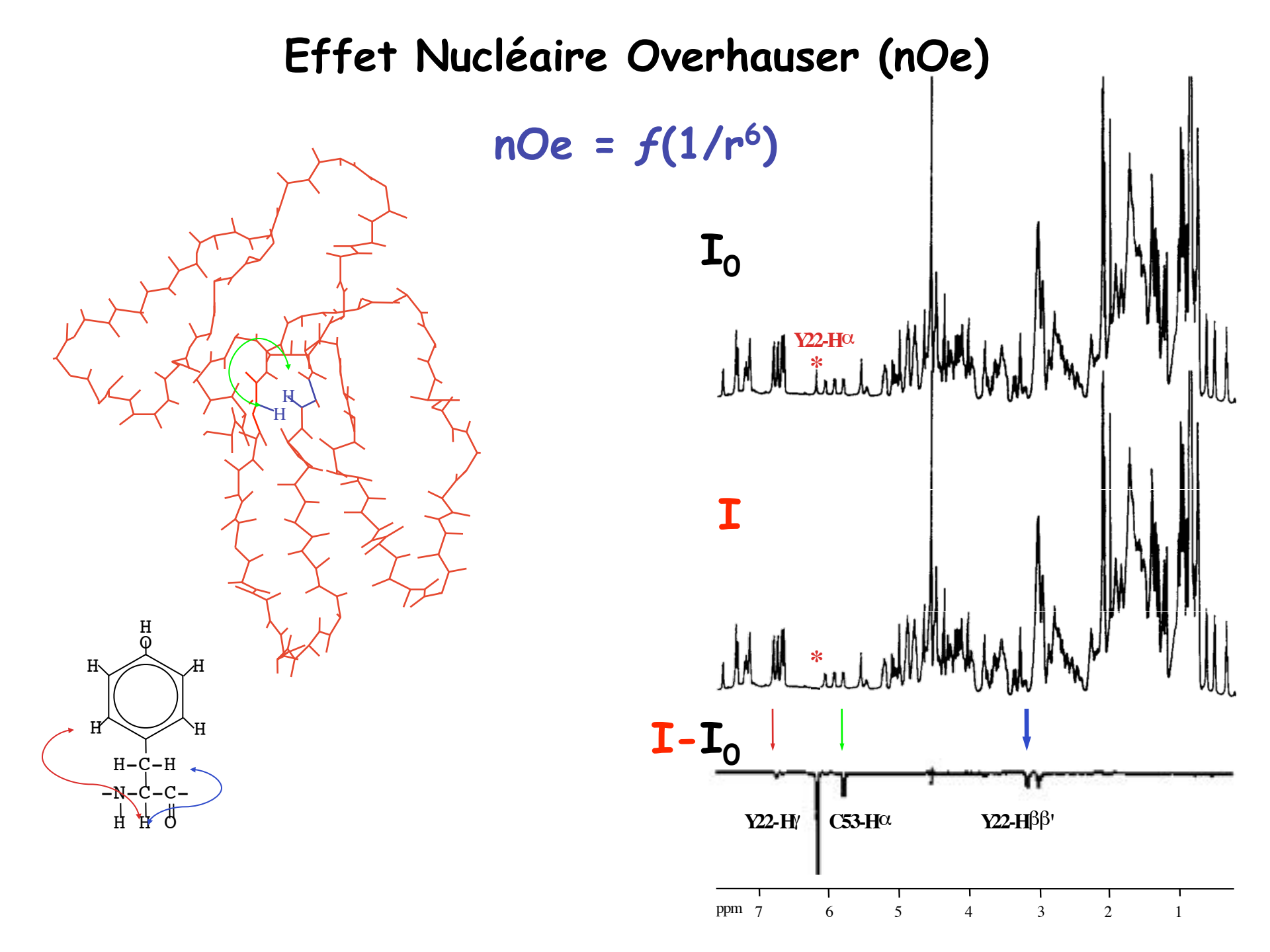


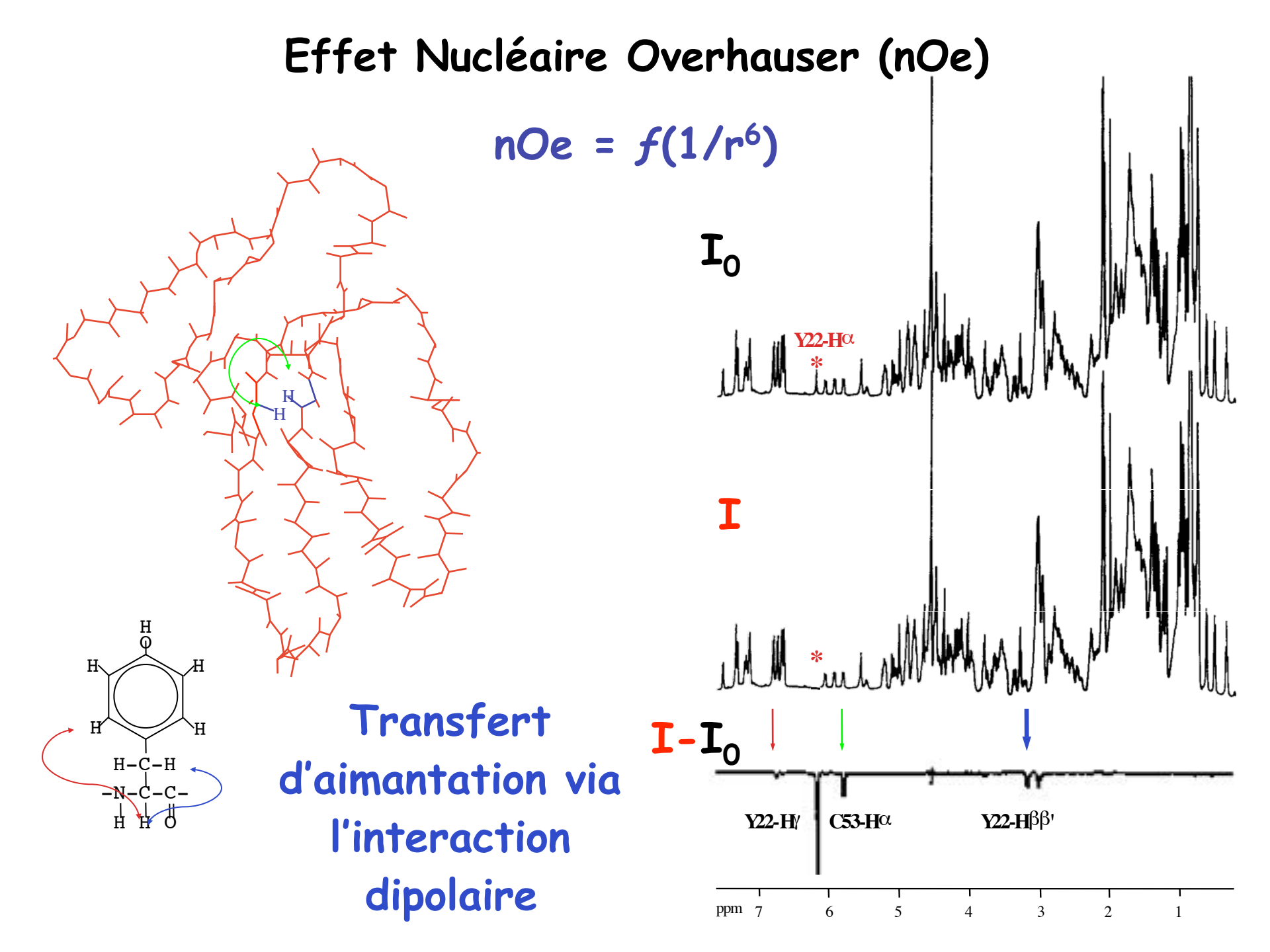












Relaxation Croisée et nuclear Overhauser effect (nOe)

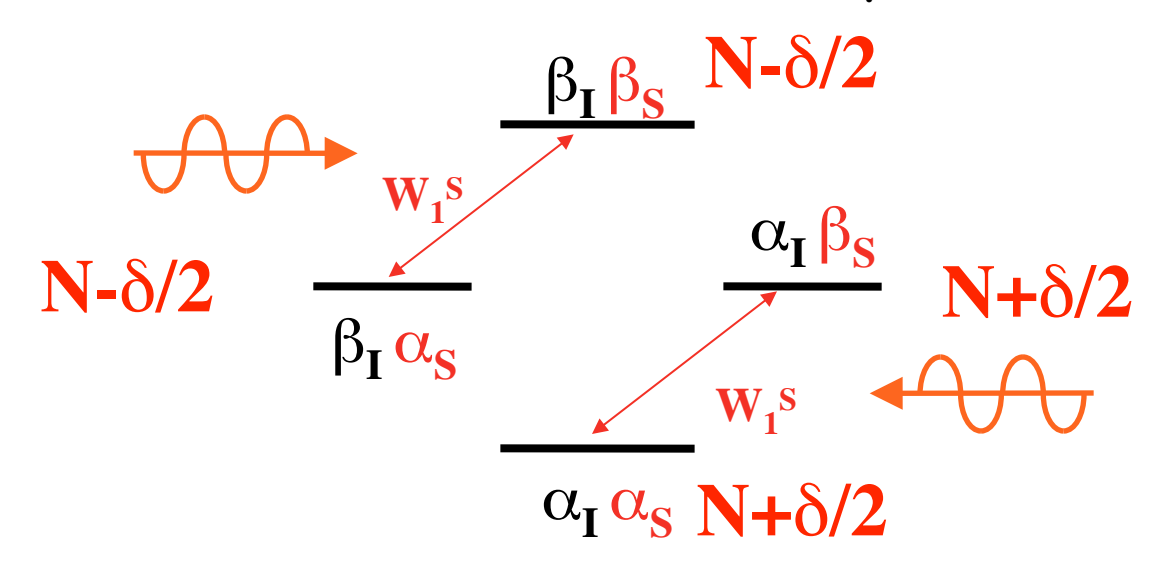
$$\begin{array}{c|c} & \underline{\beta_{I}\,\beta_{S}} & N\text{-}\delta \\ \\ N & \overline{\beta_{I}\,\alpha_{S}} & \underline{\alpha_{I}\,\beta_{S}} & N \\ \hline & \alpha_{I}\,\alpha_{S} & N\text{+}\delta \end{array}$$

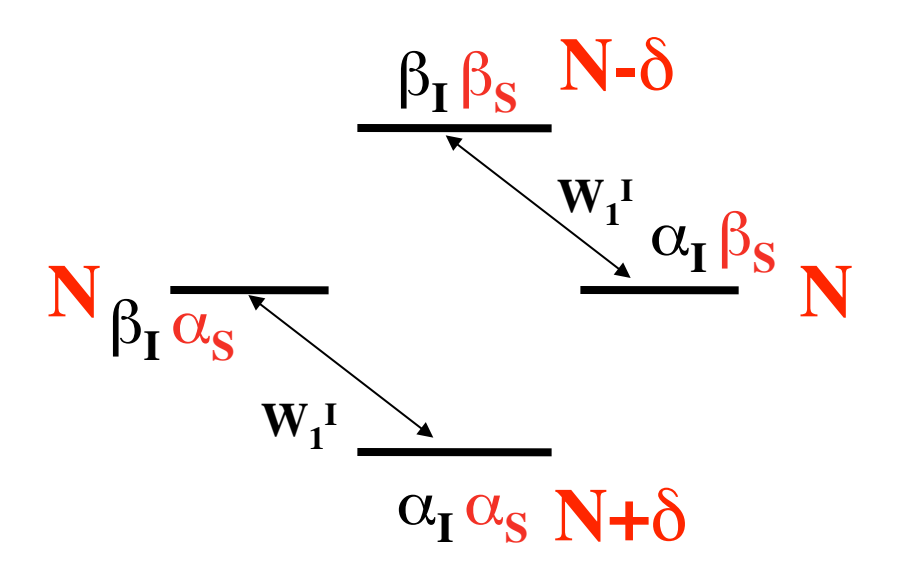
- Apparait entre 2 dipôles magnétiques (spins) proches dans l'espace (interaction dipolaire)
- La perturbation de l'équilibre thermodynamique par saturation (égalisation) des populations du spin S entraîne une nouvelle distribution des populations de spins hors équilibre.

Relaxation Croisée et nuclear Overhauser effect (nOe)

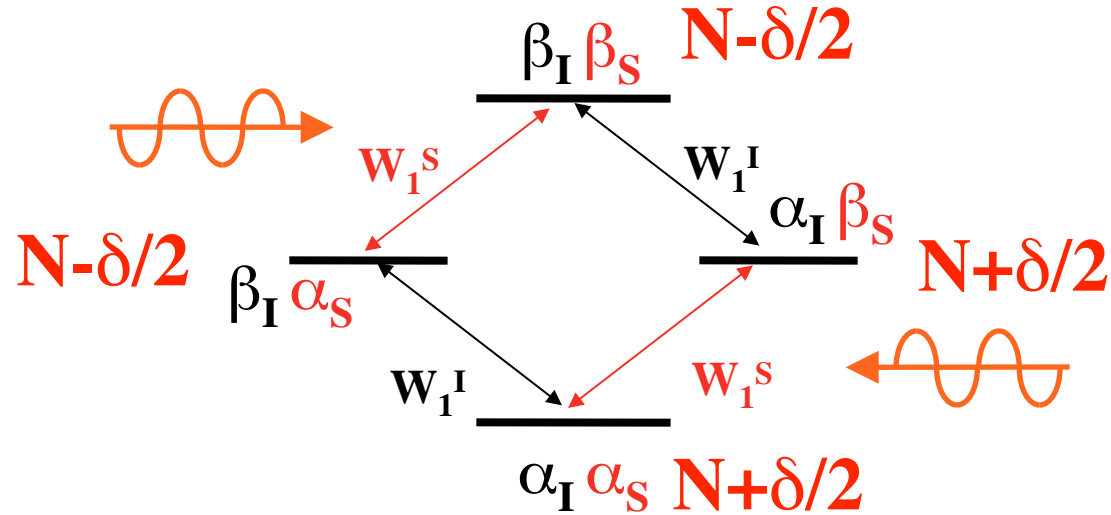
$$\begin{array}{c|c} & \beta_{I} \beta_{S} & N-\delta \\ \\ N & \overline{\beta_{I} \alpha_{S}} & \overline{\alpha_{I} \beta_{S}} & N \\ \hline & \alpha_{I} \alpha_{S} & N+\delta \end{array}$$

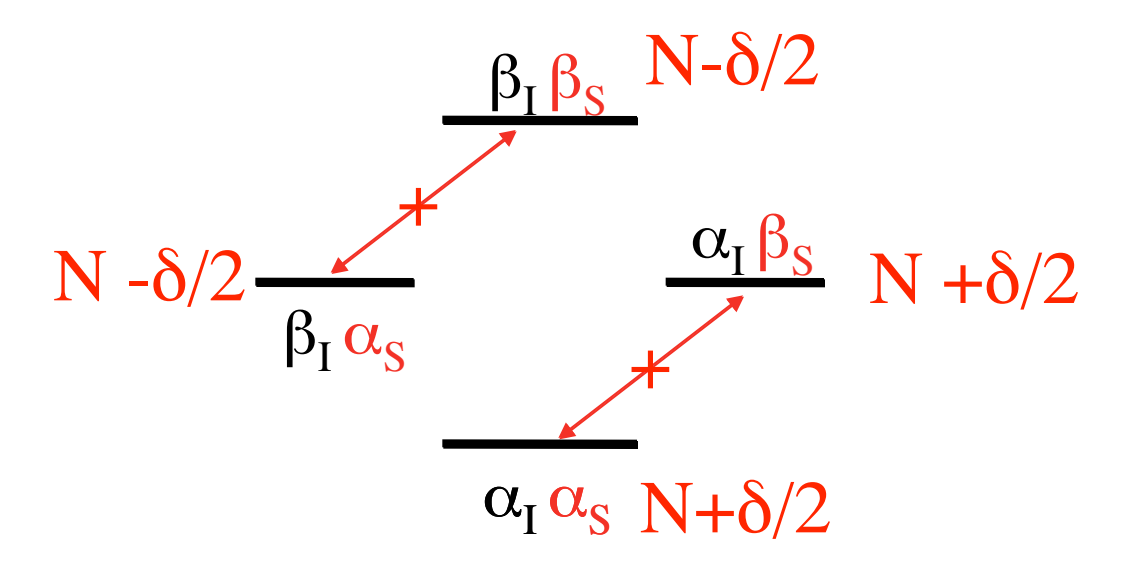
Saturation des transitions du spin S





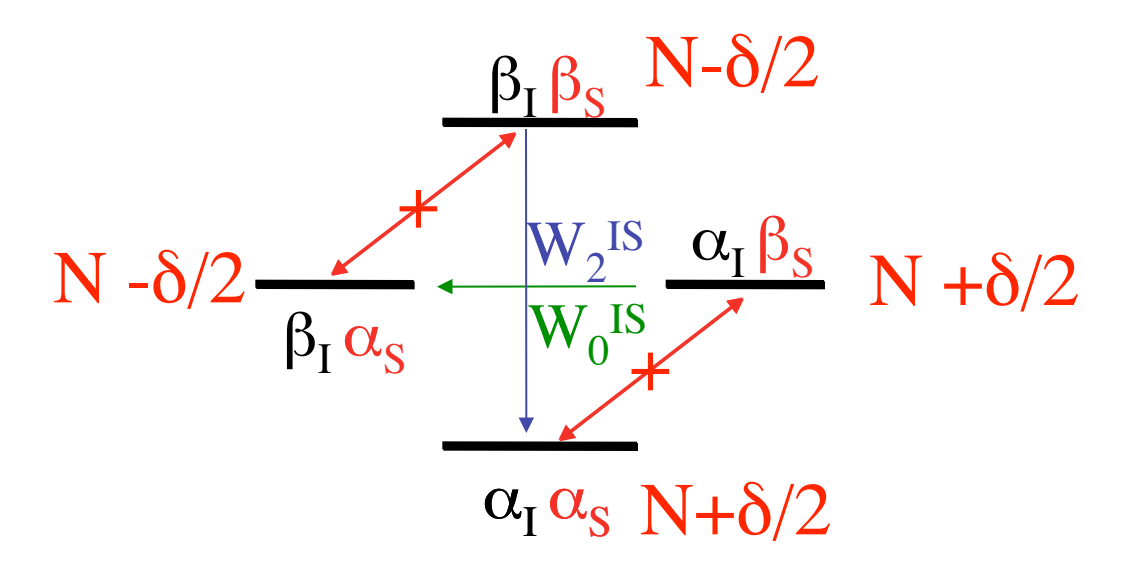
L'intensité de la résonance du spin I est proportionnelle à la différence de population de spins entre les 2 niveaux d'énergie correspondants (δ) .





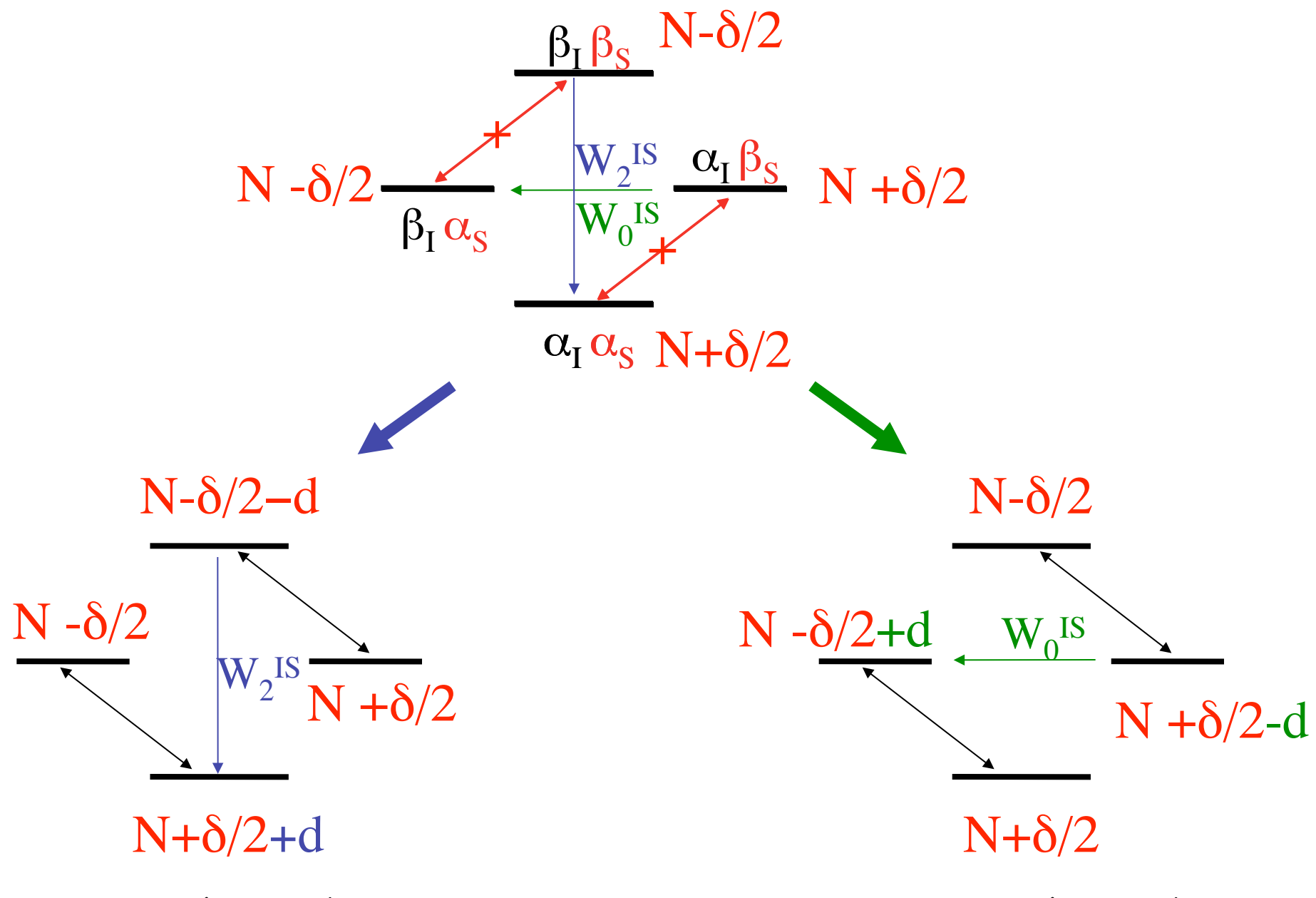
- L'arrêt de la saturation entraîne le retour à l'équilibre du système.
- Puisque les populations du spin S sur les niveaux d'énergie α and β sont égales, ces chemins sont inutilisables.
- L'équilibre thermodynamique sera restauré via les transitions Zeroou Double quantum.

Cela va provoquer une modification de l'intensité de résonance du spin I (nuclear Overhauser effect)



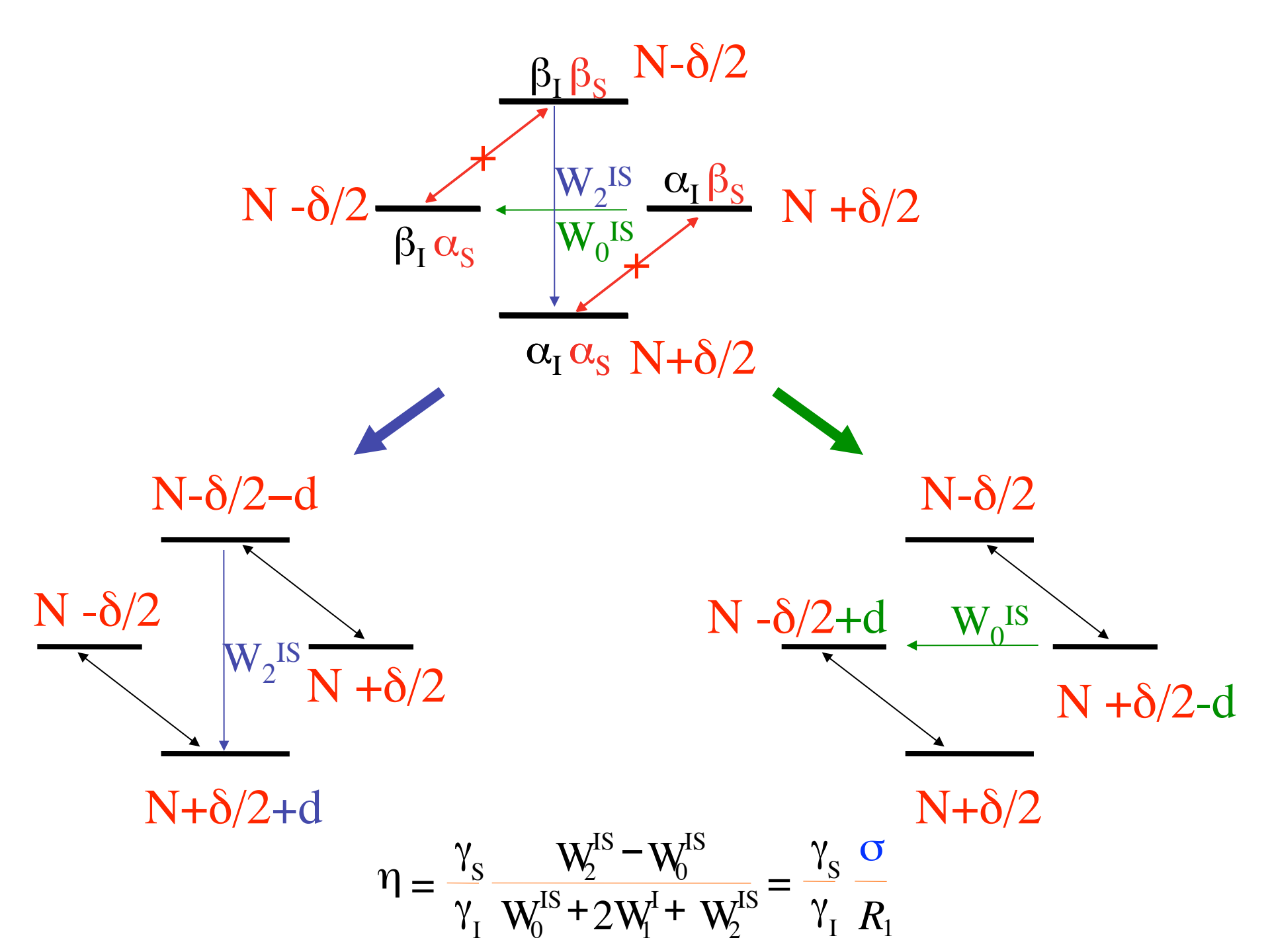
- L'arrêt de la saturation entraîne le retour à l'équilibre du système.
- Puisque les populations du spin S sur les niveaux d'énergie α and β sont égales, ces chemins sont inutilisables.
- L'équilibre thermodynamique sera restauré via les transitions Zeroou Double quantum.

Cela va provoquer une modification de l'intensité de résonance du spin I (nuclear Overhauser effect)



I intensité prop. à δ +d

I intensité prop. à δ -d



L'effet NOE est donné par l'équation de Solomon:

(en l'absence de toute autre source de relaxation que le mécanisme dipolaire)

$$\eta = \frac{I - I_0}{I_0} = \frac{\gamma_S}{\gamma_I} \frac{W_2^{IS} - W_0^{IS}}{W_0^{IS} + 2W_1^I + W_2^{IS}}$$

Le signe de l'effet NOE est donné par le signe de:

$$W_2^{IS} - W_0^{IS}$$

Dans les « grosses » molécules, W₀^{IS} est prépondérant:

$$W_2^{IS} - W_0^{IS} < 0$$

Dans les « petites » molécules, W₂^{IS} est prépondérant:

$$W_2^{IS} - W_0^{IS} > 0$$

L'accroissement théorique maximum est donné par :

$$\eta_{\text{max}} = \frac{\gamma_{\text{S}}}{2\gamma_{\text{I}}}$$

S : Spin saturé
I : Spin Observé

Cas homonucléaire :

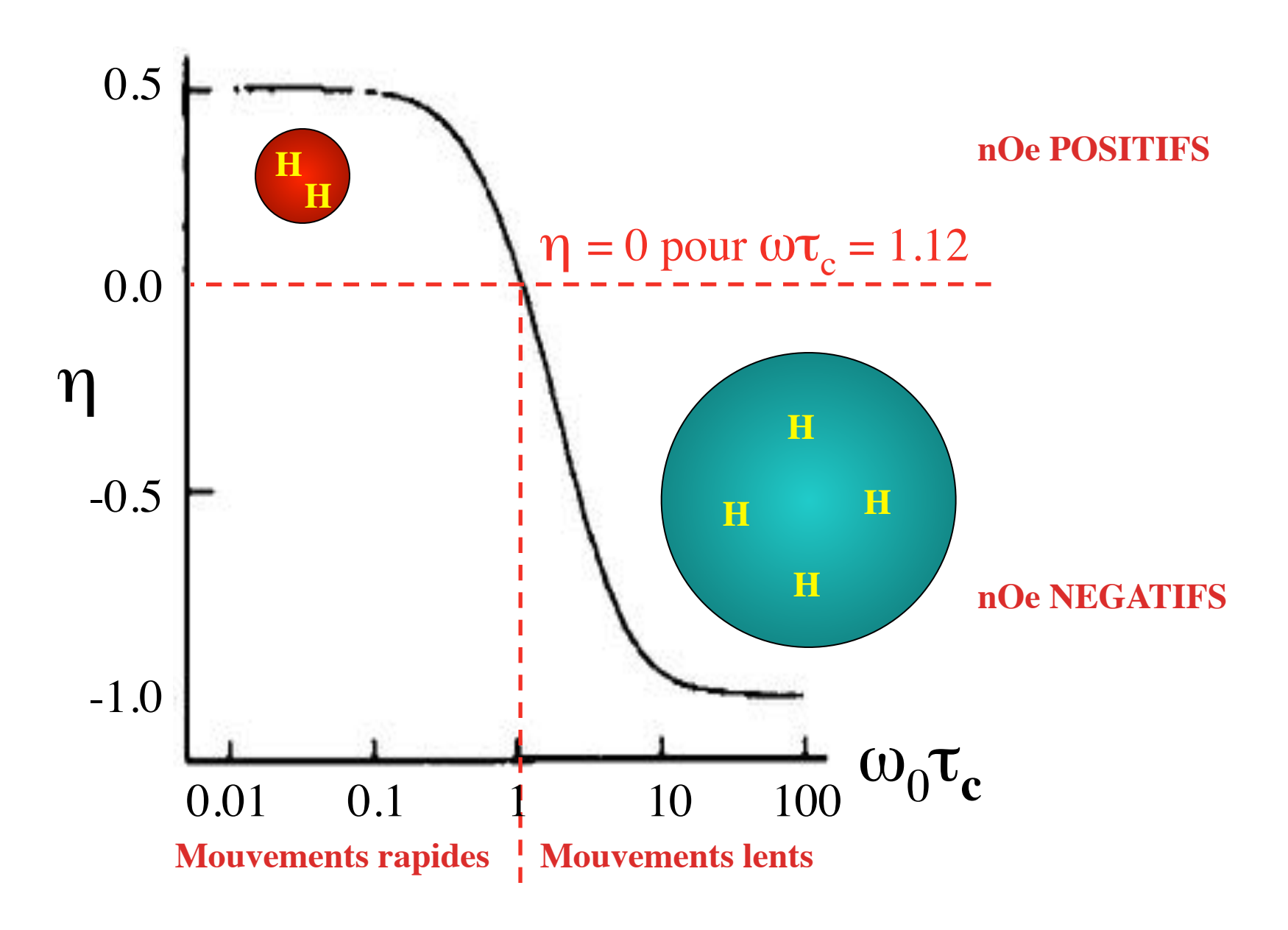
$$\eta_{\text{max}} = 0.5$$
, soit $I = I_0 \times 1.5$

$$(\gamma_{1H} = 267,512 \ 10^6 \ rad \ T^{-1} \ s^{-1})$$

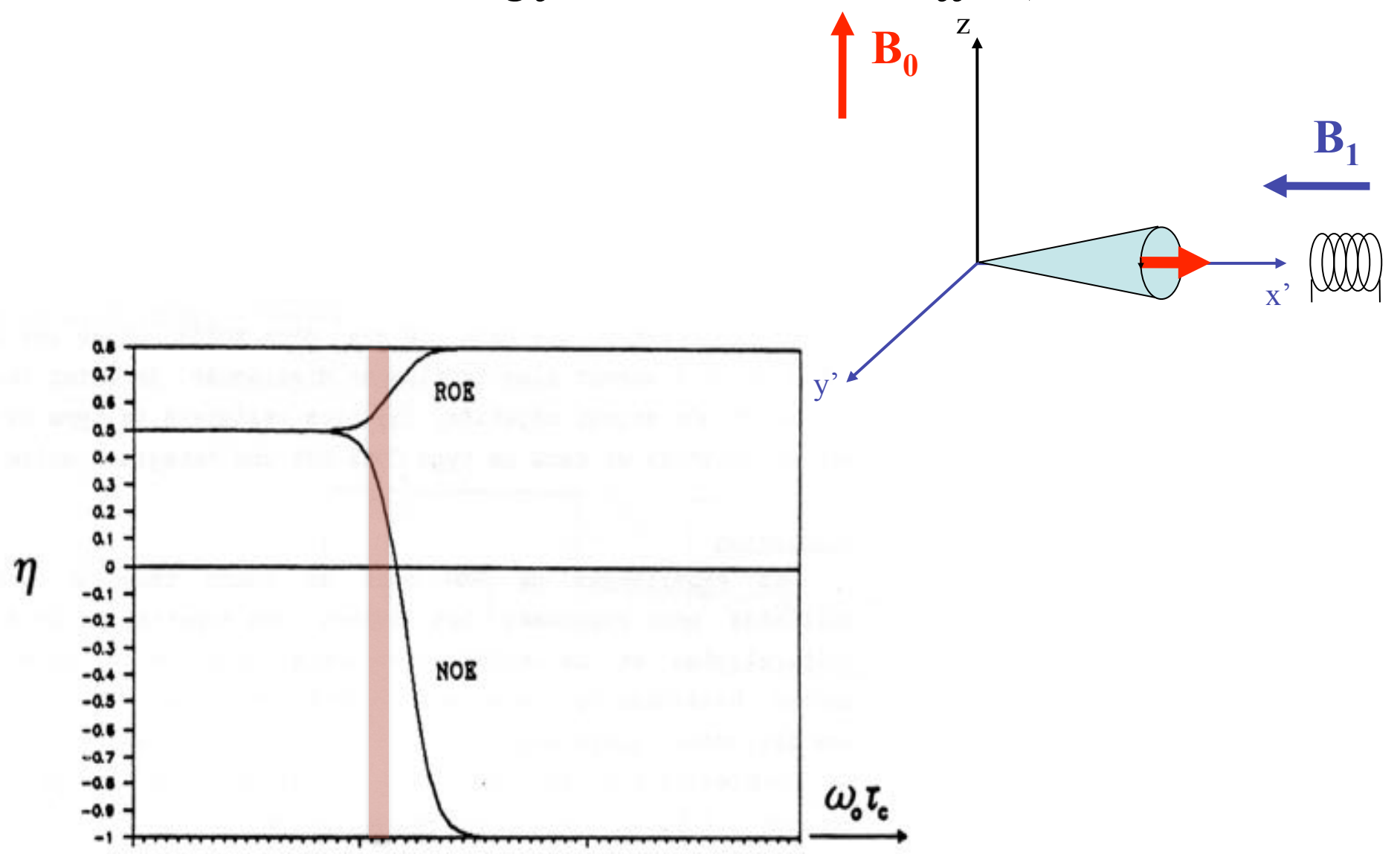
Cas hétéronucléaire ${}^{1}H^{-13}C: \eta_{max} = 2$, soit $I = I_0 \times 2$

$$(\gamma_{13C} = 67,2640 \ 10^6 \ rad \ T^{-1} \ s^{-1})$$

Relation Mouvement / Signe du nOe

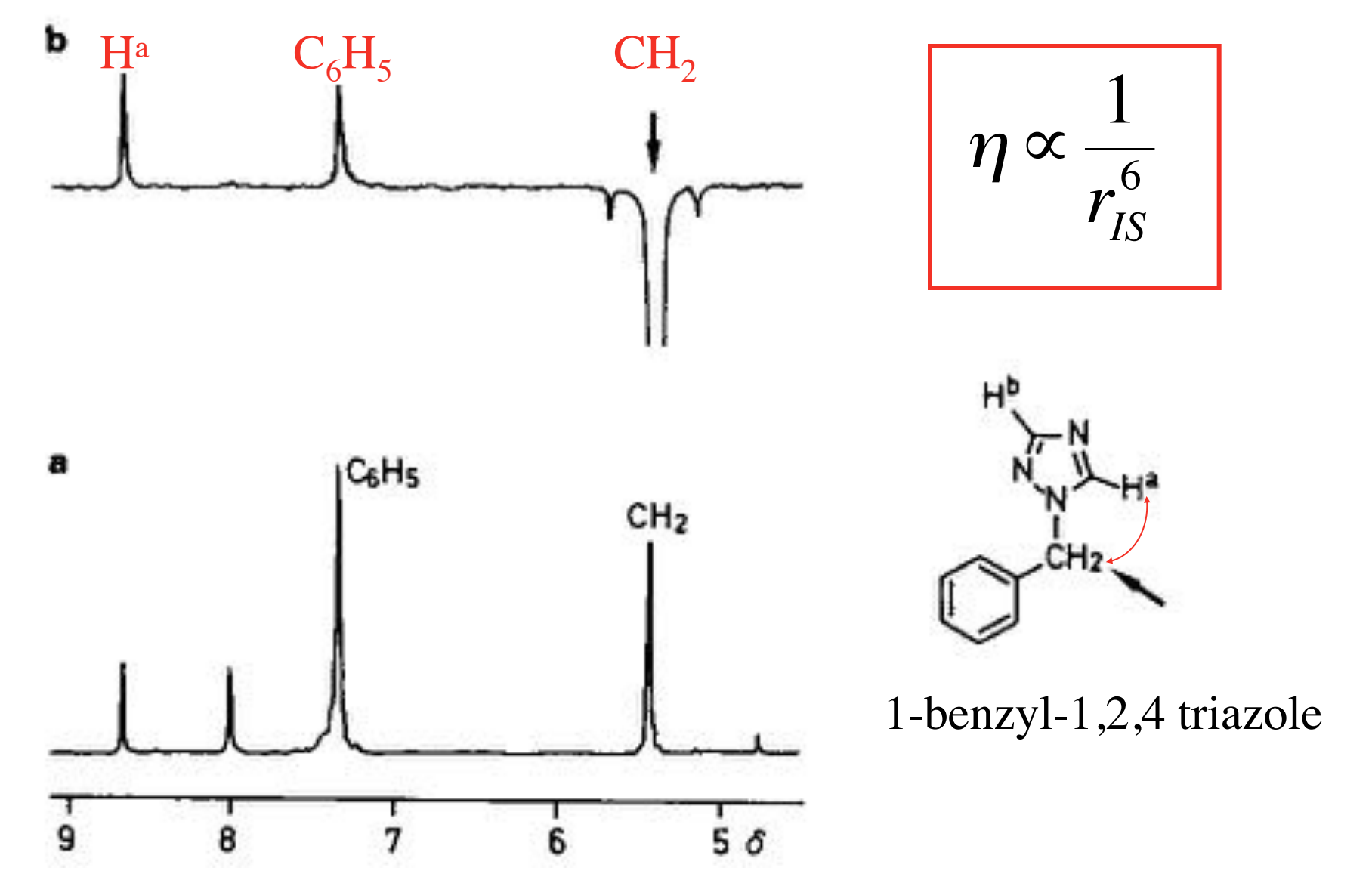


Effet ROE
(Rotating frame Overhauser Effect)

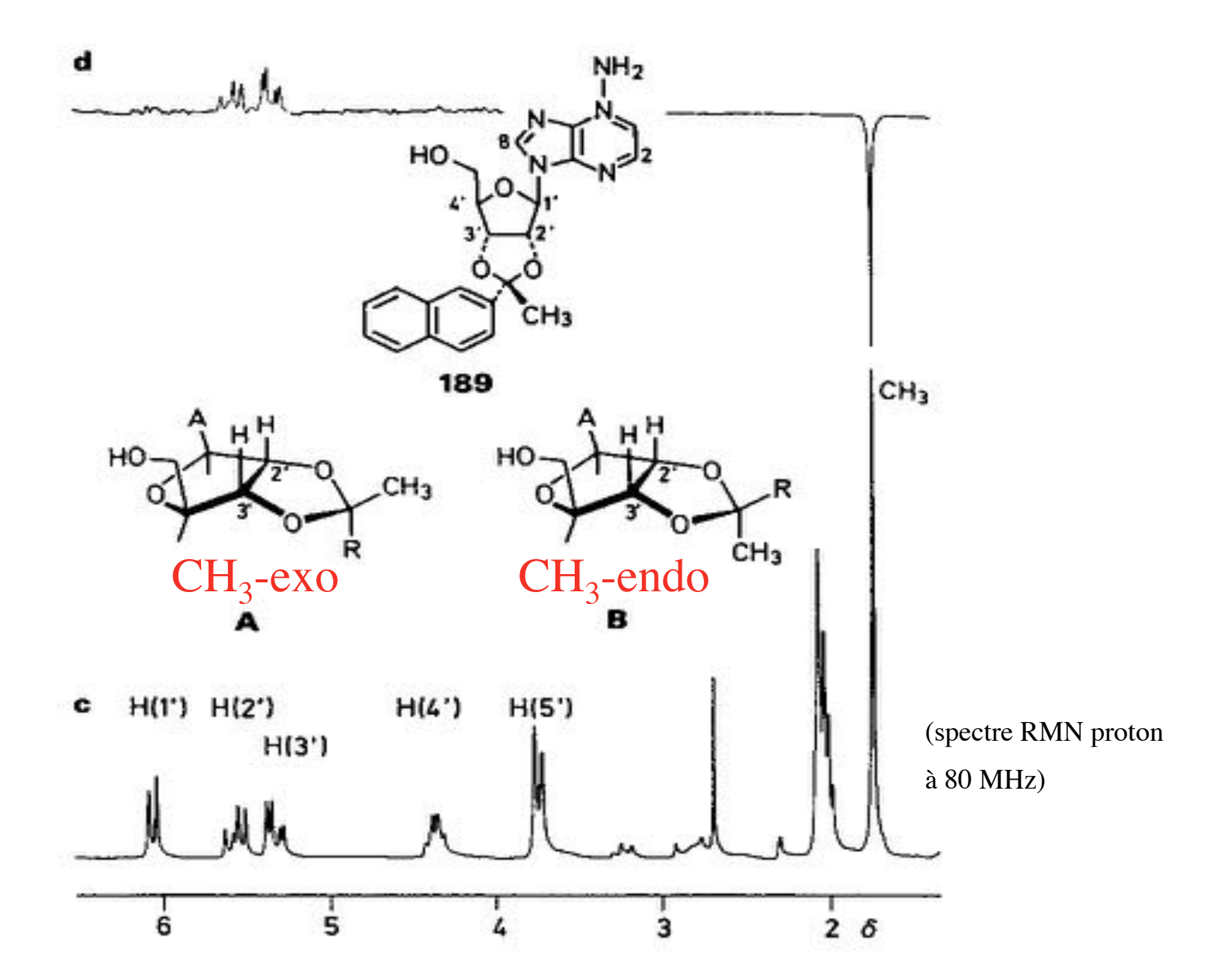


NOE et attribution spectrale.

Si l'on considère que le mécanisme prépondérant pour la relaxation est le mécanisme dipolaire, l'amplitude de l'effet NOE sera également dépendante de la distance entre les 2 spins.



NOE et étude conformationnelle



Couplages Scalaires

Couplages dipolaires

1 0

Indépendants de B₀

Indépendants de B₀

A travers les liaisons

A travers l'espace

Amplitude ≤ 200 Hz

Amplitude ≤ 100 kHz

Isotrope

Anisotrope $(3\cos^2\theta - 1)$

dépend de 1/r³

dépend des valeurs d'angles dièdres

édoublements si restriction des

Entraîne des dédoublements de raies

dédoublements si restriction des mouvements.

ne contribue pas à la relaxation

source importante de relaxation si mouvements.